

Datenmodell Geologie, Version

Bundesamt für Landestopographie swisstopo

April 2024

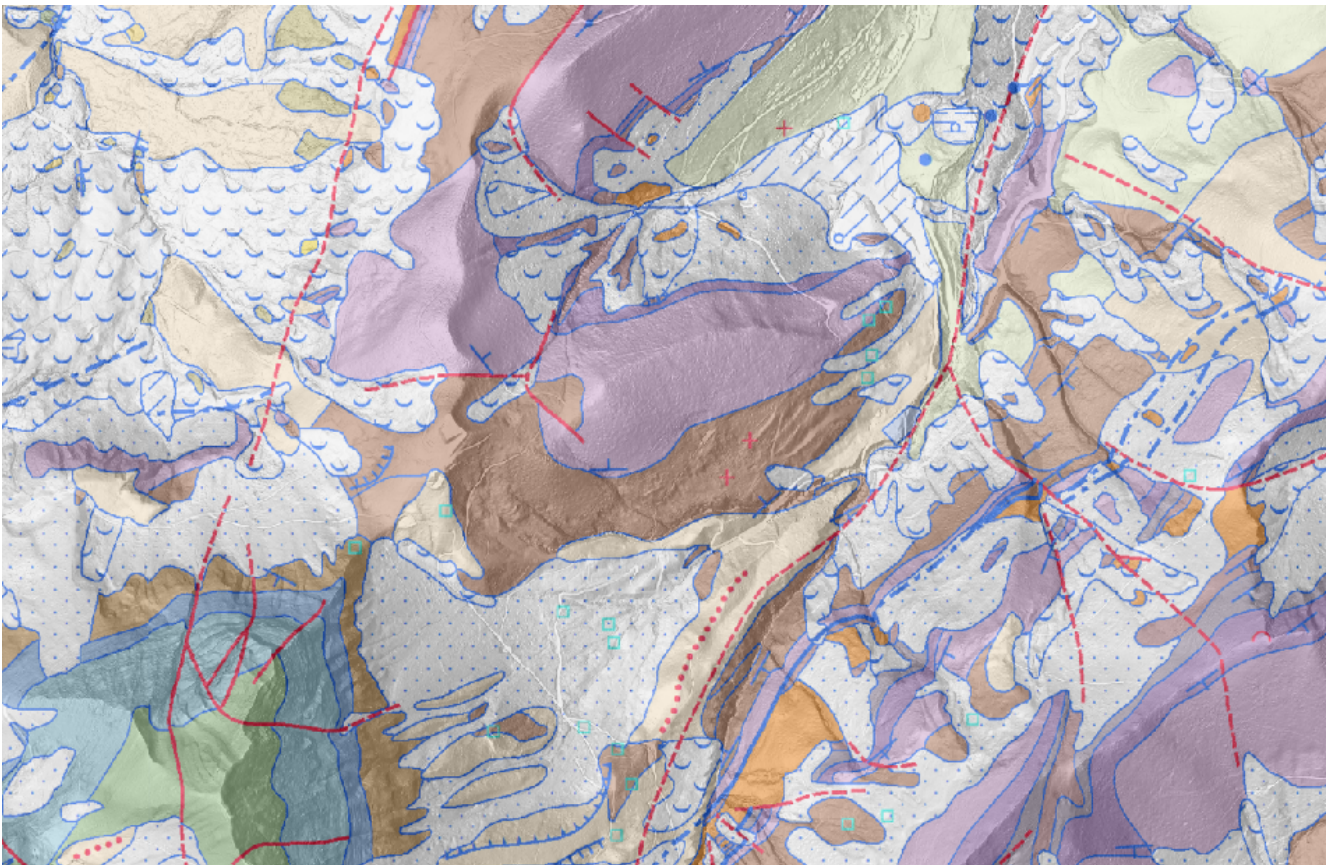


Figure 1: Extrait GeoCover vers le Moléson

1 Theme ROCK_BODIES

1.1 Class Unconsolidated_Deposits_PT

Die Klasse [Unconsolidated_Deposits_PT](#) umfasst einzelne Gesteine (Korngrösse: Steine bis Blöcke), die durch gravitative, glaziale oder anthropogene Transportprozesse an ihren heutigen Ort gelangten, respektive sich an Ort und Stelle durch Verwitterung des umliegenden Gesteins gebildet haben.

| | Name | Type | Description |
|---|---|-----------------------------|--|
| 1 | kind Cardinality [1] | subtype 14401 | Objektart |
| 2 | status Cardinality [1] | CodedDomain | Zustand der Objektart. |
| 3 | rock_type Cardinality [0..1] | CodedDomain | Gesteinstyp (Kristallingestein / Sedimentgestein). |
| 4 | rock_spe Cardinality [0..1] | CodedDomain | Bezeichnung des Leitgesteins. |
| 5 | mat_type Cardinality [0..1] | CodedDomain | Materialbezeichnung (lithologische Einheit). Die möglichen Werte sind in der Tabelle GC_LITHO_UNCO_CD im Anhang dieses Dokumentes verfügbar. |
| 6 | orig_descr Cardinality [0..1] | string | Originalbezeichnung gemäss der Legende der zugrundeliegenden geologischen Karte |
| 7 | protected Cardinality [0..1] | boolean | Geschütztes geologisches Objekt |

1.1.1 Attribute kind

Objektart

| GeolCode | Deutsch | Français |
|----------|--|---|
| 14401001 | Runc erratischer Block | bloc erratique |
| 14401002 | Runc Schwarm erratischer Blöcke | accumulation de blocs erratiques |
| 14401003 | Runc anthropogene Ansammlung von erratischen Blöcken | amas anthropique de blocs erratiques |
| 14401004 | Runc Wanderblock | bloc laboureur |
| 14401005 | Runc Geschiebe | cailloutis glaciaire |
| 14401006 | Runc Sturzblock | bloc éboulé |
| 14401007 | Runc Lesesteinhaufen | dépôt d'épierrage |
| 14401008 | Runc Verwitterungsrückstände (Gerölle und/oder Konkretionen) | éléments résiduels (galets et/ou rognons) |

1.1.2 Attribute status

Zustand der Objektart

| GeolCode | Deutsch | Français |
|----------|----------------|--------------------------|
| 14402003 | in Situ | in situ |
| 14402004 | umgelagert | déplacé naturellement |
| 14402001 | versetzt | déplacé artificiellement |
| 14402002 | zerstört | détruit |
| 999997 | Unknown | inconnu |
| 999998 | Not applicable | not applicable |

1.1.3 Attribute rock_type

Gesteinstyp (Kristallingestein / Sedimentgestein)

| GeolCode | Deutsch | Français |
|----------|------------------------------------|------------------------------|
| 14403003 | Basisches / Ultrabasisches Gestein | roche basique / ultrabasique |
| 14403001 | Kristallingestein | roche cristalline |
| 14403002 | Sedimentgestein | roche sédimentaire |
| 999997 | Unknown | inconnu |
| 999998 | Not applicable | not applicable |

1.1.4 Attribute rock_spe

Bezeichnung des Leitgesteins

| GeolCode | Deutsch | Français |
|----------|---|----------|
| 14404008 | Aare-Granit | |
| 14404017 | Albula-Granit | |
| 14404002 | Allalin-Gabbro | |
| 14404024 | Alpines Sedimentgestein | |
| 14404020 | Degersheim-Kalknagelfluh | |
| 14404009 | Gastern-Granit | |
| 14404012 | Glarner Verrucano | |
| 14404007 | Grindelwald-Marmor | |
| 14404026 | Gruontal-Konglomerat | |
| 14404010 | Habkern-Granit | |
| 14404006 | Hohgant-Sandstein | |
| 14404014 | Ilanz-Verrucano | |
| 14404013 | Kalknagelfluh des Speer- und Stockberggebietes | |
| 14404023 | Karbon-Brekzie | |
| 14404015 | Mels-Sandstein | |
| 14404025 | Molassegestein | |
| 14404003 | Mont-Blanc-Granit | |
| 14404022 | Muschelsandstein | |
| 14404005 | Niesen-Brekzie | |
| 14404018 | Punteglias-Granit | |
| 14404019 | Rofna-Porphyr | |
| 14404004 | Serpentinit | |
| 14404016 | Taspinit-Brekzie | |
| 14404021 | Taveyannaz-Sandstein | |
| 14404001 | Vallorcine-Konglomerat | |
| 14404011 | Windgällen-Porphyr | |
| 999997 | Unknown | inconnu |

| | | |
|----------|----------------|----------------|
| GeolCode | Deutsch | Français |
| 999998 | Not applicable | not applicable |

1.1.5 Attribute mat_type

Materialbezeichnung (lithologische Einheit) Siehe die CodedDomain [GC_LITHO_UNCO_CD](#) in Anhang

1.1.6 Attribute orig_descr

Originalbezeichnung gemäss der Legende der zugrundeliegenden geologischen Karte Datentyp: *string*

1.1.7 Attribute protected

Geschütztes geologisches Objekt Datentyp: *boolean*

1.2 Class Unconsolidated_Deposits_PLG

Die Klasse [Unconsolidated_Deposits_PLG](#) beinhaltet alle flächenhaft ausgeschiedenen Lockergesteine.

Die Angabe, ob eine Lockergesteinsmasse bewegt (durch Gravitation versetzt) wurde, geht aus der Klasse [Instabilities_within_Unconsolidated_Deposits_PLG](#) (Thema Geomorphology) hervor. Eine Ausnahme bilden Lockergesteinsmassen, welche unter dem Einfluss der Schwerkraft bewegt wurden und keine Angaben zum Ausgangsmaterial enthalten (Rutschmassen oder zerrüttete Gesteinsmassen «Sackungsmassen»).

Solche Lockergesteine werden sowohl in der Klasse [Unconsolidated_Deposits_PLG](#) als auch in der Klasse [Instabilities_within_Unconsolidated_Deposits_PLG](#) erfasst. Zur näheren Erklärung der verschiedenen Objektarten sind im Anhang A einige Fallbeispiele abgebildet.

| | Name | Type | Description |
|---|--|-----------------------------|---|
| 1 | kind Cardinality [1] | subtype 14517 | Objektart |
| 2 | litstrat Cardinality [1] | CodedDomain | Lithostratigraphische Einheit.. Die möglichen Werte sind in der Tabelle GC_LITSTRAT_UNCO_CD im Anhang dieses Dokumentes verfügbar. |
| 3 | litho | CodedDomain | Lithologische Beschreibung. Die möglichen Werte sind in der Tabelle GC_LITHO_CD im Anhang dieses Dokumentes verfügbar. |
| 4 | Cardinality [1..3] chrono_t Cardinality [1] | CodedDomain | Chronostratigraphische Zuordnung der Obergrenze der Kartiereinheit (Top). Die möglichen Werte sind in der Tabelle GC_CHRONO_CD im Anhang dieses Dokumentes verfügbar. |

| | Name | Type | Description |
|----|---|---|--|
| 5 | chrono_b | CodedDomain | Chronostratigraphische Zuordnung der Untergrenze der Kartiereinheit (Basis). Die möglichen Werte sind in der Tabelle GC_CHRONO_CD im Anhang dieses Dokumentes verfügbar. |
| 6 | Cardinality [1] mat_type | | Materialbezeichnung (lithologische Einheit) |
| 7 | Cardinality [0..3] buried_out | Lithostratigraphic_Units_Litho boolean | Wurde das Lockergestein wieder verdeckt |
| 8 | Cardinality [1] composit | table | Zusammensetzung des Lockergesteins |
| 9 | Cardinality [0..3] admixture | gc_composit table | Beimengung |
| 10 | Cardinality [0..2] structur | gc_admixture CodedDomain | Textur des Lockergesteins. |
| 11 | Cardinality [0..1] charact | table | Spezifische Eigenschaft. |
| 12 | Cardinality [0..3] morpholo | gc_charcat CodedDomain | Morphologie der Lockergesteinseinheit. |
| 13 | Cardinality [0..1] glac_type | CodedDomain | Gletschertyp; Attribut nur für Moränen. |
| 14 | Cardinality [0..1] ref_year | string | Zeitpunkt oder Zeitperiode. Zum Beispiel «1940 1943, Periode der Drainage» (muss präzisiert werden). |
| 15 | Cardinality [0..1] thin_cover | CodedDomain | Lockermaterialbedeckung, wenn vorhanden.. |
| 16 | Cardinality [0..1] orig_descr | | Originalbezeichnung gemäss der Legende der zugrundeliegenden geologischen Karte |
| | Cardinality [1] | string | |

1.2.1 Attribute kind

Objektart

| GeolCode | Deutsch | Français |
|----------|--------------------|--------------|
| 14517001 | Runc Lockergestein | roche meuble |

1.2.2 Attribute litstrat

Lithostratigraphische Einheit. Siehe die CodedDomain [GC_LITSTRAT_UNCO_CD](#) in Ahhang

1.2.3 Attribute litho

Lithologische Beschreibung Siehe die CodedDomain [GC_LITHO_CD](#) in Ahhang

1.2.4 Attribute chrono_t

Chronostratigraphische Zuordnung der Obergrenze der Kartiereinheit (Top) Siehe die CodedDomain [GC_CHRONO_CD](#) in Ahhang

1.2.5 Attribute chrono_b

Chronostratigraphische Zuordnung der Untergrenze der Kartiereinheit (Basis) Siehe die CodedDomain [GC_CHRONO_CD](#) in Ahhang

1.2.6 Attribute mat_type

Materialbezeichnung (lithologische Einheit)

1.2.7 Attribute buried_out

Wurde das Lockergestein wieder verdeckt Datentyp: *boolean*

1.2.8 Attribute composit

Zusammensetzung des Lockergesteins

1.2.9 Attribute admixture

Beimengung

1.2.10 Attribute structur

Textur des Lockergesteins

| GeolCode | Deutsch | Français |
|----------|---|---|
| 14510011 | bioturbiert | bioturbé |
| 14510002 | geschichtet | stratifié |
| 14510005 | glaziale Überprägung (Glazitektonik) | soumis à des déformations glaciotectoniques |
| 14510004 | grossmassstäbliche Schrägschichtung (z.B. Deltaschichtung) | stratification oblique à grande échelle (p.ex. stratification deltaïque) |
| 14510010 | invers gradiert | à granoclasement inverse |
| 14510007 | laminert | laminé |
| 14510008 | mit Warven | varvé |
| 14510009 | normal gradiert | à granoclasement normal |
| 14510012 | pedogen überprägt | pédogénétisé |
| 14510006 | periglazial gestörte Schichtung (Diapir, Eiskeil, etc.) | affecté par la cryoturbation (diapir, coin de glace, etc.) |
| 14510003 | schräg-/kreuzgeschichtet | à stratification oblique/entrecroisée |
| 14510001 | texturlos | sans structure |
| 999997 | Unknown | inconnu |
| 999998 | Not applicable | not applicable |

1.2.11 Attribute charact

Spezifische Eigenschaft.

1.2.12 Attribute morpholo

Morphologie der Lockergesteinseinheit

| GeolCode | Deutsch | Français |
|----------|----------------|----------------|
| 14512008 | Bastion | bastion |
| 14512003 | Düne | dune |
| 14512001 | Kegel / Fächer | cône |
| 14512007 | Os | esker |
| 14512006 | Sander | sandur |
| 14512002 | Schleier | voile |
| 14512005 | Terrasse | terrasse |
| 14512004 | Wall | vallum |
| 999997 | Unknown | inconnu |
| 999998 | Not applicable | not applicable |

1.2.13 Attribute glac_type

Gletschertyp; Attribut nur für Moränen

| GeolCode | Deutsch | Français |
|----------|----------------------------------|---|
| 14513009 | Aaregletscher | glacier de l'Aar |
| 14513004 | Bodensee-Rheingletscher | glacier du Bodensee-Rhein |
| 14513013 | Brünig-Aaregletscher | glacier du Brünig-Aar |
| 14513003 | Bündner Gletscher | glacier des Grisons |
| 14513012 | Engelberger Gletscher | glacier d'Engelberg |
| 14513002 | grosse Tal- und Vorlandgletscher | grands glaciers de vallées et de piedmont |
| 14513005 | Linth-Rheingletscher | glacier de la Linth-Rhein |
| 14513001 | Lokalgletscher | glacier local |
| 14513006 | Reussgletscher | glacier de la Reuss |
| 14513010 | Saanegletscher | glacier de la Sarine |
| 14513011 | Schlierengletscher | glacier des Schlieren |
| 14513007 | Waldemme- und Entlegletscher | glaciers de la Waldemme et de l'Entle |
| 14513008 | Walliser Gletscher | glacier Valaisan |
| 999997 | Unknown | inconnu |
| 999998 | Not applicable | not applicable |

1.2.14 Attribute ref_year

Zeitpunkt oder Zeitperiode. Zum Beispiel «1940 1943, Periode der Drainage» (muss präzisiert werden). Datentyp: string

1.2.15 Attribute thin_cover

Lockermaterialbedeckung, wenn vorhanden.

| GeolCode | Deutsch | Français |
|----------|---|--|
| 14515001 | geringmächtige Lockergesteinsbedeckung, undifferenziert | couverture de roches meubles peu épaisse, indifférenciée |
| 14515005 | geringmächtige Löss- oder Lösslehmbedeckung | couverture de loess ou de loess argileux peu épaisse |
| 14515002 | geringmächtige Moränenbedeckung | couverture morainique peu épaisse |
| 14515003 | geringmächtige Schotterbedeckung | couverture de graviers peu épaisse |
| 14515004 | geringmächtige Schwemmhlehmbedeckung | couverture de colluvions peu épaisse |
| 14515006 | tiefgründige Verwitterungsdecke | sol d'altération profonde |
| 999997 | Unknown | inconnu |
| 999998 | Not applicable | not applicable |

1.2.16 Attribute orig_descr

Originalbezeichnung gemäss der Legende der zugrundeliegenden geologischen Karte

1.3 Class Bedrock_PLG

Die Klasse [Bedrock_PLG](#) enthält alle flächenbildenden lithostratigraphischen Festgesteinseinheiten. Die Angabe, ob ein Festgestein bewegt (durch Gravitation versetzt) wurde, geht aus der Klasse [Instabilities_within_Bedrock_PLG](#) (Thema Geomorphology) hervor.

| | Name | Type | Description |
|---|---------------------------------------|-----------------------------|---|
| 1 | kind Cardinality [1] | subtype 14334001 | Spezifische Eigenschaft |
| 2 | fm_homog Cardinality [1] | | Gesteinsaufbau |
| 3 | listrat | CodedDomain | Lithostratigraphische Einheit. Die möglichen Werte sind in der Tabelle GC_LITSTRAT_BED_CD im Anhang dieses Dokumentes verfügbar. |
| 4 | Cardinality [1] litho | CodedDomain | Lithologische Beschreibung. Die möglichen Werte sind in der Tabelle GC_LITHO_CD im Anhang dieses Dokumentes verfügbar. |
| 5 | Cardinality [1..3] chrono_t | CodedDomain | Chronostratigraphische Zuordnung der Obergrenze der Kartiereinheit (Top). Die möglichen Werte sind in der Tabelle GC_CHRONO_CD im Anhang dieses Dokumentes verfügbar. |
| | Cardinality [1] | | |

| | Name | Type | Description |
|----|--|-------------------|--|
| 6 | chrono_b | CodedDomain | Chronostratigraphische Zuordnung der Untergrenze der Kartiereinheit (Basis). Die möglichen Werte sind in der Tabelle GC_CHRONO_CD im Anhang dieses Dokumentes verfügbar. |
| 7 | Cardinality [1] tecto | CodedDomain | Tektonische Zugehörigkeit. Die möglichen Werte sind in der Tabelle GC_TECTO_CD im Anhang dieses Dokumentes verfügbar. |
| 8 | Cardinality [1] orig_descr | string | Originalbezeichnung gemäss der Legende der zugrundeliegenden geologischen Karte |
| 9 | Cardinality [1] buried_out | boolean | Wurde das Festgestein wieder verdeckt (ja / nein)? |
| 10 | Cardinality [1] exotic_ele | | Handelt es sich bei der Objektart um ein exotisches Element; z.B. Einschluss, Linse, Tasche, Olistolith (ja / nein)? |
| 11 | Cardinality [1] colour | boolean string | Farbe des Gesteins. Präzisieren ob es sich um die Bruchfarbe, die Verwitterungsfarbe, etc. handelt; z.B. Verwitterungsfarbe grau. |
| 12 | Cardinality [0..1] sedi_main_com | CodedDomain | Hauptgesteinskomponente des klastischen Sedimentgesteins. |
| 13 | Cardinality [0..1] sedi_seco_com | CodedDomain | Nebengesteinskomponente des Sedimentgesteins. |
| 14 | Cardinality [0..2] sedi_bond_mat | CodedDomain | Bindemittel des Sedimentgesteins. |
| 15 | Cardinality [0..1] sedi_bedding | CodedDomain | Schichtung des Sedimentgesteins. |
| 16 | Cardinality [0..2] sedi_str | CodedDomain | Textur des Sedimentgesteins. |
| 17 | Cardinality [0..2] sedi_tex | CodedDomain | Sedimentstruktur. |
| 18 | Cardinality [] igne_text | CodedDomain | Struktur des magmatischen Gesteins. |
| 19 | Cardinality [0..1] igne_grain_si | CodedDomain | Korngrösse des magmatischen Gesteins. |
| | Cardinality [0..1] | | |

| | Name | Type | Description |
|----|-----------------------|-----------------------------|--|
| 20 | igne_affinity | CodedDomain | Affinität zu einer magmatischen Serie.. |
| | Cardinality [] | | |
| 21 | meta_full_name | string | Bezeichnung des metamorphen Gesteins |
| | Cardinality [0..1] | | |
| 22 | meta_mineral | CodedDomain | Wichtiges Mineral des metamorphen Gesteins. Die möglichen Werte sind in der Tabelle GC_MINERAL_CD im Anhang dieses Dokumentes verfügbar. |
| | Cardinality [0..3] | | |
| 23 | meta_str | CodedDomain | Textur des metamorphen Gesteins. |
| | Cardinality [0..3] | | |

1.3.1 Attribute kind

Spezifische Eigenschaft

| GeolCode | Deutsch | Français |
|----------|------------------|------------------|
| 14334001 | Rbed Festgestein | roche consolidée |

1.3.2 Attribute fm_homog

Gesteinsaufbau

1.3.3 Attribute listrat

Lithostratigraphische Einheit Siehe die CodedDomain [GC_LITSTRAT_BED_CD](#) in Ahhang

1.3.4 Attribute litho

Lithologische Beschreibung Siehe die CodedDomain [GC_LITHO_CD](#) in Ahhang

1.3.5 Attribute chrono_t

Chronostratigraphische Zuordnung der Obergrenze der Kartiereinheit (Top) Siehe die CodedDomain [GC_CHRONO_CD](#) in Ahhang

1.3.6 Attribute chrono_b

Chronostratigraphische Zuordnung der Untergrenze der Kartiereinheit (Basis) Siehe die CodedDomain [GC_CHRONO_CD](#) in Ahhang

1.3.7 Attribute tecto

Tektonische Zugehörigkeit Siehe die CodedDomain [GC_TECTO_CD](#) in Ahhang

1.3.8 Attribute orig_descr

Originalbezeichnung gemäss der Legende der zugrundeliegenden geologischen Karte Datentyp: string

1.3.9 Attribute buried_out

Wurde das Festgestein wieder verdeckt (ja / nein)? Datentyp: boolean

1.3.10 Attribute exotic_ele

Handelt es sich bei der Objektart um ein exotisches Element; z.B. Einschluss, Linse, Tasche, Olistholith (ja / nein)?

1.3.11 Attribute colour

Farbe des Gesteins. Präzisieren ob es sich um die Bruchfarbe, die Verwitterungsfarbe, etc. handelt; z.B. Verwitterungsfarbe grau. Datentyp: string

1.3.12 Attribute sedi_main_com

Hauptgesteinskomponente des klastischen Sedimentgesteins

| GeolCode | Deutsch | Français |
|----------|--|---|
| 15602006 | Dolomitstein | roche dolomitique |
| 15602001 | Gesteinsbruchstück undifferenziert | fragments de roches indifférenciés |
| 15602005 | Kalkstein | roche calcaire |
| 15602002 | kieselige Gesteine (Quarzit, Quarz (Mineralisch), Radiolarit, Kieselkalk, Quarzsandstein, Hornstein) | roches siliceuses (quartzite, quartz (minéral), radiolarite, calcaire siliceux, grès siliceux, silex) |
| 15602007 | Kristallingestein undifferenziert | roche cristalline indifférenciée |
| 15602010 | Mergelstein | marne |
| 15602009 | Metamorphit | roche métamorphique |
| 15602003 | Sedimentgestein undifferenziert | roche sédimentaire indifférenciée |
| 15602004 | Tonstein | argilite |
| 15602008 | Vulkanit | roche volcanique |
| 999997 | Unknown | inconnu |
| 999998 | Not applicable | not applicable |

1.3.13 Attribute sedi_seco_com

Nebengesteinskomponente des Sedimentgesteins

| GeolCode | Deutsch | Français |
|----------|------------------------------------|-------------------------------------|
| 20001019 | biogene Komponenten | composants biogènes |
| 20001024 | Bitumen | bitume |
| 20001005 | Dolomitstein | roche dolomitique |
| 20001026 | Eisenminerale | minéraux de fer |
| 20001025 | Evaporit | évaporite |
| 20001012 | Feldspat | feldspath |
| 20001001 | Gesteinsbruchstück undifferenziert | fragments de roches indifférenciées |
| 20001013 | Glaukonit | glauconite |
| 20001014 | Glimmer | mica |

| GeolCode | Deutsch | Français |
|----------|-----------------------------------|-----------------------------------|
| 20001015 | intraformationelle Gerölle | galets intraformationnels |
| 20001016 | Kalkkonkretionen | rognons de calcaire |
| 20001004 | Kalkstein | roche calcaire |
| 20001023 | Kohle | charbon |
| 20001006 | Kristallingestein undifferenziert | roche cristalline indifférenciée |
| 20001022 | Mergelstein | marne |
| 20001008 | Metamorphit | roche métamorphique |
| 20001021 | Phosphorit | phosphorite |
| 20001010 | pyroklastische Komponenten | composants pyroclastiques |
| 20001011 | Quarz | quartz |
| 20001009 | Quarzit | quartzite |
| 20001002 | Sedimentgestein undifferenziert | roche sédimentaire indifférenciée |
| 20001017 | Sideritkonkretionen | rognons de sidérite |
| 20001018 | Silexkonkretionen | rognons de silex |
| 20001020 | terrigenes Detritus | débris terrigènes |
| 20001003 | Tonstein | argilite |
| 20001007 | Vulkanit | roche volcanique |
| 999997 | Unknown | inconnu |
| 999998 | Not applicable | not applicable |

1.3.14 Attribute sedi_bond_mat

Bindemittel des Sedimentgesteins

| GeolCode | Deutsch | Français |
|----------|------------------------------------|--|
| 14313008 | dolomitische Matrix | à matrice dolomitique |
| 14313002 | dolomitischer Zement | à ciment dolomitique |
| 14313007 | kalkige Matrix | à matrice calcaire |
| 14313001 | kalkiger Zement | à ciment calcaire |
| 14313003 | kieseliger Zement | à ciment siliceux |
| 14313010 | mineralische Imprägnierung | imprégnation minérale |
| 14313009 | organische Imprägnierung (Asphalt) | imprégnation de matière organique (asphalte) |
| 14313006 | sandige Matrix | à matrice sableuse |
| 14313005 | siltige Matrix | à matrice silteuse |
| 14313004 | tonige Matrix | à matrice argileuse |
| 999997 | Unknown | inconnu |
| 999998 | Not applicable | not applicable |

1.3.15 Attribute sedi_bedding

Schichtung des Sedimentgesteins

| GeolCode | Deutsch | Français |
|----------|---------------------|-----------------|
| 20101005 | blättrig | feuilleté |
| 20101003 | dickbankig (>30cm) | en gros bancs |
| 20101004 | dünnbankig (1-10cm) | en petits bancs |
| 20101002 | gebankt | lité |
| 20101006 | knauerig | concrétionné |
| 20101007 | knollig | noduleux |
| 20101008 | linsenförmig | lenticulaire |

| GeolCode | Deutsch | Français |
|----------|----------------|----------------|
| 20101001 | massig | massif |
| 999997 | Unknown | inconnu |
| 999998 | Not applicable | not applicable |

1.3.16 Attribute sedi_str

Textur des Sedimentgesteins

| GeolCode | Deutsch | Français |
|----------|--------------------------|---------------------------------------|
| 20201007 | bioturbiert | bioturbé |
| 20201002 | geschichtet | stratifié |
| 20201006 | invers gradiert | à granoclassement inverse |
| 20201004 | laminert | laminé |
| 20201005 | normal gradiert | à granoclassement normal |
| 20201003 | schräg-/kreuzgeschichtet | à stratification oblique/entrecroisée |
| 20201008 | stromatolitisch | stromatolitique |
| 20201001 | texturlos | sans structure |
| 999997 | Unknown | inconnu |
| 999998 | Not applicable | not applicable |

1.3.17 Attribute sedi_tex

Sedimentstruktur

| GeolCode | Deutsch | Français |
|----------|----------------|----------------|
| 20301005 | bioklastisch | bioclastique |
| 20301003 | mikritisch | micritique |
| 20301001 | monomikt | monomictite |
| 20301007 | onkolithisch | oncolitique |
| 20301008 | oolithisch | oolitique |
| 20301009 | pelitisch | pélitique |
| 20301010 | pisolithisch | pisolitique |
| 20301002 | polymikt | polymictite |
| 20301004 | spätig | spathique |
| 999997 | Unknown | inconnu |
| 999998 | Not applicable | not applicable |

1.3.18 Attribute igne_text

Struktur des magmatischen Gesteins

| GeolCode | Deutsch | Français |
|----------|----------------|------------------|
| 14317001 | gleichkörnig | équigranulaire |
| 14317003 | porphyrisch | porphyrique |
| 14317002 | ungleichkörnig | hétérogranulaire |
| 999997 | Unknown | inconnu |
| 999998 | Not applicable | not applicable |

1.3.19 Attribute igne_grain_si

Korngrösse des magmatischen Gesteins

| GeolCode | Deutsch | Français |
|----------|----------------|----------------|
| 14318003 | aphanitisch | aphanitique |
| 14318002 | feinkörnig | fine |
| 14318001 | grobkörnig | grossière |
| 999997 | Unknown | inconnu |
| 999998 | Not applicable | not applicable |

1.3.20 Attribute igne_affinity

Affinität zu einer magmatischen Serie.

| GeolCode | Deutsch | Français |
|----------|----------------|----------------|
| 15733001 | alkalisch | alcalin |
| 15733002 | kalkalkalisch | calco-alcalin |
| 15733003 | tholeiitisch | tholéitique |
| 999997 | Unknown | inconnu |
| 999998 | Not applicable | not applicable |

1.3.21 Attribute meta_full_name

Bezeichnung des metamorphen Gesteins Datentyp: string

1.3.22 Attribute meta_mineral

Wichtiges Mineral des metamorphen Gesteins Siehe die CodedDomain [GC_MINERAL_CD](#) in Ahhang

1.3.23 Attribute meta_str

Textur des metamorphen Gesteins

| GeolCode | Deutsch | Français |
|----------|----------------------------|--------------------|
| 20501016 | agmatitisch (migmatitisch) | agmatitique |
| 20501003 | augig | oeillé |
| 20501017 | brekziös | bréchique |
| 20501015 | flaserig | à structure flaser |
| 20501012 | geadert | veiné |
| 20501002 | gebändert | rubané |
| 20501010 | gebankt | lité |
| 20501011 | gefältelt | plissoté |
| 20501008 | lagig | stratifié |
| 20501007 | laminert | laminé |
| 20501014 | linsig | lenticulaire |
| 20501001 | massig | massif |
| 20501004 | mit Schollen | à enclaves |
| 20501006 | phyllitisch | phylliteux |
| 20501009 | plattig | plaqueté |
| 20501005 | schiefrig | schisteux |
| 20501013 | schlierig | à schlieren |

| GeolCode | Deutsch | Français |
|----------|----------------|----------------|
| 999997 | Unknown | inconnu |
| 999998 | Not applicable | not applicable |

2 Theme GEOMORPHOLOGY

2.1 Class Instability_Structures_PT

Die Klasse [Instability_Structures_PT](#) enthält lokal beobachtete Hinweise auf Hanginstabilitäten (Rutschungen), die räumlich nicht abgegrenzt werden können. Wenn möglich, sollen instabile Gesteinsmassen durch Polygone erfasst werden (Klasse [Instabilities_within_Unconsolidated_Deposits_PLG](#)), die punktförmige Aufnahme ist zu vermeiden und vorwiegend für die Vektorisierung älterer gedruckter Karten gedacht.

| | Name | Type | Description |
|---|--------------------------------|------------------|-------------------------|
| 1 | kind Cardinality [1] | subtype 11601 | Spezifische Eigenschaft |

2.1.1 Attribute kind

Spezifische Eigenschaft

| GeolCode | Deutsch | Français |
|----------|-----------------------------------|----------------------|
| 11601001 | Gins Hinweis auf Hanginstabilität | indice d'instabilité |

2.2 Class Instability_Structures_L

Die Klasse [Instability_Structures_L](#) umfasst linienförmige Morphologien, die sich als Folge von Hanginstabilitäten an der Oberfläche ausgebildet haben. Beim Abrissrand handelt es sich um den oberen Rand der durch das Abgleiten der bewegten Masse freigelegten Gleitfläche einer Rutschung oder Sackung (Abrissnische)

| | Name | Type | Description |
|---|--------------------------------|------------------|-------------------------|
| 1 | kind Cardinality [1] | subtype 11701 | Spezifische Eigenschaft |

2.2.1 Attribute kind

Spezifische Eigenschaft

| GeolCode | Deutsch | Français |
|----------|----------------------------------|-------------------------|
| 11701001 | Gins Stauchwulst | bourrelet de glissement |
| 11701002 | Gins Nackentälchen, Zerrstruktur | limite de contrepente |
| 11701003 | Gins Abrissrand | niche d'arrachement |
| 11701004 | Gins offene Spalte | fissure ouverte |

2.3 Class Instabilities_within_Unconsolidated_Deposits_PLG

Die Klasse [Instabilities_within_Unconsolidated_Deposits_PLG](#) beinhaltet alle Polygone, die Gebiete mit instabilen Lockergesteinen begrenzen. In dieser Klasse werden die Prozessräume der verschiedenen Typen von gleitenden Massenbewegungsprozessen ausgeschieden; die eigentlichen Gesteinskörper und Ablagerungen, die von Massenbewegungsprozessen betroffen bzw. gebildet worden sind, werden in der Klasse [Unconsolidated_Deposits_PLG](#) beschrieben. Zur näheren Erklärung der verschiedenen Objektarten sind im Anhang A einige Fallbeispiele abgebildet.

| | Name | Type | Description |
|---|--------------------------------|------------------|-------------------------|
| 1 | kind Cardinality [1] | subtype 11801 | Spezifische Eigenschaft |

2.3.1 Attribute kind

Spezifische Eigenschaft

| GeolCode | Deutsch | Français |
|----------|---------|----------|
| | | |

2.4 Class Instabilities_within_Bedrock_PLG

Die Klasse [Instabilities_within_Bedrock_PLG](#) beinhaltet alle Polygone, die Gebiete mit instabilen Festgesteinen begrenzen. In dieser Klasse werden die Prozessräume der verschiedenen Typen von gleitenden Massenbewegungsprozessen ausgeschieden; die eigentlichen Gesteinskörper, die von Massenbewegungsprozessen betroffen sind, werden in der Klasse [Bedrock_PLG](#) beschrieben. Zur näheren Erklärung der verschiedenen Objektarten sind im Anhang A einige Fallbeispiele abgebildet.

| | Name | Type | Description |
|---|---------------------------------------|-----------------------------|-------------------------|
| 1 | kind Cardinality [1] | subtype 11501 | Spezifische Eigenschaft |
| 2 | main_mov Cardinality [0..1] | CodedDomain | Hauptbewegungsphase. |

2.4.1 Attribute kind

Spezifische Eigenschaft

| GeolCode | Deutsch | Français |
|----------|---------|----------|
| | | |

2.4.2 Attribute main_mov

Hauptbewegungsphase

| GeolCode | Deutsch | Français |
|----------|---|--|
| 11502002 | Hauptbewegungsphase nach dem letzteiszeitlichen Maximum | phase principale du mouvement après le Dernier Maximum Glaciaire |
| 11502001 | Hauptbewegungsphase vor dem letzteiszeitlichen Maximum | phase principale du mouvement avant le Dernier Maximum Glaciaire |
| 999997 | Unknown | inconnu |

| | | |
|----------|----------------|----------------|
| GeolCode | Deutsch | Français |
| 999998 | Not applicable | not applicable |

2.5 Class Glacial_Structures_PT

Die Klasse [Glacial_Structures_PT](#) enthält Objektarten, welche die ehemalige Anwesenheit eines Gletschers punktuell dokumentieren (Gletscherschliff ist ein räumlich orientiertes Objekt und befindet sich deshalb in der Klasse Lineation_PT).

| | Name | Type | Description |
|---|--------------------------------|------------------|-------------------------|
| 1 | kind Cardinality [1] | subtype 11201 | Spezifische Eigenschaft |

2.5.1 Attribute kind

Spezifische Eigenschaft

| | | |
|----------|-----------------------------------|-------------------------------------|
| GeolCode | Deutsch | Français |
| 11201002 | Ggla Gletschermühle, Strudeloch | marmite glaciaire, cavité d'érosion |
| 11201001 | Ggla glazitektonische Deformation | déformation glaciotectonique |

2.6 Class Glacial_and_Periglacial_Structures_L

Die Klasse [Glacial_and_Periglacial_Structures_L](#) enthält linienförmige Strukturen, die auf ein glaziales oder periglaziales Bildungsmilieu hindeuten. Mit Ausnahme der Schliffgrenze handelt es sich in dieser Klasse ausschliesslich um akkumulative Landschaftsformen wie Moränenwälle oder Blockwülste im Blockgletscher.

| | Name | Type | Description |
|---|---------------------------------------|-----------------------------|---|
| 1 | kind Cardinality [1] | subtype 11301 | Objektart |
| 2 | morai_mo Cardinality [0..1] | CodedDomain | Morphologie der Moräne. |
| 3 | glac_typ Cardinality [0..1] | CodedDomain | Gletschertyp, auf welchen die Objektart bezogen ist. |
| 4 | ice_m_p Cardinality [0..1] | CodedDomain | Räumlicher Gletscherstand. |
| 5 | quat_str Cardinality [0..1] | CodedDomain | Zeitliche quartärstratigraphische Zuordnung des Moränenwälls. |
| 6 | ref_year Cardinality [0..1] | integer | Referenzjahr des älteren Gletscherstandes. |
| 7 | source Cardinality [0..1] | string | Quellenangabe der historischen Unterlagen |

2.6.1 Attribute kind

Objektart

| GeolCode | Deutsch | Français |
|----------|---|---|
| 11301001 | Ggla Moränenwall | vallum morainique |
| 11301002 | Ggla Moränenwall auf Gletscher oder auf Toteis | cordon morainique sur glacier ou sur glace morte |
| 11301003 | Ggla Kameterrassenkante | bord de terrasse de kame |
| 11301004 | Ggla älterer Gletscherstand, basierend auf historischen Daten | ancien stade glaciaire, déduit de données historiques |
| 11301005 | Ggla Schliffgrenze | limite supérieure de l'érosion glaciaire (trimline) |
| 11301006 | Ggla Protalus Rampart Wulst | bourrelet de protalus rampart |
| 11301007 | Ggla Blockwulst im Blockgletscher | bourrelet de glacier rocheux |
| 11301008 | Ggla Schneehaldenmoränenwall | vallum de moraine de névé |
| 11301009 | Ggla Verbreitungsgrenze von Geschiebe | limite de l'étendue des blocs |

2.6.2 Attribute morai_mo

Morphologie der Moräne

| GeolCode | Deutsch | Français |
|----------|---------------------|----------------|
| 11302002 | einseitig abfallend | unilatéral |
| 11302001 | symmetrisch | symétrique |
| 999997 | Unknown | inconnu |
| 999998 | Not applicable | not applicable |

2.6.3 Attribute glac_typ

Gletschertyp, auf welchen die Objektart bezogen ist

| GeolCode | Deutsch | Français |
|----------|----------------------------------|---|
| 11303002 | grosse Tal- und Vorlandgletscher | grands glaciers de vallées et de piedmont |
| 11303001 | Lokalgletscher | glacier local |
| 999997 | Unknown | inconnu |
| 999998 | Not applicable | not applicable |

2.6.4 Attribute ice_m_p

Räumlicher Gletscherstand

| GeolCode | Deutsch | Français |
|----------|-----------------------------|---------------------------|
| 11304002 | Bern | Berne |
| 11304050 | Bremgarten I | Bremgarten I |
| 11304051 | Bremgarten II | Bremgarten II |
| 11304003 | Bremgarten, undifferenziert | Bremgarten, indifférencié |
| 11304052 | Bülach I | Bülach I |
| 11304053 | Bülach II | Bülach II |

| GeolCode | Deutsch | Français |
|----------|---------------------------------|-------------------------------|
| 11304054 | Bülach, undifferenziert | Bülach, indifferencié |
| 11304037 | Chur | Coire |
| 11304055 | Dättikon | Dättikon |
| 11304028 | Feuerthalen I | Feuerthalen I |
| 11304029 | Feuerthalen II | Feuerthalen II |
| 11304005 | Feuerthalen, undifferenziert | Feuerthalen, indifferencié |
| 11304040 | Fideris | Fideris |
| 11304006 | Gurten | Gurten |
| 11304007 | Hurden | Hurden |
| 11304008 | Killwangen | Killwangen |
| 11304039 | Koblach | Koblach |
| 11304004 | Konstanz | Constance |
| 11304035 | Küblis | Küblis |
| 11304036 | Lunden | Lunden |
| 11304001 | Maximalstand, undifferenziert | stade maximal, indifférencié |
| 11304009 | Mellingen | Mellingen |
| 11304010 | Muri | Muri |
| 11304056 | Regensdorf | Regensdorf |
| 11304011 | Rotkreuz | Rotkreuz |
| 11304038 | Sargans | Sargans |
| 11304030 | Schaffausen I | Schaffhouse I |
| 11304031 | Schaffausen II | Schaffhouse II |
| 11304012 | Schaffhausen, undifferenziert | Schaffhouse, indifferencié |
| 11304048 | Schlieren I | |
| 11304049 | Schlieren II | |
| 11304013 | Schlieren, undifferenziert | Schlieren, indifferencié |
| 11304014 | Schosshalde | Schosshalde |
| 11304057 | Seeb | Seeb |
| 11304015 | Seftigschwand | Seftigschwand |
| 11304041 | Serneus | Serneus |
| 11304016 | Solothurn | Soleure |
| 11304017 | Spreitenbach | Spreitenbach |
| 11304018 | Spreitenbach-Killwangen | Spreitenbach-Killwangen |
| 11304045 | Staffelbach-Stand | |
| 11304025 | Stein-am-Rhein I | Stein am Rhein I |
| 11304026 | Stein-am-Rhein II | Stein am Rhein II |
| 11304027 | Stein-am-Rhein III | Stein am Rhein III |
| 11304019 | Stein am Rhein, undifferenziert | Stein am Rhein, indifferencié |
| 11304058 | Stetten I | Stetten I |
| 11304059 | Stetten II | Stetten II |
| 11304020 | Stetten, undifferenziert | Stetten |
| 11304043 | Sursee | Sursee |
| 11304044 | Triengen | Triengen |
| 11304021 | Wangen I | Wangen I |
| 11304022 | Wangen II | Wangen II |
| 11304042 | Wangen, undifferenziert | Wangen, indifferencié |
| 11304023 | Wittigkofen | Wittigkofen |
| 11304060 | Würenlos I | Würenlos I |
| 11304061 | Würenlos II | Würenlos II |
| 11304062 | Würenlos, undifferenziert | Würenlos, indifferencié |
| 11304046 | Zürich I | |
| 11304047 | Zürich II | |
| 11304024 | Zürich, undifferenziert | Zurich, indifferencié |
| 999997 | Unknown | inconnu |

| GeolCode | Deutsch | Français |
|----------|----------------|----------------|
| 999998 | Not applicable | not applicable |

2.6.5 Attribute quat_str

Zeitliche quartärstratigraphische Zuordnung des Moränenwäls

| GeolCode | Deutsch | Français |
|----------|---|---|
| 11305001 | 1. Vergletscherung der letzten Eiszeit (MIS 5d) | 1ère glaciation de la Dernière Période glaciaire (MIS 5d) |
| 11305002 | 2. Vergletscherung der letzten Eiszeit (MIS 4) | 2ème glaciation de la Dernière Période glaciaire (MIS 4) |
| 11305003 | 3. Vergletscherung der letzten Eiszeit (LGM, MIS 2) | 3ème glaciation de la Dernière Période glaciaire (LGM, MIS 2) |
| 11305005 | Clavadel | Clavadel |
| 11305006 | Daun | Daun |
| 11305007 | Egesen | Egesen |
| 11305004 | Gschnitz | Gschnitz |
| 11305008 | Mittleres Pleistozän | Pléistocène moyen |
| 999997 | Unknown | inconnu |
| 999998 | Not applicable | not applicable |

2.6.6 Attribute ref_year

Referenzjahr des älteren Gletscherstandes. Datentyp: integer

2.6.7 Attribute source

Quellenangabe der historischen Unterlagen Datentyp: string

2.7 Class Glacial_Structures_PLG

Die Klasse [Glacial_Structures_PLG](#) umfasst flächenhafte glaziale Landschaftsformen, die durch basales Fliessen des Gletschereises oder dessen Abschmelzen entstanden sind.

| | Name | Type | Description |
|---|--------------------------------|------------------|-------------|
| 1 | kind Cardinality [1] | subtype 11401 | Objektart |

2.7.1 Attribute kind

Objektart

| GeolCode | Deutsch | Français |
|----------|---------------------------------------|--|
| 11401001 | Ggla Drumlin, drumlinartige Kieskuppe | drumlin, croupe graveleuse en forme de drumlin |
| 11401003 | Ggla Rundhöcker | roches moutonnées |
| 11401004 | Ggla Toteisloch, Soll | doline glaciaire, soll |

2.8 Class Erosional_Structures_PT

Die Klasse [Erosional_Structures_PT](#) beinhaltet lokale Landschaftselemente, die sich im Laufe der Zeit unter Einwirkung von diversen Erosionsprozessen gebildet haben.

| | Name | Type | Description |
|---|--------------------------------|------------------|-------------|
| 1 | kind Cardinality [1] | subtype 11001 | Objektart |

2.8.1 Attribute kind

Objektart

| GeolCode | Deutsch | Français |
|----------|------------------|--------------------|
| 11001001 | Gero Erdpyramide | demoiselle coiffée |

2.9 Class Erosional_Structures_L

Die Klasse [Erosional_Structures_L](#) enthält linienförmige erosive Formen wie Erosionsränder im Allgemeinen oder Terrassenkanten. Auf älteren gedruckten Karten wurden Erosionsränder und Terrassenkanten oftmals nicht unterschieden. In den Vektordaten wird diese Unterscheidung jedoch konsequent vollzogen. Dies bedingt, dass im Rahmen der Vektorisierung älterer gedruckter Karten Erosionsränder und Terrassenkanten aufgeteilt werden müssen. Terrassenkanten werden nur dann als solche attribuiert, wenn sie durch ihre Lage und entsprechende Schotterterrassen eindeutig zugeordnet werden können. Zweifelhafte Fälle werden als Erosionsränder aufgenommen.

| | Name | Type | Description |
|---|--------------------------------|------------------|-------------|
| 1 | kind Cardinality [1] | subtype 11101 | Objektart |

2.9.1 Attribute kind

Objektart

| GeolCode | Deutsch | Français |
|----------|-------------------------|-----------------------------|
| 11101001 | Gero Erosionsrand | bord d'érosion |
| 11101002 | Gero Terrassenkante | bord de terrasse |
| 11101003 | Gero Schichtstufenkante | escarpement en tête de banc |

2.10 Class Karstic_Structures_PT

Die Klasse [Karstic_Structures_PT](#) beinhaltet Karstphänomene, die punktförmig dargestellt werden. Darunter fallen u.a. der Ponor oder der Eingang zu einer Höhle.

| | Name | Type | Description |
|---|--------------------------------|------------------|-------------|
| 1 | kind Cardinality [1] | subtype 11301 | Objektart |

| | Name | Type | Description |
|---|-----------------|---------|---|
| 2 | ice_cave | boolean | Handelt es sich bei der Höhle um eine Eisgrotte («glacière», aussergewöhnlich kalte Höhle in der sich |

durch die winterlichen Schneefälle oder durch das Gefrieren von eingedrungenem Wasser Eis akkumuliert und das auch die warme Jahreszeit überdauert) (ja / nein)? | Cardinality [0..1] | |

2.10.1 Attribute kind

Objektart

| GeolCode | Deutsch | Français |
|----------|---|---|
| 11301001 | Ggla Moränenwall | vallum morainique |
| 11301002 | Ggla Moränenwall auf Gletscher oder auf Toteis | cordon morainique sur glacier ou sur glace morte |
| 11301003 | Ggla Kameterrassenkante | bord de terrasse de kame |
| 11301004 | Ggla älterer Gletscherstand, basierend auf historischen Daten | ancien stade glaciaire, déduit de données historiques |
| 11301005 | Ggla Schliffgrenze | limite supérieure de l'érosion glaciaire (trimline) |
| 11301006 | Ggla Protalus Rampart Wulst | bourrelet de protalus rampart |
| 11301007 | Ggla Blockwulst im Blockgletscher | bourrelet de glacier rocheux |
| 11301008 | Ggla Schneehaldenmoränenwall | vallum de moraine de névé |
| 11301009 | Ggla Verbreitungsgrenze von Geschiebe | limite de l'étendue des blocs |

2.10.2 Attribute ice_cave

Handelt es sich bei der Höhle um eine Eisgrotte («glacière», aussergewöhnlich kalte Höhle in der sich durch die winterlichen Schneefälle oder durch das Gefrieren von eingedrungenem Wasser Eis akkumuliert und das auch die warme Jahreszeit überdauert) (ja / nein)? Datentyp: boolean

2.11 Class Karstic_Structures_PLG

Die Klasse [Karstic_Structures_PLG](#) umfasst flächenhafte Karstformen wie Dolinen oder Poljen. Dolinen werden immer als Polygone erfasst (das bildet dafür eine wichtige Grundlage). Kleine Dolinen (Durchmesser < 25 m), werden durch eine definierte Einheitsfläche von 500 m² dargestellt.

| | Name | Type | Description |
|---|--------------------------------|------------------|-------------|
| 1 | kind Cardinality [1] | subtype 12001 | Objektart |

2.11.1 Attribute kind

Objektart

| GeolCode | Deutsch | Français |
|----------|---------------------------------------|--------------------------------------|
| 12001001 | Gkar Senke ohne oberirdischen Abfluss | dépression sans exutoire superficiel |

| GeolCode | Deutsch | Français |
|----------|-----------------|----------|
| 12001002 | Gkar Doline | doline |
| 12001003 | Gkar Karrenfeld | lapiez |
| 12001004 | Gkar Polje | poljé |

2.12 Class Alluvial_and_Lacustrine_Structures_L

Die Klasse [Alluvial_and_Lacustrine_Structures_L](#) beinhaltet linienförmige Morphologien fluviatilen oder lakustrischen Ursprungs.

| | Name | Type | Description |
|---|----------------------------------|-----------------------------|-----------------------|
| 1 | kind Cardinality [1] | subtype 10901 | Objektart |
| 2 | age Cardinality [0..1] | CodedDomain | Alter der Objektart.. |

2.12.1 Attribute kind

Objektart

| GeolCode | Deutsch | Français |
|----------|-------------------------------|--------------------------------------|
| 10901001 | Gall Strandwall | cordon littoral |
| 10901002 | Gall Achse einer Murgangrinne | axe d'un chenal de lave torrentielle |

2.12.2 Attribute age

Alter der Objektart.

| GeolCode | Deutsch | Français |
|----------|----------------|----------------|
| 10902001 | fossil | fossile |
| 10902002 | rezent | récent |
| 999997 | Unknown | inconnu |
| 999998 | Not applicable | not applicable |

3 Theme TECTONICS

3.1 Class Deformation_Structures_PT

Die Klasse [Deformation_Structures_PT](#) beinhaltet punktuell beobachtete tektonische Deformationsstrukturen wie lokal stark verfaltete Stellen (Fältelung) oder Orte mit ausgeprägter Klüftung. Ebenfalls in dieser Klasse befinden sich konstruierte Punkte wie z.B. die Orientierung der Faltenachsenfläche. Die Darstellung der Spur einer Achsenfläche entspricht der Symbolisierung eines konstruierten Faltenscharniers, in einem Punkt der Intersektion einer Achsenfläche und der Topografie. Diese beiden letzterwähnten Objektarten sind im Anhang A zur besseren Verständlichkeit abgebildet.

| | Name | Type | Description |
|---|--------------------------------|------------------|-------------|
| 1 | kind Cardinality [1] | subtype 14601 | Objektart |

| | Name | Type | Description |
|---|---------------------------------------|-------------|---|
| 2 | azimuth | integer | Fallrichtung (Azimut) der jeweiligen Punktojektart. Wert in Grad (0° 359°) im Uhrzeigersinn gemessen. |
| 3 | Cardinality [0..1] dip | integer | Einfallswert der jeweiligen Punktojektart. Wert in Grad gemessen aus der Horizontalen (0°) nach unten bis in die Vertikale (90°). |
| 4 | Cardinality [0..1] fold_typ | CodedDomain | Objekttyp. |
| 5 | Cardinality [0..1] fold_for | CodedDomain | Objektform. |

3.1.1 Attribute kind

Objektart

| GeolCode | Deutsch | Français |
|----------|--|---|
| 14601001 | Tdef punktuell beobachtete tektonische Brekzie | brèche tectonique observée ponctuellement |
| 14601002 | Tdef ausgeprägte Klüftung | diaclasses bien marquées |
| 14601003 | Tdef tektonische Diskordanz | discordance tectonique |
| 14601004 | Tdef Orientierung der Faltenachsenfläche | orientation de la surface axiale d'un pli |
| 14601005 | Tdef Fältelung | plissement (plis) |
| 14601006 | Tdef Darstellung der Spur einer Achsenfläche | représentation de la trace d'une surface axiale |
| 14601007 | Tdef Chevron-Falte, Kink Fold | plis en chevron, Kink Fold |

3.1.2 Attribute azimuth

Fallrichtung (Azimut) der jeweiligen Punktojektart. Wert in Grad (0° 359°) im Uhrzeigersinn gemessen. Datentyp: integer

3.1.3 Attribute dip

Einfallswert der jeweiligen Punktojektart. Wert in Grad gemessen aus der Horizontalen (0°) nach unten bis in die Vertikale (90°). Datentyp: integer

3.1.4 Attribute fold_typ

Objekttyp

| GeolCode | Deutsch | Français |
|----------|----------------|----------------|
| 14604001 | Antiklinale | anticlinal |
| 14604002 | Synklinale | synclinal |
| 999997 | Unknown | inconnu |
| 999998 | Not applicable | not applicable |

3.1.5 Attribute fold_for

Objektform

| GeolCode | Deutsch | Français |
|----------|----------------|----------------|
| 14605001 | Antiform | antiforme |
| 14605002 | Synform | synforme |
| 999997 | Unknown | inconnu |
| 999998 | Not applicable | not applicable |

3.2 Class Deformation_Structures_L

Die Klasse [Deformation_Structures_L](#) enthält linienförmige tektonische Deformationsstrukturen, wie den Verlauf des Faltenscharniers. Ein Beispiel der Objektart ist zur Veranschaulichung im Anhang A abgebildet.

| | Name | Type | Description |
|---|--------------------------------|------------------|-------------|
| 1 | kind Cardinality [1] | subtype 14701 | Objektart |

3.2.1 Attribute kind

Objektart

| GeolCode | Deutsch | Français |
|----------|----------------------|------------------|
| 14701001 | Tdef Faltenscharnier | charnière de pli |

3.3 Class Deformation_Structures_PLG

In der Klasse [Deformation_Structures_PLG](#) befinden sich tektonisch geprägte Zonen wie tektonisierte Zonen oder Kluftzonen.

| | Name | Type | Description |
|---|---------------------------------------|-----------------------------|---------------------------------|
| 1 | kind Cardinality [1] | subtype 14801 | Objektart |
| 2 | type Cardinality [0..1] | CodedDomain | Charakteristik der Objektarten. |
| 3 | gen_rela Cardinality [0..1] | CodedDomain | Genetische Beziehung.. |

3.3.1 Attribute kind

Objektart

| GeolCode | Deutsch | Français |
|----------|-------------------------|-----------------|
| 14801001 | Tdef Kluftzone | zone diaclasée |
| 14801002 | Tdef tektonisierte Zone | zone tectonisée |

3.3.2 Attribute type

Charakteristik der Objektarten

| GeolCode | Deutsch | Français |
|----------|--------------------|--------------------|
| 14802002 | kakiritisch | kakiritique |
| 14802001 | kataklastisch | cataclastique |
| 14802003 | mylonitisch | mylonitique |
| 14802004 | pseudotachylitisch | pseudotachylitique |
| 999997 | Unknown | inconnu |
| 999998 | Not applicable | not applicable |

3.3.3 Attribute gen_rela

Genetische Beziehung.

3.4 Class Tectonic_Boundaries_L

Die Klasse [Tectonic_Boundaries_L](#) umfasst alle tektonischen Verwerfungen. Die Horizontal- verschiebungen in der Schweiz können als «Bruch, (Attribut «Fault_Mo» (Fault Movement)) parallel zur Streichrichtung» abgebildet werden. Als Pendant zu «Überschiebung» oder «Abschiebung» gibt es in der Schweiz keine «Horizontalverschiebung» mit vergleichbarer Grössenausdehnung. Ein Abscherhorizont wird als «Überschiebung» oder als «Abschiebung» dargestellt. Wenn die Bewegungsrichtung nicht bekannt ist, wird er zur «tektonischen Grenze mit unbekannter Bewegungsrichtung». Zur näheren Erklärung der verschiedenen Objektarten sind im Anhang A Beispiele abgebildet.

| | Name | Type | Description |
|---|---|-----------------------------|--|
| 1 | kind Cardinality [1] | subtype 14901 | Objektart |
| 2 | fault_mo Cardinality [0..1] | CodedDomain | Bewegungsrichtung des Bruchs. |
| 3 | verti_mo Cardinality [0..1] | CodedDomain | Bewegung parallel zur Fallrichtung der Bruchfläche.. |
| 4 | horiz_mo Cardinality [0..1] | CodedDomain | Bewegung parallel zur Streichrichtung der Bruch- oder Scherfläche. |
| 5 | lim_tect_b Cardinality [0..1] | boolean | Grenze einer tektonischen Einheit wie Deckengrenze, Schuppengrenze, Zonengrenze, etc. (ja / nein)? |
| 6 | status Cardinality [1] | CodedDomain | Zustand der Objektart. |
| 7 | activity Cardinality [1] | TODO | Aktivität der Objektart |
| 8 | meta_sta Cardinality [0..1] | CodedDomain | Tektonometamorphe Chronologie der Objektart. |
| 9 | name Cardinality [0..1] | string | Spezifischer Name der Objektart. |

| Name | Type | Description |
|------|------|-------------|
|------|------|-------------|

3.4.1 Attribute kind

Objektart

| GeolCode | Deutsch | Français |
|----------|------------------------|--|
| 14901001 | Ttec Überschiebung | chevauchement |
| 14901002 | Ttec Abschiebung | détachement (faille normale de grande extension et faible pendage) |
| 14901004 | Ttec Bruch | faille |
| 14901005 | Ttec Aufschiebung | faille inverse |
| 14901006 | Ttec Blattverschiebung | décrochement |
| 14901007 | Ttec komplexe Störung | accident tectonique complexe |
| 14901008 | Ttec Störung i. Allg. | accident tectonique en général |

3.4.2 Attribute fault_mo

Bewegungsrichtung des Bruchs

| GeolCode | Deutsch | Français |
|----------|---|------------------------------------|
| 14902003 | parallel zur Fallrichtung (strike slip) | parallèle au pendage (strike slip) |
| 14902002 | parallel zur Streichrichtung (Horizontalverschiebung) | parallèle à la direction |
| 14902001 | schrägverschiebend (oblique slip) | oblique (oblique slip) |
| 999997 | Unknown | inconnu |
| 999998 | Not applicable | not applicable |

3.4.3 Attribute verti_mo

Bewegung parallel zur Fallrichtung der Bruchfläche.

| GeolCode | Deutsch | Français |
|----------|----------------|----------------|
| 14903002 | abschiebend | |
| 14903001 | aufschiebend | |
| 999997 | Unknown | inconnu |
| 999998 | Not applicable | not applicable |

3.4.4 Attribute horiz_mo

Bewegung parallel zur Streichrichtung der Bruch- oder Scherfläche

| GeolCode | Deutsch | Français |
|----------|----------------|----------------|
| 14904001 | dextral | dextre |
| 14904002 | sinistral | sénestre |
| 999997 | Unknown | inconnu |
| 999998 | Not applicable | not applicable |

3.4.5 Attribute lim_tect_b

Grenze einer tektonischen Einheit wie Deckengrenze, Schuppengrenze, Zonengrenze, etc. (ja / nein)?
Datentyp: boolean

3.4.6 Attribute status

Zustand der Objektart

| GeolCode | Deutsch | Français |
|----------|------------------------------------|---|
| 14906004 | aus Seismikdaten interpretiert | interprété de données sismiques |
| 14906001 | gesichert, im Allgemeinen | certain, en général |
| 14906002 | gesichert, unter Tage festgestellt | certain, mis en évidence dans des travaux souterrains |
| 14906003 | vermutet | probable |
| 999997 | Unknown | inconnu |
| 999998 | Not applicable | not applicable |

3.4.7 Attribute activity

Aktivität der Objektart

3.4.8 Attribute meta_sta

Tektonometamorphe Chronologie der Objektart

| GeolCode | Deutsch | Français |
|----------|-----------------------------------|----------------|
| 14908003 | nach der Platznahme der Decken | post-nappe |
| 14908001 | vor der Platznahme der Decken | anté-nappe |
| 14908002 | während der Platznahme der Decken | syn-nappe |
| 999997 | Unknown | inconnu |
| 999998 | Not applicable | not applicable |

3.4.9 Attribute name

Spezifischer Name der Objektart. Datentyp: string

4 Theme MEASUREMENTS_SPATIAL_ORIENTATION

4.1 Class Folds_PT

Die Klasse [Folds_PT](#) enthält Objektarten, welche die räumliche Lage von verfalteten geologischen Objekten (mit direkten Feldmessungen) beschreiben. Beispiele der Objektarten Orientierung der Faltenachse und der Scheitellinie sind im Anhang A zur besseren Verständlichkeit abgebildet.

| | Name | Type | Description |
|---|---------------------------------------|-----------------------------|--------------------|
| 1 | kind Cardinality [1] | subtype 13601 | Objektart |
| 2 | fold_typ Cardinality [0..1] | CodedDomain | Objekttyp. |
| 3 | fold_for | | Form der Objektart |

| | Name | Type | Description |
|---|--|----------------------|---|
| 4 | Cardinality [0..1] phase | 13603 CodedDomain | Deformationsphase.. |
| 5 | Cardinality [0..1] phase_ref | string | Referenz für die Angabe der Deformationsphase. |
| 6 | Cardinality [0..1] azimuth | integer | Einfallsrichtung (Azimut) der jeweiligen Punktobjektart (z.B. Scheitellinie, Faltenachse). Wert in Grad (0° 359°) im Uhrzeigersinn gemessen |
| 7 | Cardinality [1] dip | integer | Einfallswert der jeweiligen Punktobjektart. Wert in Grad gemessen aus der Horizontalen (0°) nach unten bis in die Vertikale (90°). |
| | Cardinality [0..1] | | |

4.1.1 Attribute kind

Objektart

| GeolCode | Deutsch | Français |
|----------|-------------------------------------|----------------------------------|
| 13601001 | Mfol Orientierung der Faltenachse | orientation d'un axe de pli |
| 13601002 | Mfol Orientierung der Scheitellinie | orientation d'une ligne de crête |
| 13601003 | Mfol Orientierung der Muldenlinie | orientation d'une ligne de creux |

4.1.2 Attribute fold_typ

Objekttyp

| GeolCode | Deutsch | Français |
|----------|----------------|----------------|
| 13602001 | Antiklinale | anticlinal |
| 13602002 | Synklinale | synclinal |
| 999997 | Unknown | inconnu |
| 999998 | Not applicable | not applicable |

4.1.3 Attribute fold_for

Form der Objektart

4.1.4 Attribute phase

Deformationsphase.

| GeolCode | Deutsch | Français |
|----------|---------------|-----------------|
| 13604001 | F1 (1. Phase) | F1 (1ère phase) |
| 13604002 | F2 (2. Phase) | F2 (2ème phase) |

| GeolCode | Deutsch | Français |
|----------|----------------|-----------------|
| 13604003 | F3 (3. Phase) | F3 (3ème phase) |
| 999997 | Unknown | inconnu |
| 999998 | Not applicable | not applicable |

4.1.5 Attribute phase_ref

Referenz für die Angabe der Deformationsphase. Datentyp: string

4.1.6 Attribute azimuth

Einfallsrichtung (Azimut) der jeweiligen Punktobjektart (z.B. Scheitellinie, Faltenachse). Wert in Grad (0° 359°) im Uhrzeigersinn gemessen Datentyp: integer

4.1.7 Attribute dip

Einfallswert der jeweiligen Punktobjektart. Wert in Grad gemessen aus der Horizontalen (0°) nach unten bis in die Vertikale (90°). Datentyp: integer

4.2 Class Lineation_PT

In der Klasse [Lineation_PT](#) finden sich Objektarten, welche die räumliche Lage von diversen Linearen mit direkten Feldmessungen beschreiben. Die räumliche Lage u.a. von Gletscherschliffen und Rutschharnischen ist ebenso Teil dieser Klasse wie die Orientierung von Streckungs- oder Intersektionslineationen.

| | Name | Type | Description |
|---|-----------------|---------|---|
| 1 | kind | subtype | Objektart |
| | Cardinality [1] | 13701 | |
| 2 | azimuth | integer | Einfallsrichtung (Azimut) der jeweiligen Punktobjektart (z.B. Scheitellinie, Faltenachse). Wert in Grad (0° 359°) im Uhrzeigersinn gemessen |
| | Cardinality [1] | | |
| 3 | dip | | Einfallswert der jeweiligen Punktobjektart. Wert in Grad gemessen aus der Horizontalen (0°) nach unten bis in die Vertikale (90°). |
| | Cardinality [] | | |

4.2.1 Attribute kind

Objektart

| GeolCode | Deutsch | Français |
|----------|--|--|
| 13701001 | Mlin Orientierung der Intersektionslineation | orientation de la linéation d'intersection |
| 13701002 | Mlin Orientierung der Streckungslineation | orientation de la linéation d'étirement |
| 13701003 | Mlin Orientierung von Rutschharnischen | orientation des tectoglyphes |

| GeolCode | Deutsch | Français |
|----------|--|-----------------------------------|
| 13701004 | Mlin Orientierung von Gletscherschliffen | orientation des stries glaciaires |

4.2.2 Attribute azimuth

Einfallsrichtung (Azimut) der jeweiligen Punktojektart (z.B. Scheitellinie, Faltenachse). Wert in Grad (0° 359°) im Uhrzeigersinn gemessen Datentyp: integer

4.2.3 Attribute dip

Einfallswert der jeweiligen Punktojektart. Wert in Grad gemessen aus der Horizontalen (0°) nach unten bis in die Vertikale (90°).

4.3 Class Planar_Structures_PT

Die Klasse [Planar_Structures_PT](#) enthält Objektarten, welche die räumliche Lage von planaren Strukturen mit direkten Feldmessungen beschreiben. Ein Beispiel der Objektart Orientierung der Schieferung ist im Anhang A zur Veranschaulichung abgebildet.

| | Name | Type | Description |
|---|---|-----------------------------|--|
| 1 | kind Cardinality [1] | subtype 13801 | Objektart |
| 2 | polarity Cardinality [0..1] | CodedDomain | Position der Objektart im Raum. |
| 3 | phase Cardinality [] | CodedDomain | Deformationsphase. |
| 4 | phase_ref Cardinality [0..1] | string | Referenz für die Angabe der Deformationsphase. |
| 5 | ob_dip_slo Cardinality [0..1] | boolean | Dip slope beobachtet (ja / nein)? |
| 6 | azimuth Cardinality [1] | integer | Einfallsrichtung (Azimut) der jeweiligen Punktojektart (z.B. Scheitellinie, Faltenachse). Wert in Grad (0° 359°) im Uhrzeigersinn gemessen |
| 7 | dip Cardinality [] | | Einfallswert der jeweiligen Punktojektart. Wert in Grad gemessen aus der Horizontalen (0°) nach unten bis in die Vertikale (90°). |

4.3.1 Attribute kind

Objektart

| GeolCode | Deutsch | Français |
|----------|-------------------------------------|---------------------------------|
| 13801002 | Mpla Orientierung eines Ganges | orientation d'un filon |
| 13801003 | Mpla Orientierung einer Bruchfläche | orientation d'un plan de faille |

| GeolCode | Deutsch | Français |
|----------|---|---|
| 13801004 | Mpla Orientierung der Schieferung | orientation d'une schistosité |
| 13801005 | Mpla Orientierung einer Schichtung oder Schieferung | orientation d'une couche ou d'une schistosité |
| 13801001 | Mpla Orientierung der Schichten | orientation des couches |
| 13801006 | Mpla Schüttungsrichtung | direction de transport sédimentaire |

4.3.2 Attribute polarity

Position der Objektart im Raum

| GeolCode | Deutsch | Français |
|----------|----------------|----------------|
| 13802001 | normal | normale |
| 13802002 | überkippt | renversée |
| 999997 | Unknown | inconnu |
| 999998 | Not applicable | not applicable |

4.3.3 Attribute phase

Deformationsphase

| GeolCode | Deutsch | Français |
|----------|----------------|-----------------|
| 13803001 | S1 (1. Phase) | S1 (1ère phase) |
| 13803002 | S2 (2. Phase) | S2 (2ème phase) |
| 13803003 | S3 (3. Phase) | S3 (3ème phase) |
| 999997 | Unknown | inconnu |
| 999998 | Not applicable | not applicable |

4.3.4 Attribute phase_ref

Referenz für die Angabe der Deformationsphase. Datentyp: string

4.3.5 Attribute ob_dip_slo

Dip slope beobachtet (ja / nein)? Datentyp: boolean

4.3.6 Attribute azimuth

Einfallsrichtung (Azimut) der jeweiligen Punktobjektart (z.B. Scheitellinie, Faltenachse). Wert in Grad (0° 359°) im Uhrzeigersinn gemessen Datentyp: integer

4.3.7 Attribute dip

Einfallswert der jeweiligen Punktobjektart. Wert in Grad gemessen aus der Horizontalen (0°) nach unten bis in die Vertikale (90°).

5 Theme LOCAL_ADDITIONAL_INFORMATION

5.1 Class Anomalies_PT

Die Klasse [Anomalies_PT](#) beinhaltet lokal beobachtete und / oder gemessene Anomalien.

| | Name | Type | Description |
|---|--------------------------------|-------------------|-------------------------------|
| 1 | kind Cardinality [1] | subtype 128001 | Objektart |
| 2 | type Cardinality [] | 128002 | Charakteristik der Objektart. |

5.1.1 Attribute kind

Objektart

| | | |
|----------|---------|----------|
| GeolCode | Deutsch | Français |
|----------|---------|----------|

5.1.2 Attribute type

Charakteristik der Objektart.

5.2 Class Fossils_PT

Die Klasse [Fossils_PT](#) enthält alle Fossilfundstellen.

| | Name | Type | Description |
|---|--|-----------------------------|---|
| 1 | kind Cardinality [1] | subtype 12901 | Objektart |
| 2 | division Cardinality [0..1] | CodedDomain | Fossilienkategorie, zu welcher die Objektinstanz gehört.. |
| 3 | system Cardinality [0..1] | table gc_system | Fossiliengruppe. |
| 4 | dat_meth Cardinality [0..1] | CodedDomain | Datierungsmethode.. |
| 5 | status Cardinality [0..1] | CodedDomain | Zustand der Objektart. |
| 6 | protected Cardinality [0..1] | boolean | Geschützte Fossilfundstelle (ja / nein)? |

5.2.1 Attribute kind

Objektart

| | | |
|----------|-----------------------|----------------------|
| GeolCode | Deutsch | Français |
| 12901001 | Lfos Fossilfundstelle | gisement fossilifère |

5.2.2 Attribute division

Fossilienkategorie, zu welcher die Objektinstanz gehört.

| | | |
|----------|-----------|----------------|
| GeolCode | Deutsch | Français |
| 12902006 | Einzeller | unicellulaires |

| GeolCode | Deutsch | Français |
|----------|-------------------------|----------------|
| 12902002 | Pflanzen- und Tierreste | faune et flore |
| 12902003 | Pflanzenreste | flore |
| 12902004 | Spuren | traces |
| 12902001 | Tierreste | faune |
| 999997 | Unknown | inconnu |
| 999998 | Not applicable | not applicable |

5.2.3 Attribute system

Fossiliengruppe.

5.2.4 Attribute dat_meth

Datierungsmethode.

| GeolCode | Deutsch | Français |
|----------|-----------------------|------------------------|
| 12904001 | radiometrisch datiert | daté radiométriquement |
| 999997 | Unknown | inconnu |
| 999998 | Not applicable | not applicable |

5.2.5 Attribute status

Zustand der Objektart

| GeolCode | Deutsch | Français |
|----------|-----------------|----------------|
| 12905001 | aufgeschlossen | affleurant |
| 12905002 | wieder verdeckt | recouvert |
| 999997 | Unknown | inconnu |
| 999998 | Not applicable | not applicable |

5.2.6 Attribute protected

Geschützte Fossilfundstelle (ja / nein)? Datentyp: boolean

5.3 Class Indication_of_Resources_PT

Die Klasse [Indication_of_Resources_PT](#) beinhaltet Fundstellen von vulkanischen, mineralischen und nicht-mineralischen Rohstoffen.

| | Name | Type | Description |
|---|---|-----------------------------|--|
| 1 | kind Cardinality [1] | subtype 13201 | Objektart |
| 2 | status Cardinality [0..1] | CodedDomain | Zustand der Objektart. |
| 3 | material Cardinality [0..1] | CodedDomain | Material, das mit der Objektart in Verbindung steht. |

| | Name | Type | Description |
|---|--------------------|--------|---|
| 4 | chemistry | string | Chemische Komponente(n) oder Mineralien, welche die Natur der Objektart charakterisieren. |
| | Cardinality [0..1] | | |

5.3.1 Attribute kind

Objektart

| GeolCode | Deutsch | Français |
|----------|--|---|
| 13201001 | Lres Mineralfundstelle | gisement de minéraux |
| 13201002 | Lres Gasquelle | source de gaz naturel |
| 13201003 | Lres Anzeichen auf Öl | indices de pétrole |
| 13201006 | Lres Fundstelle vulkanischer Auswürflinge (Tephra) | gisement de projections volcaniques (tephra) |
| 13201007 | Lres Fundstelle von Ries-Auswürflingen | gisement de projections du Ries |
| 13201008 | Lres Asphalt, vereinzelt Vorkommen | asphalte, gisement isolé |
| 13201005 | Lres Fundstelle von vulkanischem Tuffit | gisement de tuffite volcanique |
| 13201004 | Lres Tasche, Karsttasche, Kluft, mit Füllung von siderolithischem Sediment | poche, poche karstique, fissure, remplie de matériel sidérolithique |
| 13201009 | Lres Meteoritenfundstelle | gisement de météorite |

5.3.2 Attribute status

Zustand der Objektart

| GeolCode | Deutsch | Français |
|----------|-----------------|----------------|
| 13202001 | aufgeschlossen | affleurant |
| 13202002 | wieder verdeckt | recouvert |
| 999997 | Unknown | inconnu |
| 999998 | Not applicable | not applicable |

5.3.3 Attribute material

Material, das mit der Objektart in Verbindung steht

| GeolCode | Deutsch | Français |
|----------|-------------------|-------------------------|
| 13203003 | Bohnerz | pisolites ferrugineuses |
| 13203001 | Boluston | argile à bolus |
| 13203004 | Glas- / Quarzsand | sable vitrifiable |
| 13203002 | Huppererde | hupper |
| 13203005 | Walkerde | terre à foulon |
| 999997 | Unknown | inconnu |
| 999998 | Not applicable | not applicable |

5.3.4 Attribute chemistry

Chemische Komponente(n) oder Mineralien, welche die Natur der Objektart charakterisieren. Datentyp: string

5.4 Class Mineralised_Zone_L

Die Klasse [Mineralised_Zone_L](#) beinhaltet Vererzungszonen.

| | Name | Type | Description |
|---|--|------------------|---|
| 1 | kind Cardinality [1] | subtype 13301 | Objektart |
| 2 | chemistry Cardinality [0..1] | string | Chemische Komponente(n), welche die Natur der Objektart charakterisieren. |

5.4.1 Attribute kind

Objektart

| GeolCode | Deutsch | Français |
|----------|---------------------|------------------|
| 13301001 | Lmin Vererzungszone | zone minéralisée |

5.4.2 Attribute chemistry

Chemische Komponente(n), welche die Natur der Objektart charakterisieren. Datentyp: string

5.5 Class Sedimentary_Structures_PT

Die Klasse [Sedimentary_Structures_PT](#) enthält beobachtete Sedimentstrukturen.

| | Name | Type | Description |
|---|--|------------------|---|
| 1 | kind Cardinality [1] | subtype 13401 | Objektart |
| 2 | azimuth Cardinality [0..1] | integer | Orientierung des Symbols. Wert in Grad (0° 359°) im Uhrzeigersinn gemessen. |

5.5.1 Attribute kind

Objektart

| GeolCode | Deutsch | Français |
|----------|--|---|
| 13401001 | Lsed Sedimentstrukturen | structures sédimentaires |
| 13401002 | Lsed Riffstrukturen | structures récifales |
| 13401003 | Lsed Erosions- oder Omissionsfläche, Hartgrund, Kondensationshorizont | surface d'érosion ou lacune stratigraphique, surface durcie, niveau de condensation |
| 13401004 | Lsed stratigraphische Lage (Polarität) einer Schichtserie | position stratigraphique (polarité) d'une couche sédimentaire |
| 13401005 | Lsed Winkeldiskordanz | discordance angulaire |
| 13401006 | Lsed Entwässerungstrichter (blow-out structure) | cratère d'échappement d'eau |

5.5.2 Attribute azimuth

Orientierung des Symbols. Wert in Grad (0° 359°) im Uhrzeigersinn gemessen. Datentyp: integer

5.6 Class Type_Localities_PT

Die Klasse [Type_Localities_PT](#) beinhaltet diejenigen Objektarten, die Typlokalitäten oder wichtige geologische Aufschlüsse beschreiben.

| | Name | Type | Description |
|---|--|-----------------------------|--|
| 1 | kind Cardinality [1] | subtype 13501 | Objektart |
| 2 | strati Cardinality [0..1] | CodedDomain | Lithostratigraphischer Zusatz zum Objekt. |
| 3 | name | string | Name der Typlokalität. / Beschreibung des geologisch relevanten Aufschlusses |
| 4 | Cardinality [0..1] accessibil | boolean | Ist die Objektart zum Zeitpunkt der Aufnahme aufgeschlossen (ja / nein)? |
| 5 | Cardinality [0..1] protected Cardinality [0..1] | boolean | Geschütztes geologisches Objekt (ja / nein)? |

5.6.1 Attribute kind

Objektart

| GeolCode | Deutsch | Français |
|----------|---------------------------------------|-----------------------------------|
| 13501001 | Ltyp geologisch relevanter Aufschluss | affleurement géologique important |
| 13501003 | Ltyp Typusprofil | coupe-type |

5.6.2 Attribute strati

Lithostratigraphischer Zusatz zum Objekt

| GeolCode | Deutsch | Français |
|----------|----------------|----------------|
| 13502005 | Bank | banc |
| 13502003 | Formation | formation |
| 13502001 | Gruppe | groupe |
| 13502004 | Member | membre |
| 13502006 | Stufe | étage |
| 13502002 | Subgruppe | sous-groupe |
| 999997 | Unknown | inconnu |
| 999998 | Not applicable | not applicable |

5.6.3 Attribute name

Name der Typlokalität. / Beschreibung des geologisch relevanten Aufschlusses Datentyp: string

5.6.4 Attribute accessible

Ist die Objektart zum Zeitpunkt der Aufnahme aufgeschlossen (ja / nein)? Datentyp: boolean

5.6.5 Attribute protected

Geschütztes geologisches Objekt (ja / nein)? Datentyp: boolean

5.7 Class Prominent_Lithological_Features_L

In der Klasse [Prominent_Lithological_Features_L](#) befinden sich linienförmige Gesteinshorizonte. Diese Gesteinshorizonte haben bloss Hinweischarakter (z.B. «markante Sandsteinbank» innerhalb von Wechsellagerungen von Sandstein und Mergel) und sind von den Leithorizonten (z.B. «Spatkalk im Hauptrogenstein») zu unterscheiden. Leithorizonte befinden sich im Thema Rock Bodies.

| | Name | Type | Description |
|---|---|-----------------------------|--|
| 1 | kind Cardinality [1] | subtype 13101 | Objektart |
| 2 | cong_spe Cardinality [0..1] | CodedDomain | Charakterisation der Konglomerate nach ihrem Geröllspektrum.. |
| 3 | name_horiz | CodedDomain | Name des Bentonit-Leithorizonts.. Die möglichen Werte sind in der Tabelle GC_LITSTRAT_BED_CD im Anhang dieses Dokumentes verfügbar. |
| 4 | orig_descr Cardinality [0..1] | string | Originalbezeichnung gemäss der Legende der zugrundeliegenden geologischen Karte. |
| 5 | lpro_litho Cardinality [0..1] | CodedDomain | Materialbezeichnung (lithologische Einheit).. Die möglichen Werte sind in der Tabelle GC_LITHO_CD im Anhang dieses Dokumentes verfügbar. |
| | Cardinality [1] | | |

5.7.1 Attribute kind

Objektart

| GeolCode | Deutsch | Français |
|----------|-----------------------|------------------|
| 13101001 | Lpro Gesteinshorizont | horizon de roche |

5.7.2 Attribute cong_spe

Charakterisation der Konglomerate nach ihrem Geröllspektrum.

| GeolCode | Deutsch | Français |
|----------|---|--|
| 13102003 | bunte bis polygene Nagelfluh | poudingue polygénique |
| 13102004 | Flyschsandstein-Nagelfluh, Riesenkonglomerat | poudingue à éléments de grès de flysch, Riesenkonglomerat |
| 13102001 | kristallinfreie bis -arme (Kalk-)Nagelfluh | poudingue (calcaire) dépourvu ou pauvre en éléments cristallins |
| 13102002 | kristallinführende (Kalk-)Nagelfluh | poudingue (calcaire) à éléments cristallins |
| 999997 | Unknown | inconnu |
| 999998 | Not applicable | not applicable |

5.7.3 Attribute name_horiz

Name des Bentonit-Leithorizonts. Siehe die CodedDomain [GC_LITSTRAT_BED_CD](#) in Ahhang

5.7.4 Attribute orig_descr

Originalbezeichnung gemäss der Legende der zugrundeliegenden geologischen Karte. Datentyp: string

5.7.5 Attribute lpro_litho

Materialbezeichnung (lithologische Einheit). Siehe die CodedDomain [GC_LITHO_CD](#) in Ahhang

5.8 Class Miscellaneous_PT

Die Klasse [Miscellaneous_PT](#) ist für lokale, sehr spezielle geologische Objekte reserviert, die für die Gesamtheit der geologischen Daten irrelevant sind und deshalb im Datenmodell Geologie nicht standardisiert werden

| | Name | Type | Description |
|---|---|------------------|--|
| 1 | kind Cardinality [1] | subtype 15501 | Objektart |
| 2 | orig_name Cardinality [1] | string | Ursprüngliche Bezeichnung des Objektes. |

5.8.1 Attribute kind

Objektart

| GeolCode | Deutsch | Français |
|----------|--------------|----------|
| 15501001 | Lmis Diverse | divers |

5.8.2 Attribute orig_name

Ursprüngliche Bezeichnung des Objektes. Datentyp: string

5.9 Class Geological_Outlines_L

Die Klasse [Geological_Outlines_L](#) beinhaltet geologische Konturen. Darunter fallen die Umrisse von Fest- und Lockergesteinen, von tektonisierten Zonen, sowie die Umgrenzungen von Rutschungs- und Sackungsmassen, welche nicht durch andere Konturarten (z.B. tektonische Grenzen) abgegrenzt werden. Eine geologische Kontur mit Status im Allgemeinen umfasst stratigraphische und petrographische Grenzen. Geologische Konturen, welche von quartären Ablagerungen, Gewässern oder Gletschern bedeckt sind oder graduelle Übergänge in Locker- und Festgesteinen (keine klaren lithologischen Grenzen; im Sinne der Signaturgrenze nach dem Zeichenverzeichnis (ZV)), haben den Status vermutet. Künstliche geologische Konturen sind Konturen, welche Gebiete mit detaillierter Information von Gebieten mit geringerer Informationsdichte aufgrund fehlender Informationen oder aus darstellerischen Gründen (Digitalisierungsmassstab) ab-grenzen (Abgrenzungskontur nach dem ZV).

| | Name | Type | Description |
|---|-------------------------------------|-----------------------------|-------------------------|
| 1 | kind Cardinality [1] | subtype 13001 | Objektart |
| 2 | status Cardinality [0..1] | CodedDomain | Zustand der Objektart.. |

5.9.1 Attribute kind

Objektart

| GeolCode | Deutsch | Français |
|----------|-------------------------|--------------------|
| 13001001 | Lgeo geologische Kontur | contour géologique |

5.9.2 Attribute status

Zustand der Objektart.

| GeolCode | Deutsch | Français |
|----------|---------------------------------|------------------------|
| 13002004 | gesichert, tektonisch überprägt | certain, tectonisé |
| 13002001 | im Allgemeinen | en général |
| 13002003 | künstlich | artificiel |
| 13002002 | vermutet | probable |
| 13002005 | vermutet, tektonisch überprägt | probable, tectonisé |
| 999997 | Unknown | inconnu |
| 999998 | Not applicable | not applicable |
| 13002006 | Gewässerlinie | ligne d'un cours d'eau |

6 Theme PARAMETER_AND_MODELLING

6.1 Class Slope_Bedrock_PT

Die Klasse [Slope_Bedrock_PT](#) enthält Punktinformationen aus Modellierungen des Festgestein- verlaufs im Untergrund.

| | Name | Type | Description |
|---|-------------|---------|-------------|
| 1 | kind | subtype | Objektart |

| | Name | Type | Description |
|---|-----------------------------------|--------------------------------------|--|
| 2 | Cardinality [1] type | 14201 CodedDomain | Referenzoberfläche.. |
| 3 | Cardinality [1] azimuth | integer | Fallrichtung (Azimut) der jeweiligen Punktojektart. Wert in Grad (0° 359°) im Uhrzeigersinn gemessen. |
| 4 | Cardinality [0..1] dip | integer | Einfallswert der jeweiligen Punktojektart. Wert in Grad gemessen aus der Horizontalen (0°) nach unten bis in die |

Vertikale (90°). | Cardinality [0..1] | | 5 | **pslo_formatio** | [CodedDomain](#) | Lithostratigraphische Einheit der modellierten Formation. Die möglichen Werte sind in der Tabelle GC_LITSTRAT_BED_CD im Anhang dieses Dokumentes verfügbar. | Cardinality [1] | |

6.1.1 Attribute kind

Objektart

| GeolCode | Deutsch | Français |
|----------|-----------------------|-------------------------|
| 14201001 | Pslo Neigungsrichtung | direction de plongement |

6.1.2 Attribute type

Referenzoberfläche.

| GeolCode | Deutsch | Français |
|----------|--------------------------------------|--|
| 14202001 | Felsoberfläche | surface du substratum rocheux |
| 14202002 | Obergrenze einer gegebenen Formation | surface du toit d'une formation donnée |
| 999997 | Unknown | inconnu |
| 999998 | Not applicable | not applicable |

6.1.3 Attribute azimuth

Fallrichtung (Azimut) der jeweiligen Punktojektart. Wert in Grad (0° 359°) im Uhrzeigersinn gemessen. Datentyp: integer

6.1.4 Attribute dip

Einfallswert der jeweiligen Punktojektart. Wert in Grad gemessen aus der Horizontalen (0°) nach unten bis in die Vertikale (90°). Datentyp: integer

6.1.5 Attribute pslo_formatio

Lithostratigraphische Einheit der modellierten Formation Siehe die CodedDomain [GC_LITSTRAT_BED_CD](#) in Ahhang

6.2 Class Contour_Lines_Bedrock_L

Die Klasse [Contour_Lines_Bedrock_L](#) beinhaltet Isohypsen, die sich auf den Verlauf des Fest- gesteins beziehen und die das Resultat von Modellierungen darstellen. U.a. befinden sich die Iso- hypsen der Felsoberfläche in dieser Klasse.

| | Name | Type | Description |
|---|--|-----------------------------|---|
| 1 | kind Cardinality [1] | subtype 13901 | Objektart |
| 2 | type Cardinality [1] | CodedDomain | Referenzoberfläche.. |
| 3 | altitude Cardinality [1] | float | Höhenangabe (m ü.M.) von Isohypsen. |
| 4 | litstrat Cardinality [1] | CodedDomain | Lithostratigraphische Einheit der modellierten Formation. Die möglichen Werte sind in der Tabelle GC_LITSTRAT_BED_CD im Anhang dieses Dokumentes verfügbar. |

6.2.1 Attribute kind

Objektart

| GeolCode | Deutsch | Français |
|----------|---------------|----------|
| 13901001 | Pcob Isohypse | isohypse |

6.2.2 Attribute type

Referenzoberfläche.

| GeolCode | Deutsch | Français |
|----------|---------------------------------------|---|
| 13902001 | Felsoberfläche | surface du substratum rocheux |
| 13902002 | Obergrenze einer gegebenen Formation | surface du toit d'une formation donnée |
| 13902003 | Untergrenze einer gegebenen Formation | surface de la base d'une formation donnée |
| 999997 | Unknown | inconnu |
| 999998 | Not applicable | not applicable |

6.2.3 Attribute altitude

Höhenangabe (m ü.M.) von Isohypsen. Datentyp: float

6.2.4 Attribute litstrat

Lithostratigraphische Einheit der modellierten Formation Siehe die CodedDomain [GC_LITSTRAT_BED_CD](#) in Ahhang

6.3 Class Modelled_Water_Table_PT

Die Klasse **Modelled_Water_Table_PT** enthält Punktinformationen aus Modellierungen des Grundwasserspiegels.

| | Name | Type | Description |
|---|--|------------------|---|
| 1 | kind Cardinality [1] | subtype 14101 | Objektart |
| 2 | azimuth Cardinality [0..1] | integer | Fallrichtung (Azimut) der jeweiligen Punktojektart. Wert in Grad (0° 359°) im Uhrzeigersinn gemessen. |
| 3 | dip Cardinality [0..1] | integer | Einfallswert der jeweiligen Punktojektart. Wert in Grad gemessen aus der Horizontalen (0°) nach unten bis in die Vertikale (90°). |
| 4 | height Cardinality [0..1] | float | Kote des Grundwasserspiegels (m ü.M.). |
| 5 | mea_period Cardinality [0..1] | range | Messperiode. |

6.3.1 Attribute kind

Objektart

| GeolCode | Deutsch | Français |
|----------|--|-------------------------------------|
| 14101001 | Pmod Grundwasserfließrichtung | direction d'écoulement |
| 14101002 | Pmod mittlere Höhe des Grundwasserspiegels | niveau moyen de la nappe phréatique |

6.3.2 Attribute azimuth

Fallrichtung (Azimut) der jeweiligen Punktojektart. Wert in Grad (0° 359°) im Uhrzeigersinn gemessen. Datentyp: integer

6.3.3 Attribute dip

Einfallswert der jeweiligen Punktojektart. Wert in Grad gemessen aus der Horizontalen (0°) nach unten bis in die Vertikale (90°). Datentyp: integer

6.3.4 Attribute height

Kote des Grundwasserspiegels (m ü.M.). Datentyp: float

6.3.5 Attribute mea_period

Messperiode. Datentyp: range

6.4 Class Contour_Lines_Hydro_L

In der Klasse [Contour_Lines_Hydro_L](#) befinden sich die Isohypsen, die sich auf das Grundwasser beziehen.

| | Name | Type | Description |
|---|--|-----------------------------|-------------------------------------|
| 1 | kind Cardinality [1] | subtype 14001 | Objektart |
| 2 | confine Cardinality [0..1] | CodedDomain | Druckzustand im Grundwasserleiter.. |
| 3 | altitude Cardinality [1] | | Höhenangabe (m ü.M.) von Isohypsen. |
| 4 | wa_table Cardinality [0..1] | CodedDomain | Wasserstand.. |

6.4.1 Attribute kind

Objektart

| GeolCode | Deutsch | Français |
|----------|---------------------------------------|--------------------------------------|
| 14001001 | Pcoh Isohypse des Grundwasserspiegels | isohypse de la surface piézométrique |

6.4.2 Attribute confine

Druckzustand im Grundwasserleiter.

| GeolCode | Deutsch | Français |
|----------|----------------|----------------|
| 14002003 | artesisch | artésienne |
| 14002001 | frei | libre |
| 14002002 | gespannt | captive |
| 999997 | Unknown | inconnu |
| 999998 | Not applicable | not applicable |

6.4.3 Attribute altitude

Höhenangabe (m ü.M.) von Isohypsen.

6.4.4 Attribute wa_table

Wasserstand.

| GeolCode | Deutsch | Français |
|----------|---------------------------------------|----------------------------------|
| 14004002 | mittlere Höhe des Hochwasserstands | altitude moyenne des hautes eaux |
| 14004001 | mittlere Höhe des Niedrigwasserstands | altitude moyenne des basses eaux |
| 999997 | Unknown | inconnu |
| 999998 | Not applicable | not applicable |

7 Theme ANTHROPOGENIC_FEATURES

7.1 Class Archaeology_PT

Die Klasse [Archaeology_PT](#) enthält Objektarten zu einzelnen archäologischen Relikten.

| | Name | Type | Description |
|---|---|-----------------------------|--|
| 1 | kind Cardinality [] | subtype 10101 | Objektart |
| 2 | epoch Cardinality [0..1] | CodedDomain | Archäologische Epoche der Objektart. |
| 3 | period Cardinality [0..1] | CodedDomain | Archäologische Periode der Objektart.. |
| 4 | age Cardinality [0..1] | CodedDomain | Archäologisches Alter der Objektart.. |
| 5 | type Cardinality [0..1] | CodedDomain | Art des Kultsteins.. |

7.1.1 Attribute kind

Objektart

| GeolCode | Deutsch | Français |
|----------|--|--|
| 10101001 | Aarc archäologische Fundstelle, Anlage, Siedlungsreste | site archéologique, station, vestiges d'établissement |
| 10101005 | Aarc Gräber, Gräberfeld | tombe, site mortuaire |
| 10101007 | Aarc Grabhügel, Dolmengrab | tumulus, dolmen funéraire |
| 10101008 | Aarc Kultstein | mégalithe |
| 10101009 | Aarc Kalkofen | four à chaux |
| 10101010 | Aarc Felsenkeller | cave dans la roche |
| 10101011 | Aarc Schlackenhalde | crassier |
| 10101012 | Aarc Glashütte | verrerie |
| 10101013 | Aarc Schmelzofen | four à fer |
| 10101004 | Aarc Burgstelle, Burghügel, Wachturm | motte, emplacement d'un ancien château, d'une fortification, d'un château-fort |
| 10101002 | Aarc Höhlensiedlung, Abri | grotte, abri sous roche |
| 10101003 | Aarc Pfahlbauten | palafitte |
| 10101006 | Aarc Steinplattengrab | sépulture |
| 10101015 | Aarc Abbaustelle | exploitation |

7.1.2 Attribute epoch

Archäologische Epoche der Objektart

| GeolCode | Deutsch | Français |
|----------|---------------|---------------|
| 10002001 | historisch | historique |
| 10002002 | prähistorisch | préhistorique |
| 999997 | Unknown | inconnu |

| GeolCode | Deutsch | Français |
|----------|----------------|----------------|
| 999998 | Not applicable | not applicable |

7.1.3 Attribute period

Archäologische Periode der Objektart.

| GeolCode | Deutsch | Français |
|----------|----------------|------------------|
| 10003005 | Bronzezeit | âge du bronze |
| 10003004 | Eisenzeit | âge du fer |
| 10003002 | Mittelalter | Moyen Âge |
| 10003001 | Neuzeit | époque moderne |
| 10003003 | Römerzeit | époque romaine |
| 10003006 | Steinzeit | âge de la pierre |
| 999997 | Unknown | inconnu |
| 999998 | Not applicable | not applicable |

7.1.4 Attribute age

Archäologisches Alter der Objektart.

| GeolCode | Deutsch | Français |
|----------|------------------|----------------|
| 10004005 | Altbronzezeit | bronze précoce |
| 10004002 | Hallstattzeit | Hallstatt |
| 10004003 | Jungbronzezeit | bronze tardif |
| 10004001 | Latènezeit | La Tène |
| 10004007 | Mesolithikum | mésolithique |
| 10004004 | Mittelbronzezeit | bronze moyen |
| 10004006 | Neolithikum | néolithique |
| 10004008 | Paläolithikum | paléolithique |
| 999997 | Unknown | inconnu |
| 999998 | Not applicable | not applicable |

7.1.5 Attribute type

Art des Kultsteins.

| GeolCode | Deutsch | Français |
|----------|----------------|------------------|
| 10105001 | Menhir | menhir |
| 10105002 | Schalenstein | pierre à cupules |
| 999997 | Unknown | inconnu |
| 999998 | Not applicable | not applicable |

7.2 Class Archaeology_L

Die Klasse [Archaeology_L](#) umfasst linienförmige archäologische Elemente. Historische Strassen, Hohlwege oder Befestigungsgräben sind Teile dieser Klasse.

| | Name | Type | Description |
|---|---|-----------------------------|--|
| 1 | kind Cardinality [] | subtype 10201 | Objektart |
| 2 | epoch Cardinality [0..1] | CodedDomain | Archäologische Epoche der Objektart. |
| 3 | period Cardinality [0..1] | CodedDomain | Archäologische Periode der Objektart.. |
| 4 | age Cardinality [0..1] | CodedDomain | Archäologisches Alter der Objektart.. |

7.2.1 Attribute kind

Objektart

| GeolCode | Deutsch | Français |
|----------|--|--|
| 10201001 | Aarc Verkehrsweg | voie de communication |
| 10201002 | Aarc Hohlweg | chemin creux |
| 10201003 | Aarc künstlicher Graben, Befestigungsgraben | fossé artificiel, fossé de fortification |
| 10201004 | Aarc künstlicher Erdwall | levée de terre artificielle |
| 10201005 | Aarc Wasserleitung | aqueduc |
| 10201006 | Aarc Steinreihe | alignement mégalithique |
| 10201007 | Aarc Schützengraben | tranchée |

7.2.2 Attribute epoch

Archäologische Epoche der Objektart

| GeolCode | Deutsch | Français |
|----------|----------------|----------------|
| 10002001 | historisch | historique |
| 10002002 | prähistorisch | préhistorique |
| 999997 | Unknown | inconnu |
| 999998 | Not applicable | not applicable |

7.2.3 Attribute period

Archäologische Periode der Objektart.

| GeolCode | Deutsch | Français |
|----------|----------------|------------------|
| 10003005 | Bronzezeit | âge du bronze |
| 10003004 | Eisenzeit | âge du fer |
| 10003002 | Mittelalter | Moyen Âge |
| 10003001 | Neuzeit | époque moderne |
| 10003003 | Römerzeit | époque romaine |
| 10003006 | Steinzeit | âge de la pierre |
| 999997 | Unknown | inconnu |
| 999998 | Not applicable | not applicable |

7.2.4 Attribute age

Archäologisches Alter der Objektart.

| GeolCode | Deutsch | Français |
|----------|------------------|----------------|
| 10004005 | Altbronzezeit | bronze précoce |
| 10004002 | Hallstattzeit | Hallstatt |
| 10004003 | Jungbronzezeit | bronze tardif |
| 10004001 | Latènezeit | La Tène |
| 10004007 | Mesolithikum | mésolithique |
| 10004004 | Mittelbronzezeit | bronze moyen |
| 10004006 | Neolithikum | néolithique |
| 10004008 | Paläolithikum | paléolithique |
| 999997 | Unknown | inconnu |
| 999998 | Not applicable | not applicable |

7.3 Class Archaeology_PLG

Die Klasse [Archaeology_PLG](#) beinhaltet archäologische Relikte (z.B. römisches Castrum), die ein grösseres Gebiet (Fläche) abdecken.

| | Name | Type | Description |
|---|-------------------------------------|-----------------------------|--|
| 1 | kind Cardinality [] | subtype 10301 | Objektart |
| 2 | epoch Cardinality [0..1] | CodedDomain | Archäologische Epoche der Objektart. |
| 3 | period Cardinality [0..1] | CodedDomain | Archäologische Periode der Objektart.. |
| 4 | age Cardinality [0..1] | CodedDomain | Archäologisches Alter der Objektart.. |

7.3.1 Attribute kind

Objektart

| GeolCode | Deutsch | Français |
|----------|---------------------------------------|----------------------------------|
| 10301001 | Aarc Castrum | castrum |
| 10301002 | Aarc Refugium, Höhensiedlung, Erdwerk | refugium, oppidum, fortification |

7.3.2 Attribute epoch

Archäologische Epoche der Objektart

| GeolCode | Deutsch | Français |
|----------|---------------|---------------|
| 10002001 | historisch | historique |
| 10002002 | prähistorisch | préhistorique |
| 999997 | Unknown | inconnu |

| GeolCode | Deutsch | Français |
|----------|----------------|----------------|
| 999998 | Not applicable | not applicable |

7.3.3 Attribute period

Archäologische Periode der Objektart.

| GeolCode | Deutsch | Français |
|----------|----------------|------------------|
| 10003005 | Bronzezeit | âge du bronze |
| 10003004 | Eisenzeit | âge du fer |
| 10003002 | Mittelalter | Moyen Âge |
| 10003001 | Neuzeit | époque moderne |
| 10003003 | Römerzeit | époque romaine |
| 10003006 | Steinzeit | âge de la pierre |
| 999997 | Unknown | inconnu |
| 999998 | Not applicable | not applicable |

7.3.4 Attribute age

Archäologisches Alter der Objektart.

| GeolCode | Deutsch | Français |
|----------|------------------|----------------|
| 10004005 | Altbronzezeit | bronze précoce |
| 10004002 | Hallstattzeit | Hallstatt |
| 10004003 | Jungbronzezeit | bronze tardif |
| 10004001 | Latènezeit | La Tène |
| 10004007 | Mesolithikum | mésolithique |
| 10004004 | Mittelbronzezeit | bronze moyen |
| 10004006 | Neolithikum | néolithique |
| 10004008 | Paläolithikum | paléolithique |
| 999997 | Unknown | inconnu |
| 999998 | Not applicable | not applicable |

7.4 Class Exploitation_Geomaterials_PT

Die Klasse [Exploitation_Geomaterials_PT](#) enthält punktförmige Angaben zu Abbaustellen von Geomaterialien.

| | Name | Type | Description |
|---|--|--|--|
| 1 | kind Cardinality [] | subtype 10601 | Objektart |
| 2 | exp_unit Cardinality [0..*] | table | Abgebaute lithostratigraphische Einheit. |
| 3 | status Cardinality [0..1] | gc_litstrat_bed CodedDomain | Abbaustatus.. |
| 4 | depth_tot Cardinality [0..1] | float | Endtiefe (m ab Terrainoberfläche) der Objektart. |
| 5 | targ_mat Cardinality [0..1] | CodedDomain | Abgebautes Material.. |

| Name | Type | Description |
|------|------|-------------|
|------|------|-------------|

7.4.1 Attribute kind

Objektart

| GeolCode | Deutsch | Français |
|----------|---|--|
| 10601001 | Aexp Bergwerk, Untertageabbau | mine, exploitation souterraine |
| 10601002 | Aexp Stolleneingang | entrée de galerie |
| 10601003 | Aexp Schacht | puits de mine |
| 10601004 | Aexp Pinge (dolinenartiger Stolleneinbruch) | fontis (effondrement de surface lié à des travaux souterrains) |
| 10601005 | Aexp Schürfloch | trace d'exploitation en surface |
| 10601006 | Aexp ausgeräumte Bohnerztasche | poche sidérolithique vidée |

7.4.2 Attribute exp_unit

Abgebaute lithostratigraphische Einheit.

7.4.3 Attribute status

Abbaustatus.

| GeolCode | Deutsch | Français |
|----------|----------------|-----------------|
| 10603003 | aufgefüllt | comblé |
| 10603001 | in Betrieb | en exploitation |
| 10603002 | stillgelegt | abandonné |
| 10603004 | verfallen | effondré |
| 999997 | Unknown | inconnu |
| 999998 | Not applicable | not applicable |

7.4.4 Attribute depth_tot

Endtiefe (m ab Terrainoberfläche) der Objektart. Datentyp: float

7.4.5 Attribute targ_mat

Abgebautes Material.

| GeolCode | Deutsch | Français |
|----------|-------------------------------|--|
| 10605010 | Antimon | antimoine |
| 10605023 | Asbest | asbeste / amiante |
| 10605029 | Asphalt / Bitumen | asphalte / bitume |
| 10605011 | Baryt | barytine |
| 10605006 | Blei-Zink | plomb-zinc |
| 10605022 | Bohnerz | pisolites ferrugineuses |
| 10605007 | Chrom-Nickel, z.T. mit Kobalt | chrome-nickel, partiellement avec cobalt |
| 10605031 | Dachschiefer / Tafelschiefer | ardoise, schiste ardoisier |
| 10605005 | Eisen / Eisenoolith | fer / oolite ferrugineuse |

| GeolCode | Deutsch | Français |
|----------|---|---|
| 10605001 | Erze allgemein | minerais en général |
| 10605013 | Fluorit | fluorite |
| 10605034 | Gips | gypse |
| 10605002 | Gold | or |
| 10605027 | Graphit | graphite |
| 10605030 | Hartgestein | roche dure |
| 10605012 | Kalzit | calcite |
| 10605015 | Kaolin | kaolin |
| 10605040 | Kies | gravier |
| 10605024 | Kohle allgemein | charbon en général |
| 10605004 | Kupfer, z.T. mit Silber, Wismut und Arsen | cuivre, partiellement avec argent, bismuth et arsenic |
| 10605026 | Lignit | lignite |
| 10605016 | Magnesit | magnésite |
| 10605017 | Magnesium | magnésium |
| 10605008 | Mangan | manganèse |
| 10605009 | Molybdän und Wolfram | molybdène et tungstène |
| 10605028 | Ölschiefer | schiste bitumineux |
| 10605018 | Phosphorit, Apatit | phosphorite, apatite |
| 10605039 | Pyrit | pyrite |
| 10605014 | Quarz | quartz |
| 10605035 | Salz / Steinsalz | sel / halite |
| 10605037 | Sand | sable |
| 10605038 | Sand und Kies | sable et gravier |
| 10605020 | Schwefel | soufre |
| 10605032 | Serpentin | serpentine |
| 10605003 | Silber | argent |
| 10605033 | Speckstein | stéatite |
| 10605025 | Steinkohle / Anthrazit | houille / anthracite |
| 10605019 | Talk | talc |
| 10605036 | Ton / Ton und Silt (Lehm) | argile / argile et silt (limon) |
| 10605021 | Uran | uranium |
| 999997 | Unknown | inconnu |
| 999998 | Not applicable | not applicable |

7.5 Class Exploitation_Geomaterials_L

Die Klasse [Exploitation_Geomaterials_L](#) beinhaltet linienförmige Informationen zum Abbau von Geomaterialien (z.B. Verlauf der Abbaufont).

| | Name | Type | Description |
|---|-------------------------------------|-----------------------------|---------------|
| 1 | kind Cardinality [] | subtype 10701 | Objektart |
| 2 | status Cardinality [0..1] | CodedDomain | Abbaustatus.. |

7.5.1 Attribute kind

Objektart

| GeolCode | Deutsch | Français |
|----------|-----------------------|----------------------|
| 10701001 | Aexp Abbaufont | front d'exploitation |
| 10701002 | Aexp Bergwerksstollen | galerie de mine |

7.5.2 Attribute status

Abbaustatus.

| GeolCode | Deutsch | Français |
|----------|----------------|-----------------|
| 10702003 | aufgefüllt | comblé |
| 10702001 | in Betrieb | en exploitation |
| 10702002 | stillgelegt | abandonné |
| 10702004 | verfallen | effondré |
| 999997 | Unknown | inconnu |
| 999998 | Not applicable | not applicable |

7.6 Class Exploitation_Geomaterials_PLG

Die Klasse [Exploitation_Geomaterials_PLG](#) enthält Flächen, wo zur Zeit der geologischen Aufnahmen Geomaterialien abgebaut wurden.

| | Name | Type | Description |
|---|--|---|--|
| 1 | kind Cardinality [] | subtype 10801 | Objektart |
| 2 | exp_unit Cardinality [1..*] | table gc_litstrat_bed CodedDomain | Abgebaute lithostratigraphische Einheit. |
| 3 | status Cardinality [0..1] | | Abbaustatus.. |
| 4 | depth_tot Cardinality [0..1] | float | Endtiefe (m ab Terrainoberfläche) der Objektart. |
| 5 | targ_mat Cardinality [0..1] | CodedDomain | Abgebautes Material.. |

7.6.1 Attribute kind

Objektart

| GeolCode | Deutsch | Français |
|----------|----------------------------------|-----------------------------------|
| 10801001 | Aexp Steinbruch | carrière |
| 10801002 | Aexp Grube (Lockergesteinsabbau) | exploitation de matériaux meubles |

7.6.2 Attribute exp_unit

Abgebaute lithostratigraphische Einheit.

7.6.3 Attribute status

Abbaustatus.

| GeolCode | Deutsch | Français |
|----------|----------------|-----------------|
| 10802003 | aufgefüllt | comblé |
| 10802001 | in Betrieb | en exploitation |
| 10802002 | stillgelegt | abandonné |
| 10802004 | verfallen | effondré |
| 999997 | Unknown | inconnu |
| 999998 | Not applicable | not applicable |

7.6.4 Attribute depth_tot

Endtiefe (m ab Terrainoberfläche) der Objektart. Datentyp: float

7.6.5 Attribute targ_mat

Abgebautes Material.

| GeolCode | Deutsch | Français |
|----------|------------------------------|---------------------------------|
| 10804015 | Asbest | asbeste / amiante |
| 10804010 | Baryt | barite |
| 10804016 | Bohnerz | pisolites ferrugineuses |
| 10804005 | Dachschiefer / Tafelschiefer | ardoise, schiste ardoisier |
| 10804012 | Eisen / Eisenoolithe | fer / oolite ferrugineuse |
| 10804006 | Gips | gypse |
| 10804004 | Hartgestein | roche dure |
| 10804011 | Kalzit / Kalk | calcite / calcaire |
| 10804013 | Kaolin | kaolin |
| 10804021 | Kies | gravier |
| 10804019 | Kohle | charbon |
| 10804018 | Mergel | marne |
| 10804014 | Quarz / Quarzit | quartz / quartzite |
| 10804020 | Salz / Steinsalz | sel |
| 10804002 | Sand | sable |
| 10804003 | Sand und Kies | sable et gravier |
| 10804007 | Serpentin | serpentine |
| 10804008 | Speckstein | stéatite |
| 10804009 | Talk | talc |
| 10804001 | Ton / Ton und Silt (Lehm) | argile / argile et silt (limon) |
| 10804017 | Torf | tourbe |
| 999997 | Unknown | inconnu |
| 999998 | Not applicable | not applicable |

7.7 Class Boreholes_PT

Die Klasse [Boreholes_PT](#) beinhaltet Bohrungen und Sondierungen. (Auf alten gedruckten Karten wurde die Art der Sondierung nicht immer unterschieden. Es kann daher sein, dass in alten Karten Rammkernsondierungen als Bohrungen aufgenommen wurden.)

| | Name | Type | Description |
|---|---|------------------|--|
| 1 | kind Cardinality [] | subtype 10501 | Objektart |
| 2 | drill_mo Cardinality [0..1] | 10502 | Bohrmethode. |
| 3 | depth_bedrock | float | Tiefe (in Meter ab Terrainoberfläche) der Felsoberfläche. (Sofern die Bohrung das Festgestein nicht Depth_Bedrock erreicht, z.B. «Bohrung, Fels nicht erreicht», beträgt der Wert -9999, falls die Bohrung bereits im Festgestein beginnt, beträgt der Wert 0). Falls Festgestein erreicht wurde, aber nicht klar ist, dass es sich um die Felsoberfläche handelt, beträgt der Wert -8888. |
| 4 | Cardinality [0..1] d_c_underg | boolean | Bohransatzpunkt unter Terrain (ja / nein) |
| 5 | Cardinality [1] main_tar | CodedDomain | Ziel der Sondierung.. |
| 6 | Cardinality [0..1] targ_mat | CodedDomain | Durch die Sondierung gefördertes Material.. |
| 7 | Cardinality [0..1] depth_tot | float | Gemessene Länge (Measured Depth) der Bohrung. Vgl. |

DM Bohrdaten. Die tatsächliche Tiefe (True Vertical Depth) ist oft nicht bekannt. | Cardinality [0..1] | | 8 | **fm_a** | CodedDomain | Lithostratigraphische Einheit der erreichten Formation A. Die möglichen Werte sind in der Tabelle GC_LITSTRAT_BED_CD im Anhang dieses Dokumentes verfügbar. | Cardinality [0..1] | | 9 | **depth_fm_a** | float | Tiefe (m ab Terrainoberfläche) der erreichten Formation A. | Cardinality [0..1] | | 10 | **fm_b** | CodedDomain | Lithostratigraphische Einheit der erreichten Formation B. Die möglichen Werte sind in der Tabelle GC_LITSTRAT_BED_CD im Anhang dieses Dokumentes verfügbar. | Cardinality [0..1] | | 11 | **depth_fm_b** | float | Tiefe (m ab Terrainoberfläche) der erreichten Formation B. | Cardinality [0..1] | | 12 | **depth_wt** | float | Tiefe (m ab Terrainoberfläche) des Grundwasserspiegels. | Cardinality [0..1] | | 13 | **azimuth** | integer | Fallrichtung (Azimut) der jeweiligen Punktobjektart. Wert in Grad (0° 359°) im Uhrzeigersinn gemessen. | Cardinality [0..1] | | 14 | **dip** | integer | Einfallswert der jeweiligen Punktobjektart. Wert in Grad gemessen aus der Horizontalen (0°) nach unten bis in die Vertikale (90°). | Cardinality [0..1] | | 15 | **ref_number** | integer | Bohrungs-ID der Objektart in einem zusätzlichen Dokument (Erläuterungen, ...). | Cardinality [0..1] | | 16 | **link** | integer | Objektnummer in der Datenbank von INFOGEO. | Cardinality [0..1] | |

7.7.1 Attribute kind

Objektart

| GeolCode | Deutsch | Français |
|----------|----------------------|---------------------------------------|
| 10501001 | Abor Bohrung | forage |
| 10501002 | Abor Sondierschlitze | fouille ou tranchée de reconnaissance |
| 10501003 | Abor Handsondierung | sondage à la tarière |

| GeolCode | Deutsch | Français |
|----------|-------------------------|-----------------------------|
| 10501004 | Abor Rammsondierung | sondage au pénétromètre |
| 10501005 | Abor Rammkernsondierung | sondage par carottier battu |

7.7.2 Attribute drill_mo

Bohrmethode.

7.7.3 Attribute depth_bedrock

Tiefe (in Meter ab Terrainoberfläche) der Felsoberfläche. (Sofern die Bohrung das Festgestein nicht Depth_Bedrock erreicht, z.B. «Bohrung, Fels nicht erreicht», beträgt der Wert -9999, falls die Bohrung bereits im Festgestein beginnt, beträgt der Wert 0). Falls Festgestein erreicht wurde, aber nicht klar ist, dass es sich um die Felsoberfläche handelt, beträgt der Wert -8888. Datentyp: float

7.7.4 Attribute d_c_underg

Bohransatzpunkt unter Terrain (ja / nein) Datentyp: boolean

7.7.5 Attribute main_tar

Ziel der Sondierung.

| GeolCode | Deutsch | Français |
|----------|------------------------|------------------------------|
| 10505006 | belasteter Standort | site pollué |
| 10505012 | Forschung | recherche |
| 10505001 | Geotechnik | géotechnique |
| 10505008 | Geothermie | géothermique |
| 10505002 | Hydrogeologie | hydrogéologique |
| 10505005 | Kohlenwasserstoffe | hydrocarbures |
| 10505004 | mineralische Rohstoffe | matières premières minérales |
| 10505013 | Naturgefahren | dangers naturels |
| 10505007 | Seismik | sismique |
| 999997 | Unknown | inconnu |
| 999998 | Not applicable | not applicable |

7.7.6 Attribute targ_mat

Durch die Sondierung gefördertes Material.

| GeolCode | Deutsch | Français |
|----------|------------------|----------------------|
| 10506003 | Erdgas | gaz naturel |
| 10506002 | Erdöl | pétrole |
| 10506004 | Erdwärme | énergie géothermique |
| 10506006 | Grundwasser | eau souterraine |
| 10506007 | Mineralwasser | eau minérale |
| 10506001 | Salz / Steinsalz | sel / halite |
| 10506005 | Thermalwasser | eau thermale |
| 999997 | Unknown | inconnu |
| 999998 | Not applicable | not applicable |

7.7.7 Attribute depth_tot

Gemessene Länge (Measured Depth) der Bohrung. Vgl. DM Bohrdaten. Die tatsächliche Tiefe (True Vertical Depth) ist oft nicht bekannt. Datentyp: float

7.7.8 Attribute fm_a

Lithostratigraphische Einheit der erreichten Formation A Siehe die CodedDomain [GC_LITSTRAT_BED_CD](#) in Ahhang

7.7.9 Attribute depth_fm_a

Tiefe (m ab Terrainoberfläche) der erreichten Formation A. Datentyp: float

7.7.10 Attribute fm_b

Lithostratigraphische Einheit der erreichten Formation B Siehe die CodedDomain [GC_LITSTRAT_BED_CD](#) in Ahhang

7.7.11 Attribute depth_fm_b

Tiefe (m ab Terrainoberfläche) der erreichten Formation B. Datentyp: float

7.7.12 Attribute depth_wt

Tiefe (m ab Terrainoberfläche) des Grundwasserspiegels. Datentyp: float

7.7.13 Attribute azimuth

Fallrichtung (Azimut) der jeweiligen Punktojektart. Wert in Grad (0° 359°) im Uhrzeigersinn gemessen. Datentyp: integer

7.7.14 Attribute dip

Einfallswert der jeweiligen Punktojektart. Wert in Grad gemessen aus der Horizontalen (0°) nach unten bis in die Vertikale (90°). Datentyp: integer

7.7.15 Attribute ref_number

Bohrungs-ID der Objektart in einem zusätzlichen Dokument (Erläuterungen, ...). Datentyp: integer

7.7.16 Attribute link

Objektnummer in der Datenbank von INFOGEOL. Datentyp: integer

7.8 Class Artificial_Surface_Modifications_PLG

Die Klasse [Artificial_Surface_Modifications_PLG](#) enthält bedeutende künstliche Veränderungen des Geländes (Golfplatz, Skigebiet, etc.), die zur Folge haben, dass das ursprüngliche Relief nicht mehr zu erkennen ist, was bei einer geomorphologischen Deutung zu falschen Schlüssen führen könnte.

| | Name | Type | Description |
|---|--------------------------------|------------------|-------------|
| 1 | kind Cardinality [1] | subtype 10401 | Objektart |

| Name | Type | Description |
|------|------|-------------|
|------|------|-------------|

7.8.1 Attribute kind

Objektart

| GeolCode | Deutsch | Français |
|----------|---|------------------------------------|
| 10401001 | Aart künstlich verändertes Gelände | terrain modelé artificiellement |
| 10401002 | Aart künstliche Ablagerung, undifferenziert | dépôts artificiels, indifférenciés |
| 10401003 | Aart Aufschüttung, Damm | remblai, digue |
| 10401004 | Aart Auffüllung | remplissage |
| 10401005 | Aart Deponie | décharge |
| 10401006 | Aart Halde | terril |

8 Theme HYDROGEOLOGY

8.1 Class Construction_PT

Die Klasse [Construction_PT](#) beinhaltet Wasserbauten wie Grundwasserfassungen und Zisternen. Desweiteren kommen in dieser Klasse auch Messgeräte wie Piezometer und Limnigraphen vor.

| | Name | Type | Description |
|---|---|-----------------------------|--|
| 1 | kind Cardinality [1] | subtype 12101 | Objektart |
| 2 | status Cardinality [0..1] | CodedDomain | Zustand der Objektart.. |
| 3 | epoch Cardinality [0..1] | CodedDomain | Epoche der Erbauung der Objektart.. |
| 4 | depth Cardinality [0..1] | float | Tiefe der Objektart (m ab Terrainoberfläche). |
| 5 | depth_wt Cardinality [0..1] | float | Tiefe (m ab Terrainoberfläche) des Grundwasserspiegels (Mittelwert). |
| 6 | mea_period Cardinality [0..1] | range | Messperiode. |

8.1.1 Attribute kind

Objektart

| GeolCode | Deutsch | Français |
|----------|--|----------------------------------|
| 12101001 | Hcon Grundwasserfassung | captage dans la nappe phréatique |
| 12101002 | Hcon Zisterne | citerne |
| 12101003 | Hcon laufender Brunnen (in wasserarmem Gebiet) | fontaine (en région sèche) |
| 12101004 | Hcon Sodbrunnen | puits |

| GeolCode | Deutsch | Français |
|----------|---------------------------|----------------------|
| 12101005 | Hcon Versickerungsschacht | puits d'infiltration |
| 12101006 | Hcon Limnigraph | limnigraphie |
| 12101007 | Hcon Piezometer | piézomètre |

8.1.2 Attribute status

Zustand der Objektart.

| GeolCode | Deutsch | Français |
|----------|----------------|----------------|
| 12102001 | in Betrieb | en activité |
| 12102002 | stillgelegt | abandonné |
| 999997 | Unknown | inconnu |
| 999998 | Not applicable | not applicable |

8.1.3 Attribute epoch

Epoche der Erbauung der Objektart.

| GeolCode | Deutsch | Français |
|----------|----------------|----------------|
| 12103001 | Mittelalter | Moyen Âge |
| 12103003 | prähistorisch | préhistorique |
| 12103002 | Römerzeit | époque romaine |
| 999997 | Unknown | inconnu |
| 999998 | Not applicable | not applicable |

8.1.4 Attribute depth

Tiefe der Objektart (m ab Terrainoberfläche). Datentyp: float

8.1.5 Attribute depth_wt

Tiefe (m ab Terrainoberfläche) des Grundwasserspiegels (Mittelwert). Datentyp: float

8.1.6 Attribute mea_period

Messperiode. Datentyp: range

8.2 Class Construction_L

Die Klasse [Construction_L](#) enthält linienförmige Wasserbauten wie den Wasserfassungstollen, welcher mit Objektarten der Klasse [Surface_Water_PT](#) kombiniert werden kann.

| | Name | Type | Description |
|---|--|-----------------------------|--|
| 1 | kind Cardinality [1] | subtype 12201 | Objektart |
| 2 | combi Cardinality [0..1] | CodedDomain | Objektart einer anderen Klasse, die mit der Objektart in Kombination vorkommen kann. |

8.2.1 Attribute kind

Objektart

| GeolCode | Deutsch | Français |
|----------|-------------------------------|--------------------------|
| 12201001 | Hcon Wasserfassungsstollen | galerie de captage d'eau |
| 12201002 | Hcon künstlicher Gewässerlauf | écoulement artificiel |

8.2.2 Attribute combi

Objektart einer anderen Klasse, die mit der Objektart in Kombination vorkommen kann

| GeolCode | Deutsch | Français |
|----------|---|--|
| 12202002 | mit gefasster Mineralquelle (orientiert) in Stollen | avec source minérale (orientée) captée en galerie |
| 12202003 | mit gefasster Thermalquelle (orientiert) in Stollen | avec source thermique (orientée) captée en galerie |
| 12202001 | mit Quelfassung (orientiert) in Stollen | avec captage (orienté) en galerie |
| 999997 | Unknown | inconnu |
| 999998 | Not applicable | not applicable |

8.3 Class Palaeohydrology_L

In der Klasse [Palaeohydrology_L](#) befinden sich alle linienförmigen Objektarten, welche einen gewissen Bezug zu einem ehemaligen Gewässer aufweisen.

| | Name | Type | Description |
|---|--|-----------------------------|--|
| 1 | kind Cardinality [1] | subtype 12301 | Objektart |
| 2 | rel_age Cardinality [0..1] | CodedDomain | Relatives Alter der Objektart. |
| 3 | hpal_chrono Cardinality [0..1] | CodedDomain | Chronostratigraphische Zuordnung.. Die möglichen Werte sind in der Tabelle GC_CHRONO_CD im Anhang dieses Dokumentes verfügbar. |
| 4 | ref_year Cardinality [1] | integer | Referenzjahr der ehemaligen Uferlinie. |
| 5 | source Cardinality [0..1] | string | Datenquelle der historischen Unterlagen. |

8.3.1 Attribute kind

Objektart

| GeolCode | Deutsch | Français |
|----------|-----------------------------------|--------------------|
| 12301001 | Hpal Paläotal | axe de paléovallée |
| 12301002 | Hpal ehemalige Entwässerungsrinne | ancien chenal |

| GeolCode | Deutsch | Français |
|----------|---------------------------------------|--------------------------------------|
| 12301004 | Hpal Trockental | vallée sèche |
| 12301005 | Hpal ehemaliges Bachbett | ancien lit de cours d'eau (ruisseau) |
| 12301006 | Hpal Ufer eines ehemaligen Flussbetts | rive d'un ancien lit de cours d'eau |
| 12301007 | Hpal ehemalige Uferlinie | ancienne ligne de rivage |
| 12301003 | Hpal ehemalige glaziale Abflussrinne | axe d'un ancien effluent glaciaire |

8.3.2 Attribute rel_age

Relatives Alter der Objektart

| GeolCode | Deutsch | Français |
|----------|----------------------------|--|
| 12302002 | älter als die Jüngste | plus ancienne que la plus récente |
| 12302003 | älter als die Zweitjüngste | plus ancienne que la deuxième plus récente |
| 12302001 | die Jüngste oder Einzige | la plus récente ou la seule |
| 999997 | Unknown | inconnu |
| 999998 | Not applicable | not applicable |

8.3.3 Attribute hpal_chrono

Chronostratigraphische Zuordnung. Siehe die CodedDomain [GC_CHRONO_CD](#) in Ahhang

8.3.4 Attribute ref_year

Referenzjahr der ehemaligen Uferlinie. Datentyp: integer

8.3.5 Attribute source

Datenquelle der historischen Unterlagen. Datentyp: string

8.4 Class Subsurface_Water_L

In der Klasse [Subsurface_Water_L](#) befinden sich linienförmigen Objektarten, welche einen unterirdischen Gewässerlauf anzeigen.

Der genaue Verlauf des unterirdischen Gewässerlaufes ist in fast jedem Fall vermutet, mit wenigen Ausnahmen von erforschten Höhlensystemen. Liegen Färbversuche vor, so werden diese in den Erläuterungen erwähnt, sofern diese existieren. Der unterirdische Gewässerlauf kann mit Objekten aus der Klasse [Surface_Water_PT](#) kombiniert werden.

| | Name | Type | Description |
|---|--|-----------------------------|--|
| 1 | kind Cardinality [1] | subtype 12401 | Objektart |
| 2 | combi Cardinality [0..1] | CodedDomain | Objektart einer anderen Klasse, die mit der Objektart in Kombination vorkommen kann. |

8.4.1 Attribute kind

Objektart

| GeolCode | Deutsch | Français |
|----------|----------------------------------|-----------------------|
| 12401001 | Hsub unterirdischer Gewässerlauf | écoulement souterrain |

8.4.2 Attribute combi

Objektart einer anderen Klasse, die mit der Objektart in Kombination vorkommen kann

| GeolCode | Deutsch | Français |
|----------|--|---|
| 12402001 | mit Versickerungsstelle eines Baches | avec perte d'un cours d'eau |
| 12402002 | mit Wiederaustritt eines unterirdischen Bachlaufes | avec résurgence d'une rivière souterraine |
| 999997 | Unknown | inconnu |
| 999998 | Not applicable | not applicable |

8.5 Class Surface_Water_PT

Die Klasse [Surface_Water_PT](#) umfasst lokal (punktuell) beobachtete Oberflächengewässer, wie natürliche Wasseraustritts- und Versickerungsstellen. Zudem befindet sich die Objektart Steilstufe in Bachrinne, Wasserfall in dieser Klasse, die eine spezielle Stelle in Fließgewässern markiert und die durch die darunterliegende Geologie bedingt ist. Eine Quelle wird als «Thermalquelle» bezeichnet, wenn das Wasser eine mittlere Jahrestem- 20°C aufweist. Für diesen Quelltyp ist das Attribut «Temp» vorgesehen und beschränkt sich i.d.R. auf die mittlere Wassertemperatur. Deshalb wird für dieses Attribut auch kein Datum einer Analyse angegeben. Um eine Mineralquelle handelt es sich bei einer Quelle mit einer Mineralkonzentration 1g / l Wasser oder einer CO₂- 250 mg / l Wasser. Für diesen Quelltyp ist das Attribut «Chemistry» vorgesehen. D.h. unter diesem Attribut wird das charakteristische chemische Element im Mineralwasser angegeben und nicht die komplette Wasserchemie.

| | Name | Type | Description |
|---|--------------------|-----------------------------|--|
| 1 | kind | subtype | Objektart |
| | Cardinality [1] | 12501 | |
| 2 | status | CodedDomain | Zustand der Objektart.. |
| | Cardinality [0..1] | | |
| 3 | flow_con | CodedDomain | Wasserfluss Bedingungen.. |
| | Cardinality [0..1] | | |
| 4 | type | CodedDomain | Charakteristik der Objektart. |
| | Cardinality [0..1] | | |
| 5 | dis_loca | CodedDomain | Ort des Wasserausflusses.. |
| | Cardinality [0..1] | | |
| 6 | combi | CodedDomain | Objektart einer anderen Klasse, die mit der Objektart in Kombination vorkommen kann. |
| | Cardinality [0..1] | | |
| 7 | temp | integer | Mittlere Wassertemperatur (°C). |
| | Cardinality [0..1] | | |
| 8 | chemistry | string | Charakteristisches chemisches Element im Mineralwasser (z.B. Fe). |
| | Cardinality [0..1] | | |

| | Name | Type | Description |
|---|--------------------|---------|--|
| 9 | azimuth | integer | Richtung (Azimut) der jeweiligen Punktobjektart. Wert in Grad (0° 359°) im Uhrzeigersinn gemessen. |
| | Cardinality [0..1] | | |

8.5.1 Attribute kind

Objektart

| GeolCode | Deutsch | Français |
|----------|---|--------------------------------------|
| 12501001 | Hsur Quelle | source |
| 12501002 | Hsur diffuse Quelle | source diffuse |
| 12501003 | Hsur Wiederaustritt eines unterirdischen Bachlaufes | résurgence d'une rivière souterraine |
| 12501004 | Hsur Versickerungsstelle eines Baches | perte d'un cours d'eau |
| 12501005 | Hsur Steilstufe in Bachrinne, Wasserfall | rapide d'un cours d'eau, cascade |
| 12501006 | Hsur Grundwasseraufstoss | résurgence des eaux souterraines |

8.5.2 Attribute status

Zustand der Objektart.

| GeolCode | Deutsch | Français |
|----------|----------------|----------------|
| 12502001 | gefasst | captée |
| 12502002 | nicht gefasst | non captée |
| 999997 | Unknown | inconnu |
| 999998 | Not applicable | not applicable |

8.5.3 Attribute flow_con

Wasserfluss Bedingungen.

| GeolCode | Deutsch | Français |
|----------|----------------|----------------|
| 12503001 | perennierend | pérenne |
| 12503002 | temporär | temporaire |
| 12503003 | versiegt | tarie |
| 999997 | Unknown | inconnu |
| 999998 | Not applicable | not applicable |

8.5.4 Attribute type

Charakteristik der Objektart

| GeolCode | Deutsch | Français |
|----------|---------------|-----------|
| 12504001 | Karstquelle | karstique |
| 12504002 | Mineralquelle | minérale |
| 12504003 | Thermalquelle | thermale |

| GeolCode | Deutsch | Français |
|----------|----------------|----------------|
| 999997 | Unknown | inconnu |
| 999998 | Not applicable | not applicable |

8.5.5 Attribute dis_loca

Ort des Wasserausflusses.

| GeolCode | Deutsch | Français |
|----------|----------------|----------------|
| 12505002 | in Stollen | en galerie |
| 999997 | Unknown | inconnu |
| 999998 | Not applicable | not applicable |

8.5.6 Attribute combi

Objektart einer anderen Klasse, die mit der Objektart in Kombination vorkommen kann

| GeolCode | Deutsch | Français |
|----------|---------------------------------|-------------------------------|
| 12506002 | mit unterirdischem Gewässerlauf | avec écoulement souterrain |
| 12506001 | mit Wasserfassungsstollen | avec galerie de captage d'eau |
| 999997 | Unknown | inconnu |
| 999998 | Not applicable | not applicable |

8.5.7 Attribute temp

Mittlere Wassertemperatur (°C). Datentyp: integer

8.5.8 Attribute chemistry

Charakteristisches chemisches Element im Mineralwasser (z.B. Fe). Datentyp: string

8.5.9 Attribute azimuth

Richtung (Azimut) der jeweiligen Punktobjektart. Wert in Grad (0° 359°) im Uhrzeigersinn gemessen. Datentyp: integer

8.6 Class Surface_Water_L

In der Klasse [Surface_Water_L](#) sind linienförmige Oberflächengewässer (Quellhorizonte) beschrieben.

| | Name | Type | Description |
|---|--------------------------------|------------------|-------------|
| 1 | kind Cardinality [1] | subtype 12601 | Objektart |

8.6.1 Attribute kind

Objektart

| GeolCode | Deutsch | Français |
|----------|--------------------|---|
| 12601001 | Hsur Quellhorizont | niveau de sources, déversement de la nappe phréatique |
| 12601002 | Hsur Bachlauf | ruisseau |

8.7 Class Surface_Water_PLG

Die Klasse [Surface_Water_PLG](#) beinhaltet oberflächliche Wasserspeicher wie Gletscher, Seen und Flüsse, welche geologische Einheiten bedecken und oftmals eine Interpretation der darunter- liegenden Geologie verunmöglichen. Das vollständige Gewässernetz ist nicht Teil des Daten- modells Geologie

| | Name | Type | Description |
|---|--------------------------------|------------------|-------------|
| 1 | kind Cardinality [1] | subtype 12701 | Objektart |

8.7.1 Attribute kind

Objektart

| GeolCode | Deutsch | Français |
|----------|----------------|----------|
| 12701001 | Hsur Gletscher | glacier |
| 12701002 | Hsur See | lac |
| 12701003 | Hsur Fluss | rivière |

9 Theme META_DATA

9.1 Class Mapsheet

Die Klasse [Mapsheet](#) ist eine geometrieloze Klasse. Sie beinhaltet alle Metadaten zur Objektart (Kartengrundlage). Neben der Kartenart sind Angaben wie der Titel, Massstab, Autor, Datenherr, Publikationsjahr und über die öffentliche Verfügbarkeit der Karte grundlegend. Verfügt die Karte (wie z.B. die Karten der Landesgeologie) über eine Kartenummer, kann dies bei «Map_Nbr» angegeben werden, während bei «Mapping_Period» die Zeitspanne der Datenaufnahme (Kartierung) erfasst wird. Das Attribut «Basis_Topo» beschreibt die topographische Grundlage und «Basis_Vect» den Vektordatensatz.

| | Name | Type | Description |
|---|--------------------------------------|------------------|---|
| 1 | kind Cardinality [1] | subtype 15410 | Objektart |
| 2 | map_title Cardinality [1] | string | Originaltitel (Kartentitel) der Objektart. |
| 3 | map_nbr Cardinality [0..1] | integer | Originalnummer (Kartenummer) der Objektart. |
| 4 | map_scale Cardinality [1] | string | Massstab der Objektart (Kartenmassstab). |

| | Name | Type | Description |
|---|-------------------|------|---|
| 5 | basis_topo | | Angabe zur topographischen Grundlage der Objektart. |

Wird vor allem bei Karten der Landesgeologie angegeben. | Cardinality [0..1] || 6 | **author** | string | Autor oder Autoren der Objektart. | Cardinality [1..*] || 7 | **owner** | string | Angabe zum Datenherr / zu den Datenherren der Objektart. | Cardinality [1..*] || 8 | **map_period** | string | Angabe zum Kartierzeitraum der Objektart. | Cardinality [0..1] || 9 | **publ_year** | integer | Publikationsjahr der Objektart. | Cardinality [1] || 10 | **basis_vect** | string | Grundlage Vektordatensatz. | Cardinality [0..1] || 11 | **restriction** | boolean | Angabe darüber, ob die Objektart öffentlich verfügbar ist (ja) oder einer Beschränkung (nein) unterliegt | Cardinality [1] ||

9.1.1 Attribute kind

Objektart

| | | |
|----------|---------|----------|
| GeolCode | Deutsch | Français |
|----------|---------|----------|

9.1.2 Attribute map_title

Originaltitel (Kartentitel) der Objektart. Datentyp: string

9.1.3 Attribute map_nbr

Originalnummer (Kartennummer) der Objektart. Datentyp: integer

9.1.4 Attribute map_scale

Massstab der Objektart (Kartenmassstab). Datentyp: string

9.1.5 Attribute basis_topo

Angabe zur topographischen Grundlage der Objektart. Wird vor allem bei Karten der Landesgeologie angegeben.

9.1.6 Attribute author

Autor oder Autoren der Objektart. Datentyp: string

9.1.7 Attribute owner

Angabe zum Datenherr / zu den Datenherren der Objektart. Datentyp: string

9.1.8 Attribute map_period

Angabe zum Kartierzeitraum der Objektart. Datentyp: string

9.1.9 Attribute publ_year

Publikationsjahr der Objektart. Datentyp: integer

9.1.10 Attribute basis_vect

Grundlage Vektordatensatz. Datentyp: string

9.1.11 Attribute restriction

Angabe darüber, ob die Objektart öffentlich verfügbar ist (ja) oder einer Beschränkung (nein) unterliegt Datentyp: boolean

10 Anhang GC_LITSTRAT_BED_CD

Wertetabelle der lithostratigraphischen Einheiten

| GeolCode | Deutsch | Français |
|----------|--|--|
| 15204121 | «Ältere Orthogneise» | «Ältere Orthogneise» |
| 15203300 | «Arblatsch-Flysch» | |
| 15203302 | «Arblatsch-Konglomerat» | |
| 15202417 | «Basaler Quarzit» (Coroi-Fm.) | «Quartzite de base» (Fm. du Coroi) |
| 15202437 | «Calcaire à ciment» (Bifé-Fm.) | «Calcaire à ciment» (Fm. de Bifé) |
| 15202428 | «Calcaire siliceux brunâtre» | «Calcaire siliceux brunâtre» |
| 15200674 | «Calcaires à Entroques» | |
| 15202433 | «Calcaires bréchiques» | «Calcaires bréchiques» |
| 15202426 | «Calcaires gréso-glauconieux» | «Calcaires gréso-glauconieux» |
| 15202427 | «Calcarénites beiges oolitiques» | «Calcarénites beiges oolitiques» |
| 15202420 | «Equisetenschiefer» | «Equisetenschiefer» |
| 15200594 | «Formation de la Chambotte Inférieure» | |
| 15200593 | «Formation de la Chambotte Supérieure» | |
| 15204120 | «Jüngere Orthogneise» | «Jüngere Orthogneise» |
| 15200510 | «Juranagelfluh-Mergel» | Juranagelfluh-Mergel |
| 15202406 | «Leitoolith» | «Leitoolith» |
| 15202425 | «Marnes noires pyriteuses» | «Marnes noires pyriteuses» |
| 15202099 | «Mergelband» | Mergelband (Fm. de Quinten) |
| 15203339 | «Mittlere Rauwacke» (St-Triphon-Fm.) | |
| 15202415 | «Obere Tonschiefer» (Bommerstein-Fm.) | «Obere Tonschiefer» (Fm. du Bommerstein) |
| 15202412 | «Obere Zementsteinschichten» | «Obere Zementsteinschichten» |
| 15202398 | «Oberer Betliskalk» | «Oberer Betliskalk» |
| 15202383 | «Oberer Öhrlikalk» | |
| 15202384 | «Oberer Öhrlimergel» | |
| 15202300 | «Oberer Schrattenkalk» | «Oberer Schrattenkalk» |
| 15200592 | «Pierre Jaune Inférieure» | |
| 15200591 | «Pierre Jaune Supérieure» | |
| 15203077 | «Posidonienschiefer» (der Stanserhorn-Fm.) | Schistes à Posidonies (Fm. du Stanserhorn) |
| 15203331 | «Roffna-Porphyr» | |
| 15202414 | «Rote Echinodermenbrekzie» | «Rote Echinodermenbrekzie» |
| 15202395 | «Roter Seewenkalk» | «Roter Seewenkalk» |
| 15202103 | «Schilt-Kalk» | Calcaire du Schilt |
| 15202102 | «Schilt-Mergel» | Marne du Schilt |
| 15205090 | «Série Rubanée» | |
| 15203338 | «Silex-Niveau» (St-Triphon-Fm.) | |
| 15202413 | «Untere Zementsteinschichten» | «Untere Zementsteinschichten» |
| 15202399 | «Unterer Betliskalk» | «Unterer Betliskalk» |

| GeolCode | Deutsch | Français |
|----------|---|---|
| 15202385 | «Unterer Öhrlikalk» | |
| 15202301 | «Unterer Schrattenkalk» | «Unterer Schrattenkalk» |
| 15202360 | «Wildflysch», undifferenziert | |
| 15200397 | Aargauer Juranagelfluh | Juranagelfluh d'Argovie |
| 15200559 | Aarwangen-Molasse | Molasse d'Aarwangen |
| 15200291 | Abtwil-Konglomerat | Conglomérat d'Abtwil |
| 15200494 | Achdorf-Formation | Achdorf-Formation |
| 15206004 | Adamello-Intrusiva | Intrusion de l'Adamello |
| 15203198 | Adlerflüe-Formation | Formation de l'Adlerflüe |
| 15204021 | Adnet-Kalk | Calcaire d'Adnet |
| 15203515 | Adula-D.: Albit-Oligoklasgneis | Adula-D.: Albit-Oligoklasgneis |
| 15203256 | Adula-D.: Amphibolit | Adula-D.: Amphibolit |
| 15203512 | Adula-D.: Basaler Gneis | Adula-D.: Basaler Gneis |
| 15203255 | Adula-D.: Glimmerschiefer und Paragneis | Adula-D.: Glimmerschiefer und Paragneis |
| 15203532 | Adula-D.: Kalkschiefer und Marmor | Adula-D.: Kalkschiefer und Marmor |
| 15203535 | Adula-D.: Ultramafitit | Adula-D.: Ultramafitit |
| 15200285 | Aeugstertal-Bentonit | Bentonite de l'Aeugstertal |
| 15204020 | Agnelli-Formation | Formation d'Agnelli |
| 15203058 | Agreblierai-Member | Membre d'Agreblierai |
| 15202291 | Ahornen-Member | Membre du Ahornen |
| 15203334 | Aigremont-Brekzie | |
| 15203416 | Aiguilles-Rouges-d'Arolla-Metagabbro | Métagabbro des Aiguilles Rouges d'Arolla |
| 15200373 | Ajoie-Gompholit | Gompholite d'Ajoie |
| 15200384 | Ajoie-Member | Membre d'Ajoie |
| 15200459 | Akzessorische Mumienbänke | Bancs accessoires à momies |
| 15205045 | Albenza-Formation | Formation de l'Albenza |
| 15203270 | Albeuve-Serie | Série d'Albeuve |
| 15206069 | Albit-Muskowitschiefer, undifferenziert | schiste à muscovite et albite, indifférencié |
| 15203463 | Albitaugenschiefer (SOPA) der Adlerflüe-Formation | Schistes oeillés à porphyroblastes d'albite (SOPA) de la Formation de l'Adlerflüe |
| 15203379 | Albitquarzit der Grava- und Tomül-Decke | Albitquarzit (Grava) |
| 15200563 | Albstein | Albstein |
| 15200231 | Albtal-Granit | Granite de l'Albtal |
| 15200154 | Alectryonia-Kalk | Calcaire à Alectryonia rectangularis |
| 15204133 | alkalische Intrusiva des Ostalpins | roches intrusives alcalines de l'Austroalpin |
| 15203229 | Allalin-Gabbro | Gabbro de l>Allalin |
| 15204016 | Allgäu-Formation | Formation de l>Allgäu |
| 15203031 | Allières-Member | Membre d'Allières |
| 15203451 | Almagelhorn-Migmatit | Migmatite de l'Almagelhorn |
| 15202338 | Alp-Cavradi-Gneiskomplex | Complexe gneissique de l'Alp Cavradi |
| 15202530 | Alp-Crap-Ner-Granit | Granite de l'Alp Crap Ner |
| 15202344 | Alp-Ramosa-Granitgneis | Gneiss granitique de l'Alp Ramosa |
| 15203560 | Alpbach-Schiefer | Schistes de l'Alpbach |
| 15206012 | Alpe-Cameraccio-Granodiorit | |
| 15203353 | Alpe-Tamia-Campo-Wildflysch | Wildflysch de l'Alpe Tamia-Campo |
| 15203479 | Alpigia-Gneis | Gneiss d'Alpigia |
| 15204148 | Alpiner Muschelkalk | Alpiner Muschelkalk |
| 15204029 | Alplihorn-Member | Membre de l'Alplihorn |

| GeolCode | Deutsch | Français |
|----------|--|---|
| 15200634 | Altbach-Süsswasserkalk | Calcaire d'eau douce de l'Altbach |
| 15204051 | Altein-Formation | Formation de l'Altein |
| 15200228 | Ältere Flussablagerungen | Ältere Flussablagerungen (Fm. de Weiach) |
| 15200527 | Ältere Juranagelfluh | Ältere Juranagelfluh |
| 15202481 | Altkristallin des Aiguilles-Rouges-Massivs, migmatitisch | Socle polycyclique anté-varisque du massif des Aiguilles Rouges, migmatitique |
| 15202478 | Altkristallin des Mont-Blanc-Massivs, amphibolitreich | Socle polycyclique anté-varisque du massif du Mont Blanc, riche en amphibolites |
| 15202477 | Altkristallin des Mont-Blanc-Massivs, migmatitisch | Socle polycyclique anté-varisque du massif du Mont Blanc, migmatitique |
| 15202479 | Altkristallin des Mont-Blanc-Massivs, mylonitisch | Socle polycyclique anté-varisque du massif du Mont Blanc, mylonitique |
| 15202078 | Altmann-Member | Membre de l'Altmann |
| 15204023 | Alv-Brekzie | Brèche d'Alv |
| 15200577 | Amaltheenton-Formation | |
| 15202049 | Amden-Mergel | Marne d'Amden |
| 15204006 | Ammergau-Formation | Formation d'Ammergau |
| 15205120 | Amphibolit der Valpelline-Gruppe | Amphibolite du Groupe de Valpelline |
| 15203466 | Amphibolit des Ergischhorn-Ensembles | Amphibolite du Complexe gneissique de l'Ergischhorn |
| 15206037 | Amphibolit, undifferenziert | amphibolite, indifférenciée |
| 15200574 | Ancepsoolith-Subformation | |
| 15205067 | Andesit und Dazit | Andésite et dacite permienes du Sudalpin |
| 15203489 | Andolla-Eklogit | Éclogite d'Andolla |
| 15203097 | Andonces-Member | Membre des Andonces |
| 15200047 | Ängstein-Member | Membre d'Ängstein |
| 15200581 | Angulatenton-Formation | |
| 15203358 | Antabia-Gruppe | Groupe d'Antabia |
| 15203365 | Antigorio-Orthogneis | Orthogneiss d'Antigorio |
| 15200286 | Äntlisberg-Doldertobel-Süsswasserkalk | Calcaire d'eau douce de l'Äntlisberg-Doldertobel |
| 15200052 | Anwil-Bank | Banc d'Anwil |
| 15206039 | Aplit | aplite |
| 15206112 | Aplitgneis, undifferenziert | gneiss aplitique, indifférencié |
| 15202326 | Aplitische Randfazies des Zentralen Aare-Granits | Faciès de bordure aplitique du Granite Central de l'Aar |
| 15200290 | Appenzellergranit-Leitniveau | Niveau repère de l'Appenzellergranit |
| 15203136 | Aptychenkalk | Calcaires à Aptychus |
| 15206116 | Aptychenkalk, undiff. | Calcaire à aptychus, indiff. |
| 15202137 | Arandellys-Formation | Formation des Arandellys |
| 15203301 | Arblatsch-Sandstein | |
| 15200462 | Arenicolites-Bank | Banc à Arenicolites |
| 15203378 | Areua-Bruschghorn-Melange | Mélange d'Areua-Bruschghorn |
| 15200580 | Arietenkalk-Formation | |
| 15204049 | Arlberg-Formation | Formation de l'Arlberg |
| 15203159 | Aroley-Schichten | Formation de l'Aroley |
| 15205004 | Arolla-Serie | Série d'Arolla |
| 15203561 | Arosa-D.: Gabbro | Arosa-D.: Gabbro |
| 15203230 | Arosa-Mélange | Mélange d'Arosa |
| 15202474 | Arpette-Leukogranit | Leucogranite d'Arpette |

| GeolCode | Deutsch | Français |
|----------|--|--|
| 15203053 | Arvel-Formation | Formation d'Arvel |
| 15202446 | Arveyes-Flysch | Flysch de la nappe d'Arveyes |
| 15200155 | Arzier-Mergel | Marne d'Arzier |
| 15200131 | Asp-Member | Membre d'Asp |
| 15200450 | Astieria-Mergel | Marne à Astieria |
| 15202358 | Au-d'Arbignon-Schiefer | Schistes de l'Au d'Arbignon |
| 15202055 | Aubrig-Schichten | Couches de l'Aubrig |
| 15203401 | Augengneis der Berisal-Decke | Gneiss oëillé de la nappe de Berisal |
| 15203478 | Augengneis der Maggia-Decke | Gneiss oëillé de la nappe de la Maggia |
| 15206067 | Augengneis, undifferenziert | gneiss oëillé, indifférencié |
| 15204110 | Augsten-Brekzie | Brèche de l'Augsten |
| 15203249 | Aul-Marmor | Marbre du Piz Aul |
| 15203517 | Aula-Spruga-Gneiskomplex | Complexe gneissique d'Aula-Spruga |
| 15202258 | Ausserberg-Avat-Zone | zone d'Ausserberg-Avat |
| 15202268 | Ausserbinn-Piz-Cavel-Zone | zone d'Ausserbinn-Piz Cavel |
| 15202130 | Bachalp-Formation | Formation de la Bachalp |
| 15200104 | Baden-Member | Membre de Baden |
| 15200457 | Balmberg-Oolith | Oolite du Balmberg |
| 15202484 | Balmenegg-Granit | Granite de la Balmenegg |
| 15203278 | Balmi-Member | Membre du Balmi |
| 15200188 | Balsthal-Formation | Formation de Balsthal |
| 15200648 | Baltersweil-Nagelfluh | Poudingue de Baltersweil |
| 15202187 | Baltschieder-Granodiorit | Granodiorite de Baltschieder |
| 15202549 | Baltschieder-Granodiorit: Biotittonalit | Granodiorite de Baltschieder: tonalite à biotite |
| 15202550 | Baltschieder-Granodiorit: Hornblende Biotittonalit | Granodiorite de Baltschieder: tonalite à biotite et hornblende |
| 15202030 | Band-Member | Membre du Bandweg |
| 15206097 | Bänder- und Schollenamphibolit, undifferenziert | amphibolite rubanée et à blocs, indifférencié |
| 15203464 | Bänderamphibolit der Adlerflüe-Formation | Amphibolite rubanée de la Formation de l'Adlerflüe |
| 15203477 | Bändergneis der Maggia-Decke | Gneiss rubané de la nappe de la Maggia |
| 15203445 | Bändergneis der Monte-Rosa-Decke | Gneiss rubané de la nappe du Mont Rose |
| 15206093 | Bändergneis, undifferenziert | gneiss rubané, indifférencié |
| 15200128 | Bänkerjoch-Formation | Formation du Bänkerjoch |
| 15202110 | Bannalp-Konglomerat | Conglomérat de la Bannalp |
| 15200020 | Banné-Member | Membre du Banné |
| 15204012 | Bardella-Formation | Formation de Bardella |
| 15202328 | Bäregg-Gneiskomplex | Complexe gneissique de la Bäregg |
| 15202567 | Bäregg-Gneiskomplex: Metavulkanite | Complexe gneissique de la Bäregg: métavulcanite |
| 15202565 | Bäregg-Gneiskomplex: mylonitischer Orthogneis | Complexe gneissique de la Bäregg: orthogneiss mylonitique |
| 15202566 | Bäregg-Gneiskomplex: mylonitischer Paragneis | Complexe gneissique de la Bäregg: paragneiss mylonitique |
| 15203178 | Bärenhorn-Formation | Formation du Bärenhorn |
| 15203580 | Bärenhorn-Formation: Quarzsandstein | Formation du Bärenhorn: grès quartzitique |
| 15203531 | Bargella-Brekzie | Brèche de Bargella |
| 15200223 | Bärhalde-Granit | Granite de la Bärhalde |
| 15203182 | Barrhorn-Serie | Série du Barrhorn |

| GeolCode | Deutsch | Français |
|----------|--|--|
| 15200672 | Bärschwil- bis St-Ursanne-Formation, undifferenziert | |
| 15200006 | Bärschwil-Formation | Formation de Bärschwil |
| 15203380 | Basale Tonschiefer der Grava- und Tomül-Decke | Basale Tonschiefer (Grava) |
| 15202452 | Basaler Mines-Lias | Lias des Mines basal |
| 15203123 | Basaler Schlieren-Flysch | Flysch basal des Schlieren |
| 15205069 | Basaler Tuf | Tuf basal permien du Sudalpin |
| 15202172 | Basales Konglomerat (Bifertengrätli) | Conglomérat basal (Fm. du Bifertengrätli) |
| 15205068 | Basalt | Basalte permien du Sudalpin |
| 15206079 | Basalt, undifferenziert | basalte, indifférencié |
| 15200394 | Basisbildungen der USM-J | Formations de la base de l'USM-J |
| 15206049 | Basischer Gang | filon basique |
| 15200433 | Basiskonglomerat (der Luzern-Fm.) | Conglomérat basal (Fm. de Lucerne) |
| 15203173 | Basiskonglomerat der Stätzerhorn-Gruppe | Hauptkonglomerat (Flysch du Tomül) |
| 15203148 | Basisserie | Série basale (Fm. du Reiselsberg) |
| 15200396 | Basler Juranagelfluh | Juranagelfluh du Jura bâlois |
| 15203521 | Batnall-Gneis | Gneiss du Batnall |
| 15202039 | Batöni-Member | Membre de la Batöni |
| 15203208 | Bavugls-Gruppe | Groupe de Bavugls |
| 15203024 | Beaumont-Konglomerat | Conglomérat de Beaumont |
| 15202528 | Beesten-Fazies | faciès de Beesten |
| 15200086 | Beggingen-Member | Membre de Beggingen |
| 15200340 | Beichlen-Formation | Formation de la Beichlen |
| 15200127 | Belchen-Member | Membre du Belchen |
| 15204081 | Bellaluna-Member | Membre de Bellaluna |
| 15205062 | Bellano-Formation | Formation de Bellano |
| 15200662 | Bellegarde-Bank | |
| 15200402 | Belpberg-Formation | Formation du Belpberg |
| 15205024 | Bergamo-Flysch | Flysch de Bergamo |
| 15206006 | Bergell-Granodiorit | |
| 15206003 | Bergell-Intrusiva | Intrusion du Bergell |
| 15206007 | Bergell-Tonalit | |
| 15202377 | Berglikehle-Bank | |
| 15200208 | Berlingen-Member | Membre de Berlingen |
| 15205097 | Berio-Gabbro | |
| 15205060 | Besano-Formation | Formation de Besano |
| 15205039 | Besazio-Kalk | Calcaire de Besazio |
| 15202135 | Besoëns-Formation | Formation des Besoëns |
| 15202084 | Betlis-Formation | Formation de Betlis |
| 15203530 | Bettlerjoch-Brekzie | Brèche du Bettlerjoch |
| 15202115 | Bietenhorn-Member | Membre du Bietenhorn |
| 15202436 | Bifé-Formation | Formation de Bifé |
| 15202193 | Bifertenfirn-Formation | Formation du Bifertenfirn |
| 15202169 | Bifertengrätli-Formation | Formation du Bifertengrätli |
| 15206046 | Biogener Kalk (Eozän) | calcaire biogène (Éocène) |
| 15203126 | Biot-Formation | Formation du Biot |
| 15206092 | Biotit-Plagioklasgneis, undifferenziert | gneiss à biotite et plagioclase, indifférencié |
| 15203444 | Biotitgneis der Monte-Rosa-Decke | Gneiss à biotite de la nappe du Mont Rose |
| 15200117 | Birmenstorf-Member | Membre de Birmenstorf |

| GeolCode | Deutsch | Français |
|----------|---|--|
| 15200271 | Bischofzell-Bentonit | Bentonite de Bischofzell |
| 15202475 | Bitschji-Augengneis | Gneiss oillé de Bitschji |
| 15200124 | Blagdeni-Schichten | Couches à Blagdeni |
| 15200489 | Blagdeni-Subformation | Blagdeni-Subformation |
| 15204007 | Blais-Formation | Formation du Blais |
| 15204018 | Blaisun-Member | Membre du (Piz) Blaisun |
| 15200259 | Blapbach-Kohleflöz | Niveau charbonneux du Blapbach |
| 15202287 | Blattengrat-Sandstein | Grès du Blattengrat |
| 15200233 | Blauen-Granit | Granite du Blauen |
| 15200492 | Blaukalk-Subformation | Blaukalk-Subformation |
| 15202109 | Blegi-Eisenoolith | Oolite ferrugineuse de la Blegi |
| 15200461 | Bleiglanz-Bank | Bleiglanzbank (Fm. de Kaiseraugst) |
| 15203306 | Bleis-Pintgas-Formation | |
| 15202535 | Blockmergel (Spirstock) | Blockmergel (Spirstock) |
| 15203279 | Bodeflue-Member | Membre de la Bodeflue |
| 15200583 | Bodensee-Nagelfluh | |
| 15202318 | Bodevena-Melange | Mélange de la Bodevena |
| 15203286 | Boège-Mergel | Marne de Boège |
| 15200175 | Bohnerzton | Argile à pisolites ferrugineuses |
| 15203057 | Bois-de-Luan-Member | Membre du Bois de Luan |
| 15200301 | Bois-de-Raube-Formation | Formation du Bois de Raube |
| 15200385 | Bois-de-Raube-Member | Membre du Bois de Raube |
| 15200333 | Bois-Genoud-Bentonit | Bentonite de Bois-Genoud |
| 15200652 | Bôle-Member | Membre de Bôle |
| 15200046 | Bollement-Member | Membre de Bollement |
| 15200176 | Boluston | Argile à bolus |
| 15202583 | Bommerstein- und Reischiben-Formation, undifferenziert | Formations de Bommerstein et de Reischiben, indifférenciées |
| 15202116 | Bommerstein-Formation | Formation du Bommerstein |
| 15203103 | Bonave-Formation | Formation de Bonave |
| 15203265 | Bonaveau-Kalk | Calcaire de Bonaveau |
| 15203311 | Bonigersee-Augengneis | |
| 15200585 | Bonneville-Sandstein | |
| 15202232 | Borel-Gneiskomplex | Complexe gneissique du Piz Borel |
| 15203520 | Bosco-Gneis | Gneiss de Bosco |
| 15203425 | Böshorn-Gneis | Gneiss du Böshorn |
| 15200242 | Böttstein-Granit | Granite de Böttstein |
| 15205088 | Bouquetins-Quarzdiorit | |
| 15200049 | Bözen-Member | Membre de Bözen |
| 15204065 | Brachiopodenkalk-Member | Brachiopodenkalk-Member |
| 15203079 | Brand-Formation | Formation de Brand |
| 15200499 | Brand-Herrentisch-Tuffit | Tuffite du Brand-Herrentisch |
| 15203383 | Brasses-Formation | Formation des Brasses |
| 15200460 | Brauner Oolith | Brauner Oolith |
| 15205048 | Brecce Retiche | Brecce Retiche |
| 15200079 | Breitenmatt-Member | Membre de Breitenmatt |
| 15203487 | Breithorn-Serpentininit | Serpentinite du Breithorn |
| 15203504 | Brekzie-Formation | Brekzie-Formation |
| 15200328 | Brendenbach-Mergel | Poudingue du Brendenbach |
| 15205021 | Brenno-Formation | Formation de Brenno |
| 15202215 | Breya-Rhyolith | Rhyolithe de la Breya |
| 15203510 | Brione-Gabbro | Gabbro de Brione |
| 15202065 | Brisi-Kalk | Calcaire de la Brisi |
| 15202064 | Brisi-Member | Membre de la Brisi |

| GeolCode | Deutsch | Français |
|----------|--|---|
| 15202066 | Brisi-Sandstein | Grès de la Brisi |
| 15202190 | Bristenstock-Syenit | Syénite du Bristenstock |
| 15205044 | Broccatello d'Arzo | Broccatello d'Arzo |
| 15200204 | Brot-Schichten | Couches de Brot |
| 15200065 | Brüggli-Member | Membre de Brüggli |
| 15203183 | Bruneggjoch-Formation | Formation du Bruneggjoch |
| 15203347 | Bruneggjoch-Metabauxit | |
| 15202178 | Brunni-Granit | Granite de la Brunni |
| 15202121 | Brunnistock-Formation | Formation du Brunnistock |
| 15200417 | Brüttelen-Muschelnagelfluh | Poudingue coquillier de Brüttelen |
| 15200185 | Bryozoen-Mergel | Marne à Bryozoaires |
| 15204130 | Buffalora-Gruppe | Groupe de Buffalora |
| 15202163 | Bugnei-Granodiorit | Granodiorite de Bugnei |
| 15200034 | Buix-Member | Membre de Buix |
| 15202087 | Büls-Bank | Banc de Büls |
| 15200535 | Bumbach-Nagelfluh | Poudingue de Bumbach |
| 15206084 | Bündnerschiefer, kalkig | Bündnerschiefer calcaires |
| 15206085 | Bündnerschiefer, tonig | Bündnerschiefer argileux |
| 15206066 | Bündnerschiefer, undifferenziert | Bündnerschiefer, indifférencié |
| 15200324 | Bunte Rigi-Nagelfluh | Bunte Rigi-Nagelfluh |
| 15203570 | Bunter schiefriger Dolomit und Rauwacke der Klippen-Decke | Dolomie schisteuse et cornieule des Préalpes Médiannes |
| 15202503 | Buntgefleckte Schiefer | Buntgefleckte Schiefer (Ilanz) |
| 15200143 | Buntsandstein | Groupe du Buntsandstein |
| 15200029 | Bure-Member | Membre de Bure |
| 15202288 | Burg-Sandstein | Grès de Burg |
| 15202595 | Bürgen- und Wildstrubel-Formation, undiff. | Formations du Bürgen et d'Euthal, indiff. |
| 15202032 | Bürgen-Formation | Membre du Bürgen(stock) |
| 15200102 | Burghorn-Formation | Formation du Burghorn |
| 15203332 | Burgruinen-Gneis | |
| 15200407 | Bütschelbach-Nagelfluh | Poudingue du Bütschelbach |
| 15203238 | Buufal-Konglomerat | Conglomérat de Buufal |
| 15202222 | Cacciola-Granit | Granite de la Cacciola |
| 15205012 | Cagno-Sandstein | Grès de Cagno |
| 15200455 | Calcaire âpre | Calcaire âpre |
| 15200654 | Calcaire Roux | Calcaire Roux |
| 15200383 | Calcaire roux marneux | Calcaire roux marneux |
| 15205035 | Calcari a bivalvi planctonici | Calcari a bivalvi planctonici |
| 15202264 | Calmut-Gneiskomplex | Complexe gneissique de Calmut |
| 15203234 | Calpionellenkalk der Arosa-Zone | Calcaire à Calpionelles de la zone d'Arosa |
| 15203498 | Calpionellenkalk der Platta-Decke | Calcaire à calpionelles de la nappe du Platta |
| 15204142 | Campocologno-Gabbro | Gabbro de Campocologno |
| 15200036 | Caquerelle-Pisolith | Pisolite de la Caquerelle |
| 15204114 | Carale-Paraschiefer | Schistes du Carale |
| 15202132 | Cardinia-Member | Membre à Cardinia |
| 15203174 | Carnusa-Formation | Formation du Carnusa(horn) |
| 15205055 | Cassina-Bank | Banc de Cassina |
| 15205008 | Castel-di-Sotto-Ton | Argile de Castel di Sotto |
| 15202472 | Catogne-Gneiskomplex | Complexe gneissique du Catogne |
| 15205057 | Cava Inferiore | Cava Inferiore |
| 15205056 | Cava Superiore | Cava Superiore |

| GeolCode | Deutsch | Français |
|----------|--|---|
| 15203437 | Cavalli-Formation | Formation des Cavalli |
| 15202191 | Cavardiras-Gruppe | Groupe de Cavardiras |
| 15204143 | Celerina-Orthogneis | Orthogneiss de Celerina |
| 15205084 | Ceneri-Gneis | |
| 15203529 | Cenomanbrekzien-Serie | Cenomanbrekzien-Serie |
| 15200668 | Censeau-Mergel | |
| 15202445 | Cergnement-Member | Membre du Cergnement |
| 15200014 | Chailley-Member | Membre du Chailley |
| 15203035 | Chällhorn-Member | Membre du Chällhorn |
| 15200098 | Chambotte-Formation | Formation de la Chambotte |
| 15200630 | Champ-Vuillerat-Süsswasserkalk | |
| 15202498 | Chamseeli-Konglomerat | Conglomérat du Chamseeli |
| 15203392 | Chandoline-Sandstein | Grès de Chandoline |
| 15204002 | Chanèls-Formation | Formation de Chanèls |
| 15202149 | Chartegg-Formation | Membre de la Chartegg |
| 15204106 | Chaschauna-Brekzie | Brèche du Piz Chaschauna |
| 15202241 | Chastelhorn-Metagabbro | Métagabbro du Chastelhorn |
| 15200053 | Châtillon-Member | Membre de Châtillon |
| 15203055 | Chauderon-Formation | Formation du Chauderon |
| 15203591 | Chavanette- und Rubli-Member, undifferenziert | |
| 15203093 | Chavanette-Member | Membre de Chavanette |
| 15204075 | Chazforà-Formation | Formation de Chazforà |
| 15203019 | Chenaux-Rouges-Formation | Formation des Chenaux Rouges |
| 15203021 | Chenaux-Rouges-Mineralkruste | Croûte minéralisée des Chenaux Rouges |
| 15202335 | Chéserys-Gneis | Gneiss des Chéserys |
| 15203002 | Chesselbach-Formation | Formation du Chesselbach |
| 15200035 | Chestel-Member | Membre du Chestel |
| 15203127 | Chétillon-Formation | Formation de Chétillon |
| 15203050 | Chevalets-Member | Membre des Chevalets |
| 15200187 | Chevenez-Member | Membre de Chevenez |
| 15205018 | Chiasso-Formation | Formation de Chiasso |
| 15206081 | Chloritschiefer, undifferenziert | schiste chloriteux, indifférencié |
| 15203015 | Chlussli-Formation | Formation de Chlussli |
| 15200415 | Chnebelburg-Schichten | Couches de la Chnebelburg |
| 15202051 | Choltal-Member | Membre du Choltal |
| 15202076 | Chopf-Bank | Banc du Chopf |
| 15202080 | Chriesiloch-Echinodermenkalk | Calcaire échinodermique du Chriesiloch |
| 15202040 | Chruteren-Member | Membre de la Chruteren |
| 15202454 | Chrüzlistock-Migmatit | Migmatite du Chrüzlistock |
| 15203101 | Chumi-Formation | Formation de la Chumi |
| 15203542 | Cima-Lunga-D.: Amphibolit | Cima-Lunga-D.: Amphibolit |
| 15203537 | Cima-Lunga-D.: Dolomitmarmor | Cima-Lunga-D.: Dolomitmarmor |
| 15203543 | Cima-Lunga-D.: Eklogit | Cima-Lunga-D.: Eklogit |
| 15203541 | Cima-Lunga-D.: Granatit | Cima-Lunga-D.: Granatit |
| 15203536 | Cima-Lunga-D.: Kalkschiefer und Marmor | Cima-Lunga-D.: Kalkschiefer und Marmor |
| 15203538 | Cima-Lunga-D.: Paragneis | Cima-Lunga-D.: Paragneis |
| 15203544 | Cima-Lunga-D.: Ultramafitit | Cima-Lunga-D.: Ultramafitit |
| 15200017 | Cladocoropsis-Kalk | Calcaire à Cladocoropsis |
| 15204140 | Clavadatsch-Brekzie | Brèche de Clavadatsch |
| 15202262 | Clavaniev-Zone | zone de Clavaniev |
| 15203192 | Cleuson-Member | Membre de Cleuson |

| GeolCode | Deutsch | Français |
|----------|---|--|
| 15203062 | Clôt-la-Cime-Formation | Formation de Clôt la Cime |
| 15204043 | Cluozza-Member | Membre du Val Cluozza |
| 15203294 | Cocco-Gneis | |
| 15203290 | Coicon-Serie | Série de Coicon |
| 15203186 | Col-de-Chassoure-Formation | Formation du Col de Chassoure |
| 15203089 | Col-de-Cordon-Member | Membre du Col de Cordon |
| 15202397 | Col-de-la-Plaine-Morte-Bank | Banc du Col de la Plaine Morte |
| 15203042 | Col-de-Lys-Member | Membre du Col de Lys |
| 15203590 | Col-de-Tompey- und Agreblierai-Member, undifferenziert | |
| 15203585 | Col-de-Tompey- und Bois-de-Luan-Member, undifferenziert | |
| 15203059 | Col-de-Tompey-Formation | Formation du Col de Tompey |
| 15202419 | Col-du-Jorat-Member | Membre du Col du Jorat |
| 15205025 | Coldrerio-Flysch | Flysch de Coldrerio |
| 15203344 | Colerin-Konglomerat | |
| 15203036 | Comba-d'Avau-Member | Membre de la Comba d'Avau |
| 15203049 | Combe-du-Pissot-Formation | Formation de la Combe du Pissot |
| 15200304 | Combe-Girard-Bentonit | Bentonite de la Combe Girard |
| 15200625 | Combe-Girard-Member | |
| 15205015 | Como-Konglomerat | Conglomérat de Como |
| 15200024 | Complexe récifal | Complexe récifal (Fm. des Etiollets) |
| 15200205 | Comptum-Bank | Banc à Comptum |
| 15202354 | Corandoni-Amphibolit | Amphibolite de Corandoni |
| 15200317 | Cornalle-Sandstein | Grès de la Cornalle |
| 15204141 | Corno-di-Campo-Granodiorit | Granodiorite du Corno di Campo |
| 15203403 | Corno-Gneis | Gneiss du Corno |
| 15202119 | Coroi-Formation | Formation du Coroi |
| 15203315 | Cortascia-Gneis | |
| 15204123 | Corvatsch-Granodiorit | Granodiorite du Corvatsch |
| 15203018 | Couches-Rouges-Gruppe | Groupe des Couches Rouges |
| 15203366 | Couches-Rouges (Falknis, Sulzfluh, Tasna) | Couches-Rouges (Falknis, Sulzfluh, Tasna) |
| 15203242 | Couches-Rouges der Brekzien-Decke | Couches Rouges de la nappe de la Brèche |
| 15203291 | Couches-Rouges der Klippen-Decke, undifferenziert | Couches Rouges de la nappe des Préalpes Médiannes, indifférenciées |
| 15203563 | Couches-Rouges der ZSK | Couches-Rouges de klippes de Suisse centrale |
| 15203016 | Coulaytes-Melange | Mélange des Coulaytes |
| 15203587 | Coulaytes-Melange und Cuvigne-Derrey-Formation, undifferenziert | |
| 15200445 | Courcelon-Süsswasserkalk | Calcaire d'eau douce de Courcelon |
| 15200003 | Courgenay-Formation | Formation de Courgenay |
| 15200019 | Courtedoux-Member | Membre de Courtedoux |
| 15200025 | Couvaloup-Member | Membre du Couvaloup |
| 15202423 | Covayes-Formation | Formation des Covayes |
| 15204035 | Crappa-Mala-Mergel | Marne de la Crappa Mala |
| 15200112 | Crenularis-Member | Membre à Crenularis |
| 15200626 | Crêt-du-Locle-Formation | |
| 15200306 | Crêt-du-Locle-Formation, Gompholitfazies | Gompholite du Locle |
| 15200627 | Crêt-du-Locle-Formation, Mergelfazies | |

| GeolCode | Deutsch | Français |
|----------|------------------------------------|---|
| 15200022 | Creugenat-Schichten | Couches du Creugenat |
| 15203051 | Creux-de-l'Ours-Member | Membre du Creux-de-l'Ours |
| 15202227 | Cristallina-Granodiorit | Granodiorite de Cristallina |
| 15200334 | Cuarny-Sandstein | Grès de Cuarny |
| 15200355 | Cucloz-Sandstein | Grès de Cucloz |
| 15200354 | Cucloz-Subformation | Sous-formation de Cucloz |
| 15200666 | Cul-du-Nozon-Bank | |
| 15205052 | Cunardo-Formation | Formation de Cunardo |
| 15202189 | Curtin-Monzodiorit | Monzodiorite du (Piz) Curtin |
| 15203017 | Cuvigne-Derrey-Formation | Formation de Cuvigne Derrey |
| 15200368 | Cyathulabank (Laufen-Becken) | Banc à Cyathula (bassin de Laufon) |
| 15200369 | Cyrenenmergel | Marne à Cyrènes |
| 15202490 | Dachquarzit (Leventina) | Dachquarzit (Leventina) |
| 15202449 | Dammagletscher-Diorit | Diorite du Dammagletscher |
| 15203308 | Danis-Formation | |
| 15200620 | Dardagny-Sandstein | Grès de Dardagny |
| 15200393 | Daubrée-Kalk | Calcaire de Daubrée |
| 15200387 | Daubrée-Konglomerat | Conglomérat de Daubrée |
| 15200293 | Degersheim-Kalknagelfluh | Conglomérat de Degersheim |
| 15200344 | Delémont-Süsswasserkalk | Calcaire d'eau douce de Delémont |
| 15203189 | Dent-de-Nendaz-Member | Membre de la Dent de Nendaz |
| 15200485 | Dentalienton-Formation | Dentalienton-Formation |
| 15200203 | Dewalquei-Kalk | Couches à Pecten dewalquei |
| 15206099 | Diabasgang, undifferenziert | filon diabasique, indifférencié |
| 15202019 | Diablerets-Member | Membre des Diablerets |
| 15200463 | Diagonalschichtiger Sandstein | Diagonalschichtiger Sandstein (Fm. du Dinkelberg) |
| 15204033 | Diavel-Formation | Formation du (Piz dal) Diavel |
| 15202174 | Diechtergletscher-Formation | Formation du Diechtergletscher |
| 15200447 | Diegten-Süsswasserkalk | Calcaire d'eau douce de Diegten |
| 15200144 | Dinkelberg-Formation | Formation du Dinkelberg |
| 15206074 | Diorit, undifferenziert | diorite, indifférenciée |
| 15202089 | Diphyoides-Kalk | Calcaire à Diphyoides |
| 15202348 | Distelgrat-Gneis | Gneiss du Distelgrat |
| 15203194 | Distulberg-Formation | Formation du Distulberg |
| 15203272 | Dogger der Klippen-Decke | Dogger de la nappe des Préalpes Médiannes |
| 15202106 | Dogger des Helvetikums | Dogger de l'Helvétique |
| 15200055 | Dogger des Juragebirges | Dogger du Jura |
| 15204087 | Dogger des Ostalpins | |
| 15205074 | Dogger des Südalpins | |
| 15206026 | Dogger, undifferenziert | Dogger, indifférencié |
| 15205001 | Dolin-Gruppe | Groupe du Dolin |
| 15205002 | Dolin-Kalkbrekzie | Brèche calcaire du Dolin |
| 15203061 | Dolomies Blondes | Dolomies Blondes |
| 15205101 | Dolomit-Band (Meride) | Dolomit-Band (Fm. de Meride) |
| 15205103 | Dolomit der Dolin-Gruppe | Dolomie du Groupe du Dolin |
| 15202546 | Dolomit der Helvetische Trias | Dolomie du Trias helvétique |
| 15203568 | Dolomit der Klippen-Decke | Dolomie des Préalpes Médiannes |
| 15203458 | Dolomit der Nordpenninische Trias | Dolomie du Trias nord-pennique |
| 15203569 | Dolomit und Kalk der Klippen-Decke | Dolomie et calcaire des Préalpes Médiannes |
| 15206023 | Dolomit, undifferenziert | |
| 15203250 | Dolomitbrekzie (Terri) | Brèche (Grava/Tomül) |

| GeolCode | Deutsch | Français |
|----------|---|---|
| 15206102 | Dolomitmarmor, undifferenziert | marbre dolomitique, indifférencié |
| 15200216 | Dolomitzone | Dolomitzone (Fm. de Zeglingen) |
| 15202518 | Domérien-Sandstein | |
| 15203099 | Dorchaux-Member | Membre de Dorchaux |
| 15202359 | Dorénaz-Konglomerat | Conglomérat de Dorénaz |
| 15204105 | Dorfberg-Gneis | Gneiss du Dorfberg |
| 15203082 | Dorfflüe-Formation | Formation de la Dorfflüe |
| 15204109 | Döss-Radond-Vulkanite | Roches volcanique du Döss Radond |
| 15200411 | Dreilinden-Nagelfluh | Poudingue de Dreilinden |
| 15203346 | Dréveneuse-Bauxit | |
| 15202077 | Drusberg-Member | Membre du Drusberg |
| 15204063 | Ducan-Formation | Formation du (Piz) Ducan |
| 15202118 | Dugny-Formation | Formation de Dugny |
| 15202045 | Dünden-Konglomerat | Conglomérat de la Dünden |
| 15200213 | Dünnlenberg-Bank | Banc du Dünnlenberg |
| 15202059 | Durschlägi-Bank | Banc de la Durschlägi |
| 15202179 | Düssi-Diorit | Diorite du Düssi |
| 15202325 | Dzéman-Member | Membre du Dzéman |
| 15200540 | Ebnat-Sandstein | Grès d'Ebnat |
| 15200115 | Effingen-Member | Membre d'Effingen |
| 15203165 | Eggberg-Formation | Formation de l'Eggberg |
| 15200519 | Eggen-Member | Membre de l'Eggen |
| 15200502 | Eichbol-Tuffit | Tuffite d'Eichbol |
| 15203152 | Eichholztobel-Formation | Formation de l'Eichholztobel |
| 15200260 | Eimätteli-Member | Membre d'Eimätteli |
| 15202038 | Einsiedeln-Member | Membre d'Einsiedeln |
| 15202589 | Einsiedeln-Member, «Älterer Quarzsandstein» | Membre d'Einsiedeln, «Älterer Quarzsandstein» |
| 15202592 | Einsiedeln-Member, Alveolinenkalk-Fazies | Membre d'Einsiedeln, faciès calcaire à Alvéolines |
| 15204066 | Eisendolomit-Member | Eisendolomit-Member |
| 15206050 | Eklogit, undifferenziert | éclogite, indifférenciée |
| 15202540 | Elm- und Matt-Formation, undifferenziert | Formations d'Elm et de Matt, indifférenciées |
| 15202541 | Elm- und Matt-Formation: Quarzsandstein | Formations d'Elm et de Matt: grès quartzitique |
| 15202009 | Elm-Formation | Formation d'Elm |
| 15200379 | Elsässer Molasse s.l. | Molasse alsacienne s.l. |
| 15200343 | Elsässer Molasse s.s. | Molasse alsacienne s.s. |
| 15203310 | Embd-Member | |
| 15204004 | Emmat-Formation | Formation d'Emmat |
| 15202210 | Emosson-Glimmerschiefer | Micaschistes d'Emosson |
| 15202007 | Engi-Dachschiefer | Schistes ardoisiers d'Engi |
| 15202263 | Engi-Granit | Granite d'Engi |
| 15200524 | Ennetbühl-Member | Membre d'Ennetbühl |
| 15200212 | Eptingen-Member | Banc d'Eptingen |
| 15203199 | Ergischhorn-Komplex | Complexe de l'Ergischhorn |
| 15200210 | Ergolz-Member | Membre de l'Ergolz |
| 15200072 | Eriwis-Bank | Banc d'Eriwis |
| 15200073 | Erlimoos-Bank | Banc d'Erlimoos |
| 15203094 | Erpilles-Member | Membre des Erpilles |
| 15204015 | Err-Brekzie | Brèche d'Err |
| 15204102 | Err-Granodiorit | Granodiorite d'Err |
| 15202197 | Erstfeld-Gneiskomplex | Complexe gneissique d'Erstfeld |

| GeolCode | Deutsch | Français |
|----------|--|---|
| 15202532 | Erstfeld-Gneiskomplex, permisch verwittert | Complexe gneissique d'Erstfeld, à altération permienne |
| 15202551 | Erstfeld-Gneiskomplex: Biotit-Plagioklasgneis | Complexe gneissique d'Erstfeld: gneiss à plagioclase et biotite |
| 15202553 | Erstfeld-Gneiskomplex: Migmatit | Complexe gneissique d'Erstfeld: migmatite |
| 15202552 | Erstfeld-Gneiskomplex: Orthogneis | Complexe gneissique d'Erstfeld: orthogneiss |
| 15202107 | Erzegg-Formation | Formation de l'Erzegg |
| 15200446 | Erzmatt-Krustenkalk | Calcaire concrétionné de la Erzmatt |
| 15203124 | Estavannens-Flysch | Flysch d'Estavannens |
| 15200468 | Estherien-Schichten | Couches à Estheria (Fm. de Schinznach) |
| 15202171 | Estuarisches Member | Membre estuarien (Fm. du Bifertengrätli) |
| 15200023 | Etiollets-Formation | Formation des Etiollets |
| 15200643 | Etzgen-Granit | Granite d'Etzgen |
| 15202036 | Euthal-Formation | Formation d'Euthal |
| 15202596 | Euthal-Formation und Steinbach-Member, undiff. | Formation de l'Euthal et Membre du Steinbach, indiff. |
| 15202604 | Euthal-Formation: schwarzer schiefriger Tonstein | Formation d'Euthal: faciès argilo-schisteux noir |
| 15203260 | Exergillod-Brekzie | Brèche d'Exergillod |
| 15203167 | Fadura-Formation | Formation de la Fadura |
| 15200279 | Falätschen-Mergel | Marne de la Falätschen |
| 15203326 | Fäldbach-Gruppe | |
| 15203216 | Falknis-Brekzie | Brèche du Falknis |
| 15203210 | Falknis-Flysch | Flysch de la nappe du Falknis |
| 15203499 | Falotta-Radiolarit | Radiolarite de la nappe du Platta |
| 15202278 | Fanee-Trias | Trias de Fanee |
| 15204041 | Fanez-Dolomit | Dolomie de Fanez |
| 15204039 | Fanez-Formation | Formation de Fanez |
| 15203144 | Fanola-Formation | Formation de Fanola |
| 15200084 | Fasiswald-Member | Membre de Fasiswald |
| 15204096 | Fedoz-Gneiskomplex | Complexe gneissique de Fedoz |
| 15204097 | Fedoz-Metagabbro | |
| 15200275 | Fellitobel-Süsswasserkalk | Calcaire d'eau douce du Fellitobel |
| 15203372 | Ferret-Schiefer | Schistes de Ferret |
| 15200196 | Ferrugineus-Oolith | Oolite à Ferrugineus |
| 15203228 | Fêta-d'Août-Flysch | Flysch de la Fêta d'Août |
| 15202230 | Fibbia-Granit | Granite de la Fibbia |
| 15203138 | Filamentkalk | Calcaires à filaments |
| 15205133 | Finero-Peridotit | Péridotite de Finero |
| 15200364 | Fischschiefer | Schistes à Poissons (Fischschiefer) |
| 15203214 | Fleckenkalk-Flysch (Neokom) | Fleckenkalk-Flysch (Neokom) |
| 15202041 | Fliegenspitz-Member | Membre du Fliegenspitz |
| 15203497 | Flix-Schichten | Schistes de Flix |
| 15204104 | Flüela-Augnengneis | Gneiss oeillé de la Flüela |
| 15200556 | Flühli-Nagelfluh | Poudingue de Flühli |
| 15203115 | Flysch 2a tonig-sandig | Flysch 2a argilo-gréseux |
| 15203114 | Flysch 2b mit sandigen Turbiditen | Flysch 2b à turbidites siliceuses |
| 15203113 | Flysch 3a mergelig-sandig | Flysch 3a marno-gréseux |
| 15203112 | Flysch 3b mit bioklastischen Turbiditen | Flysch 3b à turbidites bioclastiques |
| 15203111 | Flysch 4 mit siltigen Turbiditen | Flysch 4 à turbidites silteuses |

| GeolCode | Deutsch | Français |
|----------|---|---|
| 15203284 | Flysch 5, mit kieseligen Mikrokonglomeraten | Flysch 5 à microconglomérats siliceux |
| 15206115 | Flysch, undifferenziert | Flysch, indifférencié |
| 15202323 | Foostock-Member | Membre du Foostock |
| 15200365 | Foraminiferenmergel | Marnes à Foraminifères (Foraminiferenmergel) |
| 15203135 | Foraminiferenschichten | Couches à foraminifères |
| 15203008 | Forclaz-Member | Membre de la Forclaz |
| 15203022 | Forclettes-Formation | Formation des Forclettes |
| 15203316 | Forcoletta-Gneis | |
| 15202033 | Foribach-Member | Membre du Foribach |
| 15200330 | Formation der Granitischen Molasse | Formation de la Molasse granitique |
| 15205095 | Fornale-Gabbro | |
| 15203342 | Forno-Amphibolit | |
| 15200651 | Fort-de-l'Ecluse-Member | Membre du Fort de l'Ecluse |
| 15204117 | Forun-Augengneis | Gneiss oëillé du Forun |
| 15202277 | Fossilmarmor | Fossilmarmor |
| 15203134 | Fouyet-Formation | Formation du Fouyet |
| 15202031 | Fräkmünt-Member | Membre de Fräkmünt |
| 15202069 | Freschen-Member | Membre du Freschen |
| 15200409 | Freudenberg-Nagelfluh | Poudingue du Freudenberg |
| 15200082 | Frick-Member | Membre de Frick |
| 15200230 | Frühvariszische Intrusiva der Nordschweiz | Roches plutoniques éo-variques de la Forêt Noire |
| 15202333 | Frühvariszische Intrusiva des Aiguilles-Rouges-Massivs | Roches plutoniques éo-varisques du massif des Aiguilles Rouges |
| 15203005 | Frutigen-Formation | Formation de Frutigen |
| 15203524 | Frutigen-Formation, Conglomérat intermédiaire | |
| 15203525 | Frutigen-Formation, Schistes inférieurs | |
| 15202029 | Fruttli-Member | Membre du Fruttli |
| 15202177 | Fruttstock-Gruppe | Groupe du Fruttstock |
| 15206063 | Fuchsitz-Zoisitschiefer, undifferenziert | schiste à zoisite et fuchsite, indifférencié |
| 15202150 | Fuggstock-Member | Membre du Fuggstock |
| 15202494 | Fulen-Formation | Formation du Fulen |
| 15200182 | Fulie-Member | Membre de la Fulie |
| 15202482 | Fully-Gneiskomplex | Complexe gneissique de Fully |
| 15202202 | Fully-Granodiorit | Granodiorite de Fully |
| 15202350 | Fuorcla-Paradis-Serpentininit | Serpentinite de la Fuorcla Paradis |
| 15204070 | Fuorn-Formation | Formation du Fuorn |
| 15200198 | Furcil-Mergel | Marne du Furcil |
| 15203438 | Furgg-Serie | Série de Furgg |
| 15200215 | Fützen-Bank | Banc de Fützen |
| 15206075 | Gabbro, undifferenziert | gabbro, indifférencié |
| 15200496 | Gabelspitz-Schichten | Couches de la Gabelspitz |
| 15200515 | Gäbris-Nagelfluh | Poudingue du Gäbris |
| 15200087 | Gächlingen-Bank | Banc de Gächlingen |
| 15202127 | Galm-Member | Membre de Galm |
| 15203393 | Gälmji-Gneiss | Gneiss de Gälmji |
| 15202067 | Gams-Schichten | Couches du Gams |
| 15202228 | Gamsboden-Granit | Granite du Gamsboden |
| 15206024 | Ganggesteine, undifferenziert | |
| 15203514 | Ganna-Gneis | Gneiss de Ganna |

| GeolCode | Deutsch | Français |
|----------|---|---|
| 15202353 | Ganneretsch-Gneis | Gneiss du (Piz) Ganneretsch |
| 15200209 | Gansingen-Member | Membre de Gansingen |
| 15203321 | Ganter-Gneis | |
| 15206073 | Garbenschiefer, undifferenziert | Garbenschiefer, indifférencié |
| 15203227 | Garde-de-Bordon-Serie | Série de la Garde de Bordon |
| 15203254 | Garenstock-Augengneis | Gneiss oëillé du Garenstock |
| 15204048 | Garone-Formation | Formation du (Monte) Garone |
| 15202052 | Garschella-Formation | Formation de Garschella |
| 15202329 | Gärsthorn-Gneiskomplex | Complexe gneissique du Gärsthorn |
| 15202529 | Garwiidi-Diorit | Diorite de Garwiidi |
| 15203377 | Garzott-Brekzie | Brèche de Garzott |
| 15203154 | Gaschlo-Formation | Formation de Gaschlo |
| 15202095 | Gassen-Kalk | Calcaire du Gassen(stock) |
| 15202158 | Gastern-Granit | Granite de Gastern |
| 15203086 | Gastlosen-Oolith | Oolite des Gastlosen |
| 15202476 | Geimen-Augengneis | Gneiss oëillé de Geimen |
| 15202305 | Geissbach-Konglomerat | Conglomérat du Geissbach |
| 15200113 | Geissberg-Member | Membre du Geissberg |
| 15203323 | Geisspfad-Serpentinit | |
| 15203200 | Gelbhorn-Flysch | Flysch du Gelbhorn |
| 15202021 | Gemmenalp-Kalk | Calcaire de la Gemmenalp |
| 15202082 | Gemsmättli-Bank | Banc du Gemsmättli |
| 15200537 | Gérignoz-Formation | Couches du Gérignoz |
| 15203032 | Gérignoz-Kalk | Calcaire de Gérignoz |
| 15200389 | Geröllsande | Sables à galets (OMM) |
| 15200683 | Gersbach-Schiefer | |
| 15200116 | Gerstenhübel-Bank | Banc du Gerstenhübel |
| 15203245 | Gets-Ophiolith | Ophiolite des Gets |
| 15202293 | Ghölzwald-Member | Membre du Ghölzwald |
| 15203567 | Gibel- und Griggeli-Formation | Formations de Gibel et de Griggeli |
| 15203069 | Gibel-Formation | Formation de Gibel |
| 15203071 | Gibel-Member | Membre de Gibel |
| 15203399 | Ginals-Gneis | Gneiss de Ginals |
| 15200074 | Gipf-Bank | Banc de Gipf |
| 15202548 | Gips der Helvetische Trias | Gypse du Trias helvétique |
| 15203241 | Gips der Klippen-Decke | Gypse de la nappe des Préalpes Médianes |
| 15204145 | Gips der Raibl-Gruppe | Gypse du Groupe de Raibl |
| 15203526 | Gips der Zone Submédiane | Gypse de la Zone Submédiane |
| 15206021 | Gips, undifferenziert | |
| 15203572 | Gipsmergel und Sandstein der Klippen-Decke | Marne gypseuse et grès des Préalpes Médianes |
| 15200200 | Gisliflue-Korallenkalk | Calcaire à coraux de la Gisliflue |
| 15200628 | Gitzigrabe-Grobsandstein | |
| 15200528 | Gitzischöpf-Nagelfluh | Poudingue de la Gitzischöpf |
| 15200632 | Gitzitobel-Süsswasserkalk | Clacaire d'eau douce du Gitzitobel |
| 15202339 | Giubine-Gneiskomplex | Complexe gneissique de Giubine |
| 15205083 | Giumello-Gneis | |
| 15202188 | Giuv-Syenit | Syénite du (Piz) Giuv |
| 15203421 | Glanzschiefer der Zermatt-Saas-Decke | Schistes lustrés de la nappe de Zermatt-Saas |
| 15202144 | Glarus-Verrucano | Verrucano de Glaris |
| 15200180 | Glassand | Sable siliceux vitrifiable |
| 15202495 | Glattmatt-Member | Membre de Glattmatt |

| GeolCode | Deutsch | Français |
|----------|---|---|
| 15200480 | Glaukonitsandmergel-Subformation | Glaukonitsandmergel-Subformation |
| 15206065 | Glaukophanschiefer, undifferenziert | schiste à glaucophane, indifférencié |
| 15200274 | Glimmersandstein-Formation | Formation du Glimmersand |
| 15205118 | Glimmerschiefer der Arolla-Gruppe | Micaschiste du Groupe d'Arolla |
| 15203446 | Glimmerschiefer der Monte-Rosa-Decke | Micaschiste de la nappe du Mont Rose |
| 15205132 | Glimmerschiefer der Sesia-Decke | micaschiste de la nappe de Sesia |
| 15206072 | Glimmerschiefer, undifferenziert | micaschistes, indifférencié |
| 15203211 | Globorotalien-Schichten | Globorotalien-Schichten |
| 15202416 | Glockhaus-Member | Membre du Glockhaus |
| 15202545 | Glockhaus-Member: Schieferiger Eisensandstein | Membre du Glockhaus: grès ferrugineux schisteux |
| 15205110 | Gneis der Arolla-Gruppe, mikroaugig | Gneiss du Groupe d'Arolla, micro-oeillé |
| 15205109 | Gneis der Arolla-Gruppe, mylonitisch | Gneiss du Groupe d'Arolla, mylonitique |
| 15206070 | Gneis, undifferenziert | gneiss, indifférencié |
| 15203247 | Gneisquarzit der Zone Piz Terri - Lunschania | Quarzit und quarzitisches Schiefer (Grava/Tomül) |
| 15203364 | Gneiss basale (Lebendun) | Gneiss basale (Lebendun) |
| 15204001 | God-Drosa-Flysch | Flysch du God Drosa |
| 15200511 | Golat-Süßwasserkalk | Calcaire d'eau douce du Golat |
| 15200661 | Goldberg- bis Vuache-Formation, undifferenziert | |
| 15200156 | Goldberg-Formation | Formation du Goldberg |
| 15200410 | Goldbrunnen-Schichten | Couches de Goldbrunnen |
| 15200361 | Goldegg-Sandstein | Grès de la Goldegg |
| 15203190 | Goli-d'Aget-Member | Membre du Goli d'Aget |
| 15202256 | Goltschenried-Formation | Formation de Goltschenried |
| 15202267 | Goms-Gneiskomplex | Complexe gneissique de Goms |
| 15202510 | Gonzen-Eisenerzhorizont | Horizon du Gonzen |
| 15200092 | Gorges-de-l'Orbe- und Vallorbe-Formation, undifferenziert | Formations des Gorges de l'Orbe et de Vallorbe, indifférenciées |
| 15200096 | Gorges-de-l'Orbe-Formation | Formation des Gorges de l'Orbe |
| 15204115 | Gosau-Gruppe | Groupe de Gosau |
| 15200488 | Gosheim-Formation | Gosheim-Formation |
| 15203187 | Gouille-Verte-Member | Membre de la Gouille Verte |
| 15200547 | Goumoëns-Sandstein | Grès de Goumoëns |
| 15204067 | Gracilis-Member | Gracilis-Member |
| 15200043 | Graitery-Member | Membre du Graitery |
| 15206098 | Granatamphibolit, undifferenziert | amphibolite à grenat, indifférencié |
| 15206068 | Granatglimmerschiefer, undifferenziert | micaschistes à grenat, indifférencié |
| 15205098 | Grand-Dolin-Brekzie | |
| 15200660 | Grand-Essert- bis Narlay-Formation, undifferenziert | |
| 15200150 | Grand-Essert-Formation | Formation du Grand Essert |
| 15203267 | Grand-Herba-Kalk | Calcaire du Sex de Grand-Herba |
| 15203054 | Grande-Bonavau-Formation | Formation de la Grande Bonavau |
| 15203589 | Grande-Bonavau-Formation und Formation spathique, undifferenziert | |
| 15203006 | Grande-Eau-Formation | Formation de la Grande Eau |
| 15200670 | Grande-Varappe-Bank | |
| 15206032 | Granit, undifferenziert | granite, indifférencié |
| 15202246 | Granitartige Gesteine | roches granitiques |
| 15202260 | Granitischer Gneis der Ausserberg-Avat-Zone | Gneiss granitique de la zone d'Ausserberg-Avat |
| 15205066 | Granophyr | Granophyre permien du Sudalpin |

| GeolCode | Deutsch | Français |
|----------|---|---|
| 15206071 | Graphitschiefer, undifferenziert | schiste graphiteux, indifférencié |
| 15202094 | Graspass-Member | Membre du Graspass |
| 15200392 | Graue Molasse | Molasse Grise (OMM) |
| 15200564 | Graupensand | Graupensand |
| 15200037 | Grellingen-Member | Membre de Grellingen |
| 15200063 | Grenchenberg-Member | Membre du Grenchenberg |
| 15200467 | Grenzdolomit | Grenzdolomit (Fm. de Schinznach) |
| 15200481 | Grenzkalk | Grenzkalk |
| 15200016 | Grenznerineen-Bank | Banc à Nérinées du sommet |
| 15205037 | Grenzposidonienschichten | Lumachelle à Posidonia alpina (Grenzposidonienschichten) |
| 15202525 | Grenzquarzit der Bommerstein-Formation | |
| 15202473 | Grépillon-Leukogranitporphyr | Leucogranite des Grépillons |
| 15203009 | Grès de Passage | Membre des Grès de Passage |
| 15200336 | Grès et Marnes Gris à Gypse | Grès et Marnes Gris à Gypse |
| 15203480 | Grosso-Someo-Zone | zone de Grosso-Someo |
| 15202138 | Griaz-Member | Membre de la Griaz |
| 15203068 | Griggeli-Bank | Banc du Griggeli |
| 15203066 | Griggeli-Formation | Formation du Griggeli |
| 15200422 | Grilly-Süsswasserkalk | Calcaire d'eau douce de Grilly |
| 15200414 | Grimmelfingen-Formation | Formation de Grimmelfingen |
| 15202161 | Grimsel-Granodiorit | Granodiorite du Grimsel |
| 15202568 | Grimsel-Granodiorit: aplitische Randfazies | Granodiorite du Grimsel: faciès aplitique de bordure |
| 15200550 | Grindelegg-Formation | Formation de la Grindelegg |
| 15202043 | Grindelwald-Marmor | Marbre de Grindelwald |
| 15202322 | Grisch-Member | Membre du (Piz) Grisch |
| 15200352 | Grisigen-Mergel | Marne de Grisigen |
| 15202317 | Gros-Plané-Melange | Mélange du Gros Plané |
| 15200071 | Gross-Wolf-Member | Membre du Gross Wolf |
| 15202380 | Grotzen-Austernbank | |
| 15203511 | Gruf-Migmatit | Migmatite du Gruf |
| 15200207 | Gruhalde-Member | Membre de la Gruhalde |
| 15203447 | Grundberg-Serie | Série du Grundberg |
| 15200194 | Grüne Mumienbank | Grüne Mumienbank |
| 15206036 | Grüngestein, undifferenziert | roche verte, indifférenciée |
| 15203467 | Grüngesteine der Distulberg-Formation | Roches vertes de la Formation du Distulberg |
| 15203179 | Grüngesteine der Grava- und Tomül-Decke | Roches vertes (Grava/Tomül) |
| 15202173 | Grünhorn-Member («Vulkanisches Member») | Membre volcanique (Fm. du Bifertengrätli) |
| 15200081 | Grünschholz-Member | Membre du Grünschholz |
| 15202071 | Grünten-Member | Membre du Grünten |
| 15202008 | Gruontal-Konglomerat | Conglomérat du Gruontal |
| 15205028 | Gruppe der Scaglia Lombarda | Groupe de la Scaglia Lombarda |
| 15205023 | Gruppe des Lombardischen Flysch | Groupe du Flysch Lombard |
| 15205010 | Gruppe des Lombardischen Gompholit | Groupe de la Gompholite Lombarde |
| 15202442 | Gryonne-Formation | Formation de la Gryonne |
| 15200516 | Gstaldenbach-Member | Membre du Gstaldenbach |
| 15203121 | Guber-Sandstein | Grès de Guber |
| 15203131 | Gueyras-Komplex | Complexe de la Gueyras |
| 15202501 | Gufelialp-Member | Membre de la Gufelialp |

| GeolCode | Deutsch | Français |
|----------|---|--|
| 15200657 | Gugenmühle-Member | Membre du Gugenmühle |
| 15200298 | Guggershorn-Formation | Formation du Guggershorn |
| 15200099 | Guiers-Member | Membre du Guiers |
| 15200425 | Gümnenen-Formation | Formation de Gümnenen |
| 15203083 | Gummfluh-Mikrofazies | Microfaciès de la Gummfluh |
| 15200573 | Günsberg- und Vellerat-Formation, undifferenziert | Formation de Günsberg et de Vellerat, indifférenciées |
| 15200160 | Günsberg-, Vellerat-, Villigen-, Balsthal- und Courgenay-Formation, undifferenziert | Formations de Günsberg, Vellerat, Villigen, Balsthal et Courgenay, indifférenciées |
| 15200118 | Günsberg-Formation | Formation de Günsberg |
| 15200321 | Gunten-Quarzitnagelfluh | Poudingue quartzitique de Gunten |
| 15202111 | Guppen-Fossilhorizont | Horizon fossilifère de Guppen |
| 15203110 | Gurnigel-Flysch | Flysch du Gurnigel |
| 15202112 | Gursbach-Fossilhorizont | Horizon fossilifère du Gursbach |
| 15202242 | Gurschen-Gneis | Gneiss de la Gurschen(alp) |
| 15202509 | Guschakopf-Sandstein | Grès du Guschakopf |
| 15202243 | Guspis-Gneis | Gneiss de la Guspis |
| 15204084 | Güstizia-Gneis | Gneiss de la Güstizia |
| 15204068 | Gutenstein-Formation | Formation de Gutenstein |
| 15202198 | Guttannen-Gneiskomplex | Complexe gneissique de Guttannen |
| 15202575 | Guttannen-Gneiskomplex: Amphibolit führend | Complexe gneissique de Guttannen: avec amphibolite |
| 15202576 | Guttannen-Gneiskomplex: aplitischer Granit | Complexe gneissique de Guttannen: granite aplitique |
| 15202556 | Guttannen-Gneiskomplex: Biotit-Choritschiefer | Complexe gneissique de Guttannen: schiste à chlorite et biotite |
| 15202557 | Guttannen-Gneiskomplex: Chlorit-Serizitschiefer | Complexe gneissique de Guttannen: schiste à séricite et chlorite |
| 15202577 | Guttannen-Gneiskomplex: Marmor | Complexe gneissique de Guttannen: marbre |
| 15202574 | Guttannen-Gneiskomplex: Migmatit | Complexe gneissique de Guttannen: migmatite |
| 15202555 | Guttannen-Gneiskomplex: Orthogneis | Complexe gneissique de Guttannen: orthogneiss |
| 15202554 | Guttannen-Gneiskomplex: Paragneis | Complexe gneissique de Guttannen: paragneiss |
| 15202585 | Guttannen-Gneiskomplex: schierfriger Biotit-Chlorit-Serizit-Gneis | Complexe gneissique de Guttannen: gneiss schisteux à biotite, chlorite, séricite |
| 15202578 | Guttannen-Gneiskomplex: Ultramafit | Complexe gneissique de Guttannen: roche ultramafique |
| 15202313 | Gwürz-Flysch | Flysch de Gwürz |
| 15203166 | Gyrenspitz-Formation | Formation du Gyrenspitz |
| 15202316 | Habkern-Granit | Granite de Habkern |
| 15202001 | Habkern-Melange | Mélange de Habkern |
| 15202496 | Hahnenstock-Keratophyr | Kératophyre du Hahnenstock |
| 15200566 | Haldenhof-Mergel | Marne de Haldenhof |
| 15200090 | Hallau-Bank | Banc de Hallau |
| 15200486 | Hamitenton-Formation | Hamitenton-Formation |
| 15200469 | Hangende-Bankkalke-Formation | Hangende-Bankkalke-Formation |
| 15202157 | Haslital-Gruppe | Groupe du Haslital |
| 15200241 | Hauenstein-Granit | Granite du Hauenstein |
| 15200069 | Hauenstein-Member | Membre de Hauenstein |

| GeolCode | Deutsch | Français |
|----------|---|---|
| 15205050 | Hauptdolomit | Dolomia Principale |
| 15204150 | Hauptdolomit-Gr.: bituminöse Dolomitbrekzie | Groupe de la Hauptdolomite: brèche dolomitique bitumineuse |
| 15204030 | Hauptdolomit-Gruppe | Hauptdolomit-Gruppe |
| 15204127 | Haupter-Brekzie | Brèche de l'Haupter |
| 15200030 | Hauptmumienbank-Member | Membre du Hauptmumienbank (Oolithe nuciforme) |
| 15200008 | Hauptrogenstein | Hauptrogenstein |
| 15203263 | Hauta-Crêtaz-Formation | Formation de Hauta-Crêtaz |
| 15203382 | Haute-Pointe-Formation | Formation de la Haute Pointe |
| 15200152 | Hauterive-Mergel | Membre d'Hauterive |
| 15200458 | Hautes-Roches-Algenkalk | Calcaire algaire des Hautes Roches |
| 15200264 | Hegau-Basalt | Basalte du Hegau |
| 15200266 | Hegau-Deckentuffe | Tuffite du Hegau |
| 15200265 | Hegau-Phonolith | Phonolite du Hegau |
| 15200263 | Hegau-Vulkanite | Roches volcaniques du Hegau |
| 15200517 | Heiden-Member | Membre de Heiden |
| 15203586 | Heiti- und Rossinière-Formation, undifferenziert | |
| 15203048 | Heiti-Formation | Formation de Heiti |
| 15200565 | Heliciden-Mergel | Marne à Hélicidés |
| 15203116 | Hellstätt-Formation | Formation de Hellstätt |
| 15202079 | Helvetischer Kieselkalk | Kieselkalk Helvétique |
| 15202515 | Helvetischer Kieselkalk, Basisschiefer | |
| 15202513 | Helvetischer Kieselkalk, Oberer Teil | |
| 15202514 | Helvetischer Kieselkalk, Unterer Teil | |
| 15200684 | Herdern-Streifengneis | |
| 15200044 | Herznach-Member | Membre de Herznach |
| 15200339 | Heuboden-Äschitannen-Nagelfluh | Poudingue de Heuboden-Äschitannen |
| 15204022 | Hierlatz-Kalk | Calcaire de Hierlatz |
| 15200358 | Hilfern-Formation | Formation de la Hilfern |
| 15202483 | Hinterbalm-Granit | Granite d'Hinterbalm |
| 15200068 | Hirnichopf-Member | Membre du Hirnichopf |
| 15200525 | Hochalp-Member | Membre de la Hochalp |
| 15200268 | Höcheegg-Brekzie | Brèche de la Höcheegg |
| 15200523 | Hochfläschli-Member | Membre de la Hochfläschli |
| 15202070 | Hochkugel-Schichten | Couches du Hochkugel |
| 15203020 | Hochmatt-Kalkarenit | Calcarénite de la Hochmatt |
| 15202363 | Höchst-Flysch | |
| 15202113 | Hochstollen-Formation | Formation du Hochstollen |
| 15200501 | Hohenolber-Tuffit | Tuffite du Hohenolber |
| 15200655 | Hohentengen-Formation | Formation d'Hohentengen |
| 15202022 | Hohgant-Sandstein | Grès du Hohgant |
| 15202593 | Hohgant-Sandstein, Sandkalk und Kalk | Grès du Hohgant, calcaire gréseux et calcaire |
| 15200315 | Höhronen-Nagelfluh | Poudingue des Höhronen |
| 15203091 | Holzerhorn-Einheit | Unité du Holzerhorn |
| 15203324 | Holzerspitz-Gruppe | |
| 15203325 | Holzerspitz-Kalkschiefer | Calcschistes de l'Holzerspitz |
| 15200190 | Holzflue-Member | Membre de la Holzflue |
| 15200513 | Hombach-Member | Formation du Hombach |
| 15200514 | Homberg-Formation | Membre de Homberg |
| 15200178 | Homomya-Mergel | Marne à Homomyes |
| 15200529 | Honegg-Mergel | Marne de la Honegg |

| GeolCode | Deutsch | Français |
|----------|---|---|
| 15200299 | Horgen-Käpfnach-Süsswasserkalk | Calcaire d'eau douce de Horgen-Käpfnach |
| 15205115 | Hornblendegabbro der Arolla-Decke | Gabbro à hornblende du Groupe d'Arolla |
| 15206091 | Hornblendegneis, undifferenziert | gneiss à hornblende, indifférencié |
| 15200111 | Hornbuck-Member | Membre du Hornbuck |
| 15200646 | Hornbüel-Melange | Mélange de Hornbüel |
| 15206090 | Hornfels, undifferenziert | cornéenne, indifférenciée |
| 15203080 | Horngraben-Formation | Formation du Horngraben |
| 15200297 | Hörnli-Formation | Formation du Hörnli |
| 15200267 | Hörnligipfel-Nagelfluh | Poudingue du Hörnligipfel |
| 15200269 | Hörnligubel-Mergel | Marne du Hörnligubel |
| 15200350 | Horw-Sandstein | Grès d'Horw |
| 15200292 | Hüllistein-Konglomerat | Conglomérat d'Hüllistein |
| 15200066 | Humphriesi-Schichten | Couches à Humphriesi |
| 15200490 | Humphriesiolith-Subformation | Humphriesiolith-Subformation |
| 15203140 | Hundsrügg-Formation | Formation du Hundsrügg |
| 15200531 | Hünibach-Nagelfluh | Poudingue de Hünibach |
| 15200177 | Hupper | Hupper |
| 15202381 | Hurst-Mergel | |
| 15203428 | Hyperaugengneis der Monte-Leone-Decke | Hyperaugengneiss de la nappe du Monte Leone |
| 15202308 | Iberg-Melange | Mélange d'Iberg |
| 15200007 | Ifenthal-Formation | Formation d'Ifenthal |
| 15202508 | Ignimbritisches Member (Tscharren) | Ignimbritisches Member (Tscharren) |
| 15202153 | Ilanz-Verrucano | Verrucano d'Ilanz |
| 15202502 | Ilanz-Verrucano s.s. | Verrucano d'Ilanz s.s. |
| 15200478 | Impressamergel-Formation | Impressamergel-Formation |
| 15202122 | Inferno-Formation | Formation d'Inferno |
| 15202402 | Inferno-Formation, Mittlerer Teil | Formation d'Inferno, partie moyenne |
| 15202401 | Inferno-Formation, Oberer Teil | Formation d'Inferno, partie supérieure |
| 15202403 | Inferno-Formation, Unterer Teil | Formation d'Inferno, partie inférieure |
| 15206016 | Informelle Zuordnung | |
| 15203282 | Infrabrèche-Melange | Mélange infra-brèche |
| 15202307 | Infrapräalpines Melange | Mélange Infrapréalpin |
| 15202195 | Innertkirchen-Migmatit | Migmatite d'Innertkirchen |
| 15202531 | Innertkirchen-Migmatit, permisch verwittert | Migmatite d'Innertkirchen, à altération permienne |
| 15202573 | Innertkirchen-Migmatit: Marmor | Migmatite d'Innertkirchen: marbre |
| 15202168 | Intschi-Formation | Formation d'Intschi |
| 15203034 | Intyamon-Formation | Formation de l'Intyamon |
| 15202311 | Isentobel-Komplex | Complexe de l'Isentobel |
| 15202521 | Iserin-Flysch | |
| 15205134 | Ivrea Mafischer Komplex | Complexe Mafique d'Ivrée |
| 15202424 | Javrex-Formation | Formation du Javrex |
| 15200399 | Jensberg-Schichten | Couches du Jensberg |
| 15203215 | Jes-Formation | Formation de la Jes |
| 15202015 | Jochstock-Konglomerat | Conglomérat du Jochstock |
| 15202432 | Jogne-Formation | Formation de la Jogne |
| 15200360 | Jordisboden-Mergel | Marne du Jordisboden |
| 15206010 | Jorio-Tonalit | |
| 15202438 | Joux-Galez-Member | Membre de Joux Galez |
| 15203102 | Joux-Verte-Formation | Formation de la Joux Verte |
| 15204124 | Julier-Granodiorit | Granodiorite du Julier |

| GeolCode | Deutsch | Français |
|----------|--|---|
| 15200226 | Jüngere Flussablagerungen | Jüngere Flussablagerungen (Fm. de Weiach) |
| 15200302 | Jura-Nagelfluh | Juranagelfluh (OSM-J) |
| 15202298 | Jura des Helvetikums | Jurassique de l'Helvétique |
| 15200162 | Jura des Juragebirges | Jurassique du Jura |
| 15200575 | Jurensismergel-Formation | |
| 15200139 | Kaiseraugst-Formation | Formation de Kaiseraugst |
| 15200211 | Kaisten-Bank | Banc de Kaisten |
| 15200408 | Kalchstätten-Formation | Formation de Kalchstätten |
| 15205102 | Kalk der Dolin-Gruppe | Calcaire du Groupe du Dolin |
| 15204134 | kalkalkalische Intrusiva des Ostalpins | roches intrusives calc-alcalines de l'Austroalpin |
| 15203207 | Kalkberg-Gruppe | Groupe du Kalkberg |
| 15202451 | Kalkiger Mines-Lias | Lias des Mines calcaire |
| 15203581 | Kalkiger Tonschiefer der Grava-Decke | Schiste argilo-calcaire de la nappe de la Grava |
| 15206101 | Kalkmarmor, undifferenziert | marbre calcaire, indifférencié |
| 15200536 | Kalksandstein-Serie | Kalksandstein-Serie |
| 15203455 | Kalkschiefer der Fäldbach-Serie | Calcschistes de la Série du Fäldbach |
| 15206104 | Kalkschiefer, undifferenziert | calcschiste, indifférencié |
| 15205054 | Kalkschieferzone | Kalkschieferzone (Fm. de Meride) |
| 15206052 | Kalksilikatfels | roche calcsilicatée |
| 15206108 | Kalkstein, undifferenziert | calcaire, indifférencié |
| 15200530 | Kaltbach-Nagelfluh | Poudingue du Kaltbach |
| 15200647 | Kalter-Wangen-Formation | Formation du Kalter Wangen |
| 15202054 | Kamm-Bank | Banc du Kamm |
| 15200544 | Kännelegg-Nagelfluh | Poudingue de la Kännelegg |
| 15206056 | Känozoikum, undifferenziert | Cénozoïque, indifférencié |
| 15202491 | Kapfen-Formation | Formation de Kapfen |
| 15202492 | Kapfen-Sandstein | Grès de Kapfen |
| 15200509 | Käpfnach-Formation | Formation de Käpfnach |
| 15203473 | Karbon der Maggia-Decke | Carbonifère de la nappe de la Maggia |
| 15203348 | Karbon der Zone-Houillère | Carbonifère de la Zone Houillère |
| 15206080 | Karbon, undifferenziert | Carbonifère, indifférencié |
| 15200644 | Karbonatreiche Molasse | Karbonatreiche Molasse |
| 15200645 | Karbonatreiche Molasse: | Karbonatreiche Molasse: |
| | Kalk-Dolomit-Nagelfluh | Kalk-Dolomit-Nagelfluh |
| 15200147 | Karneol-Horizont | Karneol-Horizont (Fm. du Dinkelberg) |
| 15203527 | Karpatischer Keuper | Karpatischer Keuper |
| 15202147 | Kärpf-Formation | Formation du Kärpf |
| 15202493 | Kärpfgipfel-Sernifit | Sernifite du Kärpfgipfel |
| 15202148 | Karrenstock-Formation | Formation du Karrenstock |
| 15204118 | Kesch-Augengneis | Gneiss oeillé du Piz Kesch |
| 15200125 | Keuper | Groupe du Keuper |
| 15200134 | Kienberg-Member | Membre de Kienberg |
| 15202364 | Kiental-Melange | |
| 15200413 | Kirchberg-Formation | Formation de Kirchberg |
| 15202292 | Kistenstöckli-Member | Membre du Kistenstöckli |
| 15202062 | Klaus-Bank | Banc de Klaus |
| 15202296 | Kleintal-Konglomerat | Conglomérat du Kleintal |
| 15200234 | Klemmbach-Granit | Granite du Klemmbach |
| 15200126 | Klettgau-Formation | Formation du Klettgau |
| 15202028 | Klimsenhorn-Formation | Formation du Klimsenhorn |
| 15200120 | Klingnau-Formation | Formation de Klingnau |

| GeolCode | Deutsch | Français |
|----------|------------------------------------|---|
| 15203562 | Klippen-Flysch | Klippen-Flysch |
| 15203171 | Klus-Formation | Formation de la Klus |
| 15203090 | Klus-Konglomerat | Conglomérat de la Klus |
| 15200518 | Klusbach-Member | Membre du Klusbach |
| 15200108 | Knollen-Bank | Knollen-Bank (Fm. de Villigen) |
| 15203065 | Knollenargovien | Knollenargovien |
| 15200121 | Knorri-Ton | Argile à Knorri |
| 15200229 | Kohle-Serie | Kohle-Serie (Fm. de Weiach) |
| 15206064 | Konglomerat, undifferenziert | conglomérat, indifférencié |
| 15203376 | Konglomeratgneis (Terri) | Konglomeratgneis (Terri) |
| 15206109 | Konglomeratgneis, undifferenziert | gneiss conglomératique, indifférencié |
| 15204024 | Kössen-Formation | Formation de Kössen |
| 15202047 | Kreide des Helvetikums | Crétacé de l'Helvétique |
| 15200161 | Kreide des Juragebirges | Crétacé du Jura |
| 15204089 | Kreide des Ostalpins | |
| 15205072 | Kreide des Südalpins | |
| 15206028 | Kreide, undifferenziert | Crétacé, indifférencié |
| 15200681 | Kreuzlingen-Granit | |
| 15200273 | Krinau-Schichten | Couches de Krinau |
| 15203400 | Kristallin der Berisal-Decke | Socle cristallin de la nappe de Berisal |
| 15205127 | Kristallin der Margna-Sella | socle cristallin de la nappe de la Margna-Sella |
| 15203320 | Kristallin der Monte-Leone-Decke | Socle cristallin de la nappe du Monte Leone |
| 15200616 | Kristallin der Nordschweiz | |
| 15203448 | Kristallin der Portjengrat-Decke | Socle cristallin de la nappe du Portjengrat |
| 15203433 | Kristallin der Ruginenta-Decke | Socle cristallin de la nappe de Ruginenta |
| 15203402 | Kristallin der Ruitor-Decke | Socle cristallin de la nappe du Ruitor |
| 15203405 | Kristallin des Briançonnais | Socle cristallin du Briançonnais |
| 15202466 | Kristallin des Helvetikums | Socle cristallin de l'Helvétique |
| 15204091 | Kristallin des Ostalpins | |
| 15205078 | Kristallin des Südalpins | |
| 15206031 | Kristallingestein, undifferenziert | roche cristalline, indifférenciée |
| 15200316 | Kronberg-Nagelfluh | Poudingue du Kronberg |
| 15200526 | Krummenau-Member | Membre de Krummenau |
| 15200424 | Krustenkalk | Calcaire concrétionné (USM) |
| 15202027 | Küblibad-Member | Membre du Küblibad |
| 15203271 | Kummli-Schichten | Couches de la Kummli |
| 15200288 | Küsnacht-Bentonit | Bentonite de Küsnacht |
| 15200109 | Küssaburg-Member | Membre de la Küssaburg |
| 15200449 | La-Charrue-Süsswasserkalk | Calcaire d'eau douce de la Charrue |
| 15200342 | La-Chaux-Süsswasserkalk | Calcaire d'eau douce de La Chaux |
| 15203398 | La-Dotse-Albitkalk | Calcaire albitisé de la Dotse |
| 15200027 | La-May-Member | Membre de la May |
| 15200438 | La-Presta-Mergel | Argile de la Presta |
| 15204113 | La-Rösa-Orthogneis | Orthogneiss de la Rösa |
| 15200665 | La-Vaux-Bank | |
| 15200448 | La-Verrerie-Süsswasserkalk | Calcaire d'eau douce de la Verrerie |
| 15202213 | Lac-Cornu-Eklogit | Éclogite du Lac Cornu |
| 15203395 | Lacerandes-Augengneis | Gneiss oeillé des Lacerandes |
| 15200474 | Lacunosamergel-Formation | Lacunosamergel-Formation |
| 15203367 | Lagensandkalk | Lagensandkalk |

| GeolCode | Deutsch | Français |
|----------|--|--|
| 15203483 | Lago-Scuro-Formation | Formation du Lago Scuro |
| 15202234 | Laiets-Gneiskomplex | Complexe gneissique des Laiets |
| 15202170 | Lakustrisches Member | Membre lacustre (Fm. du Bifertengrätli) |
| 15203244 | Lamperehubel-Sandstein | Grès du Lamperehubel |
| 15200456 | Landaize-Kalk | Calcaire de Landaize |
| 15204058 | Landwasser-Member | Membre de la Landwasser |
| 15203588 | Langel- und Col-de-Cordon-Member, undifferenziert | |
| 15203239 | Langel-Member | Membre de Langel |
| 15203578 | Langel-Member der Zentralschweizer Klippen | Membre de Langel des klippes de Suisse centrale |
| 15203328 | Langenegg-Formation | |
| 15203007 | Langy-Member | Membre de Langy |
| 15202587 | Laubersmad-Flysch | Flysch du Laubersmad |
| 15200395 | Laufen-Juranagelfluh | Juranagelfluh de Laufon |
| 15200191 | Laufen-Member | Membre de Laufon |
| 15200249 | Laufenburg-Gneiskomplex | Complexe gneissique de Laufenburg |
| 15203232 | Lavagna-Formation | Formation de Lavagna |
| 15204093 | Lavatèra-Brekzie | |
| 15204126 | Lavinèr-Brekzie | Brèche du Piz Lavinèr |
| 15202286 | Lavtina-Sandstein | Grès de Lavtina |
| 15200671 | Le-Coin-Formation | |
| 15200623 | Le-Locle-Formation | |
| 15200624 | Le-Verger-Member | |
| 15203430 | Lebendun-Gneis, arkosisch | Gneiss du Lebendun, arkosique |
| 15203431 | Lebendun-Gneis, konglomeratisch | Gneiss du Lebendun, conglomératique |
| 15203318 | Lebendun-Gneiskomplex | Complexe gneissique du Lebendun |
| 15204003 | Lech-Formation | Formation de Lech |
| 15203557 | Legiuna-Gneis | Gneiss de Legiuna |
| 15202422 | Leiboden-Mergel | Marne du Leiboden |
| 15200282 | Leimbach-Bentonit | Bentonite de Leimbach |
| 15203155 | Leimern-Kalk | Calcaire de la Leimern |
| 15203574 | Leimern-Schichten | Couches de la Leimern |
| 15202421 | Leist-Mergel | Marne du Leist |
| 15200240 | Lenzkirch-Steina-Granit | Granite de Lenzkirch-Steina |
| 15200572 | Les-Bayards-Juranagelfluh | Gompholite des Bayards |
| 15203098 | Lessus-Member | Membre du Lessus |
| 15200107 | Letzi-Member | Membre du Letzi |
| 15200538 | Leuenfall-Nagelfluh | Poudingue du Leuenfall |
| 15203427 | Leukogneis der Monte-Leone-Decke | Leucogneiss de la nappe du Monte Leone |
| 15200464 | Leutschenberg-Member | Membre du Leutschenberg |
| 15203551 | Leventina-D.: Amphibolit | Leventina-D.: Amphibolit |
| 15203548 | Leventina-D.: Kalksilikatfels | Leventina-D.: Kalksilikatfels |
| 15203549 | Leventina-D.: Leukogneis | Leventina-D.: Leukogneis |
| 15203550 | Leventina-D.: Paragneis | Leventina-D.: Paragneis |
| 15202273 | Leventina-Gneis | Gneiss de la Leventina |
| 15203546 | Leventina-Gneis: oberer Teil | Gneiss de la Leventina: partie supérieure |
| 15203547 | Leventina-Gneis: unterer Teil | Gneiss de la Leventina: partie inférieure |
| 15203010 | Leyderry-Member | Membre de la Leyderry |
| 15203251 | Lias-Kalk (Grava) | Gryphäenkalk |
| 15203275 | Lias der Klippen-Decke | Lias de la nappe des Préalpes Médiannes |

| GeolCode | Deutsch | Français |
|----------|---|--|
| 15202120 | Lias des Helvetikums | Lias de l'Helvétique |
| 15200056 | Lias des Juragebirges | Lias du Jura |
| 15204090 | Lias des Ostalpins | |
| 15205075 | Lias des Südalpins | |
| 15206025 | Lias, undifferenziert | Lias, indifférencié |
| 15200296 | Lichtensteig-Schichten | Formation de Lichtensteig |
| 15202081 | Lidernen-Member | Membre de la Lidernen |
| 15203149 | Liechtenstein-Flysch | Flysch du Liechtenstein |
| 15200133 | Liedertswil-Member | Membre de Liedertswil |
| 15200471 | Liegende-Bankkalke-Formation | Liegende-Bankkalke-Formation |
| 15200637 | Lienegg-Formation | Formation du Lienegg |
| 15200040 | Liesberg-Member | Membre de Liesberg |
| 15200619 | Limnischer Horizont (OMM-I) | Horizon limnique (OMM-I) |
| 15200431 | Limnischer Horizont (OMM-II) | Horizon limnique (OMM-II) |
| 15200680 | Lindau-Granit | |
| 15203197 | Lirec-Formation | Formation de Lirec |
| 15206020 | Lithologische Einheit, undifferenziert | |
| 15203518 | Lizun-Grünschiefer | Schistes verts du Lizun |
| 15202411 | Lochegg-Brekzie | Brèche de la Lochegg |
| 15200476 | Lochen-Subformation | Lochen-Subformation |
| 15206018 | Lochsiten-Kalk | |
| 15203313 | Lodano-Gneis | |
| 15202218 | Lognan-Orthogneis | Orthogneiss de Lognan |
| 15205033 | Lombardische Radiolarit-Gruppe | Groupe de la Radiolarite Lombarde |
| 15200590 | Loorenkopf-Nagelfluh | |
| 15203488 | Loranco-Amphibolit | Amphibolite de Loranco |
| 15200532 | Losenegg-Formation | Formation de la Losenegg |
| 15205093 | Losone-Schiefer | |
| 15202520 | Lotharingien-Sandstein | |
| 15202200 | Lötschental-Gneiskomplex | Complexe gneissique du Lötschental |
| 15202560 | Lötschental-Gneiskomplex: Chloritschiefer | Complexe gneissique du Lötschental: schiste à chlorite |
| 15202559 | Lötschental-Gneiskomplex: migmatitischer Biotitgneis | Complexe gneissique du Lötschental: gneiss à biotite migmatitique |
| 15202558 | Lötschental-Gneiskomplex: Muskovitgneis | Complexe gneissique du Lötschental: gneiss à muscovite |
| 15205011 | Lucino-Konglomerat | Conglomérat de Lucino |
| 15203081 | Lückengraben-Formation | Formation du Lückengraben |
| 15203374 | Lugnez-Schiefer | Schistes du Val Lumnezia |
| 15202211 | Luisin-Orthogneis | Orthogneiss du Luisin |
| 15202068 | Luitere-Bank | Banc de la Luitere |
| 15200312 | Luzern-Formation | Formation de Lucerne |
| 15202448 | Maasplanggstock-Metaandesit | Méta-andésite du Maasplanggstock |
| 15205043 | Macchia Vecchia | Macchia Vecchia |
| 15200482 | Macrocephalenoolith-Subformation | Macrocephalenoolith-Subformation |
| 15203385 | Macugnaga-Augengneis | Gneiss oeillé de Macugnaga |
| 15200199 | Maeandrina-Schichten | Couches à Maeandrina |
| 15203552 | Maggia-D.: Amphibolit | Maggia-D.: Amphibolit |
| 15203476 | Maggia-D.: Paragneis | Maggia-D.: Paragneis |
| 15205092 | Maia-Metagabbro | |
| 15205032 | Maiolica Lombarda | Maiolica Lombarda |
| 15203341 | Malenco-Serpentinit | |
| 15203269 | Malm der Klippen-Decke | Malm de la nappe des Préalpes Médiannes |

| GeolCode | Deutsch | Français |
|----------|---|--|
| 15202096 | Malm des Helvetikums | Malm de l'Helvétique |
| 15200012 | Malm des Juragebirges | Malm du Jura |
| 15204088 | Malm des Ostalpins | |
| 15205073 | Malm des Südalpins | |
| 15206027 | Malm, undifferenziert | Malm, indifférencié |
| 15202538 | Malmbrekzie | Brèche du Malm |
| 15203064 | Malmkalk | Malmkalk |
| 15205016 | Malnate-Sandstein | Grès de Malnate |
| 15204099 | Maloja-Gneiskomplex | Complexe gneissique du Maloja |
| 15204098 | Maloja-Orthogneis | |
| 15202294 | Malor-Member | Membre du Malor |
| 15200232 | Malsburg-Granit | Granite de Malsburg |
| 15200239 | Mambach-Granit | Granite de Mambach |
| 15206053 | Mamor, undifferenziert | marbre, indifférencié |
| 15203133 | Manche-Formation | Formation de la Manche |
| 15205070 | Manno-Formation | Formation de Manno |
| 15203494 | Maran-Brekzie | Brèche de Maran |
| 15200558 | Marbach-Member | Membre de Marbach |
| 15202151 | Mären-Formation | Formation de la Mären(egg) |
| 15205126 | Marinelli-Formation | Formation de Marinelli |
| 15203158 | Marmontains-Schichten | Formation des Marmontains |
| 15203410 | Marmor der Tsaté-Decke | Marbre de la nappe du Tsaté |
| 15205121 | Marmor der Valpelline-Gruppe | Marbre du Groupe de Valpelline |
| 15203418 | Marmor der Zermatt-Saas-Decke | Marbre de la nappe de Zermatt-Saas |
| 15200356 | Marnes gris-souris | Marnes gris-souris |
| 15202281 | Martinsmad-Formation | Formation de Martinsmad |
| 15202331 | Massa-Gneiskomplex | Complexe gneissique de la Massa |
| 15203485 | Massari-Formation | Formation du (Pizzo) Massari |
| 15200546 | Mathod-Sandstein | Grès de Mathod |
| 15203317 | Matorello-Gneis | |
| 15203188 | Matse-Member | Membre de la Matse |
| 15202006 | Matt-Formation | Formation de Matt |
| 15202362 | Mättental-Melange | |
| 15205096 | Matterhorn-Gabbro | |
| 15203100 | Mattes-Melange | Mélange des Mattes |
| 15202034 | Mattgrat-Member | Membre du Mattgrat |
| 15200345 | Matzendorf-Süsswasserkalk | Calcaire d'eau douce de Matzendorf |
| 15202226 | Medel-Granit | Granite de Medel |
| 15203355 | Medola-Quarzit | Quartzite du Mèdola |
| 15200366 | Meeressand | Meeressand |
| 15202374 | Meierhof-Phyllit | |
| 15200294 | Meilen-Kalk | Calcaire de Meilen |
| 15200507 | Meilen-Schichten | Couches de Meilen |
| 15202285 | Meilleret-Formation | Formation du Meilleret |
| 15202523 | Meilleret-Formation, Arkose | |
| 15202522 | Meilleret-Formation, Calcaires organo-détritiques | |
| 15202524 | Meilleret-Formation, Conglomérat basal | |
| 15200416 | Meinisberg-Muschelsandstein | Grès coquillier de Meinisberg |
| 15206005 | Melirola-Augengneis | |
| 15202584 | Mels- und Röti-Formation, undifferenziert | Formations de Mels et de Röti, indifférenciées |
| 15202141 | Mels-Formation | Formation de Mels |
| 15200454 | Mergel- und Kalkzone (MKZ) | Zone marneuses et calcaire (MKZ) |

| GeolCode | Deutsch | Français |
|----------|--|--|
| 15200184 | Mergelkalk-Zone | Zone marno-calcaire (Fm. du Grand Essert) |
| 15206118 | Mergelstein, undifferenziert | |
| 15203298 | Mergoscia-Gneis | |
| 15205053 | Meride-Formation | Formation de Meride |
| 15206034 | Mesozoikum, undifferenziert | Mésozoïque, indifférencié |
| 15205112 | Metabasit der Arolla-Gruppe | Métaroché basique du Groupe d'Arolla |
| 15205113 | Metabasit der Arolla-Gruppe, mylonitisch | Métaroché basique du Groupe d'Arolla, mylonitique |
| 15205111 | Metagranitoide der Arolla-Gruppe | Métagranitoïde du Groupe d'Arolla |
| 15203193 | Métailler-Formation | Formation du Métailler |
| 15203411 | Metaradiolarit der Tsaté-Decke | Métaradiolarite de la nappe du Tsaté |
| 15203492 | Metasedimente der Arosa-Decke | Métasédiments de la nappe d'Arosa |
| 15203502 | Metasedimente der Avers-Decke | Métasédiments de la nappe de l'Avers |
| 15203496 | Metasedimente der Platta-Decke | Métasédiments de la nappe du Platta |
| 15203409 | Metasedimente der Tsaté-Decke | Métasédiments de la nappe du Tsaté |
| 15203412 | Metasedimente der Zermatt-Saas-Decke | Métasédiments de la nappe de Zermatt-Saas |
| 15204042 | Mezdi-Member | Membre du (Piz) Mezdi |
| 15203439 | Mezzalama-Granit | Granite de Mezzalama |
| 15204017 | Mezzaun-Member | Membre du (Piz) Mezzaun |
| 15203274 | Mieussy-Member | Membre de Mieussy |
| 15202205 | Miéville-Mylonit | Mylonite de Miéville |
| 15202259 | Migmatit der Ausserberg-Avat-Zone | Migmatite de la zone d'Ausserberg-Avat |
| 15202269 | Migmatit der Ausserbinn-Piz-Cavel-Zone | Migmatite de la zone d'Ausserbinn-Piz Cavel |
| 15205122 | Migmatit der Valpelline-Gruppe | Migmatite du Groupe de Valpelline |
| 15206086 | Migmatit, undifferenziert | migmatite, indifférenciée |
| 15206061 | Mikrodiorit, undifferenziert | microdiorite, indifférenciée |
| 15206044 | Mikrogranit | microgranite |
| 15206043 | Mineralisierter Gang | filon minéralisé |
| 15204046 | Mingèr-Dolomit | Dolomie du Val Mingèr |
| 15204045 | Mingèr-Formation | Formation du Val Mingèr |
| 15203505 | Minschun-Brekzie | Brèche du Minschun |
| 15203465 | Minugrat-Eklogit | Éclogite du Minugrat |
| 15204026 | Mitgel-Member | Membre du (Piz) Mitgel |
| 15202159 | Mittagflue-Granit | Granite de la Mittagflue |
| 15203577 | Mittellias der Klippen-Decke | Lias moyen des Préalpes |
| 15202332 | Mittelvariszische Intrusiva des Aiguilles-Rouges-Massivs | Roches plutoniques éo-varisques du massif des Aiguilles Rouges |
| 15200562 | Mittlere Juranagelfluh | Mittlere Juranagelfluh |
| 15203129 | Mocausa-Nagelfluh | Poudingue de la Mocausa |
| 15200254 | Molasse | Molasse |
| 15200337 | Molasse à Charbon | Molasse à Charbon |
| 15200332 | Molasse Grise de Lausanne | Molasse Grise de Lausanne |
| 15200338 | Molasse Rouge | Molasse Rouge |
| 15200545 | Molasse Rouge des Jurasüdfusses | Molasse Rouge du Pied-du-Jura |
| 15200549 | Molasse Rouge von Monthey | Molasse Rouge de Monthey |
| 15200548 | Molasse Rouge von Vevey | Molasse Rouge de Vevey |
| 15203039 | Molésen-Formation | Formation du Molésen |
| 15200420 | Molière-Muschelsandstein | Grès coquillier de la Molière |
| 15205041 | Molino-Member | Membre du Molino |
| 15202117 | Mols-Member | Membre de Mols |
| 15205040 | Moltrasio-Formation | Formation de Moltrasio |

| GeolCode | Deutsch | Français |
|----------|-------------------------------------|--|
| 15204082 | Mönchalp-Augengneis | Gneiss oeillé de la Mönchalp |
| 15203462 | Moncucco-Peridotit | Péridotite du Moncucco |
| 15203191 | Mondra-Member | Membre de la Mondra |
| 15202216 | Mont-Blanc-Granit | Granite du Mont Blanc |
| 15205005 | Mont-Collon-Komplex | Complexe du Mont Collon |
| 15203415 | Mont-des-Ritzes-Metabasalt | Métabasalte du Mont des Ritzes |
| 15202126 | Mont-Joly-Formation | Formation du Mont Joly |
| 15205086 | Mont-Morion-Granit | |
| 15203396 | Mont-Mort-Metapelit | Métopélites du Mont Mort |
| 15200318 | Mont-Pèlerin-Nagelfluh | Poudingue du Mont Pèlerin |
| 15203196 | Mont-Rogneux-Metagranit | Métagranite du Mont Rogneux |
| 15200083 | Mont-Terri-Member | Membre du Mont Terri |
| 15200586 | Montauban-Mergel | |
| 15200587 | Montauban-Sandstein | |
| 15200386 | Montchaibeux-Member | Membre du Montchaibeux |
| 15200653 | Montcherand-Member | Membre de Montcherand |
| 15206008 | Monte-Bassetta-Quarzdiorit | |
| 15203299 | Monte-Rosa-Gneis | |
| 15203440 | Monte-Rosa-Orthogneis, grobkörnig | Orthogneiss du Mont Rose, à grain grossier |
| 15203453 | Monte-Rosa-Orthogneis, mittelkörnig | Orthogneiss du Mont Rose, à grain moyen |
| 15203442 | Monte-Rosa-Orthogneis, mylonitisch | Orthogneiss du Mont Rose, mylonitique |
| 15206013 | Monte-Rosso-Mikrogranit | |
| 15200419 | Montécu-Schichten | Couches de Montécu |
| 15202206 | Montées-Pélissiers-Granit | Granite des Montées-Pélissiers |
| 15202217 | Montenvers-Granit | Granite du Montenvers |
| 15202123 | Monts-Rosset-Formation | Formation des Monts Rosset |
| 15204047 | Mora-Member | Membre du Val Mora |
| 15205038 | Morbio-Formation | Formation de Morbio |
| 15202480 | Morcles-Mikrogranit | Microgranite de Morcles |
| 15200588 | Mornex-Nagelfluh | |
| 15200664 | Morteau-Bänke | |
| 15200669 | Morteau-Mergel | |
| 15204116 | Morteratsch-Serpentinit | Serpentine du Morteratsch |
| 15200442 | Mortier-Mergel | Marne du Mortier |
| 15200119 | Moutier-Korallenkalk | Calcaire à coraux de Moutier |
| 15200059 | Movelier-Schichten | Couches de Movelier |
| 15200618 | Mümliswil-Süsswasserkalk | Calcaire d'eau douce de Mümliswil |
| 15200236 | Münsterhalden-Granit | Granite des Münsterhalden |
| 15202180 | Munt-Dado-Granit | Granite du Munt Dado |
| 15202290 | Muot-da-Rubi-Formation | Formation du Muot da Rubi |
| 15200493 | Murchisonaeoolith-Formation | Murchisonaeoolith-Formation |
| 15203343 | Muretto-Quarzit | |
| 15203013 | Murgaz-Kalk | Calcaire de Murgaz |
| 15202324 | Murgtal-Formation | Formation du Murgtal |
| 15200248 | Murgtal-Gneiskomplex | Complexe gneissique du Murgtal |
| 15202044 | Mürren-Brekzie | Brèche de Mürren |
| 15204031 | Murtèr-Plattenkalk | Calcaire plaqueté du (Piz) Murtèr |
| 15204032 | Murteret-Dolomit | Dolomie du Murteret |
| 15202101 | Mürtschen-Member | Membre de Mürtschen |
| 15204037 | Müschauns-Dolomit | Dolomie du (Val) Müschauns |
| 15200129 | Muschelkalk | Groupe du Muschelkalk |
| 15200391 | Muschelsandstein | Zone du grès coquillier (OMM) |

| GeolCode | Deutsch | Français |
|----------|--|---|
| 15205124 | Musella-Granit | Granite de Musella |
| 15203073 | Musenalp-Member | Membre de la Musenalp |
| 15200078 | Müsenegg-Bank | Banc de la Müsenegg |
| 15200181 | Mussel-Member | Membre de Mussel |
| 15205119 | Mylonit der Valpelline-Gruppe | Mylonite du Groupe de Valpelline |
| 15206051 | Mylonit, undifferenziert | mylonite, indifférenciée |
| 15203067 | Mythen-Kieselkalk | Calcaire siliceux des Mythen |
| 15203088 | Mytilus-Schichten | Couches à Mytilus |
| 15204092 | Nair-Porphyrroid | |
| 15200258 | Napf-Formation | Formation du Napf |
| 15200622 | Napf-Formation, distale Fazies | |
| 15200621 | Napf-Formation, proximale Fazies | |
| 15203486 | Naret-Formation | Formation du Narèt |
| 15200148 | Narlay-Formation | Formation de Narlay |
| 15202237 | Nelva-Gneiskomplex | Complexe gneissique de Nelva |
| 15203063 | Neokom | Neokom |
| 15200649 | Netzbachtal-Nagelfluh | Poudingue du Netzbachtal |
| 15202020 | Niederhorn-Formation | Formation du Niederhorn |
| 15202060 | Niederi-Schichten | Couches de la Niederi |
| 15200401 | Niedermatt-Formation | Formation de Niedermatt |
| 15203001 | Niesen-Flysch | Flysch du Niesen |
| 15203004 | Niesenkulm-Formation | Formation du Niesenkulm |
| 15203205 | Nisellas-Gruppe | Groupe de Nisellas |
| 15203176 | Nolla-Kalkschiefer | Calcaire de la Nolla |
| 15203209 | Nolla-Kristallin | Socle cristallin du Nolla |
| 15203177 | Nolla-Tonschiefer | Argillite de la Nolla |
| 15203579 | Nolla-Tonschiefer: Quarzsandstein | Schistes argileux de la Nolla: grès quartzitique |
| 15202005 | Nordhelvetische Flysch-Gruppe | Groupe du Flysch nord-helvétique |
| 15202542 | Nordhelvetische Flysch-Gruppe, vorw. schiefriger Tonstein | Formations d'Elm et de Matt: argillite schisteuse |
| 15203252 | Nordpenninische Trias | Trias nord-pennique |
| 15203456 | Nordpenninischer Dogger | Dogger nord-pennique |
| 15203457 | Nordpenninischer Lias | Lias nord-pennique |
| 15206002 | Novate-Intrusiva | Intrusion de Novate |
| 15202369 | Nufenen-Granatschiefer | |
| 15202367 | Nufenen-Knotenschiefer | |
| 15202368 | Nufenen-Sandstein | |
| 15200578 | Numismalismergel-Formation | |
| 15202257 | Oberaar-Furka-Zone | zone de l'Oberaar-Furka |
| 15203164 | Oberälppli-Formation | Formation de l'Oberälppli |
| 15200331 | Oberaquitane Mergelzone | Oberaquitane Mergelzone |
| 15200430 | Oberdorf-Süßwasserkalk | Calcaire d'eau douce d'Oberdorf |
| 15200472 | Obere-Felsenkalke-Formation | Obere-Felsenkalke-Formation |
| 15200061 | Obere Acuminata-Schichten | Couches à Acuminata supérieures |
| 15203104 | Obere Brekzie | Brèche Supérieure |
| 15200429 | Obere bunte Molasse | Molasse bariolée supérieure |
| 15202282 | Obere Flyschabfolge (Sardona) | Obere Flyschabfolge (Sardona) |
| 15200412 | Obere Grenznagelfluh | Obere Grenznagelfluh (Fm. de Saint-Gall) |
| 15203246 | Obere Kalk- und Tonschiefer der Zone Piz Terri - Lunschana | Obere Kalk- und Tonschiefer (Grava/Tomül) |
| 15200307 | Obere Meeresmolasse (OMM) | Molasse marine supérieure (OMM) |

| GeolCode | Deutsch | Français |
|----------|--|--|
| 15200060 | Obere Oolithische Serie (Grande Oolithe) | Série oolitique supérieure (Grande Oolithe) |
| 15203240 | Obere Rauwacke der Klippen-Decke | Cornieule Supérieure |
| 15202534 | Obere Sandsteine (Spirstock) | Obere Sandsteine (Spirstock) |
| 15203105 | Obere Schiefer (Schistes Ardoisiers) | Schistes Ardoisiers |
| 15200136 | Obere Sufatzzone | Obere Sufatzzone (Fm. de Zeglingen) |
| 15200255 | Obere Süswassermolasse (OSM) | Molasse d'eau douce supérieure (OSM) |
| 15203120 | Obere Tonsteinschichten | Obere Tonsteinschichten (Flysch des Schlieren) |
| 15203470 | Oberems-Albitgneis | Gneiss albitique d'Oberems |
| 15205099 | Oberer Meride-Kalk | Partie supérieure du Calcaire de Meride |
| 15202302 | Oberer Quintner Kalk | «Oberer Quinten-Kalk» |
| 15202599 | Oberer Quintner Kalk: Korallenkalk | Oberer Quintner Kalk: calcaire à coraux |
| 15202600 | Oberer Quintner Kalk: Unterer Kalk | Oberer Quintner Kalk: Unterer Kalk |
| 15200217 | Oberer Schuttfächer | Oberer Schuttfächer (Fm. de Weitenau) |
| 15200380 | Oberer Teil des Hauptrogensteins | Partie supérieure du Hauptrogenstein |
| 15200015 | Oberer Virgula-Mergel | Marnes à Virgula supérieures |
| 15200475 | Oberjura-Massenkalk-Formation | Oberjura-Massenkalk-Formation |
| 15202352 | Oberstafel-Gneis | Gneiss d'Oberstafel |
| 15203078 | Obflue-Formation | Formation de la Obflue |
| 15203201 | Obrist-Gruppe | Groupe de l'Obrist |
| 15200579 | Obtususton-Formation | |
| 15200303 | Oehningien des Juragebirges | Oehningien du Jura |
| 15200346 | Oensingen-Süswasserkalk | Calcaire d'eau douce d'Oensingen |
| 15202201 | Ofenhorn-Stampfhorn-Gneiskomplex | Complexe gneissique de l'Ofenhorn-Stampfhorn |
| 15202580 | Ofenhorn-Stampfhorn-Gneiskomplex: aplitischer Granit | Complexe gneissique de l'Ofenhorn-Stampfhorn: granite aplitique |
| 15202563 | Ofenhorn-Stampfhorn-Gneiskomplex: Biotitgneis | Complexe gneissique de l'Ofenhorn-Stampfhorn: gneiss à biotite |
| 15202561 | Ofenhorn-Stampfhorn-Gneiskomplex: gebänderter Biotit-Plagioklasgneis | Complexe gneissique de l'Ofenhorn-Stampfhorn: gneiss rubané à plagioclase et biotite |
| 15202562 | Ofenhorn-Stampfhorn-Gneiskomplex: Migmatit | Complexe gneissique de l'Ofenhorn-Stampfhorn: migmatite |
| 15202579 | Ofenhorn-Stampfhorn-Gneiskomplex: mit Schollenamphibolit | Complexe gneissique de l'Ofenhorn-Stampfhorn: avec amphibolite à blocs |
| 15202564 | Ofenhorn-Stampfhorn-Gneiskomplex: Orthogneis | Complexe gneissique de l'Ofenhorn-Stampfhorn: orthogneiss |
| 15202581 | Ofenhorn-Stampfhorn-Gneiskomplex: Schollenamphibolit | Complexe gneissique de l'Ofenhorn-Stampfhorn: amphibolite à blocs |
| 15202582 | Ofenhorn-Stampfhorn-Gneiskomplex: Ultramafit | Complexe gneissique de l'Ofenhorn-Stampfhorn: roche ultramafique |
| 15200503 | Öhningen-Formation | Formation d'Öhningen |
| 15200504 | Öhningen-Süswasserkalk | Calcaire d'eau douce d'Öhningen |
| 15200272 | Öhningen-Zone im Hörnligebiet | Zone d'Öhningen de la région du Hörnli |
| 15202091 | Öhrli-Formation | Formation de l'Öhrli |
| 15202527 | Öhrli-Formation, von Siderolithikum durchsetzt | Formation de l'Öhrli, à infiltrations de Sidérolithique |
| 15200638 | Öligraben-Formation | Formation de l'Öligraben |

| GeolCode | Deutsch | Français |
|----------|---|--|
| 15200192 | Olten-Member | Membre d'Olten |
| 15200553 | Oltingue-Kalkarenit | Calcarénite d'Oltingue |
| 15200311 | OMM-I | OMM-I |
| 15200308 | OMM-II | OMM-II |
| 15200567 | OMM-J | OMM-J |
| 15200028 | Oolithe-Rousse-Member | Membre de l'Oolithe rousse |
| 15200010 | Opalinus-Ton | Argile à Opalinus |
| 15206059 | Ophikalzit, undifferenziert | ophicalcite, indifférenciée |
| 15203424 | Ophiolith der Antrona-Decke | Ophiolite de la nappe d'Antrona |
| 15203236 | Ophiolith der Arosa-Zone | Ophiolite de la zone d'Arosa |
| 15203503 | Ophiolith der Avers-Decke | Ophiolite de la nappe de l'Avers |
| 15203500 | Ophiolith der Platta-Decke | Ophiolite de la nappe du Platta |
| 15203491 | Ophiolith der Ramosch-Zone | Ophiolite de la zone de Ramosch |
| 15203414 | Ophiolith der Tsaté-Decke | Ophiolite de la nappe du Tsaté |
| 15203422 | Ophiolith der Zermatt-Saas-Decke | Ophiolite de la nappe de Zermatt-Saas |
| 15200423 | Orbe-Süsswasserkalk | Calcaire d'eau douce d'Orbe |
| 15200140 | Orbicularis-Mergel | Marne à Orbicularis |
| 15200479 | Ornatenton-Formation | Ornatenton-Formation |
| 15205006 | Orthogneis der Arolla-Gruppe | orthogneiss du Groupe d'Arolla |
| 15205107 | Orthogneis der Arolla-Gruppe, augig | Orthogneiss du Groupe d'Arolla, oeillé |
| 15205106 | Orthogneis der Arolla-Gruppe, leukokrat | Orthogneiss du Groupe d'Arolla, leucocrate |
| 15205108 | Orthogneis der Arolla-Gruppe, mylonitisch | Orthogneiss du Groupe d'Arolla, mylonitique |
| 15202274 | Orthogneis der Lukmanier-Decke | Orthogneiss de la nappe du Lukmanier |
| 15203426 | Orthogneis der Monte-Leone-Decke | Orthogneiss de la nappe du Monte Leone |
| 15203449 | Orthogneis der Portjengrat-Decke | Orthogneiss de la nappe du Portjengrat |
| 15205131 | Orthogneis der Sesia-Decke | orthogneiss de la nappe de Sesia |
| 15206076 | Orthogneis, undifferenziert | orthogneiss, indifférencié |
| 15200295 | OSM-I | OSM-I |
| 15200262 | OSM-II | OSM-II |
| 15200300 | OSM-J | OSM-J |
| 15203268 | Oudiou-Formation | Formation d'Oudiou |
| 15202012 | Paläogen des Helvetikums | Paléogène de l'Helvétique |
| 15206055 | Paläozoikum, undifferenziert | Paléozoïque, indifférencié |
| 15202092 | Palfris-Formation | Formation de Palfris |
| 15202382 | Palis-Member | |
| 15203233 | Palombini-Formation | Formation à Palombini |
| 15203218 | Panier-Formation | Formation de Panier |
| 15202351 | Paradis-Gneiskomplex | Complexe gneissique du (Piz) Paradis |
| 15202261 | Paragneis der Ausserberg-Avat-Zone | Paragneiss de la zone d'Ausserberg-Avat |
| 15202270 | Paragneis der Ausserbinn-Piz-Cavel-Zone | Paragneiss de la zone d'Ausserbinn-Piz Cavel |
| 15202275 | Paragneis der Lukmanier-Decke | Paragneiss de la nappe du Lukmanier |
| 15203429 | Paragneis der Monte-Leone-Decke | Paragneiss de la nappe du Monte Leone |
| 15203443 | Paragneis der Monte-Rosa-Decke | Paragneiss de la nappe du Mont Rose |
| 15203435 | Paragneis der Ruginenta-Decke | Paragneiss de la nappe de Ruginenta |
| 15206077 | Paragneis, undifferenziert | paragneiss, indifférencié |
| 15205117 | Paragneiss der Arolla-Gruppe | Paragneiss du Groupe d'Arolla |
| 15204052 | Parai-Alba-Member | Membre de la Parai Alba |
| 15204139 | Parait-Chavagl-Granit | Granite du Parait Chavagl |
| 15202486 | Pardatschas-Granit | Granite du (Piz) Pardatschas |

| GeolCode | Deutsch | Français |
|----------|--|--|
| 15200202 | Parkinsoni-Schichten | Couches à Parkinsoni |
| 15200487 | Parkinsonioolith-Subformation | Parkinsonioolith-Subformation |
| 15203307 | Parnegl-Formation | |
| 15204050 | Partnach-Formation | Formation de la Partnach |
| 15203482 | Passo-di-Cristallina-Zone | zone du Passo di Cristallina |
| 15200673 | Passwang- bis Ifenthal-Formation, undifferenziert | |
| 15200009 | Passwang-Formation | Formation du Passwang |
| 15200195 | Pecten-Bank | Banc à Pecten (Fm. de Wildegge) |
| 15206040 | Pegmatit | pegmatite |
| 15202439 | Pereyres-Formation | Formation de la Pereyre |
| 15206001 | Periadriatische Vulkanite | roches volcaniques cénozoïques péri-adriatiques |
| 15206096 | Peridotit, undifferenziert | péridotite, indifférencié |
| 15203472 | Perm der Maggia-Decke | Permien de la nappe de la Maggia |
| 15202504 | Perm der Tavetsch-Decke (Val Acla Mulin) | Permien de la nappe du Tavetsch (Val Acla Mulin) |
| 15203386 | Perm der Zone-Houillère | Permien de la Zone Houillère |
| 15203389 | Perm der Zone-Houillère, konglomeratisch | Permien conglomératique de la Zone Houillère |
| 15203387 | Perm der Zone-Houillère, quarzschiefzig | Permien quarzoschisteux de la Zone Houillère |
| 15206100 | Perm, undifferenziert | Permien, indifférencié |
| 15202255 | Permisch verwittertes Kristallin | Cristallin à altération permienne |
| 15202254 | Permische Sedimente der Illanz-Zone | Sédiments permien de la zone d'Illanz |
| 15205065 | Permische Vulkanite | Roches volcanique permienne du Sudalpin |
| 15203471 | Permo-Karbon der Maggia-Decke | Permo-Carbonifère de la nappe de la Maggia |
| 15200221 | Permo-Karbon der Nordschweiz | Permo-Carbonifère du NW de la Suisse |
| 15203406 | Permo-Karbon der Ruitor-Decke | Permo-Carbonifère de la nappe du Ruitor |
| 15203407 | Permo-Karbon der Ruitor-Decke, konglomeratisch | Permo-Carbonifère conglomératique de la nappe du Ruitor |
| 15202266 | Permo-Karbon der Urseren-Garvera-Zone | Permo-Carbonifère de la zone d'Urseren-Garvera |
| 15202465 | Permo-Karbon des Aiguilles-Rouges-Massivs | Permo-Carbonifère du massif des Aiguilles Rouges |
| 15202142 | Permo-Karbon des Helvetikums | Permo-Carbonifère de l'Helvétique |
| 15204128 | Permo-Karbon des Ostalpins | Permo-Carbonifère de l'Austroalpin |
| 15205077 | Permo-Karbon des Südalpins | |
| 15206103 | Permokarbon, undifferenziert | Permo-Carbonifère, indifférencié |
| 15203141 | Perrières-Formation | Formation des Perrières |
| 15202214 | Perrons-Orthogneis | Orthogneiss des Perrons |
| 15203545 | Personico-Gneis | Gneiss de Personico |
| 15200149 | Perte-du-Rhône-Formation | Formation de la Perte-du-Rhône |
| 15203481 | Pertusio-Zone | zone de Pertusio |
| 15200571 | Péry-Geröllsande | Sable à galets de Péry |
| 15202220 | Pesciora-Gruppe | Groupe de Pesciora |
| 15203052 | Petit-Liençon-Formation | Formation du Petit Liençon |
| 15202219 | Pétoudes-Orthogneis | Orthogneiss des Pétoudes |
| 15200512 | Petrefaktenlager | Petrefaktenlager (Fm. du Belpberg) |
| 15203160 | Peula-Schichten | Couches de la Peula |
| 15203084 | Pfad-Mikrofazies | Microfaciès de Pfad |

| GeolCode | Deutsch | Français |
|----------|---|---|
| 15200403 | Pfadflüe-Nagelfluh | Poudingue de la Pfadflüe |
| 15200677 | Pfaffnau-Granit | |
| 15200257 | Pfänder-Schichten | Couches du Pfänder |
| 15200280 | Pfannenstiel-Schichten | Couches du Pfannenstiel |
| 15203168 | Pfävigrat-Formation | Formation du Pfävigrat |
| 15200542 | Pfiffegg-Nagelfluh | Poudingue de la Pfiffegg |
| 15200522 | Pfingstboden-Member | Membre du Pfingstboden |
| 15204072 | Pflanzenquarzit | Pflanzenquarzit (Fm. du Fuorn) |
| 15203423 | Pfulwe-Metabasalt | Métabasalte du Pfulwe |
| 15203381 | Phengitgneis der Aul-Decke | Phengitgneis (Grava) |
| 15206082 | Phyllit, undifferenziert | phyllite, indifférenciée |
| 15206095 | Phyllitgneis, undifferenziert | gneiss phyllitique, indifférencié |
| 15203356 | Pianasciom-Kalkschiefer | Calcschiste de Pianasciom |
| 15203357 | Piano-delle-Creste-Sandstein | Grès du Piano delle Creste |
| 15200039 | Pichoux-Formation | Formation du Pichoux |
| 15203408 | Piémont-Glanzschiefer | Schistes lustrés du Piémontais |
| 15203413 | Piémont-Ophiolith | Ophiolite du Piémontais |
| 15203345 | Pierre-Avoi-Brekzie | |
| 15203156 | Pierre-Avoi-Melange | Mélange de la Pierre Avoi |
| 15200058 | Pierre-Blanche | Pierre Blanche (Hauptrogenstein) |
| 15200097 | Pierre-Châtel-, Vions- und Chambotte-Formation, undifferenziert | Formations de Pierre-Châtel, de Vions et de la Chambotte, indifférenciées |
| 15200101 | Pierre-Châtel-Formation | Formation de Pierre-Châtel |
| 15200151 | Pierre Jaune de Neuchâtel | Membre de Neuchâtel |
| 15202017 | Pierredar-Kalk | Calcaire de Pierredar |
| 15203026 | Pissot-Member | Membre du Pissot |
| 15202455 | Piz-Cuolmet-Gneiskomplex | Complexe gneissique du Piz Cuolmet |
| 15203507 | Piz-del-Palo-Gneis | Gneiss du Piz del Palo |
| 15204111 | Piz-Trovat-Metarhyolit | Métarhyolite du Piz Trovat |
| 15205051 | Pizzella-Mergel | Marne du (Monte) Pizzella |
| 15203351 | Pizzo-Castello-Wildflysch | Wildflysch du Pizzo Castello |
| 15205094 | Pizzo-Leone-Gneis | |
| 15203033 | Plagersflue-Kalkarenit | Calcarénite de la Plagersflue |
| 15202361 | Plaine-Morte-Melange | |
| 15203060 | Plan-Falcon-Formation | Formation de Plan Falcon |
| 15202435 | Planière-Member | Membre de la Planière |
| 15203146 | Planken-Formation | Formation de Planken |
| 15203145 | Planknerbrücke-Formation | Formation de Planknerbrücke |
| 15202304 | Planplatte-Eisenoolith | Oolite ferrugineuse de la Planplatte |
| 15204085 | Plasseggen-Augengneis | Gneiss oeillé de Plasseggen |
| 15203224 | Plattamala-Granit | Granite de la nappe de la Tasna |
| 15204008 | Plattas-Member | Membre de Plattas |
| 15202602 | Plattazüg-Formation | Formation du Plattazüg |
| 15200146 | Plattensandstein | Plattensandstein (Fm. du Dinkelberg) |
| 15202058 | Plattenwald-Bank | Banc du Plattenwald |
| 15200218 | Playa-Serie | Playa-Serie (Fm. de Weitenau) |
| 15202203 | Plex-Aboyeu-Rhyodazit | Rhyodacite de Plex-Aboyeu |
| 15202519 | Pliensbachien-Spatkalk | |
| 15200444 | Poet-Bank | Banc du Poet |
| 15205087 | Pointe-d'Otemma-Granodiorit | |
| 15203264 | Pointe-de-l'Au-Brekzie | Brèche de la Pointe de l'Au |
| 15200390 | Polygene Nagelfluh | Poudingue polygénique (OMM) |
| 15200436 | Poncin-Member | Membre de Poncin |
| 15200667 | Pont-des-Pierres-Bank | |

| GeolCode | Deutsch | Français |
|----------|---|---|
| 15205009 | Pontegana-Konglomerat | Conglomérat de Pontegana |
| 15200440 | Ponthoud-Bank | Banc du Ponthoud |
| 15205137 | Pontida-Formation | Formation de Pontida |
| 15202236 | Pontino-Gneiskomplex | Complexe gneissique de Pontino |
| 15202207 | Pormenaz-Granit | Granite de Pormenaz |
| 15200370 | Porrentruy-Konglomerat | Conglomérat de Porrentruy |
| 15200026 | Porrentruy-Member | Membre de Porrentruy |
| 15200576 | Posidonienschiefer-Formation | |
| 15204103 | Postvariszische Diabasgänge | Filons de diabase postvarisques |
| 15200243 | Prä- und frühvariszische Sedimente und Vulkanite der Nordschweiz | Roches sédimentaires et volcaniques anté- à éo-varisques de la Forêt Noire |
| 15202357 | Prä- und Frühvariszische Sedimente und Vulkanite des Aiguilles-Rouges-Massivs | Roches sédimentaires et volcaniques éo-varisques du massif des Aiguilles Rouges |
| 15203029 | Pra-du-Pont-Hartgrund | Hardground de Pra du Pont |
| 15204036 | Pra-Grata-Member | Membre de Pra Grata |
| 15204078 | Präbichl-Formation | Formation de Präbichl |
| 15203277 | Pralet-Formation | Formation du Pralet |
| 15205114 | Prasinite der Arolla-Gruppe | Prasinite du Groupe d'Arolla |
| 15203468 | Prasinite der Métailler-Formation | Prasinites de la Formation du Métailler |
| 15206041 | Prasinite, undifferenziert | prasinite, indifférenciée |
| 15202347 | Prato-Gneis | Gneiss de Prato |
| 15203162 | Prättigau-Schiefer | Schistes du Prättigau |
| 15200253 | Prävariszische Grüngesteine der Nordschweiz | Roches vertes de la Forêt Noire |
| 15204137 | prävariszische Grüngesteine des Ostalpins | roches vertes anté-varisques de l'Austroalpin |
| 15205130 | Prävariszische Metaarkose, Orthogneise | Métaarkose, orthogneiss anté-varisque |
| 15205081 | Prävariszische Metasedimente des Südalpins | métasédiments anté-varisques du Sudalpin |
| 15200250 | Prävariszische Migmatite der Nordschweiz | Migmatites de la Forêt Noire |
| 15200246 | Prävariszische Orthogneise der Nordschweiz | Orthogneiss de la Forêt Noire |
| 15204135 | prävariszische Orthogneise des Ostalpins | orthogneiss anté-varisques de l'Austroalpin |
| 15205136 | Prävariszische Orthogneise des Südalpins | orthogneiss anté-varisques du Sudalpin |
| 15204136 | prävariszische Paragneise des Ostalpins | paragneiss anté-varisques de l'Austroalpin |
| 15203475 | Prävariszisches Grundgebirge der Maggia-Decke | Socle cristallin anté-varisque de la nappe de la Maggia |
| 15205129 | Prävariszisches Grundgebirge der Margna-Sella | socle polycyclique anté-varisque de la nappe de la Margna-Sella |
| 15203461 | Prävariszisches Grundgebirge des Briançonnais | Socle cristallin anté-varisque du Briançonnais |
| 15202340 | Prävariszisches polyzyklisches Grundgebirge der Gotthardt-Decke | Socle polycyclique anté-varisque de la nappe du Gotthard |
| 15200245 | Prävariszisches polyzyklisches Grundgebirge der Nordschweiz | Socle polycyclique anté-varisque de la Forêt Noire |
| 15202355 | Prävariszisches polyzyklisches Grundgebirge der Tavetsch-Decke | Socle polycyclique anté-varisque de la nappe du Tavetsch |

| GeolCode | Deutsch | Français |
|----------|--|---|
| 15202194 | Prävariszisches polyzyklisches Grundgebirge des Aar-Massivs | Socle métamorphique polycyclique anté-varisque du massif de l'Aar |
| 15202334 | Prävariszisches polyzyklisches Grundgebirge des Aiguilles-Rouges-Massivs | Socle polycyclique anté-varisque du massif des Aiguilles Rouges |
| 15202468 | Prävariszisches polyzyklisches Grundgebirge des Helvetikums | Socle polycyclique anté-varisque de l'Helvétique |
| 15202337 | Prävariszisches polyzyklisches Grundgebirge des Mont-Blanc-Massivs | Socle polycyclique anté-varisque du massif du Mont Blanc |
| 15204119 | prävariszisches polyzyklisches Grundgebirge des Ostalpins | socle polycyclique anté-varisque de l'Austroalpin |
| 15206110 | Prävariszisches, polyzyklisches Grundgebirge, undifferenziert | socle polycyclique anté-varisque, indifférencié |
| 15202440 | Praz-Couquain-Formation | Formation de Praz Couquain |
| 15203289 | Praz-Serie | Série des Praz |
| 15203436 | Preja-Formation | Formation de la Preja |
| 15205022 | Prella-Konglomerat | Conglomérat de Prella |
| 15205014 | Prestino-Pelite | Pélite de Prestino |
| 15202601 | Prodkamm- bis Sexmor-Formation, undifferenziert | Formation du Prodkamm à Formation du Sexmor, indifférenciées |
| 15202131 | Prodkamm-Formation | Formation du Prodkamm |
| 15202390 | Prodkamm-Formation, Mittlerer Teil | |
| 15202389 | Prodkamm-Formation, Oberer Teil | |
| 15202391 | Prodkamm-Formation, Unterer Teil | |
| 15202271 | Prosa-Granit | Granite du (Monte) Prosa |
| 15204053 | Prosanto-Formation | Formation du (Piz) Prosanto |
| 15205085 | Proterozoische und paläozoische Mafite und Ultramafite des Südalpins | |
| 15202239 | Prüsfa-Gneiskomplex | Complexe gneissique de Prüsfa |
| 15200582 | Psilonotenton-Formation | |
| 15202456 | Pulanera-Gneiskomplex | Pulanera-Gneiskomplex |
| 15204071 | Punt-la-Drossa-Member | Membre de Punt la Drossa |
| 15203371 | Punta-Rossa-Komplex | Complexe de la Punta Rossa |
| 15202184 | Punteglias-Granit | Granite de Punteglias |
| 15202085 | Pygurus-Member | Membre à Pygurus |
| 15202136 | Quarten-Formation | Formation de Quarten |
| 15206038 | Quarzgang | filon de quartz |
| 15205105 | Quarzit der Dolin-Gruppe | Quartzite du Groupe du Dolin |
| 15203404 | Quarzit der Nordpenninische Trias | Quartzite du Trias nord-pennique |
| 15203419 | Quarzit der Zermatt-Saas-Decke | Quartzite de la nappe de Zermatt-Saas |
| 15206062 | Quarzit, undifferenziert | quartzite, indifférenciée |
| 15200432 | Quarzitnagelfluh (der St.-Gallen-Fm.) | Poudingue quartzitique (Fm. de Saint-Gall) |
| 15206083 | Quarzphyllit, undifferenziert | quartzphyllite, indifférenciée |
| 15203212 | Quarzsandstein-Flysch (Gault) | Quarzsandstein-Flysch (Gault) |
| 15206117 | Quarzsandstein, undiff. | Grès quartzitique, indiff. |
| 15204034 | Quattervals-Formation | Formation du (Piz) Quattervals |
| 15202097 | Quinten-Formation | Formation de Quinten |
| 15203137 | Radiolarit | Radiolarites |
| 15203235 | Radiolarit der Arosa-Zone | Radiolarite de la zone d'Arosa |
| 15206107 | Radiolarit, undifferenziert | radiolarite, indifférenciée |
| 15200325 | Radiolaritreiche Nagelfluh | Radiolaritreiche Nagelfluh (Fm. du Rigi) |
| 15202083 | Rahberg-Bank | Membre du Rahberg |
| 15204149 | Raibl-Gr.: Dolomit | Groupe de Raible: dolomite |

| GeolCode | Deutsch | Français |
|----------|--|---|
| 15204038 | Raibl-Gruppe | Groupe de Raibl |
| 15204151 | Raibl-Gruppe der Zentralschweizer Klippen | Groupe de Raibl des klippes de Suisse centrale |
| 15200371 | Raitsche | Raitsche |
| 15204027 | Ramoz-Member | Membre de Ramoz |
| 15200505 | Ramschwag-Nagelfluh | Poudingue de la Ramschwag |
| 15203070 | Rämsi-Member | Membre de Rämsi |
| 15203185 | Randa-Augengneis | Gneiss oeilé de Randa |
| 15200570 | Randen-Grobkalk | Calcaire grossier du Randen |
| 15200398 | Randen-Juranagelfluh | Juranagelfluh du Randen |
| 15200235 | Randgranit | Randgranit |
| 15202063 | Rankweil-Member | Membre de Rankweil |
| 15203309 | Raschil-Formation | |
| 15202418 | Rauwacke (Röti-Fm.) | Cornieule (Fm. de la Röti) |
| 15203243 | Rauwacke der Brekzien-Decke | Cornieule de la nappe de la Brèche |
| 15205104 | Rauwacke der Dolin-Gruppe | Cornieule du Groupe du Dolin |
| 15202547 | Rauwacke der Helvetische Trias | Cornieule du Trias helvétique |
| 15203571 | Rauwacke der Klippen-Decke | Cornieule des Préalpes Médiannes |
| 15204146 | Rauwacke der Raibl-Gruppe | Cornieule du Groupe de Raibl |
| 15203575 | Rauwacke und Quarzsandstein der Klippen-Decke (basale Trias) | Cornieule et grès quartzitique des Préalpes Médiannes (Trias basal) |
| 15206022 | Rauwacke, undifferenziert | |
| 15204061 | Ravais-ch-Member | Membre de Ravais-ch |
| 15203011 | Raverette-Member | Membre de la Raverette |
| 15202074 | Rawil-Member | Membre du Rawil |
| 15203025 | Rayes-Kalk | Calcaire des Rayes |
| 15200400 | Rebhubel-Schichten | Couches du Rebhubel |
| 15203509 | Rebi-Gneis | Gneiss de Rebi |
| 15204069 | Reichenhall-Formation | Formation de Reichenhall |
| 15203125 | Reidigen-Formation | Formation de Reidigen |
| 15204062 | Reifling-Formation | Formation de Reiflingen |
| 15202108 | Reischiben-Formation | Formation de la Reischiben |
| 15203147 | Reiselsberg-Formation | Formation du Reiselsberg |
| 15200042 | Renggeri-Member | Membre à Renggeri |
| 15203556 | Renten-Gneis | Gneiss de Renten |
| 15200002 | Reuchenette-Formation | Formation de Reuchenette |
| 15203336 | Rhät der Brekzien-Decke | |
| 15203142 | Rhenodanubischer Flysch | Flysch Rhénodanubien |
| 15206045 | Rhétien, undifferenziert | Rhétien, indifférencié |
| 15200145 | Rhötton | Rhötton |
| 15206035 | Rhyolit, undifferenziert | rhyolite, indifférenciée |
| 15203362 | Ri-d'Antabia-Konglomerat | Conglomérat du Ri d'Antabia |
| 15203388 | Ricard-Rhyolit | Rhyolite de Ricard |
| 15200077 | Rickenbach-Member | Membre de Rickenbach |
| 15202373 | Riein-Schichten | |
| 15200359 | Rietbad-Subformation | Sous-formation de Rietbad |
| 15200075 | Rietheim-Member | Membre de Rietheim |
| 15203420 | Riffelberg-Melange | Mélange du Riffelberg |
| 15204147 | Rifffazies der Arlberg-Formation | faciès récifal de la Formation de l'Arlberg |
| 15200322 | Rigi-Formation | Formation du Rigi |
| 15203085 | Rindenkorn-Mikrofazies | Microfaciès à oncolithes (Fm. de la Dorfflüe) |
| 15203327 | Rinderbach-Formation | |

| GeolCode | Deutsch | Français |
|----------|----------------------------------|-------------------------------------|
| 15202489 | Rinderbiel-Mikrogranit | Microgranite de Rinderbiel |
| 15202537 | Ringgenberg-Schichten | Couches de Ringgenberg |
| 15205017 | Rio-dei-Gioghi-Pelite | Pélite du Rio dei Gioghi |
| 15202431 | Riondouneire-Member | Membre de Riondouneire |
| 15203322 | Ritter-Gneis | |
| 15205049 | Riva-di-Solto-Tonstein | Argilite de Riva di Solto |
| 15200094 | Rivière-Member | Membre de la Rivière |
| 15203350 | Robiei-Wildflysch | Wildflysch de Robièi |
| 15202393 | Roc-Champion-Konglomerat | |
| 15200650 | Rocher-des-Hirondelles-Formation | Formation du Rocher des Hirondelles |
| 15206047 | Rodingit | rodingite |
| 15203128 | Rodomonts-Formation | Formation des Rodomonts |
| 15203037 | Rodosex-Member | Membre de Rodosex |
| 15203330 | Roffna-Gneis | |
| 15202310 | Roggenegg-Komplex | Complexe de la Roggenegg |
| 15203540 | Rognoi-Gneis | Gneiss de Rognoi |
| 15202072 | Rohrbachstein-Bank | Banc du Rohrbachstein |
| 15205123 | Roisan-Marmor | Marbre de Roisan |
| 15205003 | Roisan-Zone | zone de Roisan |
| 15203329 | Rombach-Formation | |
| 15203030 | Rontins-Member | Membre des Rontins |
| 15200031 | Röschenz-Member | Membre de Röschenz |
| 15202046 | Rosenloui-Marmor | Marbre de Rosenloui |
| 15202487 | Rossbodenstock-Diorit | Diorite du Rossbodenstock |
| 15200640 | Rossemaison-Formation | Formation de Rossemaison |
| 15203519 | Rossi-Formation | Formation des Rossi |
| 15203047 | Rossinière-Formation | Formation de Rossinière |
| 15205034 | Rosso ad Aptici | Rosso ad Aptici |
| 15205036 | Rosso Ammonitico Lombardo | Rosso Ammonitico Lombardo |
| 15202378 | Rossplatten-Diorit | |
| 15202499 | Rotberg-Sandstein | Grès du Rotberg |
| 15203027 | Rote-Platte-Formation | Formation de Rote Platte |
| 15203023 | Roter-Sattel-Hartgrund | Hartground de Roter Sattel |
| 15200064 | Rothenfluh-Member | Membre de la Rothenfluh |
| 15202139 | Röti-Formation | Formation de la Röti |
| 15202183 | Rötifirn-Gruppe | Groupe du Rötifirn |
| 15202221 | Rotondo-Granit | Granite du Rotondo |
| 15203441 | Rottal-Migmatit | Migmatite du Rottal |
| 15203490 | Roz-Schiefer | Schistes du Roz |
| 15203092 | Rubli-Member | Membre du Rubli |
| 15203163 | Ruchberg-Formation | Formation du Ruchberg |
| 15203304 | Rudnal-Formation | |
| 15202356 | Rueras-Gneiskomplex | Complexe gneissique de Rueras |
| 15202314 | Ruestel-Flysch | Flysch de Ruestel |
| 15204009 | Ruhpolding-Formation | Formation de Ruhpolding |
| 15204079 | Ruina-Formation | Formation de la Ruina |
| 15202376 | Ruinas-Sandstein | |
| 15202372 | Runcaleida-Schichten | |
| 15203297 | Ruscada-Gneis | |
| 15202010 | Rüschenschweid-Bank | Banc du Rüschenschweid |
| 15202181 | Russein-Diorit | Diorite de Russein |
| 15204005 | Russenna-Formation | Formation du (Munt) Russenna |
| 15200095 | Russille-Member | Membre de la Russille |
| 15202297 | Rütenen-Konglomerat | Conglomérat de Rütenen |

| GeolCode | Deutsch | Français |
|----------|---|--|
| 15200541 | Rütiberg-Kalksandstein | Grès calcaire de Rütiberg |
| 15200283 | Rütschlibach-Riedhof-Süsswasserkalk | Calcaire d'eau douce du Rütschlibach-Riedhof |
| 15204059 | S-charl-Formation | Formation de S-charl |
| 15200214 | Saalfhof-Bank | Banc de Saalfhof |
| 15203450 | Saas-Fee-Augengneis | Gneiss oeilé de Saas Fee |
| 15203319 | Sabbione-Sandstein | |
| 15200225 | Säckingen-Granit | Granite de Säckingen |
| 15200404 | Sädel-Kalknagelfluh | Poudingue calcaire de Sädel |
| 15202223 | Sädelhorn-Diorit | Diorite du Sädelhorn |
| 15200313 | Safenwil-Muschelsandstein | Grès coquillier de Safenwil |
| 15203175 | Safien-Kalk | Calcaire de Safien |
| 15202444 | Saix-Member | Membre des Saix |
| 15203533 | Salahorn-Fm.: Metaplutonit | Formation du Salahorn: métaplutonite |
| 15203534 | Salahorn-Fm.: Paragneis | Formation du Salahorn: paragneiss |
| 15204014 | Salamun-Brekzie | Brèche de Salamun |
| 15203432 | Salarioli-Serie | Série du (Passo) Salarioli |
| 15206019 | Salleren-Brekzie | |
| 15204013 | Salteras-Formation | Formation du (Piz) Salteras |
| 15205042 | Saltrio-Formation | Formation de Saltrio |
| 15204011 | Saluver-Formation | Formation du (Piz) Saluver |
| 15204010 | Saluver-Gruppe | Groupe du (Piz) Saluver |
| 15202155 | Salvan-Member | Membre de Salvan |
| 15200137 | Salzlager | Salzlager (Fm. de Zeglingen) |
| 15205080 | San-Bernardo-Gneis | |
| 15206015 | San-Fedelino-Granit | |
| 15205058 | San-Giorgio-Dolomit | Dolomie du (Monte) San Giorgio |
| 15205061 | San-Salvatore-Dolomit | Dolomie du (Monte) San Salvatore |
| 15203217 | Sanalada-Formation | Formation de Sanalada |
| 15202506 | Sandalp-Rhyolith | Rhyolithe de la Sandalp |
| 15204080 | Sandhubel-Member | Membre du Sandhubel |
| 15202392 | Sandpass-Formation | |
| 15206105 | Sandstein, undifferenziert | grès, indifférencié |
| 15202016 | Sanetsch-Formation | Formation du Sanetsch |
| 15202280 | Sardona-Melange | Mélange du Sardona |
| 15202283 | Sardona-Quarzit | Quartzite du Sardona |
| 15204112 | Sass-Queder-Metarhyolith | Métarhyolite du Sass Queder |
| 15205091 | Sassa-Metagabbro | |
| 15203169 | Sassauna-Formation | Formation de la Sassauna |
| 15202343 | Sassina-Augengneis | Gneiss oeilé du Sassina |
| 15202238 | Sasso-Rosso-Gneiskomplex | Complexe gneissique du Sasso Rosso |
| 15204125 | Sasso-Rosso-Granodiorit | Granodiorite du Sasso Rosso |
| 15200050 | Saulcy-Member | Membre de Saulcy |
| 15202247 | Saure vulkanische und subvulkanische Gesteine | roches volcaniques et subvolcaniques acides |
| 15206048 | Saurer Gang | filon acide |
| 15203305 | Savognin-Formation | |
| 15205030 | Scaglia Bianca Lombarda | Scaglia Bianca Lombarda |
| 15205029 | Scaglia Rossa Lombarda | Scaglia Rossa Lombarda |
| 15205031 | Scaglia Variegata Lombarda | Scaglia Variegata Lombarda |
| 15202511 | Schabell-Mélange | |
| 15200676 | Schafisheim-Syenit | |
| 15200497 | Schallenberg-Member | Marne du Schallenberg |
| 15200089 | Schambelen-Member | Membre du Schambelen |

| GeolCode | Deutsch | Français |
|----------|---|--|
| 15202035 | Scharti-Member | Membre de Scharti |
| 15202539 | Schattwald-Mergelkalk | Calcaire marneux du Schattwald |
| 15202315 | Scheidegg-Flysch | Flysch de la Scheidegg |
| 15200323 | Scheidegg-Nagelfluh | Poudingue de la Rigi-Scheidegg |
| 15200045 | Schellenbrücke-Bank | Banc du Schellenbrücke |
| 15200051 | Schelmenloch-Member | Membre du Schelmenloch |
| 15203394 | Scherbadung-Gabbro | Gabbro du Scherbadung |
| 15200421 | Scherli-Quarzitnagelfluh | Poudingue quartzitique du Scherli(grabe) |
| 15204028 | Schesaplana-Member | Membre du Schesaplana |
| 15203434 | Schiefer der Ruginenta-Decke | Schistes de la nappe de Ruginenta |
| 15200244 | Schiefer und Grauwacken | Schistes et grauwackes de la Forêt Noire |
| 15206111 | Schiefer, undifferenziert | schiste, indifférencié |
| 15202450 | Schiefriger Mines-Lias | Lias des Mines schisteux |
| 15202100 | Schilt-Formation | Formation du Schilt |
| 15202025 | Schimberg-Member | Membre du Schimberg |
| 15200130 | Schinznach-Formation | Formation de Schinznach |
| 15203012 | Schistes à Miches | Membre des Schistes à Miches |
| 15200357 | Schistes marno-micacés | Schistes marno-micacés |
| 15203397 | Schistes noirs (Pierre Avoi) | Schistes noirs (Pierre Avoi) |
| 15200465 | Schlächtenhaus-Granit | Granite de Schlächtenhaus |
| 15200682 | Schlächtenhaus-Schiefer | |
| 15200088 | Schleitheim-Bank | Banc de Schleithelm |
| 15203117 | Schlieren-Flysch | Flysch des Schlieren |
| 15203576 | Schlieren-Flysch: Hauptmasse (Paläogen) | Flysch des Schlieren: masse principale (Paléogène) |
| 15203118 | Schlieren-Sandstein | Grès des Schlieren |
| 15203573 | Schlieren-Sandstein, im Paläogen tektonisch überprägt | Grès des Schlieren, tectonisé au Paléogène |
| 15203153 | Schloss-Formation | Formation de Schloss |
| 15200224 | Schluchsee-Granit | Granite du Schluchsee |
| 15202379 | Schöllenen-Diorit | |
| 15200237 | Schönau-Herrenschwand-Granit | Granite de Schönau-Herrenschwand |
| 15202145 | Schönbüel-Formation | Formation de Schönbüel |
| 15202146 | Schönbüel-Quarzit | Quartzite de Schönbüel |
| 15203119 | Schoni-Sandstein | Grès de la Schoni |
| 15202073 | Schrattenkalk-Formation | Formation du Schrattenkalk |
| 15202590 | Schrattenkalk-Formation, vermergelt | Formation du Schrattenkalk, devenant marneuse |
| 15200261 | Schüpferegg-Nagelfluh | Poudingue de la Schüpferegg |
| 15202544 | Schwalmern-Kalk | Calcaire de la Schwalmern |
| 15202543 | Schwalmern-Schiefer | Schistes de la Schwalmern |
| 15200533 | Schwändibach-Nagelfluh | Poudingue de Schwändibach |
| 15200641 | Schwaningen-Merenbach-Rhyolith | Rhyolithe de Schwaningen-Merenbach |
| 15200642 | Schwaningen-Weizen-Granit | Granite de Schwaningen-Weizen |
| 15200658 | Schwarzbach-Schichten | Couches du Schwarzbach |
| 15202114 | Schwarzhorn-Member | Membre du Schwarzhorn |
| 15200441 | Scie-Besse-Sandstein | Grès de Scie Besse |
| 15203038 | Sciernes-d'Albeuve-Formation | Formation des Sciernes d'Albeuve |
| 15203363 | Scisti bruni (Lebendun) | Scisti bruni (Lebendun) |
| 15206054 | Sedimentäre Brekzie, undifferenziert | brèche sédimentaire, indifférenciée |
| 15206030 | Sedimentgestein, undifferenziert | roche sédimentaire, indifférenciée |
| 15200227 | Seeablagerungen | Seeablagerungen (Fm. de Weiach) |

| GeolCode | Deutsch | Français |
|----------|---|---|
| 15200206 | Seebi-Member | Membre de Seebi |
| 15200506 | Seerücken-Tuffit | Tuffite du Seerücken |
| 15202050 | Seewen-Formation | Formation de Seewen |
| 15202500 | Seez-Member | Membre de Seez |
| 15202104 | Seeztal-Member | Membre du Seeztal |
| 15200498 | Seli-Nagelfluh | Poudingue de Seli |
| 15205125 | Sella-Granodiorit | Granodiorite de la Sella |
| 15202057 | Sellamatt-Schichten | Couches de la Sellamatt |
| 15202053 | Selun-Member | Membre de Selun |
| 15200418 | Sense-Formation | Formation de la Singine |
| 15200363 | Septarienton | Argile à Septaria (Septarienton) |
| 15202312 | Serhalten-Flysch | Flysch der Serhalten |
| 15203369 | Série conglomeratique (Pierre Avoi) | Série conglomeratique (Pierre Avoi) |
| 15200552 | Serie der Süsswasserkalke und Dolomite | Série des calcaires d'eau douce et dolomie (GMGG) |
| 15203181 | Série du Tounô | Série du Tounô |
| 15203226 | Série Grise | Série Grise |
| 15203225 | Série Rousse | Série Rousse |
| 15203391 | Série schisteuse moyenne | Série schisteuse moyenne |
| 15203390 | Série schisto-gréseuse supérieure | Série schisto-gréseuse supérieure |
| 15203368 | Série schisto-quartzitique (Pierre Avoi) | Série schisto-quartzitique (Pierre Avoi) |
| 15203003 | Seron-Formation | Formation de Seron |
| 15203522 | Seron-Formation, Calcschistes zoogènes | |
| 15203523 | Seron-Formation, Conglomérat moyen | |
| 15206042 | Serpentinit, undifferenziert | serpentinite, indifférenciée |
| 15200663 | Serrières-Bank | |
| 15204060 | Sertig-Member | Membre du Sertig |
| 15205063 | Servino | Servino |
| 15204107 | Sesvenna-Augengneis | Gneiss oeillé de la Sesvenna |
| 15203360 | Sevinera-Marmor | Marbre de Sevinèra |
| 15203361 | Sevinera-Sandstein | Grès de Sevinèra |
| 15203266 | Sex-du-Tronc-Kalk | Calcaire du Sex du Tronc |
| 15202447 | Sex-Mort-Flysch | Flysch de la nappe du Sex Mort |
| 15202125 | Sexmor-Formation | Formation du Sexmor |
| 15202404 | Sexmor-Formation, Oberer Teil | Formation du Sexmor, partie supérieure |
| 15202405 | Sexmor-Formation, Unterer Teil | Formation du Sexmor, partie inférieure |
| 15200679 | Siblingen-Granit | |
| 15202088 | Sichel-Kalk | Calcaire de la Sichel |
| 15202042 | Siderolithikum (des Helvetikums) | Sidérolithique (de l'Helvétique) |
| 15200091 | Siderolithikum des Juragebirges | Sidérolithique du Jura |
| 15203337 | Siderolithisches Dogger der Klippen-Decke | |
| 15203558 | Simano-D.: Amphibolit | Simano-D.: Amphibolit |
| 15203554 | Simano-D.: Dolomitmarmor | Simano-D.: Dolomitmarmor |
| 15203553 | Simano-D.: Kalkmarmor | Simano-D.: Kalkmarmor |
| 15203555 | Simano-D.: Paragneis | Simano-D.: Paragneis |
| 15203559 | Simano-D.: Ultramafitit | Simano-D.: Ultramafitit |
| 15203292 | Simmen-Flysch, undifferenziert | Flysch de la Simme, indifférencié |
| 15200070 | Sissach-Member | Membre de Sissach |
| 15203516 | Sivigia-Gneis | Gneiss de Sivigia |
| 15202330 | Sogn-Placi-Gneiskomplex | Complexe gneissique de Sogn Placi |
| 15203584 | Soladier- und Verdy-Member, undifferenziert | |

| GeolCode | Deutsch | Français |
|----------|---|--|
| 15203045 | Soladier-Member | Membre de Soladier |
| 15203495 | Solis-Kalk | Calcaire de Solis |
| 15200426 | Solothurner Schildkrötenkalk | Calcaire à tortues de Soleure |
| 15203046 | Sommant-Formation | Formation de Sommant |
| 15200327 | Sommersberg-Nagelfluh | Poudingue du Sommersberg |
| 15202497 | Sonnenberg-Horizonte | Horizons du Sonnenberg |
| 15202002 | Sörenberg-Melange | Mélange de Sörenberg |
| 15202244 | Sorescia-Gneis | Gneiss de Sorescia |
| 15206009 | Sorico-Tonalit | |
| 15200041 | Sornetan-Member | Membre de Sornetan |
| 15203375 | Sosto-Schiefer | Schistes du Sosto |
| 15203184 | Sous-le-Rocher-Member | Membre de Sous le Rocher |
| 15200220 | Spät- bis postvariszische Intrusiva der Nordschweiz | Roches plutoniques tardi- à postvarisques de la Forêt Noire |
| 15202336 | Spät- bis postvariszische Intrusiva des Mont-Blanc-Massivs | Roches plutoniques tardi- à post-varisques du massif du Mont Blanc |
| 15202164 | Spät- bis postvariszische Sedimente und Vulkanite des Aar-Massivs | Roches sédimentaires et volcaniques tardi- à post-varisques du massif de l'Aar |
| 15202464 | Spät- bis postvariszische Sedimente und Vulkanite des Helvetikums | Roches sédimentaires et volcaniques tardi- à post-varisques de l'Helvétique |
| 15200057 | Spatkalk | Spatkalk (Hauptrogenstein) |
| 15203139 | Spatkalk (Tissota-Melange) | Calcaires spathiques |
| 15200319 | Speer-Formation | Formation du Speer |
| 15203303 | Spegnas-Formation | |
| 15202394 | Spirstock-Member | Membre du Spirstock |
| 15203076 | Spis-Kalk | Calcaire de la Spis |
| 15202086 | Spitzern-Member | Membre de la Spitzeren |
| 15202128 | Spitzmeilen-Formation | Formation du Spitzmeilen |
| 15202388 | Spitzmeilen-Formation, Basaler Teil | |
| 15202386 | Spitzmeilen-Formation, Oberer Teil | |
| 15202387 | Spitzmeilen-Formation, Unterer Teil | |
| 15204095 | Sprenkel-Schiefer | |
| 15200054 | St-Brais-Member | Membre de St-Braix |
| 15203157 | St-Christophe-Schichten | Formation de St-Christophe |
| 15200309 | St-Gallen-Formation | Formation de St-Gall |
| 15203096 | St-Triphon-Formation | Formation de St-Triphon |
| 15200005 | St-Ursanne-Formation | Formation de St-Ursanne |
| 15200238 | St.-Blasien-Granit | Granite de St-Blasien |
| 15205082 | Stabbiello-Gneis | |
| 15202013 | Stad-Formation | Formation de Stad |
| 15202597 | Stad-Formation (e6) | Formation de Stad (e6) |
| 15202588 | Stad-Formation, «Jüngerer Quarzsandstein» | Formation de Stad, «Jüngerer Quarzsandstein» |
| 15200310 | Staffelbach-Grobsandstein | Grès grossier de Staffelbach |
| 15200011 | Staffelegg-Formation | Formation de la Staffelegg |
| 15200675 | Staffelegg-Formation und Opalinus-Ton, undifferenziert | |
| 15203041 | Staldengraben-Formation | Formation du Staldengraben |
| 15200132 | Stamberg-Member | Membre du Stamberg |
| 15203074 | Stanserhorn-Formation | Formation du Stanserhorn |
| 15203172 | Stätzerhorn-Gruppe | Flysch du Tomül |
| 15200466 | Steinatal-Gneiskomplex | Complexe gneissique du Steinatal |
| 15202037 | Steinbach-Member | Membre du Steinbach |

| GeolCode | Deutsch | Français |
|----------|--|--|
| 15203072 | Steinberg-Konglomerat | Conglomérat du Steinberg |
| 15200193 | Steinibach-Member | Membre du Steinibach |
| 15203223 | Steinsberg-Kalk | Calcaire du Steinsberg |
| 15203454 | Stellhorn-Mylonit | Mylonite du Stellhorn |
| 15202598 | Stgir- und Inferno-Formation, undifferenziert | Formations du Stgir et d'Inferno, indifférenciées |
| 15202133 | Stgir-Formation | Formation du Stgir |
| 15202371 | Stgir-Formation, Oberer Teil | |
| 15202370 | Stgir-Formation, Unterer Teil | |
| 15200222 | Stockberg-Quarzporphyr | Quarzporphyre du Stockberg |
| 15203273 | Stockenflue-Kalk | Calcaire de la Stockenflue |
| 15202306 | Stöckli-Sandstein | Grès de Stöckli |
| 15202199 | Straligenstöckli-Gneiskomplex | Complexe gneissique du Straligenstöckli |
| 15206033 | Stratigraphische Einheit, undifferenziert | unité stratigraphique indifférenciée |
| 15202240 | Streifengneis-Komplex | Complexe du Streifengneiss |
| 15202186 | Strem-Granit | Granite du (Val) Strem |
| 15200639 | Studweid-Formation | Formation du Studweid |
| 15204044 | Stugl-Member | Membre de Stugl |
| 15202319 | Subalpiner Flysch | Flysch Subalpin |
| 15200123 | Subfurcatum-Bank | Banc à Subfurcatum |
| 15203257 | Submédiane-Melange | Mélange Submédian |
| 15203370 | Südegg-Komplex | Compexe de Südegg |
| 15202295 | Südelbach-Member | Membre du Südelbach |
| 15202004 | Südhelvetische Flyscheinheiten | Unités de flysch sud-helvétiques |
| 15202162 | Südwestlicher Aare-Granit | Granite sud-occidental de l'Aar |
| 15200520 | Sulzbach-Member | Membre de Sulzbach |
| 15200521 | Sulzbach-Nagelfluh | Poudingue de Sulzbach |
| 15203219 | Sulzfluh-Flysch | Flysch de la nappe de la Suzfluh |
| 15203221 | Sulzfluh-Granit | Granite de la nappe de la Suzfluh |
| 15203220 | Sulzfluh-Kalk | Calcaire de la Sulzfluh |
| 15203335 | Sulzgrabe-Formation | |
| 15202309 | Surbrunnen-Flysch | Flysch de Surbrunnen |
| 15202533 | Suren-Flysch | Flysch du Suren |
| 15206113 | Süswasserkalk, undifferenziert | |
| 15206088 | Syenit, undifferenziert | syénite, indifférenciée |
| 15200584 | Tabalcon-Kalk | |
| 15202443 | Taffon-Member | Membre du Taffon |
| 15206060 | Talkschiefer, undifferenziert | talcschiste, indifférencié |
| 15203352 | Tamier-Zött-Wildflysch | Wildflysch de Tamier-Zött |
| 15202570 | Tamina-Gneiskomplex | Complexe gneissique de la Tamina |
| 15202572 | Tamina-Gneiskomplex: mylonitisch | Complexe gneissique de la Tamina: mylonitique |
| 15202571 | Tamina-Gneiskomplex: schiefriger Biotitgneis | Complexe gneissique de la Tamina: gneiss schisteux à biotite |
| 15200256 | Tannenberg-Schichten | Couches de Tannenberg |
| 15200495 | Tannenwald-Schichten | Couches du Tannenwald |
| 15203506 | Tasna-Alt kristallin | Socle cristallin de la nappe de la Tasna |
| 15203222 | Tasna-Flysch | Flysch de la nappe de la Tasna |
| 15203333 | Taspegn-Gneis | |
| 15202011 | Taveyannaz-Formation | Formation de Taveyannaz |
| 15202512 | Taveyannaz-Sandstein, Dachschiefer vorherrschend | |
| 15203354 | Teggiolo-Kalkschiefer | Calcschistes du Teggiolo |

| GeolCode | Deutsch | Français |
|----------|---|--|
| 15206017 | Tektonische Brekzie, undifferenziert | |
| 15206114 | Tektonisches Melange | mélange tectonique |
| 15202594 | Tektonisches Melange der Internen Einsiedeln-Schuppen | Mélange tectonique des écaïlles internes d'Einsiedeln |
| 15202453 | Tektonisierte Basis des Glarner-Verrucano | base tectonisée du Verrucano de Glaris («Plagioklasgneis») |
| 15206089 | Tektonit, undifferenziert | tectonite, indifférenciée |
| 15202526 | Telltistock-Granit | |
| 15202233 | Tenelin-Gneiskomplex | Complexe gneissique du Piz Tenelin |
| 15200568 | Tenniken-Muschelagglomerat | Poudingue coquillier de Tenniken |
| 15202366 | Termen-Kalkschiefer | |
| 15202365 | Termen-Tonschiefer | |
| 15205020 | Ternate-Formation | Formation de Ternate |
| 15203349 | Terri-Schiefer | Schistes du (Piz) Terri |
| 15203373 | Terri-Schiefer_Basale | Schistes basaux du (Piz) Terri |
| 15205071 | Tertiär des Südalpins | |
| 15205089 | Tête-de-Valpelline-Phyllit | |
| 15200320 | Thun-Formation | Formation de Thoun |
| 15203195 | Thyon-Metagranophyr | Métagranophyre de Thyon |
| 15204055 | Tiaun-Brekzie | Brèche du Tiaun |
| 15202026 | Tierberg-Member | Membre du Tierberg |
| 15202129 | Tierces-Formation | Formation des Tierces |
| 15200033 | Tiergarten-Member | Membre du Tiergarten |
| 15202075 | Tierwis-Formation | Formation de Tierwis |
| 15200551 | Tillerée-Schichten | Couches de Tillerée |
| 15203340 | Timun-Komplex | |
| 15203130 | Tissota-Melange | Mélange de la Tissota |
| 15202516 | Toarcienschiefer | |
| 15202517 | Toarcienspatkalk | |
| 15202185 | Tödi-Granit | Granite du Tödi |
| 15200247 | Todtmoos-Horbach-Gneiskomplex | Complexe gneissique de Todtmoos-Horbach |
| 15203180 | Tomül-Mélange | Mélange du Tomül |
| 15204144 | Tonale-Schiefer | Schistes du Tonale |
| 15206087 | Tonalit, undifferenziert | tonalite, indifférenciée |
| 15203582 | Toniger Kalkschiefer der Grava-Decke | Schiste calcaréo-argileux de la nappe de la Grava |
| 15206106 | Tonschiefer, undifferenziert | schiste argileux, indifférencié |
| 15203312 | Törbel-Gneis | |
| 15205026 | Torre-Konglomerat | Conglomérat de Torre |
| 15203417 | Torrembey-Brekzie | Brèche de Torrembey |
| 15203040 | Torrent-de-Lessoc-Formation | Formation du Torrent de Lessoc |
| 15202124 | Torrentalp-Member | Membre de la Torrentalp |
| 15202320 | Torrenthorn-Formation | Formation du Torrenthorn |
| 15200270 | Tösswald-Schichten | Couches du Tösswald |
| 15203493 | Totalp-Serpentinit | Serpentinite de la Totalp |
| 15200080 | Trasadingen-Bank | Banc de Trasadingen |
| 15202235 | Tremola-Gneiskomplex | Complexe gneissique de la Tremola |
| 15205047 | Tremona-Formation | Formation de Tremona |
| 15203293 | Trepsen-Flysch | Flysch de Trepsen |
| 15203109 | Trias der Brekzien-Decke | Trias de la nappe de la Brèche |
| 15203583 | Trias der Grava-Decke, undifferenziert | Trias de la nappe de la Grava, indifférencié |

| GeolCode | Deutsch | Français |
|----------|--|---|
| 15203276 | Trias der Klippen-Decke | Trias de la nappe des Préalpes Médiannes |
| 15203014 | Trias der Niesen-Decke | Trias de la nappe du Niesen |
| 15202134 | Trias des Helvetikums | Trias de l'Helvétique |
| 15200163 | Trias des Juragebirges | Trias du Jura |
| 15204086 | Trias des Ostalpins | Trias de l'Austroalpin |
| 15205076 | Trias des Südalpins | |
| 15206029 | Trias, undifferenziert | Trias, indifférencié |
| 15203150 | Triesen-Formation | Flysch de Triesen |
| 15202167 | Trift-Formation | Formation du Trift |
| 15203213 | Tristel-Formation | Formation de Tristel |
| 15204064 | Trochitendolomit-Member | Trochitendolomit-Member |
| 15200629 | Trois-Rods-Süsswasserkalk | |
| 15200635 | Tröleten-Süsswasserkalk | Calcaire d'eau douce de Tröleten |
| 15203259 | Trom-Brekzie | Brèche de Trom |
| 15202098 | Tros-Kalk | Calcaire de Tros |
| 15203261 | Troublon-Kalk | Calcaire du Troublon |
| 15203258 | Truche-Brekzie | Brèche de la Truche |
| 15204019 | Trupchun-Member | Membre du (Val) Trupchun |
| 15203508 | Truzzo-Granit | Granite de Truzzo |
| 15202018 | Tsanfleuron-Member | Membre de Tsanfleuron |
| 15202175 | Tscharren-Formation | Formation de la Tscharren |
| 15203203 | Tschera-Marmor | Marbre de la Tschera |
| 15204101 | Tschima-da-Flix-Granit | |
| 15200636 | Tschöplihof-Süsswasserkalk | Calcaire d'eau douce du Tschöplihof |
| 15204083 | Tschuggen-Augengneis | Gneiss oeilé de Tschuggen |
| 15202507 | Tuffitisches Member (Tscharren) | Tuffitisches Member (Tscharren) |
| 15200378 | Tüllingen-Süsswasserkalk | Calcaire d'eau douce de Tüllingen |
| 15203206 | Tumpriv-Gruppe | Groupe de la Tumpriv |
| 15204076 | Tuors-Member | Membre du (Val) Tuors |
| 15204057 | Turettas-Member | Membre du (Piz) Turettas |
| 15200569 | Turritellen-Kalk | Calcaire à Turritelles |
| 15200001 | Twannbach-Formation | Formation du Twannbach |
| 15202061 | Twäriberg-Bank | Banc du Twäriberg |
| 15202152 | Üblital-Formation | Formation de l'Üblital |
| 15200534 | Uerscheli-Formation | Formation d'Uerscheli |
| 15200278 | Uetliberg-Mergel | Poudingue de l'Uetliberg |
| 15200276 | Uetliberg-Schichten | Couches de l'Uetliberg |
| 15200277 | Uetliberggipfel-Nagelfluh | Poudingue de l'Uetliberggipfel |
| 15202229 | Uffiern-Diorit | Diorite du Val Uffiern |
| 15204138 | Uglix-Plattenkalk | Calcaire d'Uglix |
| 15200406 | Ulmiz-Quarzitnagelfluh | Poudingue quarzitique d'Ulmiz |
| 15202279 | Ultrahelvetische Flyscheinheiten | Unités de flysch ultrahelvétiques |
| 15206057 | Ultramafische Gesteine | roche ultramafique |
| 15203469 | Ultramafit der Métailler-Formation | Roches ultramafiques de la Formation du Métailler |
| 15205116 | Ultramafit der Arolla-Gruppe | Roche ultramafique du Groupe d'Arolla |
| 15200353 | UMM-I | UMM-I |
| 15200351 | UMM-II | UMM-II |
| 15200349 | UMM-III | UMM-III |
| 15200362 | UMM-J | UMM-J |
| 15202245 | Undifferenzierte Kristallingesteine | roches cristallines indifférenciées |
| 15202469 | Undifferenziertes Kristallin des Helvetikums | Socle cristallin indifférencié de l'Helvétique |

| GeolCode | Deutsch | Français |
|----------|--|--|
| 15200453 | Unité Inférieure Oolithique (UIO) | Unité Inférieure Oolithique (UIO) |
| 15200452 | Unité Moyenne Calcaire (UMC) | Unité Moyenne Calcaire (UMC) |
| 15202485 | Unter-der-Flue-Fazies | faciès d'Unter-der-Flue |
| 15200048 | Unter-Erli-Bank | Banc d'Unter Erli |
| 15200555 | Unter-Lochsiti-Nagelfluh | Poudingue d'Unter Lochsiti |
| 15200473 | Untere-Felsenkalke-Formation | Untere-Felsenkalke-Formation |
| 15200201 | Untere Acuminata-Schichten | Couches à Acuminata inférieures |
| 15203106 | Untere Brekzie | Brèche Inférieure |
| 15200560 | Untere Bunte Molasse des Jurasüdfusses | Molasse bariolée inférieure |
| 15202284 | Untere Flyschabfolge (Sardona) | Untere Flyschabfolge (Sardona) |
| 15202396 | Untere Götzis-Bank | Banc de Götzis inférieur |
| 15203248 | Untere Kalk- und Tonschiefer der Zone Piz Terri - Lunschania | Untere Kalk- und Tonschiefer (Grava/Tomül) |
| 15203108 | Untere Kalke | Calcaires Inférieurs |
| 15200348 | Untere Meeresmolasse (UMM) | Molasse marine inférieure (UMM) |
| 15200062 | Untere Oolithische Serie (Oolithe Subcompacte) | Série oolitique inférieure (Oolithe Subcompacte) |
| 15203281 | Untere Rauwacke der Klippen-Decke | Cornieule Inférieure |
| 15202536 | Untere Sandsteine (Spirstock) | Untere Sandsteine (Spirstock) |
| 15203107 | Untere Schiefer | Schistes Inférieurs |
| 15200138 | Untere Sulfatzone | Untere Sulfatzone (Fm. de Zeglingen) |
| 15200314 | Untere Süsswassermolasse (USM) | Molasse d'eau douce inférieure (USM) |
| 15203122 | Untere Tonsteinschichten | Untere Tonsteinschichten (Flysch des Schlieren) |
| 15205100 | Unterer Meride-Kalk | Partie inférieure du Calcaire de Meride |
| 15202303 | Unterer Quintner Kalk | «Unterer Quinten-Kalk» |
| 15200219 | Unterer Schuttfächer | Unterer Schuttfächer (Fm. de Weitenau) |
| 15200076 | Unterer Stein | Unterer Stein (Fm. de la Staffelegg) |
| 15200382 | Unterer Teil des Haupttrogensteins | Partie inférieure du Haupttrogenstein |
| 15200018 | Unterer Virgula-Mergel | Marnes à Virgula inférieures |
| 15204073 | Unteres Member der Fuorn-Formation | Membre inférieur de la Fm. du Fuorn |
| 15202341 | Unterwassern-Gneis | Gneiss d'Unterwassern |
| 15204100 | Ur-Brekzie | |
| 15200289 | Urdorf-Bentonit | Bentonite d'Urdorf |
| 15200335 | USM-I | USM-I |
| 15200329 | USM-II | USM-II |
| 15200326 | USM-III | USM-III |
| 15200589 | USM-III bis OSM-I | |
| 15200341 | USM-J | USM-J |
| 15200183 | Uttins-Mergel | Marne des Uttins |
| 15200405 | Utzigen-Muschelsandstein | Grès coquillier d'Utzigen |
| 15200021 | Vabenau-Member | Membre de Vabenau |
| 15203539 | Vacarisc-Gneis | Gneiss de Vacarisc |
| 15203151 | Vaduz-Flysch | Flysch de Vaduz |
| 15202212 | Val-Bérard-Gneiskomplex | Complexe gneissique du Val Bérard |
| 15203513 | Val-Chironico-Gneis | Gneiss du Val Chironico |
| 15202289 | Val-d'Illiez-Sandstein | Grès du Val-d'Illiez |
| 15202488 | Val-da-Surplattas-Diorit | Diorite du Val da Surplattas |
| 15202192 | Val-Gliems-Formation | Formation du Val Gliems |
| 15205013 | Val-Grande-Sandstein | Grès du Val Grande |
| 15202349 | Val-Gronda-Augengneis | Gneiss oeillé du Val Gronda |
| 15202225 | Val-Lavaz-Gruppe | Groupe du Val Lavaz |

| GeolCode | Deutsch | Français |
|----------|---|--|
| 15206011 | Val-Masino-Granodiorit | |
| 15204074 | Val-Müstair-Gruppe | Groupe du Val Müstair |
| 15202346 | Val-Nalps-Gneiskomplex | Complexe gneissique du Val Nalps |
| 15202265 | Val-Pigniu-Gneiskomplex | Complexe gneissique du Val Pigniu |
| 15204077 | Val-Püra-Member | Membre du Val Püra |
| 15202231 | Val-Rondadura-Gruppe | Groupe du Val Rondadura |
| 15204122 | Val-Rude-Orthogneis | Orthogneiss du Val Rude |
| 15203484 | Val-Sabbia-Formation | Formation du Val Sabbia |
| 15205059 | Val-Serrata-Tuffite | Tuffite du Val Serrata |
| 15202276 | Val-Stgira-Riffmarmor | Marbre du Val Stgira |
| 15202272 | Val-Tremola-Granit | Granite du Val Tremola |
| 15204040 | Valbella-Member | Membre de la Valbella |
| 15203459 | Valgrande-Paragneis | Paragneiss de Vagrande |
| 15204054 | Vallatscha-Formation | Formation du (Piz) Vallatscha |
| 15204056 | Vallatscha-Member | Membre du (Piz) Vallatscha |
| 15200093 | Vallorbe-Member | Formation de Vallorbe |
| 15202204 | Vallorcine-Granit | Granite de Vallorcine |
| 15202156 | Vallorcine-Konglomerat | Conglomérat de Vallorcine |
| 15205007 | Valpelline-Serie | Série de Valpelline |
| 15203170 | Valzeina-Formation | Formation de Valzeina |
| 15203043 | Vanil-Carré-Member | Membre du Vanil Carré |
| 15203359 | Vanis-Formation | Formation des Vanis |
| 15204094 | Varaina-Schiefer | |
| 15205027 | Varesotto-Flysch | Flysch du Varesotto |
| 15200484 | Variansmergel-Formation | Variansmergel-Formation |
| 15203474 | Variszische Intrusiva der Maggia-Decke | Roches intrusives varisques de la nappe de la Maggia |
| 15205128 | Variszische Intrusiva der Margna-Sella | roches intrusives de la nappe de la Margna-Sella |
| 15203460 | Variszische Intrusiva des Briançonnais | Roches intrusives varisques du Briançonnais |
| 15204132 | Variszische Intrusiva des Ostalpins | roches intrusives varisques de l'Austroalpin |
| 15205079 | Variszische Intrusiva des Südalpins | roches intrusives varisques du Sudalpin |
| 15200617 | Variszisches Grundgebirge der Nordschweiz | |
| 15202467 | Variszisches Kristallin des Helvetikums | Variszisches Kristallin des Helvetikums |
| 15202400 | Vättis-Fossilbrekzie | Brèche fossilifère de Vättis |
| 15200443 | Vauglène-Bänke | Couches de Vauglène |
| 15204108 | Vaüglia-Granodiorit | Granodiorite de Vaüglia |
| 15200554 | Vaulruz-Formation (UMM-II+III undiff.) | Formation de Vaulruz (UMM-II+III indiff.) |
| 15200004 | Vellerat-Formation | Formation de Vellerat |
| 15203044 | Verdy-Member | Membre du Verdy |
| 15200189 | Verena-Member | Membre de Ste-Vérène |
| 15203314 | Vergeletto-Gneis | |
| 15200305 | Vermes-Süsswasserkalk | Calcaire d'eau douce de Vermes |
| 15202154 | Vernayaz-Formation | Formation de Vernayaz |
| 15200439 | Vernettes-Sandstein | Grès des Vernettes |
| 15202143 | Verrucano-Gruppe | Groupe du Verrucano |
| 15205064 | Verrucano Lombardo | Verrucano Lombardo |
| 15203161 | Versoyen-Schichten | Couches du Versoyen |
| 15203231 | Verspala-Formation | Formation de la Verspala |
| 15206058 | Verwitterter Fels, undifferenziert | roche altérée, indifférenciée |
| 15203295 | Verzasca-Gneis | |

| GeolCode | Deutsch | Français |
|----------|--|---|
| 15202430 | Veveyse-de-Châtel-Member | Membre de la Veveyse de Châtel |
| 15202140 | Vieux-Emosson-Formation | Formation du Vieux Emosson |
| 15203501 | Vignun-Gneis | Gneiss de Vignone |
| 15205019 | Villa-Olmo-Konglomerat | Conglomérat de Villa Olmo |
| 15202429 | Villarbeney-Formation | Formation de Villarbeney |
| 15200451 | Villers-Schichten | Couches de Villers |
| 15200105 | Villigen-Formation | Formation de Villigen |
| 15200100 | Vions-Formation | Formation de Vions |
| 15202209 | Viséen | Viséen des Aiguilles Rouges |
| 15202090 | Vitznau-Mergel | Marne de Vitznau |
| 15203202 | Vizan-Brekzie | Brèche du Vizan |
| 15200179 | Vogesen-Sandstein | Grès des Vosges |
| 15203296 | Vogorno-Gneis | |
| 15203285 | Voirons-Flysch | Flysch des Voirons |
| 15203288 | Voirons-Sandstein | Grès des Voirons |
| 15202182 | Voralp-Granit | Granite de la Voralp |
| 15202569 | Voralp-Granit: saure Randfazies | Granite de la Voralp: faciès acide de bordure |
| 15203143 | Vorarlberg-Flysch | Flysch du Vorarlberg |
| 15200032 | Vorbourg-Member | Membre du Vorbourg |
| 15203287 | Vouan-Konglomerat | Conglomérat du Vouan |
| 15200013 | Vouglans-Member | Membre de Vouglans |
| 15200437 | Vraconne-Sandstein | Grès de la Vraconne |
| 15200153 | Vuache-Formation | Formation du Vuache |
| 15202434 | Vuavres-Member | Membre des Vuavres |
| 15203056 | Vudalla-Formation | Formation de la Vudalla |
| 15206078 | Vulkanische Gesteine, undifferenziert | roche volcanique, indifférenciée |
| 15202023 | Wagenmoos-Bänke | Couches du Wagenmoos |
| 15203283 | Wägital-Flysch | Flysch du Wägital |
| 15203566 | Wägital-Flysch: basaler, tektonisierter Teil | Flysch du Wägital: partie basale, tectonisée |
| 15203564 | Wägital-Flysch: oberer Teil (Paläogen) | Flysch du Wägital: partie supérieure (Paléogène) |
| 15203565 | Wägital-Flysch: unterer Teil (Kreide) | Flysch du Wägital: partie inférieure (Crétacé) |
| 15200067 | Waldenburg-Member | Membre de Waldenburg |
| 15202375 | Waltensburg-Verrucano | |
| 15200388 | Wanderblock-Bildungen | Dépôts de blocs pérégrins (Wanderblock-Bildungen) |
| 15203087 | Wandfluh-Mikrofazies | Microfaciès de la Wandfluh |
| 15202299 | Wang-Brekzie | Brèche de Wang |
| 15202048 | Wang-Formation | Formation de Wang |
| 15200659 | Wangen- und Letzi-Member, undifferenziert | Membres de Wangen et du Letzi, indifférenciés |
| 15202014 | Wängen-Kalk | Calcaire de Wängen |
| 15202591 | Wängen-Kalk, Lithothamnienkalk-Fazies | Calcaire de Wängen, faciès calcaire à Lithothamnies |
| 15200110 | Wangen-Member | Membre de Wangen |
| 15200500 | Wangen-Tuffit | Tuffite de Wangen |
| 15200106 | Wangental-Member | Membre du Wangental |
| 15202056 | Wannenalp-Bank | Banc de la Wannenalp |
| 15200491 | Wedelsandstein-Formation | Wedelsandstein-Formation |
| 15200543 | Weggis-Formation | Formation de Weggis |
| 15200252 | Wehratal-Syenit | Syénite du Wehratal |

| GeolCode | Deutsch | Français |
|----------|--|---|
| 15200287 | Wehrenbach-Höckler-Süsswasserkalk | Calcaire d'eau douce du Wehrenbach-Höckler |
| 15200159 | Weiach-Formation | Formation de Weiach |
| 15200656 | Weilergraben-Formation | Formation du Weilergraben |
| 15203132 | Weissenburg-Flysch | Flysch de la Weissenburg |
| 15200085 | Weissenstein-Member | Membre du Weissenstein |
| 15202321 | Weissgandstöckli-Bank | Banc du Weissgandstöckli |
| 15203452 | Weissmies-Paragneis | Paragneiss du Weissmies |
| 15200158 | Weitenau-Formation | Formation de Weitenau |
| 15200142 | Wellendolomit | Wellendolomit |
| 15200141 | Wellenkalk / Wellenmergel | Wellenkalk / Wellenmergel |
| 15202165 | Wendenjoch-Formation | Formation du Wendenjoch |
| 15200103 | Wettigen-Member | Membre de Wettigen |
| 15200251 | Wiesen-Wehratal-Komplex | Complexe du Wiesental-Wehratal |
| 15200157 | Wiesental-Formation | Formation du Wiesental |
| 15200114 | Wildeggen-Formation | Formation de Wildeggen |
| 15203028 | Wildenbach-Member | Membre du Wildenbach |
| 15203280 | Wildgrimmi-Member | Membre du Wildgrimmi |
| 15202003 | Wildhaus-Melange | Mélange de Wildhaus |
| 15202024 | Wildstrubel-Formation | Formation du Wildstrubel |
| 15202166 | Windgällen-Formation | Formation des Windgällen |
| 15202505 | Windgällen-Formation, Mikrogranit | Microgranite de la Windgällenlücke |
| 15202327 | Windgällen-Formation, Rhyolith | Rhyolithe de la Chli Windgällen |
| 15202105 | Windgällen-Member | Membre des Windgällen |
| 15202224 | Winterhorn-Granit | Granite du Winterhorn |
| 15200539 | Wintersberg-Member | Membre du Wintersberg |
| 15200284 | Winterthur-Bentonit | Bentonite de Winterthur |
| 15203095 | Wiriehorn-Formation | Formation du Wiriehorn |
| 15203204 | Wissberg-Brekzie | Brèche du Wissberg |
| 15200633 | Wissenbach-Süsswasserkalk | Calcaire d'eau douce du Wissenbach |
| 15200197 | Wittnau-Korallenkalk | Calcaire à coraux de Wittnau |
| 15200477 | Wohlgeschichtete-Kalke-Formation | Wohlgeschichtete-Kalke-Formation |
| 15200631 | Wolhusen-Bentonit | Bentonite de Wolhusen |
| 15200122 | Wuerttembergica-Schichten | Couches à Wuerttembergica |
| 15200508 | Wulp-Rotzone | Rotzone Wulp |
| 15200483 | Wutach-Formation | Wutach-Formation |
| 15200347 | Wynau-Süsswasserkalk | Calcaire d'eau douce de Wynau |
| 15202196 | Zäsenberg-Gneis | Gneiss du Zäsenberg |
| 15200135 | Zeglingen-Formation | Formation de Zeglingen |
| 15202603 | Zementstein- bis Garschella-Formation, undifferenziert | Formation du Zementstein à Formation de Garschella, indifférenciées |
| 15200470 | Zementmergel-Formation | Zementmergel-Formation |
| 15202093 | Zementstein-Formation | Formation du Zementstein |
| 15202160 | Zentraler Aare-Granit | Granite central de l'Aar |
| 15203253 | Zervreila-Granitgneis | Orthogneiss de Zervreila |
| 15202586 | Zettnalp-Trochematt-Melange | Mélange de la Zettnalp-Trochematt |
| 15204025 | Zirmenkopf-Kalk | Calcaire du Zirmenkopf |
| 15206014 | Zocca-Aplit | |
| 15205135 | Zona Dioritico-Kinzigitica | Zona Dioritico-Kinzigitica |
| 15200557 | Zone der Schiefermergel (der St.-Gallen-Fm.) | Zone der Schiefermergel (Fm. de Saint-Gall) |
| 15203075 | Zoophycos-Schichten | Couches à Zoophycos (Fm. du Stanserhorn) |
| 15205046 | Zu-Kalk | Calcaire de Zu |

| GeolCode | Deutsch | Français |
|----------|-----------------------------------|------------------------------------|
| 15200186 | Zuckerkörniger Kalk | Calcaire saccharoïde |
| 15203262 | Zünegg-Knollenkalk | Calcaire noduleux de la Zünegg |
| 15200281 | Zürich-Schichten | Couches de Zürich |
| 15200678 | Zurzach-Granit | |
| 15206094 | Zweiglimmergneis, undifferenziert | gneiss à deux micas, indifférencié |
| 15203528 | Zwischenmythen-Mergel | Marne de Zwischenmythen |
| 999997 | Unknown | inconnu |
| 999998 | Not applicable | not applicable |

11 Anhang GC_LITSTRAT_UNCO_CD

Wertetabelle der lithostratigraphischen Einheiten

| GeolCode | Deutsch | Français |
|----------|--------------------------------------|---|
| 15201044 | 1. letzteiszeitliches Vorstoss | 1ère avancée glaciaire de la Dernière Période glaciaire |
| 15201043 | 2. letzteiszeitliches Vorstoss | 2ème avancée glaciaire de la Dernière Période glaciaire |
| 15201210 | Aabach-Schotter | Gravier de l'Aabach |
| 15201055 | Aarau-Schotter | Gravier d'Aarau |
| 15201167 | Aarburg-Schotter | Gravier d'Aarburg |
| 15201136 | Aare-Schotter | Gravier de l'Aar |
| 15201271 | Aatal-Seebodenlehm | |
| 15201075 | Aathal-Schotter | Gravier de l'Aathal |
| 15201540 | Alluvion von Ransun | Alluvion de Ransun |
| 15201012 | Altberg-Till | Till de l'Altberg |
| 15201183 | Alte Doubsschotter | Gravier ancien du Doubs |
| 15201135 | Altenburg-Fulach-Terrasse | terrasse d'Altenburg-Fulach |
| 15201001 | Ältere Ablagerungen, undifferenziert | Dépôts indifférenciés précédant le Dernier Maximum Glaciaire |
| 15201071 | Ältere Beckenfüllungen | Anciens remplissages de bassin |
| 15201189 | Alterswil-Schotter | Gravier d'Alterswil |
| 15201028 | Ämmert-Schotter | Gravier d'Ämmert |
| 15201029 | Ämmert-Till | Till d'Ämmert |
| 15201512 | Ämmet-Schotter | |
| 15201160 | Attiswil-Schotter | Gravier d'Attiswil |
| 15201326 | Bachschutt der Gamsa | dépôts torrentiels de la Gamsa |
| 15201331 | Bachschutt der Gürbe | dépôts torrentiels de la Gürbe |
| 15201328 | Bachschutt der Lonza | dépôts torrentiels de la Lonza |
| 15201329 | Bachschutt der Saltina | dépôts torrentiels de la Saltina |
| 15201330 | Bachschutt der Vispa | dépôts torrentiels de la Viège |
| 15201323 | Bachschutt des Baltschiederbachs | dépôts torrentiels du Baltschiederbach |
| 15201324 | Bachschutt des Bietschbachs | dépôts torrentiels du Bietschbach |
| 15201325 | Bachschutt des Chelchbachs | dépôts torrentiels du Chelchbach |
| 15201327 | Bachschutt des Jolibachs | dépôts torrentiels du Jolibach |
| 15201332 | Bachschutt des Lombachs | dépôts torrentiels du Lombach |
| 15201550 | Balm-Schotter | Gravier de Balm |
| 15201248 | Bänkel-Schotter | Gravier de Bänkel |
| 15201548 | Bannhalden-Schotter | Gravier de Bannhalden |
| 15201256 | Bannholz-Schotter | Gravier du Bannholz |
| 15201097 | Bärengraben-Schotter und -Till | Gravier et Till du Bärengraben |

| GeolCode | Deutsch | Français |
|----------|---|--|
| 15201336 | Bärenholz-Till | Till du Bärenholz |
| 15201194 | Bennau-Schotter | Gravier de Bennau |
| 15201017 | Berg-Schotter | Gravier de Berg |
| 15201532 | Bergsturzablagerung von Bargis | dépôt d'éboulement de Bargis |
| 15201533 | Bergsturzablagerung von Fidaz | dépôt d'éboulement de Fidaz |
| 15201531 | Bergsturzablagerung von Ralligen (im Thunersee) | Dépôt d'écroulement de Ralligen (dans le lac de Thoune) |
| 15201299 | Bergsturzablagerungen vom Chapf | dépôt d'écroulement de Chapf |
| 15201302 | Bergsturzablagerungen vom Delenwald | dépôt d'écroulement du Delenwald |
| 15201301 | Bergsturzablagerungen vom Drusetschawald | dépôt d'écroulement du Drusetschawald |
| 15201306 | Bergsturzablagerungen vom Kernwald | dépôt d'écroulement du Kernwald |
| 15201460 | Bergsturzablagerungen vom Stützwald | dépôt d'écroulement du Stützwald |
| 15201296 | Bergsturzablagerungen von Brienz | dépôt d'écroulement de Brienz |
| 15201298 | Bergsturzablagerungen von Brüsis | dépôt d'écroulement de Brüsis |
| 15201291 | Bergsturzablagerungen von Castasegna | dépôt d'écroulement de Castasegna |
| 15201288 | Bergsturzablagerungen von Chessel-Noville | dépôt d'écroulement de Chessel-Noville |
| 15201287 | Bergsturzablagerungen von Chiètres | dépôt d'écroulement de Chiètres |
| 15201300 | Bergsturzablagerungen von Derborence | |
| 15201303 | Bergsturzablagerungen von Elm | dépôt d'écroulement d'Elm |
| 15201297 | Bergsturzablagerungen von Flims | dépôt d'écroulement de Flims |
| 15201304 | Bergsturzablagerungen von Goldau | dépôt d'écroulement de Goldau |
| 15201290 | Bergsturzablagerungen von Gwelber-Lau-Weid | dépôt d'écroulement de Gwelber-Lau-Weid |
| 15201305 | Bergsturzablagerungen von Iragell | dépôt d'écroulement d'Iragell |
| 15201295 | Bergsturzablagerungen von Mutta | dépôt d'écroulement de Mutta |
| 15201289 | Bergsturzablagerungen von Novalles-Vugelles | dépôt d'écroulement de Novalles-Vugelles |
| 15201293 | Bergsturzablagerungen von Prapan | dépôt d'écroulement de Prapan |
| 15201294 | Bergsturzablagerungen von Schaingels | dépôt d'écroulement de Schaingels |
| 15201286 | Bergsturzablagerungen von Sierre | dépôt d'écroulement de Sierre |
| 15201292 | Bergsturzablagerungen von Sogno | dépôt d'écroulement de Sogno |
| 15201310 | Bergsturzablagerungen von Tamins | dépôt d'écroulement de Tamins |
| 15201307 | Bergsturzablagerungen von Triesenberg | dépôt d'écroulement de Triesenberg |
| 15201053 | Beringen-Eiszeit | Période glaciaire de Beringen (Avant-dernière Période glaciaire) |
| 15201164 | Berken-Sand | Sable de Berken |
| 15201163 | Berken-Schotter | Gravier de Berken |
| 15201156 | Bersturzmasse von Selzach | Dépôt d'écroulement de Selzach |
| 15201523 | Beuggen-Schotter | |
| 15201153 | Bick-Till | Till du Bick(acher) |
| 15201263 | Bire-Bergsturzablagerungen | |
| 15201462 | Birkenhof-Formation | |
| 15201009 | Birmenstorf-Vergletscherung (2. LGM-Vorstoss) | Glaciation de Birmenstorf |
| 15201013 | Birmenstorf-Vorstoss | Avancée glaciaire de Birmenstorf |
| 15201014 | Birr-Schotter | Gravier de Birr |
| 15201052 | Birrfeld- und Klettgau-Paläoböden | Paléosols du Birrfeld et du Klettgau |
| 15201006 | Birrfeld-Eiszeit (Letzte Eiszeit) | Période glaciaire du Birrfeld (Dernière Période glaciaire) |

| GeolCode | Deutsch | Français |
|----------|---------------------------------|-----------------------------------|
| 15201255 | Bohlingen-Schotter | Gravier de Bohlingen |
| 15201308 | Bonaduz-Formation | Formation de Bonaduz |
| 15201309 | Bonfol-Ton | Argile de Bonfol |
| 15201465 | Böschmatt-Schotter | |
| 15201466 | Bramegg-Schotter | |
| 15201221 | Brandflue-Schotter | Gravier de la Brandflue |
| 15201150 | Breite-Terrasse | terrasse de la Breite |
| 15201520 | Bruderhäusle-Schotter | |
| 15201339 | Brüggstutz-Schotter | Gravier du Brüggstutz |
| 15201120 | Buechen-Formation | Formation de Buechen |
| 15201470 | Büel-Schotter | |
| 15201469 | Büelm-Schotter | |
| 15201085 | Buerfeld-Schotter | Gravier du Buerfeld |
| 15201471 | Bünten-Schotter | |
| 15201094 | Bünten-Till | Till de Bünten |
| 15201558 | Burgacher-Schotter | Gravier de Burgacher |
| 15201243 | Butteberg-Schotter | Gravier du Butteberg |
| 15201458 | Ceppo | Ceppo |
| 15201233 | Chälen-Schotter | Gravier de Chälen |
| 15201234 | Chälen-Till | Till de Chälen |
| 15201559 | Chatzenstig-Schotter | Gravier du Chatzenstig |
| 15201223 | Chatzenstrick-Schotter | Gravier du Chatzenstrick |
| 15201258 | Chilchstapfen-Schotter | Gravier de la Chilchstapfen |
| 15201191 | Chiset al-Schotter | Gravier du Chiset al |
| 15201242 | Chräjeloch-Schotter | Gravier du Chräjeloch |
| 15201214 | Dagmersellen-Vorstoss | Avancée glaciaire de Dagmersellen |
| 15201250 | Deckenschotter, undifferenziert | Deckenschotter, indifférencié |
| 15201116 | Degermoos-Schotter | Gravier de Degermoos |
| 15201115 | Dürn-Formation | Formation du Dürn |
| 15201472 | Durnagel-Schotter | |
| 15201473 | Dürrenroth-Schotter | |
| 15201117 | Ebnet-Schotter | Gravier de l'Ebnet |
| 15201123 | Egg-Schotter | Gravier de l'Egg |
| 15201119 | Egghalden-Schotter | Gravier de l'Egghalden |
| 15201547 | Eggholz-Formation | Formation de l'Eggholz |
| 15201474 | Egghüsli-Schotter | |
| 15201197 | Einsiedeln-Lehm | Limon d'Einsiedeln |
| 15201546 | Ellikerholz-Formation | Formation de l'Ellikerholz |
| 15201284 | Embrach-Seeablagerungen | |
| 15201144 | Emme-Schotter | Gravier de l'Emme |
| 15201475 | Emmental-Schotter | |
| 15201030 | Emmet-Vorstoss | Avancée glaciaire d'Emmet |
| 15201180 | Endingen-Schotter | Gravier d'Endingen |
| 15201159 | Enge-Schotter | Gravier de l'Enge |
| 15201065 | Engiwald-Vorstoss | Avancée glaciaire de l'Engiwald |
| 15201054 | Entfelden-Schotter | Gravier d'Entfelden |
| 15201476 | Ergolztal-Schotter | |
| 15201510 | Ermensee-Schotter | |
| 15201272 | Eschenbach-Formation | |
| 15201265 | Fankhusgrabe-Schotter | |
| 15201524 | Feldhof-Schotter | |
| 15201121 | Feusi-Schotter | Gravier du Feusi |
| 15201096 | Fisibach-Schotter | Gravier de Fisibach |
| 15201262 | Fisistock-Bergsturzablagerungen | |

| GeolCode | Deutsch | Français |
|----------|--|--|
| 15201174 | Fislisbach-Schotter | Gravier de Fislisbach |
| 15201154 | Flüe-Till | Till de Flüe |
| 15201011 | Flüefeld-Schotter | Gravier du Flüefeld |
| 15201146 | Flumenthal-Lehm | Limon du Flumenthal |
| 15201051 | Flurlingen-Quelltuff | Tuf calcaire de Flurlingen |
| 15201106 | Forenirchel-Schotter | Gravier du Forenirchel |
| 15201105 | Fornech-Schotter | Gravier de la Fornech |
| 15201018 | Fornholz-Till | Till de Fornholz |
| 15201217 | Forst-Schotter | Gravier du Forst |
| 15201477 | Gammenthal-Schotter | |
| 15201145 | Gäu-Schotter | Gravier du Gäu |
| 15201079 | Geisslingen-Schotter | Gravier de Geisslingen |
| 15201251 | Girenbad-Schotter | Gravier du Girenbad |
| 15201047 | Glazi-lakustrische Serie | Série glaciolacustre (Gravier du Klettgau) |
| 15201343 | Glütschtal-Formation | Formation du Glütschtal |
| 15201478 | Gondiswil-Formation | |
| 15201050 | Gondiswil-Interglazial (Letztes Integlazial) | Interglaciaire de Gondiswil (Dernier Interglaciaire) |
| 15201203 | Gontenschwil-Lehm | Limon de Gontenschwil |
| 15201020 | Gontenschwil-Till | Till de Gontenschwil |
| 15201019 | Gontenschwil-Vorstoss | Avancée glaciaire de Gontenschwil |
| 15201038 | Gossau-Interstadial | Interstade de Gossau |
| 15201169 | Grandson-Formation | Formation de Grandson |
| 15201083 | Gränichen-Schotter | Gravier de Gränichen |
| 15201192 | Grauholz-Schotter | Gravier du Grauholz |
| 15201267 | Grundtal-Schotter | |
| 15201232 | Gubel-Schotter | Gravier de Gubel |
| 15201275 | Gublen-Schotter | |
| 15201031 | Gündelmoos-Lehm | Limon de Gündelmoos |
| 15201341 | Guntelsei-Schotter | Gravier de la Guntelsei |
| 15201340 | Guntelsei-Till | Till de la Guntelsei |
| 15201274 | Günterstall-Schotter | |
| 15201240 | Gutsch-Schotter | Gravier du Gutsch |
| 15201082 | Habsburg-Eiszeit | Période glaciaire de Habsburg |
| 15201080 | Habsburg-Hagenholz-Interglazial | Interglaciaire Habsburg-Hagenholz |
| 15201088 | Habsburg-Schotter | Gravier de Habsburg |
| 15201086 | Habsburg-Vergletscherung | Glaciation de Habsburg |
| 15201087 | Habsburg-Vorstoss | Avancée glaciaire de Habsburg |
| 15201072 | Hagenholz-Eiszeit | Période glaciaire du Hagenholz |
| 15201073 | Hagenholz-Vergletscherung | Glaciation du Hagenholz |
| 15201074 | Hagenholz-Vorstoss | Avancée glaciaire du Hagenholz |
| 15201506 | Hagnau-Niveau | |
| 15201344 | Hahni-Schotter | Gravier de Hahni |
| 15201530 | Hahni-Till | Till de Hahni |
| 15201278 | Halden-Seeablagerungen | |
| 15201208 | Haselbach-Schotter | Gravier du Haselbach |
| 15201479 | Hasewald-Schotter | |
| 15201264 | Hasle-Schotter | |
| 15201270 | Haslentobel-Schotter | |
| 15201564 | Hasli-Formation | Formation de Hasli |
| 15201177 | Hausen-Lehm | Limon de Hausen |
| 15201178 | Hausen-Moräne | Till de Hausen |
| 15201245 | Heitere-Schotter | Gravier de Heitere |

| GeolCode | Deutsch | Français |
|----------|---|--|
| 15201515 | Heubeerihübel-Schotter | |
| 15201480 | Hirzmatt-Schotter | |
| 15201244 | Höchi-Schotter | Gravier du Höchi |
| 15201003 | Hochterrasse | Hochterrasse |
| 15201464 | Höhenschotter | |
| 15201005 | Höhere Deckenschotter | Höhere Deckenschotter |
| 15201246 | Holziken-Schotter | Gravier de Holziken |
| 15201513 | Homburg-Till | |
| 15201041 | Hombrechtikon-Vergletscherung (Frühletzzeitliche Vergl.) | Glaciation de Hombrechtikon |
| 15201257 | Hungerbol-Schotter | Gravier d'Hungerbol |
| 15201195 | Hütten-Schotter | Gravier de Hütten |
| 15201098 | Iberig-Schotterkomplex | Gravier de l'Iberig |
| 15201032 | Igliste-Schotter | Gravier d'Igliste |
| 15201311 | Informell benannte Bergsturzablagerungen | dépôts d'écroulement nommés informellement |
| 15201319 | Informell benannte fluviatile Schotter | graviers fluviatiles nommés informellement |
| 15201312 | Informell benannte künstliche Ablagerungen | dépôts artificiels nommés informellement |
| 15201317 | Informell benannte Sackungsmassen | masses tassées nommées informellement |
| 15201322 | Informell benannter Bachschutt | dépôts torrentiels nommés informellement |
| 15201111 | Irchel-Dolomitschotter | Gravier dolomitique de l'Irchel |
| 15201108 | Irchel-Schotterkomplex | Gravier de l'Irchel |
| 15201077 | Ittingen-Schotter | Gravier d'Ittingen |
| 15201209 | Jonen-Schotter | Gravier de Jonen |
| 15201241 | Junkerenwald-Schotter | Gravier du Junkerenwald |
| 15201182 | Juraschotter | Juraschotter |
| 15201467 | Kaltenegg-Schotter | |
| 15201166 | Käppelihof-Schotter | Gravier du Käppelihof |
| 15201190 | Karlsruhe-Schotter | Gravier de Karlsruhe |
| 15201142 | Kiessande von Madretsch | Sable à gravier de Madretsch |
| 15201147 | Killwangen-Schaffhausen-Mellingen- Stadium | stade de Killwangen-Schaffhouse-Mellingen |
| 15201037 | Kirchleerau-Till | Till de Kirchleerau |
| 15201036 | Kirchleerau-Vorstoss | Avancée glaciaire de Kirchleerau |
| 15201219 | Kleinhöchstetten-Kies-Sand-Komplex | Complexe sablo-graveleux de Kleinhöchstetten |
| 15201045 | Klettgau-Schotter | Gravier du Klettgau |
| 15201236 | Kollbrunn-Schotter | Gravier de Kollbrunn |
| 15201220 | Krauchthal-Schotter | Gravier du Krauchthal |
| 15201539 | Kunkels-Formation | Formation de Kunkels |
| 15201315 | Künstliche Ablagerungen der Gamsenried-Deponie | dépôts artificiels de la décharge de la Lonza |
| 15201313 | Künstliche Ablagerungen des Bahnhofs Brig | dépôts artificiels de la gare de Brigue |
| 15201316 | Künstliche Ablagerungen des Riedertals | dépôts artificiels du Riedertal |
| 15201314 | Künstliche Ablagerungen Golar | dépôts artificiels Golar |
| 15201222 | Küsnacht-Schotter | Gravier de Küsnacht |
| 15201158 | La-Côte-Schotter | Alluvions de la Côte |
| 15201202 | La-Tuffière-Schotter | Gravier de la Tuffière |
| 15201114 | Langacher-Schotter | Gravier du Langacher |

| GeolCode | Deutsch | Français |
|----------|---|--|
| 15201059 | Langwiesen-Vergletscherung | Glaciation de Langwiesen |
| 15201060 | Langwiesen-Vorstoss | Avancée glaciaire de Langwiesen |
| 15201007 | Last Glacial Maximum (LGM), undiff. | Dernier Maximum Glaciaire (LGM), indifférencié |
| 15201008 | LGM-Rückzug | Phase de retrait du LGM |
| 15201514 | Lindenberg-Till | |
| 15201122 | Lindhau-Schotter | Gravier du Lindenhau |
| 15201024 | Lindmühle-Vergletscherung (1. LGM-Vorstoss) | Glaciation de Lindmühle |
| 15201027 | Lindmühle-Vorstoss | Avancée glaciaire du Lindmühle |
| 15201064 | Löhningen-Engiwald-Vergletscherung | Glaciation de Löhningen-Engiwald |
| 15201067 | Löhningen-Vorstoss | Avancée glaciaire de Löhningen |
| 15201161 | Lommiswil-Schotter | Gravier de Lommiswil |
| 15201444 | Löss, undifferenziert | Loess, indifférencié |
| 15201063 | Lupfig-Schotter | Gravier de Lupfig |
| 15201186 | Malmkalk-Schotter der Randen-Täler | Malmkalk-Schotter (vallée du Randen) |
| 15201151 | Maximalstand (Kilwangen-Schaffhausen-Stadium) | stade maximal (Kilwangen-Schaffhouse) |
| 15201070 | Meikirch-Interglazial | Interglaciaire de Meikirch |
| 15201141 | Mély-Formation | Formation de Mély |
| 15201201 | Menzingen-Schotter | Gravier de Menzingen |
| 15201185 | Merenbach-Schotter | Gravier du Merenbach |
| 15201481 | Mettlen-Schotter | |
| 15201125 | Mischschotter | Mischschotter (Sundgau) |
| 15201101 | Mittlere Iberigschotter | Gravier moyen de l'Iberig |
| 15201112 | Mittlere Irchelschotter | Gravier moyen de l'Irchel |
| 15201048 | Mittlere Klettgauschotter | Gravier moyen du Klettgau |
| 15201091 | Möhlín-Eiszeit (Grösste Eiszeit) | Période glaciaire de Möhlín |
| 15201092 | Möhlín-Vergletscherung | Glaciation de Möhlín |
| 15201093 | Möhlín-Vorstoss | Avancée glaciaire de Möhlín |
| 15201081 | Möhlínfeld-Paläoboden | Paléosol du Möhlínfeld |
| 15201482 | Möhlínfeld-Schotter | |
| 15201511 | Mooretal-Schotter | |
| 15201204 | Mooslerau-Lehm | Limon du Mooslerau |
| 15201039 | Mülligen-Paläoboden | Paléosol de Mülligen |
| 15201042 | Mülligen-Schotter | Gravier de Mülligen |
| 15201521 | Mumpf-Schotter | |
| 15201148 | Munot-Terrasse | terrasse du Munot |
| 15201188 | Münsingen-Schotterkomplex | Complexe graveleux de Münsingen |
| 15201268 | Murg-Schieferkohle | |
| 15201483 | Muttenfeld-Schotter | |
| 15201033 | Niderholz-Till | Till du Niderholz |
| 15201527 | Niderstalden-Schotter | Gravier de Niderstalden |
| 15201484 | Nidfurn-Schotter | |
| 15201002 | Niederterrasse | Niederterrasse |
| 15201536 | Niederterrassenschotter, oberste Terrasse | Niederterrasse, premier niveau graveleux le plus élevé |
| 15201534 | Niederterrassenschotter, tiefere Niveaus | Niederterrasse, niveaux graveleux inférieurs |
| 15201535 | Niederterrassenschotter, zweitoberste Terrasse | Niederterrasse, deuxième niveau graveleux le plus élevé |
| 15201040 | Niederweningen-Formation | Formation de Niederweningen |
| 15201542 | Niklaushalden-Formation | Formation de Niklaushalden |
| 15201134 | Nohl-Terrasse | terrasse de Nohl |

| GeolCode | Deutsch | Français |
|----------|----------------------------------|--------------------------------|
| 15201459 | Novazzano-Sand | Sable de Novazzano |
| 15201099 | Obere Iberigschotter | Gravier supérieur de l'Iberig |
| 15201109 | Obere Irchelschotter | Gravier supérieur de l'Irchel |
| 15201046 | Obere Klettgauschotter | Gravier supérieur du Klettgau |
| 15201132 | Obere Singen-Terrasse | terrasse supérieure de Singen |
| 15201100 | Oberer Till | Oberer Till (Iberig) |
| 15201015 | Oberhard-Till | Till d'Oberhard |
| 15201485 | Oberhöhe-Grundmoräne | |
| 15201273 | Oberkirch-Seebodenlehm | |
| 15201486 | Obermoos-Schotter | |
| 15201269 | Oberricken-Schotter | |
| 15201162 | Oensingen-Moos-Lehm | Limon d'Oensingen-Moos |
| 15201261 | Oeschinensee-Bergsturzlagerungen | |
| 15201259 | Ofenloch-Karstfüllung | |
| 15201487 | Öflingen-Schotter | |
| 15201215 | Oftringen-Schotter | Gravier d'Oftringen |
| 15201138 | Orvin-Schotter | Gravier d'Orvin |
| 15201025 | Otelfingen-Vorstoss | Avancée glaciaire d'Otelfingen |
| 15201561 | Paradiesgärtli-Schotter | Gravier du Paradiesgärtli |
| 15201076 | Pfyn-Vorstoss | Avancée glaciaire de Pfyn |
| 15201566 | Plaffeien-Seetone | |
| 15201567 | Plasselb-Stauschotter | |
| 15201157 | Plateauschotter | Plateauschotter |
| 15201333 | Pliozäne Ablagerungen | dépôts pliocènes |
| 15201170 | Poissine-Formation | Formation de la Poissine |
| 15201212 | Port-Stauschotter | Gravier de Port |
| 15201249 | Quartär, undifferenziert | Quaternaire, indifférencié |
| 15201224 | Rabennest-Schotter | Gravier du Rabennest |
| 15201218 | Raintal-Deltaschotter | Gravier du Raintal |
| 15201225 | Ratengütsch-Schotter | Gravier du Ratengütsch |
| 15201277 | Regelstein-Till | |
| 15201230 | Reidbach-Schotter | Gravier du Reidbach |
| 15201069 | Remigen-Schotter | Gravier de Remingen |
| 15201068 | Remigen-Vorstoss | Avancée glaciaire de Remingen |
| 15201213 | Rempfen-Stauschotter | Gravier de Rempfen |
| 15201062 | Reuenthal-Vorstoss | Avancée glaciaire de Reuenthal |
| 15201505 | Reuss-Schotterkomplex | |
| 15201176 | Reusstal-Lehm | Limon du Reusstal |
| 15201175 | Reusstal-Sand | Sable du Reusstal |
| 15201507 | Reusstal-Seebodensediment | |
| 15201181 | Rhein- und Aareschotter | Gravier du Rhin et de l'Aar |
| 15201133 | Rheinau-Terrasse | terrasse de Rheinau |
| 15201545 | Rheinau-Till | Till de Rheinau |
| 15201228 | Richterswil-Seeton | Argile lacustre de Richterswil |
| 15201509 | Rickenbach-Schotter | |
| 15201522 | Riedmatt-Schotter | |
| 15201554 | Risibüel-Schotter | Gravier de Risibüel |
| 15201238 | Ritteren-Schotterkomplex | Complexe graveleux de Ritteren |
| 15201516 | Ritzhans-Schotter | |
| 15201084 | Roggehuse-Schotter | Gravier de Roggehuse |
| 15201266 | Rossgaden-Schotter | |
| 15201488 | Rottal-Schotter | |
| 15201179 | Ruckfeld-Schotter | Gravier du Ruckfeld |
| 15201489 | Rüdelwald-Schotter | |

| GeolCode | Deutsch | Français |
|----------|--|--|
| 15201541 | Rüdlingen-Till | Till de Rüdlingen |
| 15201247 | Ruedertal-Schotter | Gravier du Ruedertal |
| 15201066 | Rüfenach-Vorstoss | Avancée glaciaire de Rüfenach |
| 15201490 | Rufswil-Schotter | |
| 15201491 | Rütimatt-Schotter | |
| 15201078 | Ryhirt-Formation | Formation du Ryhirt |
| 15201519 | Säckingen-Schotter | |
| 15201318 | Sackungsmasse des Heinzenbergs | masse tassée du Heinzenberg |
| 15201252 | Sagenbach-Schotter | Gravier du Sagenbach |
| 15201556 | Saxegrabe-Schotter | Gravier du Saxegrabe |
| 15201279 | Schafbüel-Formation | |
| 15201061 | Schaffhausen-Schotter | Gravier de Schaffhouse |
| 15201226 | Scherenspitz-Schotter | Gravier du Scherenspitz |
| 15201095 | Schleitheim-Vorstoss | Avancée glaciaire de Schleitheim |
| 15201131 | Schlieren-Diessenhofen-Stetten-Stadien | stade de Schlieren-Diessenhofen-Stetten |
| 15201553 | Schlossbuck-Schotter | Gravier de Schlossbuck |
| 15201338 | Schlyffi-Till | Till de la Schlyffi |
| 15201555 | Schmerlet- und Toktri-Formation, undifferenziert | Formations de Schmerlet et Toktri, indifférenciées |
| 15201196 | Schnabelsberg-Stauchotter | Gravier de Schnabelsberg |
| 15201518 | Schöneegg-Formation | |
| 15201320 | Schotter und Sand der Rhône | graviers et sables du Rhône |
| 15201321 | Schotter und Sand der Vispa | graviers et sables de la Viège |
| 15201253 | Schrotzburg-Schotter | Gravier de la Schrotzburg |
| 15201254 | Schrotzburg-Till | Till de la Schrotzburg |
| 15201137 | Schüss-Schotter | Gravier de la Suze |
| 15201493 | Schwande-Seebodensedimente | |
| 15201229 | Schwanden-Schotter | Gravier de Schwanden |
| 15201492 | Schwanderholzwald-Schotter | |
| 15201165 | Schwarzhäusern-Lehm | Limon de Schwarzhäusern |
| 15201139 | Seeablagerungen von Frinvillier und Rondchâtel | Dépôts lacustres de Frinvillier et Rondchâtel |
| 15201143 | Seeland-Schotter | Gravier du Seeland |
| 15201016 | Seon-Vorstoss | Avancée glaciaire de Seon |
| 15201207 | Sihl-Schotter | Gravier de la Sihl |
| 15201235 | Sihlsprung-Schotter | Gravier du Sihlsprung |
| 15201187 | Solothurn-Stadium | stade de Soleure |
| 15201494 | Soppensee-Seebodensedimente | |
| 15201525 | Spärgacher-Schotter | |
| 15201495 | Speicherboden-Lokalmoräne | |
| 15201529 | Spiez-Schotter | Gravier de Spiez |
| 15201543 | Stadel-Till | Till de Stadel |
| 15201022 | Staffelbach-Schotter | Gravier de Staffelbach |
| 15201023 | Staffelbach-Till | Till de Staffelbach |
| 15201021 | Staffelbach-Vorstoss | Avancée glaciaire de Staffelbach |
| 15201211 | Starrberg-Schotter | Gravier de Starrberg |
| 15201140 | Stauschotter von Diessbach | Gravier de retenue de Diessbach |
| 15201342 | Steghalden-Schotter | Gravier de la Steghalden |
| 15201107 | Steig-Schotter | Gravier du Steig |
| 15201468 | Steinhuserberg-Schotter | |
| 15201565 | Stetten-Schotter | Gravier de Stetten |
| 15201334 | Stockesee-Sediment | Sédiments du Stockesee |
| 15201149 | Stokar-Terrasse | terrasse de Stokar |

| GeolCode | Deutsch | Français |
|----------|--|--|
| 15201335 | Strätligen-Till | Till de Strätligen |
| 15201058 | Stüsslingen-Schotter | Gravier de Stüsslingen |
| 15201552 | Südranden-Till | Gravier du Südranden |
| 15201056 | Suhr-Schotter | Gravier de Suhr |
| 15201124 | Sundgau-Schotter | Gravier du Sundgau |
| 15201171 | Surbtal-Lehm | Limon du Surbtal |
| 15201173 | Surbtal-Schotter | Gravier du Surbtal |
| 15201172 | Surbtal-Till | Till du Surbtal |
| 15201026 | Tägerhard-Schotter | Gravier de Tägerhard |
| 15201496 | terrasse lémanique de 10 m | |
| 15201497 | terrasse lémanique de 3 m | |
| 15201090 | Thalgut-Interglazial | Interglaciaire de Thalgut |
| 15201282 | Tiefenwinkel-Seebodensedimente | |
| 15201004 | Tiefere Deckenschotter | Tiefere Deckenschotter |
| 15201538 | Tiefere Deckenschotter, oberes Niveau | Tiefere Deckenschotter, niveau supérieur |
| 15201537 | Tiefere Deckenschotter, unteres Niveau | Tiefere Deckenschotter, niveau inférieur |
| 15201193 | Trachslau-Schotter | Gravier de Trachslau |
| 15201206 | Triengen-Lehm | Limon de Triengen |
| 15201205 | Triengen-Schotter | Gravier de Triengen |
| 15201562 | Tubeschwanz-Schotter | Gravier de Tubeschwanz |
| 15201168 | Tuileries-Formation | Formation des Tuileries |
| 15201276 | Unter-Buechwald-Schotter | |
| 15201517 | Unterdorf-Schotter | |
| 15201102 | Untere Iberigschotter | Gravier inférieur de l'Iberig |
| 15201113 | Untere Irchelschotter | Gravier inférieur de l'Irchel |
| 15201049 | Untere Klettgauschotter | Gravier inférieur du Klettgau |
| 15201130 | Untere Singen-Terrasse | terrasse inférieure de Singen |
| 15201498 | Untere Zeller Schotter | |
| 15201103 | Unterer Till | Unterer Till (Iberig) |
| 15201280 | Unteres-Huttenbüel-Schotter | |
| 15201499 | Untergräbehüsli-Schotter | |
| 15201089 | Unterschlatt-Vorstoss | Avancée glaciaire d'Unterschlatt |
| 15201500 | Untertreie-Schotter | |
| 15201283 | Uznach-Schieferkohle | |
| 15201057 | Veltheim-Schotter | Gravier de Veltheim |
| 15201544 | Volken-Lehm | Limon de Volken |
| 15201239 | Vorholz-Schotter | Gravier du Vorholz |
| 15201526 | Wagenmoos-Till | Till du Wagenmoos |
| 15201237 | Walenberg-Schotter | Gravier de Walenberg |
| 15201501 | Wallbach-Schotter | |
| 15201227 | Walsenhaus-Schotter | Gravier de Walsenhaus |
| 15201118 | Wannen-Schotter | Gravier du Wannen(buck) |
| 15201337 | Wässerifluh-Formation | Formation de la Wässerlifluh |
| 15201560 | Wasterkingen-Schotter | Gravier de Wasterkingen |
| 15201152 | Wehntal-Schotter | Gravier du Wehntal |
| 15201549 | Weiach-Schotter | Gravier de Weiach |
| 15201126 | Weisse Serie | Weisse Serie (Sundgau) |
| 15201563 | Weisweil-Schotter | Gravier de Weisweil |
| 15201502 | Werthenstein-Schotter | |
| 15201155 | Wettingen-Schotter | Gravier de Wettingen |
| 15201010 | Wettingen-Vorstoss | Avancée glaciaire de Wettingen |
| 15201200 | Wiggen-Schotter | Gravier de la Wigger |

| GeolCode | Deutsch | Français |
|----------|---------------------------------|---|
| 15201503 | Willburg-Formation | |
| 15201198 | Willisau-Schotter | Gravier de Willisau |
| 15201504 | Wilzigen-Seebodensedimente | |
| 15201281 | Winden-Schieferkohle | |
| 15201551 | Windlach-Till | Till de Windlach |
| 15201104 | Wolfacher-Schotter und -Till | Gravier et Till de Wolfacher |
| 15201199 | Wolhusen-Schotter | Gravier de Wolhusen |
| 15201260 | Wurmsbach-Deltaablagerungen | |
| 15201184 | Wutach-Schotter | Gravier de la Wutach |
| 15201508 | Wyna-Schotter | |
| 15201463 | Zeiningen-Till | |
| 15201216 | Zelg-Schotter | Gravier de Zelg |
| 15201231 | Zell-Schotterkomplex | Gravier de Zell |
| 15201035 | Zetzwil-Till | Till de Zetzwil |
| 15201034 | Zetzwil-Vorstoss | Avancée glaciaire de Zetzwil |
| 15201528 | Zulgtal-Schotter | Gravier du Zulgtal |
| 15201129 | Zürich-Stein-Bremgarten-Stadien | stade glaciaire de Zürich-Stein-Bremgarten |
| 15201557 | Zweidlen-Schotter | Gravier de Zweidlen |
| 999997 | Unknown | inconnu |
| 999998 | Not applicable | not applicable |

12 Anhang GC_LITHO_CD

Wertetabellen der lithologischen Beschreibung

| GeolCode | Deutsch | Français |
|----------|---|---------------------------------------|
| 15104015 | (Meso)Kataklasit | (més)cataclasite |
| 15104044 | Adergneis | gneiss veiné |
| 15104046 | agmatischer Gneis | gneiss agmatique |
| 15104087 | Albitit | albitite |
| 15103040 | Alkalirhyolith | rhyolite alcaline |
| 15103013 | Alkalisyenit | syénite alcaline |
| 15103046 | Alkalitrachyt | trachite alcaline |
| 15103006 | Alkalogranit | granite alcalin |
| 15101039 | Alluvion, undifferenziert | alluvions, indifférenciés |
| 15104060 | Amphibolit | amphibolite |
| 15104063 | Amphibolitgneis | gneiss amphibolitique |
| 15104074 | Anatexit, undifferenziert | anatexite, indifférenciée |
| 15103045 | Andesit | andésite |
| 15102071 | Anhydrit | anhydrite |
| 15102059 | Anthrazit | anthracite |
| 15101067 | anthropogene Elemente, undifferenziert | éléments anthropiques, indifférenciés |
| 15101062 | äolischer Sand, Flugsand | sable éolien |
| 15101061 | äolisches Sediment, undifferenziert | sédiments éoliens, indifférenciés |
| 15103030 | Aplit | aplite |
| 15102044 | Aptychenkalk | calcaire à aptychus |
| 15102038 | Arenit | calcarénite |
| 15102016 | Arkose | arkose |
| 15103058 | Aschentuff | cendres volcaniques |
| 15101071 | Auffüllung | comblement |

| GeolCode | Deutsch | Français |
|----------|--|---|
| 15101070 | Aufschüttung, Damm | remblai, digue |
| 15104042 | Augengneis | gneiss oëillé |
| 15101041 | Bachschtutt | dépôts torrentiels |
| 15104061 | Bänderamphibolit | amphibolite rubanée |
| 15104043 | Bändergneis | gneiss rubané |
| 15103048 | Basalt | basalte |
| 15103068 | basisches Ganggestein | roche filonienne basique |
| 15103069 | Basisches Gestein | roche basique |
| 15103066 | Bentonit | bentonite |
| 15101006 | Bergsturzablagerung | dépôt d'écroulement |
| 15102045 | biogener Kalkstein, undifferenziert | calcaire biogénique, indifférencié |
| 15102032 | biogenes / biochemisches / organisches Sedimentgestein, undifferenziert | roche sédim. biogène / biochimique / organique, indifférenciée |
| 15102106 | bioklastischer Kalk | calcaire bioclastique |
| 15104085 | Biotitit | biotitite |
| 15101015 | Blockgletscher | glacier rocheux |
| 15101010 | Blockschutt | amas de blocs éboulés |
| 15102082 | Bohnerz | pisolite ferrugineuse |
| 15102087 | Boluston | argile à bolus |
| 15102006 | Brekzie | brèche |
| 15102093 | Caliche | caliche |
| 15102068 | chemisches Sedimentgestein, undifferenziert | roche sédimentaire chimique, indifférenciée |
| 15104089 | Chloritit | chloritite |
| 15104034 | Chloritschiefer | chloritoschiste |
| 15103043 | Dazit | dacite |
| 15101072 | Deponie | décharge |
| 15101049 | detritische Verlandungsbildung | dépôts d'atterrissement détritiques |
| 15102046 | detritischer Kalk | calcaire détritique |
| 15104079 | Diatexit mit nebulitischer Textur | diatexite à structure nébulitique |
| 15104080 | Diatexit mit Schlierentextur | diatexite à structure artéritique (Schlieren) |
| 15104081 | Diatexit mit Schollentextur | diatexite à enclaves (Schollen) |
| 15103011 | Diorit | diorite |
| 15103035 | Dolerit | dolérite |
| 15102049 | Dolomit | dolomie |
| 15102109 | Dolomitbrekzie | brèche dolomitique |
| 15104216 | dolomitischer Marmor | marbre dolomitique |
| 15102012 | Dolomitsandstein | grès dolomitique |
| 15101075 | dünne Lockermaterialbedeckung | couverture meuble pelliculaire |
| 15102100 | Echinodermenkalk | calcaire échinodermique |
| 15102061 | Eisenoolith | oolite ferrugineuse |
| 15102103 | Eisensandstein | grès ferrugineux |
| 15102108 | eisenschüssiger Kalk | calcaire ferrugineux |
| 15104064 | Eklogit | éclogite |
| 15101086 | Entwässerungssediment | sédiment formé par échappement d'eau |
| 15103039 | Ergussgestein, undifferenziert | roche effusive, indifférenciée |
| 15103023 | Essexit | essexite |
| 15102070 | Evaporit, undifferenziert | évaporite, indifférenciée |
| 15103037 | Extrusivgestein, undifferenziert | roche extrusive, indifférenciée |
| 15104053 | Fels, undifferenziert | roche à texture granoblastique, indifférenciée |
| 15101007 | Felssturzablagerung | dépôt d'éboulement |

| GeolCode | Deutsch | Français |
|----------|--|--|
| 15101040 | fluviatiler Schotter | graviers fluviatiles |
| 15101026 | fluviatiles Sediment, undifferenziert | sédiments fluviatiles, indifférenciés |
| 15102017 | Flyschsandstein, Grauwacke | grès du flysch, grauwacke |
| 15103015 | Gabbro | gabbro |
| 15103026 | Ganggestein, undifferenziert | roche filonienne, indifférenciée |
| 15101035 | gemischter Schutt | dépôts mixtes |
| 15101076 | geringmächtige Lockergesteinsbedeckung | couverture de roches meubles peu épaisse |
| 15104210 | Geröll führender Metasandstein | métagrès à galets |
| 15102018 | Geröll führender Sandstein | grès à galets |
| 15104027 | Gestein der Regional- und Kontaktmetamorphose, undifferenziert | roche du métamorphisme régional et du contact, indifférenciée |
| 15104002 | Gestein der Störungszone | roche liée à une zone de déformation |
| 15104003 | Gestein der Störungszone, undifferenziert | roche liée à une zone de déformation, indifférenciée |
| 15104006 | Gesteinsmehl | roche pulvérisée |
| 15102072 | Gips | gypse |
| 15102101 | glaukonitischer Kalkstein | calcaire glauconieux |
| 15102104 | glaukonitischer Mergel | marne glauconieuse |
| 15102020 | Glaukonitsandstein | grès glauconieux |
| 15104036 | Glaukophanschiefer | schiste à glaucophane |
| 15101031 | glazifluviatiler Schotter | graviers fluvioglaciaires |
| 15101028 | glazifluviatiles Sediment, undifferenziert | sédiments fluvioglaciaires, indifférenciés |
| 15101019 | glazigenes Sediment, undifferenziert | sédiments glaciaires, indifférenciés |
| 15101047 | glazilakustrisches Deltasediment | dépôts deltaïques glaciolacustres |
| 15101046 | glazilakustrisches Sediment, undifferenziert | dépôts glaciolacustres, indifférenciés |
| 15102019 | Glimmersandstein | grès micacé |
| 15104035 | Glimmerschiefer | micaschiste |
| 15104072 | Gneis mit Feldspatblasten | gneiss à blastes de feldspath |
| 15104041 | Gneis, undifferenziert | gneiss, indifférencié |
| 15104097 | Granat-Glimmerschiefer | micaschiste à grenat |
| 15103007 | Granit | granite |
| 15103008 | Granodiorit | granodiorite |
| 15103024 | Granophyr | granophyre |
| 15104058 | Granulit | granulite |
| 15101003 | gravitative Sedimente und Verwitterungsbildungen, undifferenziert | dépôts gravitaires et d'altération, indifférenciés |
| 15104071 | Greisen | greisen |
| 15104098 | Grünschiefer | schiste vert |
| 15101079 | Gyttja | gyttja |
| 15101073 | Halde | terril |
| 15101014 | Hanglehm, Schwemmlehm | limons de pente, colluvions |
| 15101009 | Hangschutt | éboulis |
| 15104086 | Hornblendit | hornblendite |
| 15104067 | Hornfels | hornfels |
| 15102054 | Hornstein, Chert | chaille, chert |
| 15102088 | Huppererde | hupper |
| 15101081 | hydrochemische Bildungen (Kalksinter) | dépôts hydrochimiques |
| 15103054 | Ignimbrit | ignimbrite |
| 15101083 | In-situ-Verwitterungsschutt | dépôt d'altération in situ |
| 15103003 | Intrusivgestein, undifferenziert | roche intrusive, indifférenciée |
| 15104005 | Kakirit, undifferenziert | kakirite, indifférenciée |

| GeolCode | Deutsch | Français |
|----------|---|---|
| 15102041 | Kalkbrekzie | calcaire bréchique |
| 15102029 | Kalkmergelstein | marne calcaire |
| 15102042 | Kalkoolith | calcaire oolitique |
| 15102011 | Kalksandstein | grès calcaire |
| 15104037 | Kalkschiefer | calcschiste |
| 15104054 | Kalksilikatfels | roche à calcsilicates |
| 15102034 | Kalkstein, undifferenziert | calcaire, indifférencié |
| 15104056 | Karbonat- und Silikat führendes Gestein | roche à carbonates et silicates |
| 15102075 | Karbonat, undifferenziert | roche carbonatée, indifférenciée |
| 15103051 | Karbonatit | carbonatite |
| 15104010 | Kataklasit, undifferenziert | cataclasite, indifférenciée |
| 15102013 | kieseliger Sandstein | grès siliceux |
| 15102051 | kieseliges Gestein, undifferenziert | sédiment siliceux, indifférencié |
| 15102035 | Kieselkalk | calcaire siliceux |
| 15104051 | Kinzigit | kinzigite |
| 15102003 | klastisches Sedimentgestein, undifferenziert | roche sédimentaire clastique, indifférenciée |
| 15104007 | Kluftletten | argile de faille |
| 15102056 | Kohle, undifferenziert | charbon, indifférencié |
| 15102007 | Konglomerat | poudingue |
| 15102005 | Konglomerat und Brekzie, undifferenziert (Psephit, Korngrösse: Kies, Steine und Blöcke) | conglomérat et brèche, indifférencié (psephite: classe des graviers, cailloux et blocs) |
| 15102105 | kreidiger Kalk | calcaire crayeux |
| 15103057 | Kristalltuff | tuff à cristaux |
| 15102094 | Krustenkalk | calcrète |
| 15101069 | künstliche Ablagerung, undifferenziert | dépôts artificiels, indifférenciés |
| 15101057 | lakustrisches Deltasediment | dépôts deltaïques lacustres |
| 15101044 | lakustrisches Sediment, undifferenziert | sédiments lacustres, indifférenciés |
| 15103033 | Lamprophyr | lamprophyre |
| 15103056 | Lapillituff | lapilli |
| 15101008 | Lawinenschutt | dépôts d'avalanche |
| 15104047 | Leptinit | leptynite |
| 15102057 | Lignit (organisches Sedimentgestein) | lignite (roche sédimentaire organique) |
| 15101054 | Lignit (palustrisches Sediment) | lignite (sédiment palustre) |
| 15102102 | Lithothamniensandstein | grès à lithothamnies |
| 15101001 | Lockergestein | roche meuble |
| 15101063 | Löss, Lösslehm | loess, loess argileux |
| 15103001 | Magmatit | roche magmatique |
| 15104055 | Marmor (Fels) | marbre (texture granoblastique) |
| 15104215 | Marmor (sedimentärer Protolith) | marbre (protolithe sédimentaire) |
| 15102014 | mergeliger Sandstein | grès marneux |
| 15102107 | Mergelkalk | calcaire marneux |
| 15102027 | Mergelstein | marne |
| 15104433 | Metaalkalirhyolith | métarhyolite alcaline |
| 15104411 | Metaalkalisyenit | métasyénite alcaline |
| 15104439 | Metaalkalitrachyt | métatrachite alcaline |
| 15104404 | Metaalkalogranit | métagranite alcalin |
| 15104438 | Metaandesit | méta-andésite |
| 15104427 | Metaaplit | méta-aplite |
| 15104208 | Metaarkose | méta-arkose |
| 15104441 | Metabasalt | métabasalte |
| 15104203 | Metabrekzie | métabrèche |
| 15104436 | Metadazit | métadacite |

| GeolCode | Deutsch | Français |
|----------|---|---|
| 15104409 | Metadiorit | métadiorite |
| 15104432 | Metadolerit | métadolérite |
| 15104421 | Metaessexit | méta-essexite |
| 15104413 | Metagabbro | métagabbro |
| 15104423 | Metaganggestein | métaroché filonienne |
| 15104405 | Metagranit | métagranite |
| 15104406 | Metagranodiorit | métagranodiorite |
| 15104422 | Metagranophyr | métagranophyre |
| 15104209 | Metagrauwacke | métagrauwacke |
| 15104445 | Metaignimbrit | méta-ignimbrite |
| 15104218 | Metakarbonat | métaroché carbonatée |
| 15104204 | Metakonglomerat | métapoudingue |
| 15104430 | Metalamprophyr | métalamprophyre |
| 15104401 | Metamagmatit | métamagmatite |
| 15104214 | Metamergel | métamarne |
| 15104428 | Metamikrodiorit | métamicrodiorite |
| 15104429 | Metamikrogabbro | métamicrogabbro |
| 15104424 | Metamikrogranit | métamicrogranite |
| 15104415 | Metamonzodiorit | métamonzodiorite |
| 15104416 | Metamonzogabbro | métamonzogabbro |
| 15104417 | Metamonzonit | métamonzonite |
| 15104402 | metamorph überprägtes Intrusivgestein | métaroché intrusive |
| 15104444 | metamorph überprägtes pyroklastisches Gestein | métaroché pyroclastique |
| 15104001 | Metamorphit | roche métamorphique |
| 15104095 | Metamorphit (magmatischer Protolith erkennbar) | roche métamorphique (protolithe magmatique reconnaissable) |
| 15104092 | Metamorphit (Protolith erkennbar) | roche métamorphique (protolithe reconnaissable) |
| 15104093 | Metamorphit (sedimentärer Protolith erkennbar) | roche métamorphique (protolithe sédimentaire reconnaissable) |
| 15104414 | Metanorit | métanorite |
| 15104426 | Metapegmatit | métapegmatite |
| 15104211 | Metapelit | métapélite |
| 15104419 | Metaperidotit | métapéridotite |
| 15104443 | Metaphonolit | métaphonolite |
| 15104431 | Metapikrit | métapicrite |
| 15104403 | Metaplutonit | métaroché plutonique |
| 15104207 | Metapsammit | méta-arénite |
| 15104202 | Metapsephit | métaconglomérat |
| 15104418 | Metapyroxenit | métapyroxénite |
| 15104437 | Metaquarzandesit | méta-andésite quartzique |
| 15104407 | Metaquarzdiort | métadiorite quartzique |
| 15104412 | Metaquarzgabbro | métagabbro quartzique |
| 15104217 | Metaradiolarit | métaradiolarite |
| 15104435 | Metarhyodazit | métarhyodacite |
| 15104434 | Metarhyolith | métarhyolite |
| 15104205 | Metasandstein | métagrès |
| 15104201 | Metasediment | métasediment |
| 15104212 | Metasiltstein | métasiltite |
| 15104069 | Metasomatit, undifferenziert | métasomatite, indifférenciée |
| 15104410 | Metasyenit | métasyénite |
| 15104076 | Metatexit mit Fleckentextur | métatexite à structure tachetée |

| GeolCode | Deutsch | Français |
|----------|---|---|
| 15104078 | Metatexit mit Netztextur | métatexite à structure réticulée |
| 15104077 | Metatexit mit stromatitischer Textur | métatexite à structure stromatitique |
| 15104408 | Metatonalit | métatonalite |
| 15104440 | Metatrachyt | métatrachite |
| 15104446 | Metavulkanit | métavulcanite |
| 15104075 | Migmatit | migmatite |
| 15102037 | Mikrit | calcaire micritique |
| 15103031 | Mikrodiorit | microdiorite |
| 15103032 | Mikrogabbro | microgabbro |
| 15103027 | Mikrogranit | microgranite |
| 15104084 | monomineralischer Metamorphit, undifferenziert | roche métamorphique monominérale, indifférenciée |
| 15103017 | Monzodiorit | monzodiorite |
| 15103018 | Monzogabbro | monzogabbro |
| 15103019 | Monzonit | monzonite |
| 15101021 | Moräne (Till), undifferenziert | moraine (till), indifférenciée |
| 15101024 | Moräne auf Gletscher oder Toteis (Glacier or Dead Ice covered by Till) | moraine sur glacier ou glace morte (glacier or dead ice covered by till) |
| 15101037 | Murgangablagerung | dépôts de laves torrentielles |
| 15102022 | Muschelsandstein | grès coquillier |
| 15104020 | Mylonit | (méso)mylonite |
| 15104018 | Mylonit, undifferenziert | mylonite, indifférenciée |
| 15104420 | nephelinitischer Metasyenit | métasyénite néphélinique |
| 15103022 | nephelinitischer Syenit | syénite néphélinique |
| 15103016 | Norit | norite |
| 15102043 | Nummulitenkalk | calcaire à nummulites |
| 15102021 | Nummulitensandstein | grès à nummulites |
| 15104099 | Ophikalzit | ophicalcite |
| 15104049 | Orthogneis | orthogneiss |
| 15101050 | palustrisches Sediment | sédiments palustres |
| 15101051 | palustrisches Sediment, undifferenziert | sédiments palustres, indifférenciés |
| 15104048 | Paragneis | paragneiss |
| 15102092 | pedogenes Karbonat, undifferenziert | roche carbonatée pédogénétique, indifférenciée |
| 15103029 | Pegmatit | pegmatite |
| 15102024 | Pelit, undifferenziert | pélite, indifférenciée |
| 15103021 | Peridotit (Intrusivgestein) | péridotite (roche intrusive) |
| 15104065 | Peridotit (Metamorphit) | péridotite (roche métamorphique) |
| 15103050 | Phonolith | phonolite |
| 15102065 | phosphoritreicher Kalkstein | calcaire phosphaté |
| 15102066 | phosphoritreicher Mergelstein | marne phosphatée |
| 15102064 | phosphoritreicher Sandstein | grès phosphaté |
| 15102063 | phosphoritreiches Gestein, undifferenziert | roche phosphatée, indifférenciée |
| 15104029 | Phyllit | phyllite |
| 15104023 | Phyllonit | phyllonite |
| 15103049 | Pikrit (Effusiva) | picrite (roche effusive) |
| 15103034 | Pikrit (Intrusivgestein) | picrite (roche intrusive) |
| 15101013 | Plateaulehm | limons de plateau, éluvions |
| 15104038 | Prasinit | prasinite |
| 15104014 | Protokataklasit | protocataclasite |
| 15104019 | Protomylonit | protomylonite |
| 15104025 | Pseudotachylit | pseudotachylite |
| 15103055 | Pyroklastische Brekzie | brèche pyroclastique |

| GeolCode | Deutsch | Français |
|----------|---|--|
| 15103053 | pyroklastisches Gestein, undifferenziert (vulkanischer Tuff, > 75 % pyroklast. Komp.) | roche pyroclastique, indifférenciée (tuf volcanique, > 75 % comp. pyrocl.) |
| 15103020 | Pyroxenit (Intrusivgestein) | pyroxénite (roche intrusive) |
| 15104088 | Pyroxenit (monomineralischer Metamorphit) | pyroxénite (roche métamorphique monominérale) |
| 15103044 | Quarzandesit | andésite quartzique |
| 15103009 | Quarzdiorit | diorite quartzique |
| 15103014 | Quarzgabbro | gabbro quartzique |
| 15104091 | Quarzit (monomineralischer Metamorphit) | quartzite (roche métamorphique monominérale) |
| 15104206 | Quarzit (sedimentärer Protolith) | quartzite (protolithe sédimentaire) |
| 15102089 | Quarzsand | sable quartzitique |
| 15102010 | Quarzsandstein | grès quartzitique |
| 15104096 | Quarzschiefer | quartzschiste |
| 15101080 | Quelltuff (Kalksinter, Lockergestein) | tuf calcaire (dépôt non consolidé) |
| 15102077 | Quelltuff (Kalksinter, Sedimentgestein) | tuf calcaire (roche sédimentaire) |
| 15102052 | Radiolarit | radiolarite |
| 15101030 | randglazialer Schotter | graviers de bordure glaciaire |
| 15104011 | Rauwacke (Kataklasit) | rauwacke (roche cataclastique) |
| 15102076 | Rauwacke (Sedimentgestein) | rauwacke (roche sédimentaire) |
| 15102080 | Residualgestein / pedogen überprägtes Gestein, undifferenziert | roche résiduelle / roche sédim. transf. par pédogenèse, indifférenciée |
| 15103042 | Rhyodazit | rhyodacite |
| 15103041 | Rhyolith | rhyolite |
| 15103028 | Rhyolithporphyr | porphyre rhyolitique |
| 15102040 | Riffkalk | calcaire récifal |
| 15104059 | Rodingit | rodingite |
| 15101033 | Rückzugsschotter | graviers de retrait |
| 15102039 | Rudit | calcirudite |
| 15101017 | Rutschmasse | masse glissée |
| 15102009 | Sandstein, undifferenziert (Psammit: Sandkorngrösse) | grès, indifférencié (psammite: classe des sables) |
| 15103067 | saures Ganggestein | roche filonienne acide |
| 15104031 | Schiefer, undifferenziert | schiste, indifférencié |
| 15102030 | Schlammstein | mudstone |
| 15104062 | Schollenamphibolit | amphibolite à blocs |
| 15101087 | Sedimentärer Gang (clastic dike) | filon sédimentaire |
| 15102001 | Sedimentgestein | roche sédimentaire |
| 15101058 | Seebodensediment | sédiments de fond lacustre |
| 15101059 | Seekreide | craie lacustre |
| 15104033 | Serizitschiefer | séricitoschiste |
| 15104090 | Serpentinit | serpentinite |
| 15102084 | siderolithische Verwitterungsbildungen | sédiment d'altération sidérolithique |
| 15102090 | Silcrete | silcrète |
| 15104057 | silikatreicher Marmor | cipolin |
| 15102086 | silikatreiches Gestein, undifferenziert | roche silicatée, indifférenciée |
| 15102025 | Siltstein | siltite |
| 15104070 | Skarn | skarn |
| 15102036 | Spatkalk | calcaire spathique |
| 15102053 | Spiculit | spiculite |
| 15101034 | Stauschotter | graviers de retenue |
| 15102058 | Steinkohle | houille |
| 15102073 | Steinsalz | sel |

| GeolCode | Deutsch | Français |
|----------|--|--|
| 15101056 | Strandablagerungen | dépôts de terrasses lacustres |
| 15104050 | Stronalit | stronalite |
| 15101084 | strukturiertes Hangschutt | éboulis structuré |
| 15101005 | Sturzablagerung, undifferenziert | dépôts d'écroulement, d'éboulement, indifférenciés |
| 15101048 | subaquatisch abgelagerte Moräne (Waterlaid Till) | moraine aquatique (waterlaid till) |
| 15101052 | Sumpf | dépôts paludéens |
| 15102047 | Süßwasserkalk | calcaire d'eau douce |
| 15103012 | Syenit | syénite |
| 15104039 | Talkschiefer | talcschiste |
| 15104008 | tektonische Brekzie (kohäsionslos) | brèche de faille |
| 15104013 | tektonische Brekzie (mit Kohäsion) | brèche tectonique |
| 15104012 | tektonische Dolomitbrekzie | brèche tectonique dolomitique |
| 15104448 | tektonische Kalkbrekzie | brèche tectonique calcaire |
| 15103005 | Tiefengestein, undifferenziert | roche plutonique, indifférenciée |
| 15101078 | tiefgründige Verwitterungsdecke | sol d'altération profonde |
| 15103010 | Tonalit | tonalite |
| 15102015 | toniger Sandstein | grès argileux |
| 15102028 | Tonmergelstein | marne argileuse |
| 15104032 | Tonschiefer (Schiefer) | ardoise, schiste ardoisier |
| 15104213 | Tonschiefer (sedimentärer Protolith) | méta-argilite (protolithe sédimentaire) |
| 15102026 | Tonstein | argilite |
| 15101053 | Torfmoor, Torf | dépôts de tourbière, tourbe |
| 15103047 | Trachyt | trachite |
| 15101082 | Travertin (Kalksinter, Lockergestein) | travertin (dépôt non consolidé) |
| 15102078 | Travertin (Kalksinter, Sedimentgestein) | travertin (roche sédimentaire) |
| 15101085 | Tsunamiablagerung | dépôt de tsunami |
| 15103060 | Tuffit, undifferenziert (pyroklast. und nicht vulk. Sedimente, 75-25 % pyroklast. Komp.) | roche volcano-sédimentaire, indifférenciée (tuffite 75-25 % comp. pyrocl.) |
| 15103061 | tuffitische Brekzie | brèche tuffitique |
| 15103063 | tuffitischer Sandstein | grès tuffitique |
| 15103064 | tuffitischer Siltstein | siltite tuffitique |
| 15103065 | tuffitischer Tonstein | argilite tuffitique |
| 15103062 | tuffitisches Konglomerat | poudingue tuffitique |
| 15101042 | Überschwemmungssediment | dépôts d'inondation |
| 15103070 | Ultrabasisches Gestein | roche ultrabasique |
| 15104016 | Ultrakataklasit | ultracataclasite |
| 15104447 | ultramafisches Gestein | roche ultramafique |
| 15104021 | Ultramylonit | ultramylonite |
| 15101012 | Verwitterungslehm, undifferenziert | limons d'altération, indifférenciés |
| 15101032 | Vorstossschotter | graviers de progression |
| 15101065 | vulkanische Asche | cendres volcaniques |
| 15101016 | zerrüttete Sackungsmasse | masse de roche tassée et disloquée |
| 15104045 | Zweiglimmergneis | gneiss à deux micas |
| 999997 | Unknown | inconnu |
| 999998 | Not applicable | not applicable |

13 Anhang GC_LITHO_UNCO_CD

Wertetabellen der lithologischen Beschreibung

| GeolCode | Deutsch | Français |
|----------|--|--|
| 15101039 | Alluvion, undifferenziert | alluvions, indifférenciés |
| 15101067 | anthropogene Elemente, undifferenziert | éléments anthropiques, indifférenciés |
| 15101062 | äolischer Sand, Flugsand | sable éolien |
| 15101061 | äolisches Sediment, undifferenziert | sédiments éoliens, indifférenciés |
| 15101071 | Auffüllung | comblement |
| 15101070 | Aufschüttung, Damm | remblai, digue |
| 15101041 | Bachschutt | dépôts torrentiels |
| 15101006 | Bergsturzlagerung | dépôt d'écroulement |
| 15101015 | Blockgletscher | glacier rocheux |
| 15101010 | Blockschutt | amas de blocs éboulés |
| 15101072 | Deponie | décharge |
| 15101049 | detritische Verlandungsbildung | dépôts d'atterrissement détritiques |
| 15101075 | dünne Lockermaterialbedeckung | couverture meuble pelliculaire |
| 15101086 | Entwässerungssediment | sédiment formé par échappement d'eau |
| 15101007 | Felssturzlagerung | dépôt d'éboulement |
| 15101040 | fluvialer Schotter | graviers fluviaux |
| 15101026 | fluviales Sedimente, undifferenziert | sédiments fluviaux, indifférenciés |
| 15101035 | gemischter Schutt | dépôts mixtes |
| 15101076 | geringmächtige Lockergesteinsbedeckung | couverture de roches meubles peu épaisse |
| 15101031 | glazifluvialer Schotter | graviers fluvioglaciaires |
| 15101028 | glazifluviales Sedimente, undifferenziert | sédiments fluvioglaciaires, indifférenciés |
| 15101019 | glazigenes Sediment, undifferenziert | sédiments glaciaires, indifférenciés |
| 15101047 | glazilakustisches Deltasediment | dépôts deltaïques glaciolacustres |
| 15101046 | glazilakustisches Sediment, undifferenziert | dépôts glaciolacustres, indifférenciés |
| 15101003 | gravitative Sedimente und Verwitterungsbildungen, undifferenziert | dépôts gravitaires et d'altération, indifférenciés |
| 15101079 | Gyttja | gyttja |
| 15101073 | Halde | terril |
| 15101014 | Hanglehm, Schwemmlehm | limons de pente, colluvions |
| 15101009 | Hangschutt | éboulis |
| 15101081 | hydrochemische Bildungen (Kalksinter) | dépôts hydrochimiques |
| 15101083 | In-situ-Verwitterungsschutt | dépôt d'altération in situ |
| 15101069 | künstliche Ablagerung, undifferenziert | dépôts artificiels, indifférenciés |
| 15101057 | lakustisches Deltasediment | dépôts deltaïques lacustres |
| 15101044 | lakustisches Sediment, undifferenziert | sédiments lacustres, indifférenciés |
| 15101008 | Lawinschutt | dépôts d'avalanche |
| 15101054 | Lignit (palustisches Sediment) | lignite (sédiment palustre) |
| 15101001 | Lockergestein | roche meuble |
| 15101063 | Löss, Lösslehm | loess, loess argileux |
| 15101021 | Moräne (Till), undifferenziert | moraine (till), indifférenciée |
| 15101024 | Moräne auf Gletscher oder Toteis (Glacier or Dead Ice covered by Till) | moraine sur glacier ou glace morte (glacier or dead ice covered by till) |
| 15101037 | Murgangablagerung | dépôts de laves torrentielles |
| 15101050 | palustisches Sediment | sédiments palustres |
| 15101051 | palustisches Sediment, undifferenziert | sédiments palustres, indifférenciés |
| 15101013 | Plateaulehm | limons de plateau, éluvions |
| 15101080 | Quelltuff (Kalksinter, Lockergestein) | tuf calcaire (dépôt non consolidé) |
| 15101030 | randglazialer Schotter | graviers de bordure glaciaire |
| 15101033 | Rückzugsschotter | graviers de retrait |

| GeolCode | Deutsch | Français |
|----------|--|--|
| 15101017 | Rutschmasse | masse glissée |
| 15101087 | Sedimentärer Gang (clastic dike) | filon sédimentaire |
| 15101058 | Seebodensediment | sédiments de fond lacustre |
| 15101059 | Seekreide | craie lacustre |
| 15101034 | Stauschotter | graviers de retenue |
| 15101056 | Strandablagerungen | dépôts de terrasses lacustres |
| 15101084 | strukturierter Hangschutt | éboulis structuré |
| 15101005 | Sturzablagerung, undifferenziert | dépôts d'écroulement, d'éboulement, indifférenciés |
| 15101048 | subaquatisch abgelagerte Moräne (Waterlaid Till) | moraine aquatique (waterlaid till) |
| 15101052 | Sumpf | dépôts paludéens |
| 15101078 | tiefgründige Verwitterungsdecke | sol d'altération profonde |
| 15101053 | Torfmoor, Torf | dépôts de tourbière, tourbe |
| 15101082 | Travertin (Kalksinter, Lockergestein) | travertin (dépôt non consolidé) |
| 15101085 | Tsunamiablagerung | dépôt de tsunami |
| 15101042 | Überschwemmungssediment | dépôts d'inondation |
| 15101012 | Verwitterungslehm, undifferenziert | limons d'altération, indifférenciés |
| 15101032 | Vorstossschotter | graviers de progression |
| 15101065 | vulkanische Asche | cendres volcaniques |
| 15101016 | zerrüttete Sackungsmasse | masse de roche tassée et disloquée |
| 999997 | Unknown | inconnu |
| 999998 | Not applicable | not applicable |

14 Anhang GC_CHRONO_CD

Wertetabelle der chronostratigraphischen Einheiten

| GeolCode | Deutsch | Français |
|----------|---------------|---------------|
| 15001074 | Aalénien | Aalénien |
| 15001059 | Albien | Albien |
| 15001087 | Anisien | Anisien |
| 15001060 | Aptien | Aptien |
| 15001028 | Aquitanién | Aquitanién |
| 15001153 | Archaikum | |
| 15001113 | Artinskien | Artinskien |
| 15001117 | Assélien | Assélien |
| 15001073 | Bajocien | Bajocien |
| 15001061 | Barrémien | Barrémien |
| 15001041 | Bartonien | Bartonien |
| 15001140 | Bashkirien | Bashkirien |
| 15001072 | Bathonien | Bathonien |
| 15001064 | Berriasien | Berriasien |
| 15001025 | Burdigalien | Burdigalien |
| 15001010 | Calabrien | Calabrien |
| 15001071 | Callovien | Callovien |
| 15001053 | Campanien | Campanien |
| 15001102 | Capitanien | Capitanien |
| 15001084 | Carnien | Carnien |
| 15001057 | Cénomanién | Cénomanién |
| 15001096 | Changhsingien | Changhsingien |
| 15001031 | Chattien | Chattien |

| GeolCode | Deutsch | Français |
|----------|-------------------------|-----------------------|
| 15001151 | Chibanien | |
| 15001110 | Cisuralien | Cisuralien |
| 15001055 | Coniacien | Coniacien |
| 15001048 | Danien | Danien |
| 15001128 | Devon | Dévonien |
| 15001035 | Eozän | Eocène |
| 15001058 | Frühe Kreide | Crétacé précoce |
| 15001088 | Frühe Trias | Trias précoce |
| 15001075 | Früher Jura | Jurassique précoce |
| 15001027 | frühes Burdigalien | Burdigalien précoce |
| 15001033 | frühes Chattien | Chattien précoce |
| 15001129 | Frühes Devon | Dévonien tardif |
| 15001043 | Frühes Eozän | Eocène précoce |
| 15001024 | Frühes Miozän | Miocène précoce |
| 15001127 | Frühes Mississippien | Mississippien précoce |
| 15001150 | Frühes Ordovizium | Frühes Ordovizium |
| 15001123 | Frühes Pennsylvanien | Pennsylvanien précoce |
| 15001009 | Frühes Pleistozän | Pléistocène précoce |
| 15001039 | frühes Priabonien | Priabonien précoce |
| 15001011 | Gélasien | Gélasien |
| 15001101 | Guadalupien | Guadalupien |
| 15001137 | Gzhélien | Gzhélien |
| 15001062 | Hauterivien | Hauterivien |
| 15001079 | Hettangien | Hettangien |
| 15001004 | Holozän | Holocène |
| 15001090 | Indusien | Indusien |
| 15001065 | Jura | Jurassique |
| 15001135 | Kambrium | Cambrien |
| 15001002 | Känozoikum | Cénozoïque |
| 15001119 | Karbon | Carbonifère |
| 15001138 | Kasimovien | Kasimovien |
| 15001068 | Kimméridgien | Kimméridgien |
| 15001050 | Kreide | Crétacé |
| 15001111 | Kungurien | Kungurien |
| 15001086 | Ladinien | Ladinien |
| 15001023 | Langhien | Langhien |
| 15001147 | Llandovery | Llandoveryien |
| 15001095 | Lopingien | Lopingien |
| 15001145 | Ludlow | Ludlowien |
| 15001042 | Lutétien | Lutétien |
| 15001052 | Maastrichtien | Maastrichtien |
| 15001049 | Mesozoikum | Mésozoïque |
| 15001019 | Messinien | Messinien |
| 15001017 | Miozän | Miocène |
| 15001124 | Mississippien | Mississippien |
| 15001085 | Mittlere Trias | Trias moyen |
| 15001070 | Mittlerer Jura | Jurassique moyen |
| 15001130 | Mittleres Devon | Dévonien moyen |
| 15001040 | Mittleres Eozän | Eocène moyen |
| 15001021 | Mittleres Miozän | Miocène moyen |
| 15001126 | Mittleres Mississippien | Mississippien moyen |
| 15001149 | Mittleres Ordovizium | Mittleres Ordovizium |
| 15001122 | Mittleres Pennsylvanien | Pennsylvanien moyen |
| 15001007 | Mittleres Pleistozän | Pléistocène moyen |

| GeolCode | Deutsch | Français |
|----------|----------------------|--------------------------------|
| 15001139 | Moscovien | Moscovien |
| 15001013 | Neogen | Néogène |
| 15001083 | Norien | Norien |
| 15001089 | Olénékien | Olénékien |
| 15001030 | Oligozän | Oligocène |
| 15001134 | Ordovizium | Ordovicien |
| 15001069 | Oxfordien | Oxfordien |
| 15001029 | Paläogen | Paléogène |
| 15001091 | Paläozoikum | Paléozoïque |
| 15001045 | Paleozän | Paléocène |
| 15001120 | Pennsylvanien | Pennsylvanien |
| 15001093 | Perm | Permien |
| 15001001 | Phanerozoikum | Phanérozoïque |
| 15001015 | Plaisancien | Plaisancien |
| 15001005 | Pleistozän | Pléistocène |
| 15001077 | Pliensbachien | Pliensbachien |
| 15001014 | Pliozän | Pliocène |
| 15001152 | Präkambrium | |
| 15001037 | Priabonien | Priabonien |
| 15001144 | Pridoli | Pridolien |
| 15001136 | Proterozoikum | Protérozoïque |
| 15001003 | Quartär | Quaternaire |
| 15001082 | Rhät | Rhétien |
| 15001108 | Roadien | Roadien |
| 15001034 | Rupélien | Rupélien |
| 15001115 | Sakmarien | Sakmarien |
| 15001054 | Santonien | Santonien |
| 15001047 | Sélandien | Sélandien |
| 15001141 | Serpukhovien | Serpukhovien |
| 15001022 | Serravallien | Serravallien |
| 15001133 | Silur | Silurien |
| 15001078 | Sinémurien | Sinémurien |
| 15001051 | Späte Kreide | Crétacé tardif |
| 15001081 | Späte Trias | Trias tardif |
| 15001066 | Später Jura | Jurassique tardif |
| 15001026 | spätes Burdigalien | Burdigalien tardif |
| 15001032 | spätes Chattien | Chattien tardif |
| 15001131 | Spätes Devon | Dévonien tardif |
| 15001036 | Spätes Eozän | Eocène tardif |
| 15001018 | Spätes Miozän | Miocène tardif |
| 15001125 | Spätes Mississippien | Mississippien tardif |
| 15001148 | Spätes Ordovizium | Spätes Ordovizium |
| 15001121 | Spätes Pennsylvanien | Pennsylvanien tardif |
| 15001006 | Spätes Pleistozän | Pléistocène tardif |
| 15001038 | spätes Priabonien | Priabonien tardif / Latdorfien |
| 15001012 | Tertiär | Tertiaire |
| 15001046 | Thanétien | Thanétien |
| 15001067 | Tithonien | Tithonien |
| 15001076 | Toarcien | Toarcien |
| 15001020 | Tortonien | Tortonien |
| 15001143 | Tournaisien | Tournaisien |
| 15001080 | Trias | Trias |
| 15001056 | Turonien | Turonien |
| 15001063 | Valanginien | Valanginien |

| GeolCode | Deutsch | Français |
|----------|----------------|----------------|
| 15001142 | Viséen | Viséen |
| 15001146 | Wenlock | Wenlockien |
| 15001106 | Wordien | Wordien |
| 15001098 | Wuchiapingien | Wuchiapingien |
| 15001044 | Yprésien | Yprésien |
| 15001016 | Zancléen | Zancléen |
| 999997 | Unknown | inconnu |
| 999998 | Not applicable | not applicable |

15 Anhang GC_TECTO_CD

Wertetabelle der tektonischen Einheiten

| GeolCode | Deutsch | Français |
|----------|----------------------------------|---|
| 15301125 | «Zone Kronberg-Süd» | zone du Kronberg-Sud |
| 15303009 | Aar-Massiv | massif de l'Aar |
| 15301027 | Abgescherter Tafeljura | Jura tabulaire cisailé |
| 15301001 | Abgeschertes Nordalpines Vorland | Avant-pays nord-alpin décollé |
| 15307004 | Adamello-Intrusion | |
| 15304018 | Adula-Decke | nappe de l'Adula |
| 15303003 | Aiguilles-Rouges-Massiv | massif des Aiguilles Rouges |
| 15305007 | Allgäu-Decke | |
| 15304151 | Antigorio-Decke | nappe d'Antigorio |
| 15304010 | Antigorio-Deckenkomplex | complexe de nappes d'Antigorio |
| 15304092 | Antrona-Decke | nappe d'Antrona |
| 15303081 | Anzeinde-Decke | nappe d'Anzeinde |
| 15303017 | Ardon-Decke | nappe d'Ardon |
| 15304076 | Areua-Bruschghorn-Melange | mélange de l'Areua-Bruschghorn |
| 15304130 | Argio-Schuppe | écaille d'Argio |
| 15308015 | Arolla-Einheit | unité d'Arolla |
| 15304100 | Arosa-Decke | nappe d'Arosa |
| 15303075 | Arveyes-Decke | nappe d'Arveyes |
| 15304158 | Aubrig-Schuppe | écaille de l'Aubrig |
| 15305053 | Augstenberg-Schuppe | Augstenberg-Schuppe |
| 15304036 | Aul-Decke | nappe de l'Aul |
| 15302040 | Autochtones Nordalpines Vorland | Avant-pays nord-alpin autochtone |
| 15301022 | Avant-Monts-Zone | Zone des Avant-monts |
| 15304097 | Avers-Decke | nappe de l'Avers |
| 15303041 | Axen-Decke | nappe de l'Axen |
| 15303131 | Axen-Nordschuppe | Axen-Nordschuppe |
| 15303130 | Axen-Südschuppe | Axen-Südschuppe |
| 15303086 | Bächistock-Schuppe | écaille du Bächistock |
| 15303119 | Bad-Ragaz-Decke | |
| 15305043 | Bardella-Padella-Schuppenkomplex | complexe d'écailles de Bardella-Padella |
| 15303002 | Belledonne-Massiv | massif de Belledonne |
| 15301131 | Belmont-Schuppe | écaille de Belmont |
| 15304082 | Berisal-Decke | nappe de Berisal |
| 15305029 | Bernina-Decke | nappe de la Bernina |
| 15305028 | Bernina-Deckenkomplex | |
| 15303074 | Bex-Laubhorn-Decke | nappe de Bex-Laubhorn |
| 15303082 | Blattengrat-Decke | nappe du Blattengrat |
| 15301127 | Blueme-Beichle-Schuppe | écaille de la Blueme-Beichle |

| GeolCode | Deutsch | Français |
|----------|-------------------------------------|---|
| 15304131 | Bodengo-Schuppe | écaille de Bodengo |
| 15303109 | Bois-de-Bouleyres-Schuppe | écaille du Bois de Bouleyres |
| 15304078 | Bombogno-Zone | zone de Bombogno |
| 15304026 | Bosco-Zone | zone de Bosco |
| 15307006 | Bregaglia-Intrusion | Intrusion de Bregaglia |
| 15304065 | Brekzien-Decke | nappe de la Brèche |
| 15302046 | Bresse-Graben | fossé bressan |
| 15303105 | Broc-Schuppenkomplex | complexe des écaillles de Broc |
| 15303099 | Bürgenstock-Urmiberg-Schuppe | |
| 15303091 | Calanda-Decke | |
| 15303145 | Calanda-Decke (Blattengrat-Anteil) | Nappe du Calanda (partie Blattengrat) |
| 15303149 | Calanda-Decke (Sardona-Anteil) | Nappe du Calanda (partie Sardona) |
| 15303151 | Calanda-Schuppe (Aar-Massiv-Anteil) | Nappe du Calanda (partie massif de l'Aar) |
| 15303102 | Camosci-Decke | |
| 15305019 | Campo-Decke | |
| 15304153 | Camughera-Decke | nappe de Camughera |
| 15306004 | Canavese-Zone | |
| 15305039 | Carungas-Schuppe | écaille du Carungas |
| 15305060 | Casanna-Schuppe | écaille de la Casanna |
| 15303027 | Cavistrau-Decke | nappe du Cavistrau |
| 15303011 | Chaînes-subalpines-Decke | nappe des Chaînes subalpines |
| 15303121 | Chamerstock-Schuppe | écaille du Chamerstock |
| 15301139 | Champotey-Ramsera-Schuppe | écaille de Champotey-Ramsera |
| 15305042 | Chastelets-Schuppe | écaille du Chastelets |
| 15308028 | Chatillon-Schuppe | écaille de Chatillon |
| 15308026 | Chatillon-St-Vincent-Schuppen | écaillles de Chatillon-St-Vincent |
| 15304034 | Chiavenna-Decke | nappe de Chiavenna |
| 15301123 | Chräzerli-Schuppe | écaille de Chräzerli |
| 15303128 | Chropfsberg-Gaffia-Schuppen | écaillles du Chropfsberg-Gaffia |
| 15303094 | Chropfsberg-Schuppe | |
| 15304017 | Cima-Lunga-Decke | nappe de la Cima Lunga |
| 15304055 | Cimes-Blanches-Decke | nappe des Cimes Blanches |
| 15303120 | Clariden-Schuppenkomplex | complexe des écaillles des Clariden |
| 15304118 | Claro-Schuppe | écaille de Claro |
| 15305041 | Corvatsch-Schuppe | écaille du Corvatsch |
| 15301133 | Cully-Schuppe | écaille de Cully |
| 15304128 | Darlun-Schuppe | écaille de Darlun |
| 15308014 | Dent-Blanche-Decke | nappe de la Dent Blanche |
| 15303030 | Diablerets-Decke | nappe des Diablerets |
| 15303016 | Doldenhorn-Decke | nappe du Doldenhorn |
| 15305058 | Dorfberg-Decke | nappe du Dorfberg |
| 15304107 | Dranses-Decke | nappe des Dranses |
| 15305056 | Drei-Schwestern-Schuppe | écaille des Drei-Schwestern |
| 15304148 | Dros-Scholle | écaille de Dros |
| 15303046 | Drusberg-Decke | nappe du Drusberg |
| 15301150 | Eichberg-Schuppe | écaille de l'Eichberg |
| 15303060 | Einsiedeln-Schuppenkomplex | complexe d'écaillles d'Einsiedeln |
| 15305032 | Ela-Decke | |
| 15305038 | Err-Decke | |
| 15305035 | Err-Deckenkomplex | |
| 15308025 | Etirol-Levaz-Schuppe | écaille d'Etirol-Levaz |
| 15303061 | Externe Einsiedeln-Schuppen | écaillles externes d'Einsiedeln |
| 15301024 | Externer Faltenjura | Jura plissé externe |

| GeolCode | Deutsch | Français |
|----------|-----------------------------|-------------------------------|
| 15303112 | Externes Aar-Massiv | massif de l'Aar externe |
| 15303141 | Externes Belledonne-Massiv | massif de Belledonne externe |
| 15303115 | Externes Mont-Blanc-Massiv | |
| 15301025 | Faisceaux | Faisceaux |
| 15304066 | Falknis-Decke | nappe du Falknis |
| 15304113 | Fanella-Schuppe | écaille de la Fanella |
| 15304029 | Ferret-Schuppe | écaille de Ferret |
| 15304043 | Feuerstätter-Decke | nappe de Feuerstätt |
| 15303127 | Fiseten-Orthalggen-Schuppen | écailles de Fiseten-Orthalden |
| 15303071 | Fläscherberg-Decke | nappe du Fläscherberg |
| 15304134 | Forcellina-Schuppe | écaille de la Forcellina |
| 15304056 | Frilihorn-Decke | nappe du Frilihorn |
| 15303138 | Friteren-Schuppe | écaille de Friteren |
| 15301126 | Gäbris-Schuppe | écaille du Gäbris |
| 15303095 | Gaffia-Schuppe | |
| 15304143 | Gälmji-Zone | zone de Gälmji |
| 15304117 | Gana-Palinger-Schuppe | écaille de Gana-Palinger |
| 15304111 | Garzott-Schuppe | écaille de Garzott |
| 15303008 | Gastern-Massiv | massif de Gastern |
| 15303122 | Geisstritt-Schuppe | écaille du Geisstritt |
| 15304070 | Gelbhorn-Decke | nappe du Gelbhorn |
| 15303020 | Gellihorn-Decke | nappe du Gellihorn |
| 15303124 | Gemsfairen-Schuppe | écaille du Gemsfairen |
| 15301137 | Gérignoz-La-Roche-Schuppe | écaille de Gérignoz-la-Roche |
| 15304096 | Gets-Decke | nappe des Gets |
| 15301151 | Giebelegg-Schuppe | écaille de la Giebelegg |
| 15303026 | Gitschen-Decke | nappe du Gitschen |
| 15303038 | Glärner Deckenkomplex | complexe de nappes de Glaris |
| 15304139 | Glegghorn-Schuppe | écaille du Glegghorn |
| 15308019 | Gneiss-minuti-Einheit | «Gneiss minuti» |
| 15303044 | Gonzen-Walenstadt-Schuppen | écailles du Gonzen-Walenstadt |
| 15304140 | Gornergrat-Decke | nappe du Gornergrat |
| 15305052 | Gorvion-Schuppe | écaille du Gorvion |
| 15304147 | Gotschnawang-Scholle | écaille la Gotschnawang |
| 15303058 | Gotthard-Decke | nappe du Gotthard |
| 15304138 | Grauspitz-Schuppe | écaille du Grauspitz |
| 15304038 | Grava-Decke | nappe de Grava |
| 15303023 | Griessstock-Decke | nappe du Griessstock |
| 15303106 | Gros-Plané-Melange | Mélange du Gros Plané |
| 15304129 | Groven-Schuppe | écaille de Groven |
| 15305059 | Grüenhorn-Schuppe | nappe du Grüenhorn |
| 15304019 | Gruf-Komplex | complexe du Gruf |
| 15308030 | Grun-Schuppe | écaille de Grun |
| 15308027 | Grun-Schuppe | écaille de Grun |
| 15304006 | Güida-Alpettas-Schuppen | écailles de Güida-Alpettas |
| 15304103 | Gurnigel-Decke | nappe du Gurnigel |
| 15303077 | Habkern-Melange-Zone | Zone de mélange de Habkern |
| 15304145 | Haupterhorn-Scholle | écaille de l'Haupterhorn |
| 15302042 | Haute-Saône-Tafel | plateau de Haute Saône |
| 15302020 | Hegau-Bodensee-Störungszone | fossé d'Hegau-Bodensee |
| 15307010 | Hegau-Provinz | province du Hegau |
| 15303100 | Helvetikum | |
| 15305055 | Heubühl-Schuppe | écaille du Heubühl |
| 15301128 | Hilfern-Schuppe | écaille d'Hilfern |

| GeolCode | Deutsch | Français |
|----------|--|---|
| 15301148 | Hirschberg-Schuppe | écaille du Hirschberg |
| 15303088 | Hoch-Fulen-Decke | nappe du Hoch-Fulen |
| 15303133 | Höch-Turm-Schuppen | écaille de la Hoch Turm |
| 15303101 | Hochflue-Schuppe | |
| 15303040 | Hohenems-Decke | nappe de Hohenems |
| 15301120 | Höhronen-Schuppe | écaille de la Höhronen |
| 15301149 | Hölzliberg-Schuppe | écaille du Hölzliberg |
| 15301129 | Hornbüel-Schuppenzone | zone d'écailles de Hornbüel |
| 15303104 | Iberg-Melange | |
| 15308018 | Ila Zona Dioritico-Kinzigitica | Ila Zona Dioritico-Kinzigitica |
| 15303055 | Ilanz-Decke | nappe d'Ilanz |
| 15304154 | Infra-Niesen-Melange | mélange Infra-Niesen |
| 15304159 | Infrapräalpines Melange | Mélange infrapréalpin |
| 15305005 | Inntal-Decke | |
| 15303062 | Interne Einsiedeln-Schuppen | écailles internes d'Einsiedeln |
| 15301023 | Interner Faltenjura | Jura plissé interne |
| 15303113 | Internes Aar-Massiv | massif de l'Aar interne |
| 15303140 | Internes Belledonne-Massiv | massif de Belledonne interne |
| 15303116 | Internes Mont-Blanc-Massiv | |
| 15304025 | Isorno-Zone | zone de l'Isorno |
| 15306002 | Ivrea-Verbano-Zone | |
| 15303018 | Jägerchrüz-Decke | nappe du Jägerchrüz |
| 15305033 | Julier-Decke | |
| 15303129 | Kaminspitz-Schuppe | nappe du Kaminspitz |
| 15303025 | Kammlistock-Decke | nappe des Kammlistock |
| 15307009 | Känozoische magmatische Provinzen | provinces magmatiques cénozoïques |
| 15304120 | Kiental-Melange | Mélange du Kiental |
| 15303024 | Klausenpass-Schuppen | écailles du Klausenpasse |
| 15304057 | Klippen-Decke | nappe des Préalpes médianes |
| 15304073 | Knorren-Melange | Mélange de Knorren |
| 15305004 | Krabachjoch-Decke | |
| 15301124 | Kronberg-Schuppe | écaille du Kronberg |
| 15301140 | La-Pattaz-La-Holena-Schuppe | écaille de La-Pattaz-la-Holena |
| 15303126 | Langfirn-Schuppe | écaille du Langfirn |
| 15305020 | Languard-Decke | |
| 15301134 | Lavaux-Schuppe | écaille du Lavaux |
| 15304011 | Lebendun-Decke | nappe de Lebendun |
| 15305006 | Lechtal-Decke | |
| 15304123 | Lenk-Decke | nappe de la Lenk |
| 15303108 | Les-Pléiades-Schuppe | écaille des Pléiades |
| 15304002 | Leventina-Lucomagno-Decke | nappe de la Léventine-Lukmanier |
| 15303068 | Liebenstein-Decke | |
| 15304133 | Livizung-Schuppe | écaille de Livizung |
| 15303096 | Logsbach-Schuppe | |
| 15301132 | Lutry-Thonon-Schuppe | écaille de Lutry-Thonon |
| 15305072 | Madrisa-Schuppe | écaille de Madrisa |
| 15305031 | Madulain-Schuppenkomplex | zone d'écailles de Madulain |
| 15304086 | Maggia-Decke | nappe de la Maggia |
| 15303139 | Maisander-Schuppe | écaille de Maisander |
| 15304098 | Malenco-Forno-Lizun-Decke | nappe du Malenco-Forno-Lizun |
| 15303155 | Maliens-Schuppe | écaille de Maliens |
| 15301142 | Marbach-Berneck-Dreieckzone | zone triangulaire Marbach-Berneck |
| 15303144 | Marchegghorn-Schuppe (Blattengrat-Anteil) | écaille du Marchegghorn (partie Blattengrat) |

| GeolCode | Deutsch | Français |
|----------|--|---|
| 15303147 | Marchegghorn-Schuppe (Sardona-Anteil) | écaille du Marchegghorn (partie Sardona) |
| 15308022 | Margna-Decke | nappe de la Margna |
| 15304075 | Martegnas-Melange | Mélange du Martegnas |
| 15303118 | Mättental-Melange | |
| 15304121 | Meilleret-Decke | nappe du Meilleret |
| 15304132 | Mergoscia-Zone | zone de Mergoscia |
| 15305030 | Mezzaun-Schuppe | écaille du Mezzaun |
| 15308021 | Micascisti-eclogitici-Einheit | «Micascisti eclogitici» |
| 15306008 | Milan Belt | Arc milanais |
| 15303092 | Mirutta-Decke | |
| 15303152 | Mirutta-Schuppen (Aar-Massiv-Anteil) | Nappe de Mirutta (partie massif de l'Aar) |
| 15303146 | Mirutta-Schuppen (Blattengrat-Anteil) | Nappe de Mirutta (partie Blattengrat) |
| 15303150 | Mirutta-Schuppen (Sardona-Anteil) | Nappe de Mirutta (partie Sardona) |
| 15304049 | Mittelpenninikum | Pennique moyen |
| 15304077 | Moncucco-Decke | nappe du Moncucco |
| 15303007 | Mont-Blanc-Massiv | massif du Mont Blanc |
| 15303049 | Mont-Chétif-Decke | nappe du Mont-Chétif |
| 15308009 | Mont-Emilius-Decke | nappe du Mont Emilius |
| 15304084 | Mont-Fort-Decke | nappe du Mont Fort |
| 15303033 | Mont-Gond-Decke | nappe du Mont-Gond |
| 15308010 | Mont-Mary-Decke | nappe du Mont Mary |
| 15301135 | Mont-Pèlerin-Schuppe | écaille du Mont-Pèlerin |
| 15304012 | Monte-Leone-Decke | nappe du Monte Leone |
| 15304085 | Monte-Rosa-Decke | nappe du Mont Rose |
| 15303107 | Montsalvens-Schuppe | écaille de Montsalvens |
| 15303015 | Morcles-Decke | nappe de Morcles |
| 15304030 | Moûtiers-Schuppe | écaille de Moûtiers |
| 15305036 | Murtiröl-Schuppe | écaille du Murtiröl |
| 15303039 | Mürtschen-Decke | nappe du Mürtschen |
| 15304047 | Muttler-Decke | nappe du Muttler |
| 15304155 | Mythen-Roggenegg-Schuppe | |
| 15303098 | Niederhorn-Pilatus-Schuppe | |
| 15304027 | Niesen-Decke | nappe du Niesen |
| 15307005 | Novate-Intrusion | |
| 15308013 | Obere Einheit der Mont-Mary-Decke | unité supérieure de la nappe du Mont Mary |
| 15306005 | Obere Orobische Decke | |
| 15304156 | Obere Rotenflue-Schuppe | écaille de l'Obere Rotenflue |
| 15304081 | Obere Stalden-Decke | nappe de Stalden supérieure |
| 15304142 | Obere Vals-Schuppen | écailles de Vals supérieures |
| 15303028 | Oberhelvetikum | Helvétique supérieur |
| 15305002 | Oberostalpin | |
| 15304091 | Oberpenninikum | Pennique supérieur |
| 15302045 | Oberrhein-Graben | fossé du Haut-Rhin |
| 15305054 | Ochsenkopf-Schuppe | écaille de l'Ochsenkopf |
| 15304122 | Ochsenweid-Decke | nappe de l'Ochsenweid |
| 15303143 | Orglen-Schuppen (Aar-Massiv-Anteil) | écailles de l'Orglen (partie massif de l'Aar) |
| 15303148 | Orglen-Schuppen (Sardona-Anteil) | écailles de l'Orglen (partie Sardona) |
| 15304119 | Orselina-Bellinzona-Zone | zone d'Orselina-Bellinzona |
| 15305018 | Ortler-Decke | |
| 15305001 | Ostalpin | |

| GeolCode | Deutsch | Français |
|----------|--|--|
| 15305013 | Ötztal-Decke | |
| 15304014 | Penninikum | Pennique |
| 15307003 | Periadriatische Provinz | Province périadriatique |
| 15307008 | Periadriatische Vulkanite entlang der Insubrischen Linie | |
| 15304033 | Petit-St-Bernard-Schuppe | écaille du Petit St-Bernard |
| 15304032 | Pierre-Avoi-Schuppe | écaille de la Pierre Avoi |
| 15303103 | Piora-Peiden-Schuppenkomplex | |
| 15303111 | Piz-d'Artgas-Decke | nappe du Piz d'Artgas |
| 15304005 | Piz-Terri-Lunschania-Decke | nappe du Piz-Terri-Lunschania |
| 15303137 | Pizalun-Schuppe | écaille du Pizalun |
| 15304013 | Pizzo-del-Vallone-Decke | nappe du Pizzo del Vallone |
| 15303072 | Plaine-Morte-Decke | nappe de la Plaine Morte |
| 15303019 | Plammis-Decke | nappe de Plammis |
| 15301026 | Plateaus | Plateaux |
| 15304099 | Platta-Decke | nappe du Platta |
| 15306007 | Po-Becken | bassin du Pô |
| 15308029 | Pontey-Schuppe | écaille de Pontey |
| 15304126 | Portjengrat-Decke | nappe du Portjengrat |
| 15304058 | Préalpes médianes plastiques | Préalpes médianes plastiques |
| 15304059 | Préalpes médianes rigides | Préalpes médianes rigides |
| 15305015 | Quattervals-Decke | |
| 15301147 | Ralligen-Schuppenzone | zone d'écailles de Ralligen |
| 15304046 | Ramosch-Zone | zone de Ramosch |
| 15301118 | Rigi-Rossberg-Schuppe | écaille du Rigi-Rossberg |
| 15305070 | Roggenstock-Mördergruebi-Decke | nappe du Roggenstock-Mördergruebi |
| 15304031 | Roignais-Versoyen-Schuppe | écaille du Roignais-Versoyen |
| 15308011 | Roisan-Cignana-Scherzone | zone de cisaillement de Roisan-Cignana |
| 15303029 | Roselette-Decke | nappe de Roselette |
| 15304152 | Rosswald-Schuppe | écaille de Rosswald |
| 15305024 | Rothorn-Decke | |
| 15303125 | Rotstock-Schuppe | écaille du Rotstock |
| 15304045 | Roz-Champatsch-Melange | Mélange de Roz-Campatsch |
| 15304125 | Ruginenta-Decke | nappe de Ruginenta |
| 15304080 | Ruitor-Decke | nappe du Ruitor |
| 15305012 | S-chanf-Schuppen | écailles de S-chanf |
| 15305016 | S-charl-Sesvenna-Decke | nappe de S-charl-Sesvenna |
| 15304108 | Saane-Decke | nappe de la Sarine |
| 15308001 | Salassikum | Salassique |
| 15308002 | Salassikum Sub-Domäne undifferenziert | sous-domaine indifférencié du Salassique |
| 15304088 | Sambuco-Decke | nappe du Sambuco |
| 15304109 | San-Giorgio-Schuppe | écaille de San Giorgio |
| 15303045 | Säntis-Decke | nappe du Säntis |
| 15303069 | Sardona-Decke | nappe du Sardona |
| 15304150 | Sasseneire-Decke | nappe du Sasseneire |
| 15303135 | Schabell-Melange | |
| 15303132 | Schächentaler Windgällen-Schuppen | écailles des Schächentaler Windgällen |
| 15305057 | Schafläger-Decke | nappe du Schafläger |
| 15304069 | Schams-Deckenkomplex | complexe de nappes du Schams |
| 15301130 | Schangnau-Schuppe | écaille de Schangnau |
| 15305051 | Schesaplana-Schuppe | écaille de Schesaplana |
| 15305048 | Schiahorn-Decke | nappe du Schiahorn |
| 15304105 | Schlieren-Decke | nappe des Schlieren |

| GeolCode | Deutsch | Français |
|----------|-------------------------------------|--|
| 15301122 | Schorhüttenberg-Schuppe | écaille du Schorhüttenberg |
| 15303078 | Scopi-Decke | nappe du Scopi |
| 15301144 | Seftigschwand-Schuppe | écaille de Seftigschwand |
| 15308023 | Sella-Decke | nappe de la Sella |
| 15308017 | Sesia-Decke | nappe de Sesia |
| 15303073 | Sex-Mort-Decke | nappe du Sex Mort |
| 15303085 | Silberen-Schuppen | écailles du Silberen |
| 15305009 | Silvretta-Decke | |
| 15304008 | Simano-Decke | nappe du Simano |
| 15308024 | Simmen-Decke | nappe de la Simme |
| 15304028 | Sion-Courmayeur-Decke | nappe de Sion-Courmayeur |
| 15304083 | Siviez-Mischabel-Decke | nappe de Siviez-Mischabel |
| 15304115 | Soazza-Schuppe | écaille de Soazza |
| 15304004 | Soja-Decke | nappe du Soi |
| 15303154 | Sörenberg-Melange | Mélange de Sörenberg |
| 15301121 | Speer-Stockberg-Schuppe | écaille du Speer-Stockberg |
| 15301119 | St.-Jost-Schuppe | écaille de St-Jost |
| 15304157 | Stäglernenegg-Brünnelstock-Schuppen | écailles de la Stäglernenegg-Brünnelstock |
| 15305027 | Stammerspitz-Schuppe | écaille du Stammerspitz |
| 15301145 | Steffisburg-Schuppe | écaille de Steffisburg |
| 15303142 | Stelli-Schuppe | écaille du Stelli |
| 15303123 | Stichplatten-Schuppe | écaille des Stichplatten |
| 15304127 | Stockhorn-Decke | nappe du Stockhorn |
| 15306003 | Strona-Ceneri-Zone | |
| 15303059 | Subalpine Flysch-Zone | zone du Flysch subalpin |
| 15301116 | Subalpine Molasse | Molasse subalpine |
| 15301143 | Subalpiner Schuppenkomplex | complexe des écailles subalpines |
| 15303034 | Sublage-Decke | nappe du Sublage |
| 15306001 | Südalpin | |
| 15306009 | Südalpin Sub-Domäne undifferenziert | sous-domaine indifférencié du Sudalpin |
| 15302043 | Süddeutsche Tafel | plateau d'Allemagne méridionale |
| 15303153 | Südelbach-Zone | zone du Südelbach |
| 15304067 | Sulzfluh-Decke | nappe de la Sulzfluh |
| 15304090 | Suretta-Decke | nappe de Suretta |
| 15304089 | Tambo-Decke | nappe du Tambo |
| 15304068 | Tasna-Decke | nappe du Tasna |
| 15303057 | Tavetsch-Decke | nappe du Tavetsch |
| 15304112 | Terri-Schuppe | écaille du Terri |
| 15305047 | Terza-Schuppe | écaille du Piz Terza |
| 15304041 | Tomül-Decke | nappe du Tomül |
| 15305022 | Tonale-Decke | nappe du Tonale |
| 15303097 | Toralp-Schuppe | |
| 15304149 | Totalp-Ophiolithkomplex | complexe ophiolithique de la Totalp |
| 15304114 | Trescolmen-Schuppe | écaille de Trescolmen |
| 15304136 | Triesenberg-Schuppenkomplex | zone d'écailles du Triesenberg |
| 15303114 | Trun-Punteglias-Teilmassiv | |
| 15304094 | Tsaté-Decke | nappe du Tsaté |
| 15303021 | Tschep-Schuppe | nappe du Tschep |
| 15304072 | Tschera-Kalkberg-Decke | nappe du Tscherra-Kalkberg |
| 15304137 | Tschingel-Schuppe | écaille du Tschingel |
| 15303136 | Tschingelhörner-Schuppe | |
| 15305026 | Tschirpen-Decke | |
| 15303110 | Tulle-Melange | Mélange de la Tulle |

| GeolCode | Deutsch | Français |
|----------|------------------------------------|---|
| 15303048 | Ultrahelvetikum | Ultrahelvétique |
| 15305082 | Umbrail-Chavalatsch-Schuppen | écaïlles de l'Umbrail-Chavalatsch |
| 15305014 | Umbrail-Terza-Schuppenkomplex | complexe d'écaïlles de l'Umbrail-Terza |
| 15308012 | Untere Einheit der Mont-Mary-Decke | unité inférieure de la nappe du Mont Mary |
| 15306006 | Untere Orobische Decke | |
| 15304054 | Untere Stalden-Schuppe | écaïlle de Stalden inférieure |
| 15304141 | Untere Vals-Schuppen | écaïlles de Vals inférieures |
| 15303001 | Unterhelvetikum | Helvétique inférieur |
| 15305023 | Unterostalpin | |
| 15304015 | Unterpenninikum | Pennique inférieur |
| 15304044 | Üntschen-Decke | nappe de l'Üntschen |
| 15304135 | Val-Gronda-Schuppe | écaïlle du Val Gronda |
| 15308016 | Valpelline-Einheit | unité de la Valpelline |
| 15304035 | Vals-Schuppenkomplex | complexe d'écaïlles de Vals |
| 15301138 | Vaulruz-Schuppe | écaïlle de Vaulruz |
| 15304009 | Verampio-Decke | nappe de Verampio |
| 15301136 | Vevey-Evian-Schuppe | écaïlle de Vevey-Evian |
| 15301141 | Villarvolard-Schuppe | écaïlle de Villarvolard |
| 15304053 | Visperterminen-Schuppe | écaïlle de Visperterminen |
| 15304104 | Voirons-Decke | nappe des Voirons |
| 15308031 | Vollon-Schuppe | écaïlle de Vollon |
| 15301031 | Vorfaltenzone | Vorfaltenzone |
| 15301030 | Vorlandplateau | Plateau de l'Avant-pays |
| 15303037 | Wageten-Schuppe | écaïlle de la Wageten |
| 15304106 | Wägitäl-Decke | nappe du Wägitäl |
| 15304146 | Weissfluh-Scholle | écaïlle de la Weissfluh |
| 15303063 | Wildhaus-Melange | Mélange de Wildhaus |
| 15303031 | Wildhorn-Deckenkomplex | complexe de nappes du Wildhorn |
| 15303042 | Wissberg-Schuppe | écaïlle du Wissberg |
| 15303134 | Wissenwand-Schuppe | écaïlle de la Wissenwand |
| 15301146 | Wolfsegg-Schuppe | écaïlle de la Wolfsegg |
| 15304093 | Zermatt-Saas-Fee-Decke | nappe de Zermatt-Saas-Fee |
| 15304116 | Zervreila-Schuppe | écaïlle de Zervreila |
| 15304050 | Zone Houillère | zone Houillère |
| 15304051 | Zone Houillère externe | zone Houillère externe |
| 15304052 | Zone Houillère interne | zone Houillère interne |
| 15304048 | Zone Submédiane | zone Submédiane |
| 999997 | Unknown | inconnu |
| 999998 | Not applicable | not applicable |

16 Anhang GC_MINERAL_CD

-todo-

| GeolCode | Deutsch | Français |
|----------|----------------|-------------------|
| 20401056 | Adular | adulaire |
| 20401057 | Aegirin | aegirine |
| 20401058 | Aegirin-Augit | aegirine-augite |
| 20401001 | Aktinolith | actinote |
| 20401002 | Albit | albite |
| 20401024 | Alkalifeldspat | feldspath alcalin |

| GeolCode | Deutsch | Français |
|----------|-----------------|--------------------|
| 20401003 | Allanit | allanite |
| 20401004 | Almandin | almandin |
| 20401050 | Alumosilikat | silicate d'alumine |
| 20401005 | Amphibol | amphibole |
| 20401006 | Andalusit | andalousite |
| 20401059 | Andesin | andésine |
| 20401060 | Anhydrit | anhydrite |
| 20401007 | Ankerit | ankérite |
| 20401061 | Annit | annite |
| 20401008 | Anorthit | anorthite |
| 20401009 | Antigorit | antigorite |
| 20401062 | Aragonit | aragonite |
| 20401063 | Augit | augite |
| 20401010 | Biotit | biotite |
| 20401014 | Chlorit | chlorite |
| 20401015 | Chloritoid | chloritoïde |
| 20401064 | Chrysotil | chrysotile |
| 20401017 | Coesit | coésite |
| 20401018 | Cordierit | cordiérite |
| 20401019 | Diopsid | diopside |
| 20401020 | Disthen | disthène |
| 20401021 | Dolomit | dolomite |
| 20401082 | Enstatit | enstatite |
| 20401022 | Epidot | épidote |
| 20401081 | Fayalit | fayalite |
| 20401023 | Feldspat | feldspath |
| 20401080 | Forsterit | forstérite |
| 20401085 | Fuchsit | fuchsite |
| 20401026 | Glaukophan | glaucophane |
| 20401032 | Glimmer | mica |
| 20401028 | Granat | grenat |
| 20401027 | Graphit | graphite |
| 20401065 | Grossular | grossulaire |
| 20401033 | Hellglimmer | mica blanc |
| 20401029 | Hornblende | hornblende |
| 20401066 | Jadeit | jadéite |
| 20401011 | Kalzit | calcite |
| 20401012 | Karbonatmineral | carbonate |
| 20401013 | Karpholith | carpholite |
| 20401070 | Klinopyroxen | clinopyroxène |
| 20401016 | Klinozoisit | clinozoïsite |
| 20401030 | Lawsonit | lawsonite |
| 20401031 | Magnetit | magnétite |
| 20401067 | Margarit | margarite |
| 20401034 | Mikroklin | microcline |
| 20401035 | Muskovit | muscovite |
| 20401068 | Oligoklas | oligoclase |
| 20401036 | Olivin | olivine |
| 20401037 | Omphazit | omphacite |
| 20401038 | Orthoklas | orthose |
| 20401069 | Orthopyroxen | orthopyroxène |
| 20401039 | Paragonit | paragonite |
| 20401071 | Phengit | phengite |
| 20401040 | Phlogopit | phlogopite |

| GeolCode | Deutsch | Français |
|----------|----------------|----------------|
| 20401041 | Plagioklas | plagioclase |
| 20401042 | Prehnit | préhnite |
| 20401072 | Pumpellyit | pumpellyite |
| 20401043 | Pyrit | pyrite |
| 20401044 | Pyrop | pyrope |
| 20401045 | Pyrophyllit | pyrophyllite |
| 20401046 | Pyroxen | pyroxène |
| 20401047 | Quarz | quartz |
| 20401073 | Sanidin | sanidine |
| 20401074 | Sapphirin | sapphirine |
| 20401084 | Serizit | séricite |
| 20401049 | Serpentin | serpentine |
| 20401051 | Sillimanit | sillimanite |
| 20401075 | Spessartin | spessartine |
| 20401076 | Spinell | spinelle |
| 20401052 | Staurolith | staurotide |
| 20401053 | Stilpnomelan | stilpnomélane |
| 20401054 | Talk | talc |
| 20401077 | Titanit | titanite |
| 20401078 | Tremolit | trémolite |
| 20401079 | Turmalin | tourmaline |
| 20401083 | Zeolith | zéolithe |
| 20401055 | Zoisit | zoïsité |
| 999997 | Unknown | inconnu |
| 999998 | Not applicable | not applicable |